



# **Messung und Auswertung der räumlichen Strahleigenschaften eines Femtosekundenlasers**

von

Sommer Daniel, Mat.# 01325734

## **Diplomarbeit**

zur Erlangung des akademischen Grades  
Diplomingenieur

eingereicht an der  
**Technischen Universität Wien**

Betreuer

Liedl Gerhard, Ao.Univ.Prof. Dipl.-Ing. Dr.techn.

Mitbetreuer

Fürbacher Roland, Projektass. Dipl.-Ing. BSc

Institut für Fertigungstechnik und Photonische Technologien

Fakultät für Maschinenwesen und Betriebswissenschaften

Wien, April 2022

## Abstract

### Zusammenfassung

Laser sind komplexe Geräte, die in vielen Bereichen der Technik nicht mehr wegzudenken sind. Egal in welchem Bereich sie verwendet werden ist es notwendig, dass die Eigenschaften des Lasers kontrolliert und für die jeweilige Anwendung optimiert werden. Damit das möglich ist, müssen die Strahleigenschaften des Lasers bekannt sein. Es gibt verschiedene Methoden wie diese bestimmt werden können. Eine davon basiert auf der Methode der zweiten Momente, welche in der DIN EN ISO 11146 beschrieben ist. Diese Methode verwendet die mit einer pixelbasierten Kamera aufgenommenen Strahlprofile um und in der Strahltaille eines Laserstrahls und berechnet daraus die Strahleigenschaften des Lasers. Im Zuge dieser Arbeit und auf Basis der Norm wurde ein Messaufbau und eine automatisierte Mess- und Auswertungssoftware entwickelt, mit der die Eigenschaften von stigmatischen und leicht astigmatischen Strahlen bestimmt werden können. Um die Ergebnisse der automatisierten Messung zu verifizieren wurden die aufgenommenen Strahlprofile mit Brandlöchern verglichen. Dabei konnte festgestellt werden, dass das Verhältnis der Strahlabmessungen des Messsystems und der Brandlöcher proportional zum Verhältnis der Brennweiten der verwendeten Linsen ist und bestätigt, dass sowohl der Messaufbau, als auch die automatisierten Mess- und Auswertungssoftware funktioniert. Für den Messaufbau ist zu beachten, dass die verwendete Kamera, die optischen Elemente und die mechanische Komponenten speziell für einen Ti:Saphir Femtosekundenlaser ausgewählt wurden. Sollte ein anderer Laser das Ziel der Messung sein, muss der Messaufbau mit passenden Komponenten adaptiert werden.

### Abstract Englisch

Lasers are complex devices that have become indispensable in many areas of technology. No matter in which field they are used, it is necessary that the properties of the laser are controlled and optimized for the respective application. For this to be possible, the beam properties of the laser must be known. There are several methods how these can be determined. One of them is based on the second moment method, which is described in DIN EN ISO 11146. This method uses the beam profiles around and in the beam waist of a laser beam taken with a pixel-based camera and calculates the beam properties of the laser from them. In the course of this work and based on the standard, a measurement setup and automated measurement and evaluation software were developed to determine the properties of stigmatic and slightly astigmatic beams. To verify the results of the automated measurement, the recorded beam profiles were compared with burn holes. It was found that the ratio of the beam dimensions of the measurement system and the burn holes is proportional to the ratio of the focal lengths of the lenses used, confirming that both the measurement setup and the automated measurement and evaluation software work. For the measurement setup, it should be noted that the camera, optical elements and mechanical components used were specifically selected for a Ti:Sapphire femtosecond laser. If another laser is the target of the measurement, the measurement setup must be adapted with suitable components.

# Inhaltsverzeichnis

<b>1 Einleitung</b>	<b>5</b>
1.1 Motivation . . . . .	5
1.2 Licht . . . . .	5
1.2.1 Lichtwellen . . . . .	5
1.2.2 Polarisierung und Farbe des Lichts . . . . .	6
1.2.3 Absorption von Licht . . . . .	7
1.2.4 Spontane Emission . . . . .	8
1.2.5 Induzierte Emission . . . . .	9
1.3 Aufbau von Lasern . . . . .	10
1.4 Laserparameter . . . . .	11
1.4.1 Wellenlänge $\lambda$ , Frequenz $f$ . . . . .	11
1.4.2 Leistung $P$ , Pulsenergie $E$ , Pulsdauer $\tau$ . . . . .	11
1.4.3 Polarisierung . . . . .	12
1.4.4 Divergenz $\theta$ . . . . .	12
1.4.5 Beugungsmaßzahl $M^2$ . . . . .	12
1.4.6 Longitudinal und Transversalelektrromagnetische (TEM) Modenstruktur . . . . .	12
1.5 Laserstrahlcharakterisierung . . . . .	14
1.6 Ti:Saphir Femtosekundenlaser . . . . .	14
<b>2 Bestimmung der Strahleigenschaften</b>	<b>17</b>
2.1 Hintergrundkorrekturverfahren . . . . .	17
2.2 Grobkorrektur (Coarse correction) . . . . .	17
2.2.1 Coarse correction by background map subtraction (CCBMS) . . . . .	18
2.2.2 Coarse correction by average background subtraction (CCBAM) . . . . .	18
2.3 Feinkorrektur (Fine correction) . . . . .	18
2.3.1 Fine correction by statistical method (FCBSM) . . . . .	18
2.3.2 Fine correction by approximation method (FCBAM) . . . . .	21
2.4 Anwendung der Hintergrundkorrekturverfahren . . . . .	21
2.5 Bestimmung des Strahldurchmessers aus einer gegebenen Leistungsdichteverteilung . . . . .	23
2.5.1 Stigmatische und leicht astigmatische Strahlen . . . . .	23
2.6 Anwendung auf Einzelaufnahme eines Strahlprofils mit pixelbasierten Sensor . . . . .	25
2.7 Bestimmung von Tailenlagen, Divergenzwinkeln und Beugungsmaßzahlen . . . . .	26
<b>3 Messaufbau</b>	<b>28</b>
3.1 Messaufbau 1 . . . . .	28
3.1.1 Vorversuch mit einem He-Ne Laser . . . . .	29
3.1.2 Ergebnisse des Vorversuchs mit Messaufbau 1 . . . . .	30
3.2 Messaufbau 2 . . . . .	30
3.2.1 Ergebnisse des Vorversuchs mit Messaufbau 2 . . . . .	31
3.3 Messaufbau 3 . . . . .	32
3.3.1 Ergebnisse aus dem Vorversuch mit Messaufbau 3 . . . . .	33
3.4 Verwendete Hardware und Software . . . . .	33
3.4.1 Unbeschichtetes rechtwinkliges Prisma (Thorlabs PS908) [10] . . . . .	33
3.4.2 Neutraldichtefilter ND-Filter (Thorlabs NE40B-B, NE50B-B) [13] . . . . .	33

## Inhaltsverzeichnis

3.4.3	Schrittmotor (Sanyo Denki 103H5205-5240) [16] . . . . .	34
3.4.4	Steuerboard (Arduino UNO Rev3) [19] . . . . .	35
3.4.5	Treiberboard (Arduino Motor Shield Rev3) [21] . . . . .	35
3.4.6	Kamera (Basler ace GigE acA1300-60gmNIR) [23] . . . . .	36
3.4.7	MATLAB R2020b . . . . .	36
<b>4</b>	<b>Messprogramm</b>	<b>37</b>
4.1	Klassenaufbau . . . . .	37
4.2	Programmabläufe und GUI . . . . .	40
4.2.1	Definition des Messgitters . . . . .	41
4.2.2	Messzyklus . . . . .	42
4.2.3	Auswertung . . . . .	44
4.3	Livemessung . . . . .	48
<b>5</b>	<b>Messergebnisse</b>	<b>49</b>
5.1	Messergebnisse vor dem Pumplasertausch . . . . .	50
5.2	Messergebnisse nach dem Pumplasertausch . . . . .	53
5.3	Vergleich theoretische und reale Fokusdurchmesser . . . . .	57
<b>6</b>	<b>Zusammenfassung und Ausblick</b>	<b>59</b>
<b>7</b>	<b>Anhang</b>	<b>64</b>
	Anhang 1: Quellcode . . . . .	64
	Anhang 2: Installationsanleitung . . . . .	191
	Anhang 3: Basler GigE Vision Quick Start Configuration Guide . . . . .	192
	Anhang 4: Basler Application Note . . . . .	207
	Anhang 5: Bedienungsanleitung . . . . .	228
	<b>Literatur</b>	<b>229</b>

# 1 Einleitung

## 1.1 Motivation

Verschleiß ist in jedem Bereich der Technik ein Thema das nicht ignoriert werden kann. Dadurch ist es notwendig jede Maschine oder Einrichtung regelmäßig zu warten, damit die langfristige Funktionalität sichergestellt ist. Auch bei Lasern ist das eine Notwendigkeit. Sowohl das Lasermedium als auch die notwendigen Peripherie im Laseraufbau verschleißt mit der Zeit und müssen ersetzt oder nachjustiert werden. Die Komplexität des Lasers ist proportional zum Justierungsaufwand, da die optischen Elemente alle voneinander abhängen, wodurch bereits kleine Änderungen ungewollte Schwierigkeiten bereiten können. Um die Justierung zu vereinfachen bzw. die derzeitigen Eigenschaften des Lasers zu bestimmen existiert das Verfahren der Laserstrahlcharakterisierung. Es ist ein Verfahren bei dem die Strahleigenschaften in Ausbreitungsrichtung bestimmt werden. Kennt man diese Eigenschaften, ist es möglich eine Aussage über den derzeitigen Zustand des Lasers zu treffen und auch festzustellen ob die Justierung die gewünschten Verbesserungen bzw. Änderungen gebracht hat.

## 1.2 Licht

Die Eigenschaften von Licht werden meistens mit vereinfachten Modellen beschrieben. Eine der ersten Vorstellungen war es, dass Lichtquellen wie z.B. die Sonne Lichtteilchen auf geradlinigen Bahnen aussenden. Bekannt ist diese Theorie als Teilchenmodell des Lichts [1]. In einem einfachen Experiment mit einer Lochblende und einer Lichtquelle wurde versucht einen scharf begrenzten Strahl herzustellen um das Teilchenmodell zu bestätigen. Der Versuch ergab, dass es nach der Lochblende bedingt durch Beugungseffekte des Lichts zu einer Aufweitung des Strahls gegenüber dem Lochdurchmessers kam. Dieses Verhalten kann durch das Wellenmodell des Lichts erklärt werden. Beide Modelle können mit komplexer Mathematik zu einem einheitlichen Modell zusammengefasst werden. In der Realität reicht für die meisten Beobachtungen jeweils eines der Modelle.

### 1.2.1 Lichtwellen

Im Wellenmodell [2] wird das Licht als transversale elektromagnetische Welle beschrieben, in der die elektrische Feldstärke  $\mathbf{E}$  und die magnetische Feldstärke  $\mathbf{H}$  mit gleicher Frequenz  $f$  schwingen. Die beiden Vektoren stehen stets senkrecht aufeinander siehe Abb. 1.1. Die Wellenlänge  $\lambda$  des Lichts ist dabei der Abstand zweier benachbarter Phasenflächen. Es gilt mit der Lichtgeschwindigkeit im Vakuum  $c = 2.998 \times 10^8 \text{ m s}^{-1}$  der Zusammenhang

$$c = \lambda \cdot f. \quad (1.1)$$

In einem transparenten Medium breitet sich das Licht mit der reduzierten Lichtgeschwindigkeit  $c'$  aus. Diese reduzierte Lichtgeschwindigkeit hängt vom Brechungsindex  $n$  ab und kann mit

$$c' = \frac{c}{n} \quad (1.2)$$

bestimmt werden. Der Brechungsindex  $n$  kann mit der Dielektrizitätszahl  $\epsilon$  und der Permeabilität  $\mu$  über

$$n = \frac{1}{\sqrt{\epsilon\mu}} \quad (1.3)$$

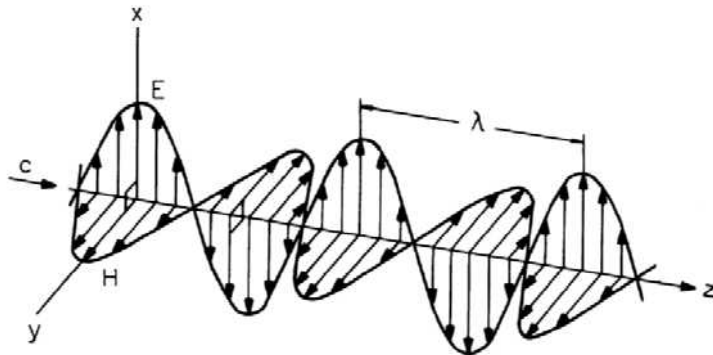


Abbildung 1.1: Verlauf der elektrischen Feldstärke  $\mathbf{E}$  und der magnetischen Feldstärke  $\mathbf{H}$  in Ausbreitungsrichtung einer Lichtwelle [2]

bestimmt werden. Trifft das Licht auf eine Grenzfläche siehe Abb. 1.2 zwischen zwei optischen Medien mit Brechungszahlen  $n_1$  und  $n_2$  gilt das Brechungsgesetz nach Snell

$$n_1 \sin \alpha = n_2 \sin \beta. \quad (1.4)$$

Der Winkel  $\alpha$  ist der Eintrittswinkel des Primärstrahls bezogen auf die Grenzflächennormale,  $\alpha'$

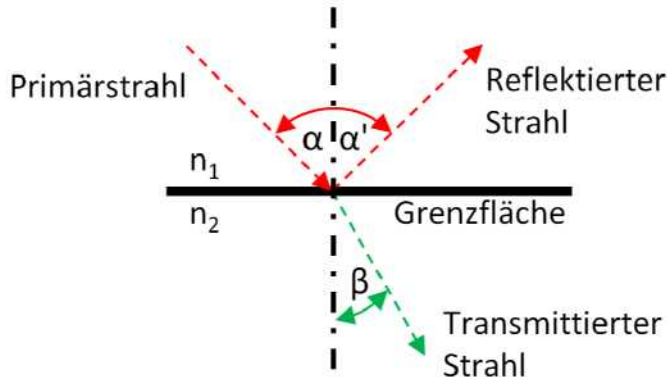


Abbildung 1.2: Brechungsgesetz

der Winkel der reflektierten Strahls wobei gilt

$$\alpha' = -\alpha \quad (1.5)$$

und  $\beta$  der Winkel des transmittierten Strahls. Sowohl der Winkel  $\alpha$ , als auch der Winkel  $\beta$  sind bezogen auf die Grenzflächennormale. Beide Winkel werden ausgehend von dieser Normale gemessen. Schließt z.B.  $\alpha$  ausgehend von der Normale einen Winkel gegen den Uhrzeigersinn ein, so schließt auch  $\beta$  einen Winkel gegen den Uhrzeigersinn ein.

### 1.2.2 Polarisation und Farbe des Lichts

Grundsätzlich beschreibt die Polarisation des Lichts die Schwingungsrichtung einer sich transversal ausbreitenden Welle. Man bezieht sich dafür immer auf den Vektor der elektrischen Feldstärke. Ist die Richtung der elektrischen Feldstärke  $\mathbf{E}$  konstant, so spricht man von linear polarisierten Licht. Die meisten Lichtquellen bestehen aus einem Gemisch von Wellen unterschiedlicher Polarisation und werden daher als unpolarisiert bezeichnet. Die Farbe des Lichts ist abhängig von der Frequenz bzw.

der Wellenlänge. Das menschliche Auge reagiert unterschiedlich empfindlich auf die verschiedenen Wellenlängen des Lichts siehe Abb. 1.3. Ist das Auge auf eine helle Umgebung eingestellt  $V'(I)$  reagiert es auf Licht mit einer Wellenlänge von 550 nm am empfindlichsten. Ist es auf dunkle Umgebung eingestellt verschiebt sich die Empfindlichkeit weiter nach links zu 500 nm. Der für das

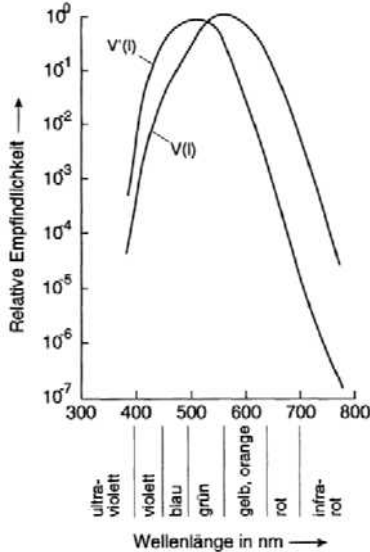


Abbildung 1.3: relative Lichtempfindlichkeit des menschlichen Auges [2]

menschliche Auge sichtbare Bereich liegt zwischen 380 nm und 780 nm.

### 1.2.3 Absorption von Licht

Beschrieben wird Absorption mithilfe einer ebenen Lichtwelle der Intensität  $I_0$  die auf eine absorbierende Stoffschicht mit Dicke  $d$  trifft [2]. Am hinteren Ende der Stoffschicht beträgt die aus der Schicht austretende Intensität  $I$ . Die verminderte Intensität  $I$  ist proportional zu  $I_0$ , hängt von der Schichtdicke ab und kann mit

$$I = I_0 e^{-\alpha d} \quad (1.6)$$

auch bekannt als Lambert-Beer'sches Gesetz beschrieben werden. Führt man eine Koordinate  $x$  ein und nimmt an, dass die Intensität an einer Stelle  $I(x)$  um  $dI$  abnimmt ergibt sich für die Ableitung des Lambert-Beer'schen Gesetzes

$$dI = -\alpha I x dx. \quad (1.7)$$

Der Faktor  $\alpha$  ist ein materialabhängiger Absorptionskoeffizient und beträgt z.B. für Glasfaser  $\alpha \approx 1$  bis 10 km oder für Metalle  $\alpha \approx 1$  nm.

Der Vorgang der Absorption kann mithilfe diskreten Energiezuständen ( $E_1, E_2, E_3, \dots, E_n$ ) dargestellt werden (siehe Abb .1.4). Im nicht angeregten oder auch ungestörten Zustand nehmen alle Atome den Zustand der niedrigsten Energie  $E_1$  ein. Dieser Zustand wird auch als Grundzustand bezeichnet. Trifft Licht mit einer Frequenz  $f_{12}$  auf ein Atom, ist es möglich das das Atom in einen höheren Energiezustand  $E_2$  übergeht, solange die Bohrsche Frequenzbedingung

$$E_2 - E_1 = h f_{12} \quad (1.8)$$

erfüllt wird, wobei  $h = 6.626^{-34} \text{ Js}$  das Plancksche Wirkungsquantum beschreibt. Im Gegenzug bedeutet das, dass dem Licht die Energie  $h f_{12}$  entzogen wurde und somit auch die Intensität  $I$

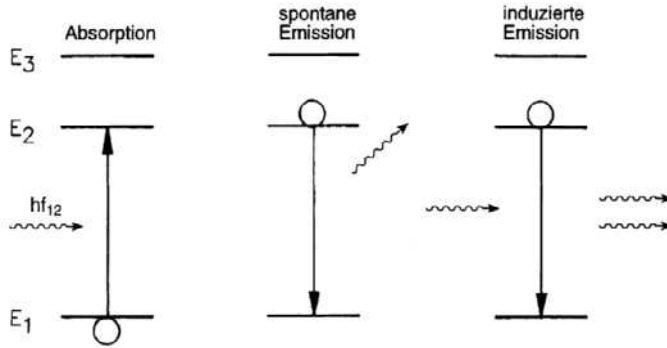


Abbildung 1.4: Schematische Darstellung von Absorption, spontaner Emission und induzierter Emission [2]

vermindert. Aus der Anzahl der Übergänge von Zustand  $E_1$  nach  $E_2$  lässt sich der Absorptionskoeffizient berechnen. Sie kann pro Volumen- und Zeiteinheit definiert werden mit

$$\left| \frac{dN_1}{dt} \right|_a = \sigma_{12} N_1 \Psi, \quad (1.9)$$

wobei  $N_1$  die Dichte der Atome im Grundzustand,  $\Psi$  die Stromdichte (Photonen/Zeit·Fläche) und  $\sigma_{12}$  die Wirkfläche der Absorption beschreibt. Der Index  $a$  symbolisiert das die Übergänge durch Absorption entstehen. Sie ist gleich der Änderung der Photonendichte (Photonen/Volumen)  $d\Phi/dt$ . Mit der Stromdichte  $\Psi$  und der Änderung der Schichtdicke über der Zeit kann die Photonendichte ausgedrückt werden mit

$$\Phi = \Psi \frac{dt}{dx}. \quad (1.10)$$

Daraus ergibt sich der Zusammenhang

$$\left| \frac{dN_1}{dt} \right|_a = - \frac{d\Psi}{dx}. \quad (1.11)$$

Da die Photonendichte abnimmt ist es mit einem negativen Vorzeichen versehen. Mit der Definition der Intensität

$$I = h f_{12} \cdot \Psi, \quad (1.12)$$

und Gl. 1.11 ergibt sich für die Abnahme der Intensität durch Absorption

$$\left| \frac{dI}{dx} \right|_a = - \sigma_{12} N_1 I. \quad (1.13)$$

Durch Vergleich mit Gl. 1.7 kann der Absorptionskoeffizient gefunden werden mit

$$\alpha = \sigma_{12} N_1. \quad (1.14)$$

Aus dieser Beziehung lässt sich erkennen, dass der Absorptionskoeffizient proportional zur Dichte der absorbierten Atome ist.

#### 1.2.4 Spontane Emission

Angeregte Atome gehen nach einer gewissen Zeit wieder in ihren Zustand der niederen Energie über [2]. Dabei kann Energie in Form eines Lichtquants in eine beliebige Richtung abgestrahlt werden. Dieser Prozess ist allgemein bekannt als spontane Emission. Durch spontane Emission

nimmt die Atomdichte der Atome im höheren Energiezustand ab. Mithilfe der Lebensdauer für spontane Emission  $\tau$  und der Dichte der im höheren Energiezustand vorhandenen Atome  $N_2$  kann diese Änderung beschrieben werden mit

$$\left| \frac{dN_2}{dt} \right|_{sp} = -\frac{N_2}{\tau}. \quad (1.15)$$

### 1.2.5 Induzierte Emission

Der dritte wichtige Mechanismus für Laser ist die induzierte Emission [2]. Bei dieser Art der Emission erfolgt der Übergang der Atome vom höheren zum niedrigeren Energiezustand nicht spontan, sondern mithilfe einer Lichtwelle, welche die Bohrsche Frequenzbedingung erfüllt. Die Beziehungen dieses Prozesses sind analog zu denen der Absorption und ergeben sich zu

$$\left| \frac{dN_2}{dt} \right|_i = \sigma_{21} N_2 \Psi \quad (1.16)$$

und

$$\left| \frac{dI}{dx} \right|_i = \sigma_{21} N_2 I. \quad (1.17)$$

In diesen Beziehungen ist  $N_2$  wie bei der spontanen Emission die Dichte der Atome im höheren Energiezustand und  $\sigma_{21}$  der Wirkungsquerschnitt der induzierten Emission. Im Gegensatz zur spontanen Emission, bei der ein Lichtquant in eine beliebige Richtung abgestrahlt wird, wird bei der induzierten Emission das Lichtquant in Ausbreitungsrichtung der Lichtwelle abgestrahlt. Die Phase und Frequenz dieser induzierten Welle ist identisch zur einfallenden Welle und verstärkt damit die einfallende Welle. Aus thermodynamischen und quantenmechanischen Überlegungen kann gezeigt werden, dass der Wirkungsquerschnitt der Absorption  $\sigma_{12}$  gleich groß ist wie der der induzierten Emission  $\sigma_{21}$ , sofern die Energieniveaus gleiche statistische Wahrscheinlichkeit haben.

$$\sigma_{12} = \sigma_{21} = \sigma \quad (1.18)$$

Gibt es in den Energieniveaus Unterzustände gilt die Beziehung

$$g_1 \sigma_{12} = g_2 \sigma_{21} = \sigma, \quad (1.19)$$

wobei  $g_1$  und  $g_2$  die Anzahl der Unterzustände des jeweiligen Energieniveaus beschreiben. Die Verstärkung der eingestrahlten Lichtwelle durch die induzierte Emission wirkt der Absorption entgegen. Dadurch ergibt sich die Gesamtänderung der Intensität der Lichtwelle zu

$$dI = -|dI|_a + |dI|_i \quad (1.20)$$

Für Energieniveaus die keine Unterzustände besitzen ( $g_1 = g_2 = g = 1$ ) gilt daher

$$\frac{dN_2}{dt} = -\sigma N_1 I + \sigma N_2 I = -\sigma(N_1 - N_2)I \quad (1.21)$$

Integriert man diese Beziehung erhält man das verallgemeinerte Lambert-Beer'sche Gesetz

$$\frac{I}{I_0} = e^{\sigma(N_1 - N_2)d} = G. \quad (1.22)$$

Das Verhältnis von  $I/I_0$  wird auch Verstärkungsfaktor  $G$  genannt. Mit einer He-Ne Gaslaserentladung einer Länge von 1 m lässt sich zum Beispiel im kontinuierlichen Betrieb ein Verstärkungsfaktor von  $G = 1.1$  erreichen.

Damit eine Verstärkung auftreten kann, muss Besetzungsinvolution ( $N_2 > N_1$ ) der Energieniveaus gegeben sein. Bewerkstelligt wird das durch das sogenannte Pumpen. Pumpen beschreibt den Prozess die Atome des Lasermediums z.B He-Ne Gas auf ein höheres Energieniveau zu heben. Der Pumpmechanismus der verwendet wird hängt im allgemeinen vom Lasertyp ab. Die wichtigsten Laserobertypen sind Gaslaser, Festkörperlaser, Farbstofflaser und Halbleiterlaser.

### 1.3 Aufbau von Lasern

Ein Laser ist im Grunde ein Oszillatator (Verstärker) für Signale mit optischen Frequenzen [3]. Der Frequenzbereich streckt sich dabei vom Infrarotbereich bis zum ultravioletten bzw. dem Bereich der Röntgenstrahlung. Der Grundaufbau eines Lasers beinhaltet dabei immer einen Verstärker (Oszillatator). Dieser ist von der Funktionsweise her vergleichbar mit einem elektrischen Verstärker. Eine typische Verstärkerschaltung ist in Abb. 1.5 dargestellt. Die Eingangsspannung  $V_i$  wird mit der Rückkopplung  $\beta V_o$  summiert und anschließend über das Verstärkerbauteil mit Verstärkung  $A_0$  verstärkt.

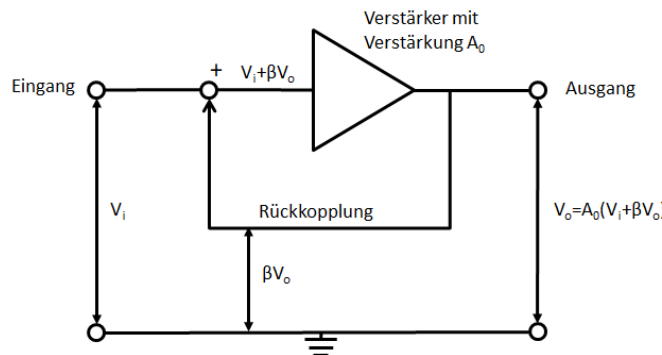


Abbildung 1.5: Schaltdiagramm eines Verstärkers mit positiver Rückkopplung [3]

Die Verstärkung  $A_0$  ohne Rückkopplung ist dabei gegeben durch

$$A_0 = \frac{V_o}{V_i} \quad (1.23)$$

dem Verhältnis der Ausgangsspannung  $V_o$  zur Eingangsspannung  $V_i$ . Um die Gesamtverstärkung der Schaltung zu bestimmen muss die Rückkopplung berücksichtigt werden. Der Rückkopplungsfaktor  $\beta$  ist dabei im allgemeinen eine komplexe Zahl und kann als komplexer Vektor der Form

$$\beta = |\beta| e^{j\varphi} \quad (1.24)$$

dargestellt werden. Er besitzt einer Amplitude  $|\beta| \leq 1$  und eine Phase  $\varphi$ . Die Ausgangsspannung  $V_o$  ergibt sich mit der Rückkopplung zu

$$V_o = A_0(V_i + \beta V_o) \quad (1.25)$$

und die Gesamtverstärkung  $A$  zu

$$A = \frac{A_0 V_i}{1 + \beta A_0}. \quad (1.26)$$

Theoretisch ist damit eine unendlich große Verstärkung des Eingangssignals möglich wenn  $\beta A_0$  genau +1 erreicht. Das würde bedeuten, dass ohne ein Eingangssignal ein finites Ausgangssignal

generiert wird. In der Praxis gibt es in jeder elektrischen Schaltung einen gewissen Rauschanteil, wodurch das Eingangssignal nie wirklich 0 sein kann. Der Faktor  $\beta A_0$  ist frequenzabhängig und im allgemeinen nur bei einer bestimmten Frequenz genau +1. Bei dieser Frequenz schwingt die Schaltung indem das Rauschsignal verstärkt wird. Theoretisch sollte der Ausgang unendlich groß werden. Das passiert in der Realität allerdings nicht, denn umso größer das Signal wird, umso kleiner wird die Verstärkung  $A_0$ . Dieser Effekt ist bekannt als Sättigung und stellt ein fundamentales Phänomen für alle Verstärker dar. Der schematische Aufbau eines optischen Verstärkers ist in Abb. 1.6 abgebildet. Er besteht aus zwei gegenüberliegend angeordneten Spiegeln mit Abstand L und einem optischen Frequenzverstärker in der Mitte zwischen beiden Spiegeln.

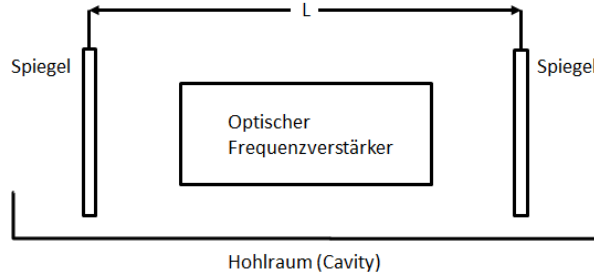


Abbildung 1.6: Schematische Darstellung eines optischen Verstärkers [3]

## 1.4 Laserparameter

Die Laserparameter [2] können in Laserkenndaten und Laserstrahlparameter unterteilt werden. Zu den Laserkenndaten gehören die Wellenlänge, die Frequenz, die Leistung, die Energie und der Betriebsart. Zu den Laserstrahlparametern gehören das Strahlprofil, die transversale Modenstruktur, die Strahldivergenz, die Fokussierbarkeit, die Kohärenz und die Polarisation.

### 1.4.1 Wellenlänge $\lambda$ , Frequenz $f$

Die Wellenlänge  $\lambda$  beschreibt den kleinsten Abstand zweier Punkte gleicher Phase einer periodischen Welle. Sie kann mithilfe der Lichtgeschwindigkeit  $c$  und der Frequenz  $f$  der Welle mit

$$\lambda = \frac{c}{f} \quad (1.27)$$

bestimmt werden.

### 1.4.2 Leistung $P$ , Pulsenergie $E$ , Pulsdauer $\tau$

und Abstand zweier Pulse  $T$ . Die Leistung  $P$  [2] eines Lasers beschreibt die Ausgangsleistung eines Dauerstrichlasers in Watt. Für gepulste Laser wird die Ausgangsleistung charakterisiert über die Pulsenergie  $E$  in Joule, die Pulsdauer  $\tau$  in Sekunden und der zeitliche Abstand zweier Pulse  $T$  in Sekunden. Die Pulsspitzenleistung  $P_{max}$  ist gegeben durch die Pulsenergie über der Pulsdauer  $\tau$  mit

$$P_{max} = \frac{E}{\tau} \quad (1.28)$$

und die mittlere Leistung  $P$  über

$$P = \frac{E}{T} \quad (1.29)$$

### 1.4.3 Polarisation

Die Polarisation [2] definiert die Orientierung des elektrischen Feldes einer Lichtwelle. Laserlicht ist meistens linear polarisiert. Linear polarisiert bedeutet, dass der Vektor der elektrischen Feldstärke immer in einer definierten Ebene schwingt.

### 1.4.4 Divergenz $\theta$

Die Divergenz [4] beschreibt die Verbreiterung eines Strahls mit zunehmender Entfernung im Bezug auf die Strahlaille des Lasers durch Beugung. Sie wird definiert über den Halbwinkel des Lasers und ist bei Gaußstrahlen definiert als

$$\theta = \frac{\lambda}{\pi w_0}, \quad (1.30)$$

wobei  $w_0$  der Strahltaillenradius und  $\lambda$  die Wellenlänge des Laserstrahl beschreibt.

### 1.4.5 Beugungsmaßzahl $M^2$

Das Strahlprofil eines Laserstrahls beschreibt die Intensitätsverteilung des Laserstrahlquerschnitts. Die gebräuchlichsten Strahlprofile haben entweder eine gaußsche oder eine Flat-Top Verteilung. Ein gaußsches Profil besitzt die geringste Divergenz und ist daher für viele Anwendungen ideal. Die Beugungsmaßzahl  $M^2$  [4] beschreibt die Abweichung des Divergenzwinkels eines realen Strahls von einem idealen Gaußstrahl und ist somit definiert als

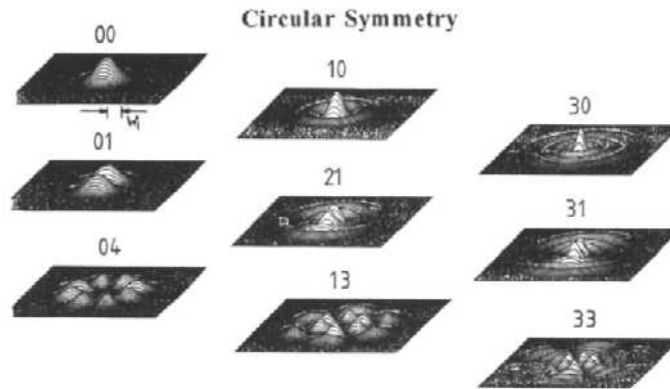
$$M^2 = \frac{\varphi_{real}}{\varphi_{gauss}} \quad (1.31)$$

### 1.4.6 Longitudinal und Transversalelektrromagnetische (TEM) Modenstruktur

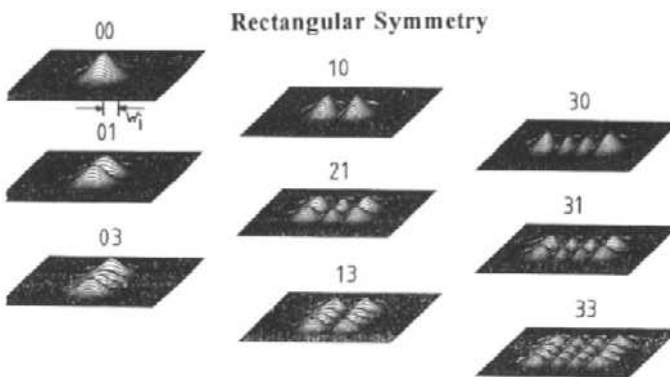
Jede Welle [5] besteht aus unterschiedlichen Schwingungsformen (Moden). Die Moden in Ausbreitungsrichtung der Strahlung werden Longitudinal Moden und senkrecht zur Ausbreitungsrichtung als Transversal Moden bezeichnet. In longitudinaler Richtung können grundsätzlich alle Wellenlängen, die in den Resonator passen und einen Schwingungsknoten auf den Resonatorspiegeln aufweisen, anschwingen. Besteht es nur aus rein einer optischen Frequenz spricht man von monochromatischen Licht ansonsten von polychromatischem Licht. Welche Moden in transversaler Richtung schwingen wird vom Aufbau des Lasers beziehungsweise vom Resonator bestimmt. Der TEM Grundmode entspricht einem idealen Gaußprofil und wird auch als  $TEM_{00}$  bezeichnet. Bei den TEM höherer Ordnung kann zwischen radialsymmetrischen Moden (siehe Abb. 1.7a) und rechteckig symmetrischen Moden (siehe Abb. 1.7b) unterschieden werden. Welcher Mode sich ausbildet kann unter anderen durch Blenden beeinflusst werden. Ist im Resonator keine Blende verbaut, können viele Moden gleichzeitig schwingen. Wird jedoch eine Blende verbaut, ist es möglich die Anzahl der schwingenden Moden zu reduzieren, indem der Durchmesser der Blende verkleinert wird. Möchte man das Strahlprofil nur auf den  $TEM_{00}$  Grundmode beschränken, muss der Durchmesser der Blende nahe dem Durchmesser des  $TEM_{00}$  Profils gewählt werden. Dadurch werden für alle anderen Moden hohe Verluste an der Blende generiert, wodurch diese nicht schwingen können. Erhöht man den Durchmesser der Blende können auch Moden höherer Ordnung die "durch die Blende passen" schwingen. Niedrige Moden können auch über die Spiegelform und der Resonatorgeometrie, d.h. dem Verhältnis Spiegeldurchmesser und Resonatorlänge selektiert werden.

Dasselbe Prinzip gilt für die Erzeugung anderer Moden. Möchte man einen speziellen Mode generieren müssen für die anderen Moden Verluste verursacht werden. Eine Möglichkeit das zu bewerkstelligen ist es zwei gekreuzte Drähte im Resonator zu platzieren (siehe Abb. 1.8). Die Drähte verursachen entlang ihrer Länge Verluste. Dadurch werden Moden bevorzugt die Symmetrien um

Abbildung 1.7: TEM Moden mit unterschiedlicher Symmetrie



(a) Berechnete TEM Moden mit radialem Symmetrie [5]



(b) Berechnete TEM Moden mit rechteckiger Symmetrie [5]

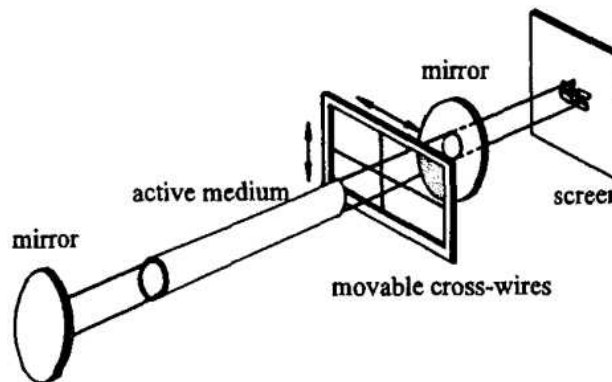


Abbildung 1.8: Aufbau zur Beobachtung von individuellen TEM Moden [5]

die Achsen der Drähte besitzen, da diese weniger beeinflusst werden. Wendet man das Prinzip auf einen He-Ne Laser an, können rechteckig symmetrische Moden unterschiedlicher Ordnung erzeugt werden. Abb. 1.9 zeigt TEM Moden die mithilfe so eines Aufbaus erzeugt werden können. Die Drähte wurden an die Stellen verschoben an der der jeweilige Mode seine Symmetrie besitzt und wird dadurch bevorzugt. Der Winkel der Drähte beeinflusst dabei nicht welcher Mode generell schwingt, sondern nur um welche Achse sich der Mode symmetrisch ausbildet.

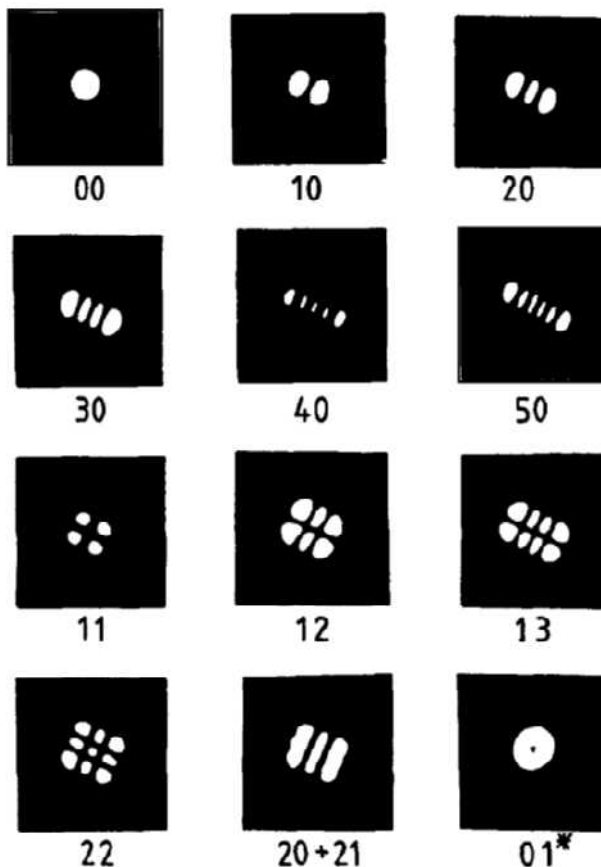


Abbildung 1.9: Aufgenommene Strahlprofile für verschiedene TEM Moden eines He-Ne Lasers [5]

## 1.5 Laserstrahlcharakterisierung

Laserstrahlcharakterisierung ist eine Methode um die Strahleigenschaften von Lasern zu ermitteln. Die wichtigsten Parameter sind dabei die Beugungsmaßzahl  $M^2$ , der Ort der Strahltaille  $d_{z_0}$ , der Strahldurchmesser  $d_\sigma$  und der Divergenzwinkel  $\Theta$ . Kennt man diese Parameter, ist es möglich den Laserstrahl für jede Anwendungen optimal zu nutzen, bzw. während dem Justieren des Lasers die Einflüsse des Justierens selbst auf den resultierenden Laserstrahl zu beobachten. Besonders wichtig ist die Kenntnis dieser Parameter bei Lasern mit komplexem, internen Aufbau, da bei solchen Lasern regelmäßige Justagearbeiten notwendig sind, um die maximale Arbeitsleistung zu erreichen.

## 1.6 Ti:Saphir Femtosekundenlaser

Es ist nicht Inhalt dieser Arbeit auf alle Einzelheiten, der physikalischen Effekte für die Erzeugung von Femtosekundenpulsen einzugehen [6]. Ein Überblick über den Aufbau und die Funktionsweise ist aber insofern wichtig, um die Notwendigkeit einer regelmäßigen Überprüfung des Strahlprofils zu erklären. Das FEMTOPOWER COMPACT PRO Lasersystem mit dem Pulse einer Pulsdauer von  $< 30\text{ fs}$  erzeugt werden können besteht aus zwei separaten Lasern (siehe Abb. 1.10): Einem Ti:Saphir Oszillatorm-laser gepumpt von einem CW Diodenlaser, einer Verstärkerstufe ebenfalls mit einem Ti:Saphir Kristall und einem Nd:YLF Pumplaser. Der Oszillatorm-laser liefert Pulse mit einer Wiederholfrequenz von  $74 - 78\text{ MHz}$ , einer Pulsdauer von  $< 12\text{ fs}$  und einer Pulsennergie von  $> 2\text{ nJ}$  (siehe Tab. 1.1). Diese spektral breitbandigen Pulse werden über den Effekt der sogenannten Group-

Tabelle 1.1: Datenblatt FEMTOPOWER COMPACT PRO

Output	amplifier	oscillator
Pulse duration (FHWM)	< 30 fs	< 12 fs
Spectral width (FHWM) @800nm	> 40 nm	> 100 nm
Output energy	> 800 $\mu J$	> 2 nJ
Pulse repetition rate	1 kHz	74 - 78 MHz
Peak power	> 30 GW	> 500 kW
Beam diameter ( $1/e^2$ )	15 mm (nominal)	> 2 mm
B-integral of amplified pulses	< 1	-
Spatial mode	$TEM_{00}(M^2 < 2)$	$TEM_{00}(M^2 < 1.3)$
Contrast ratio	$> 10^7 : 1 / > 10^4 : 1$	-
Polarizations	linear, horizontal	linear, horizontal
Pulse-to-pulse energy stability	< 1.5 % rms	-
Beam divergence	< 3 mrad	< 2 mrad

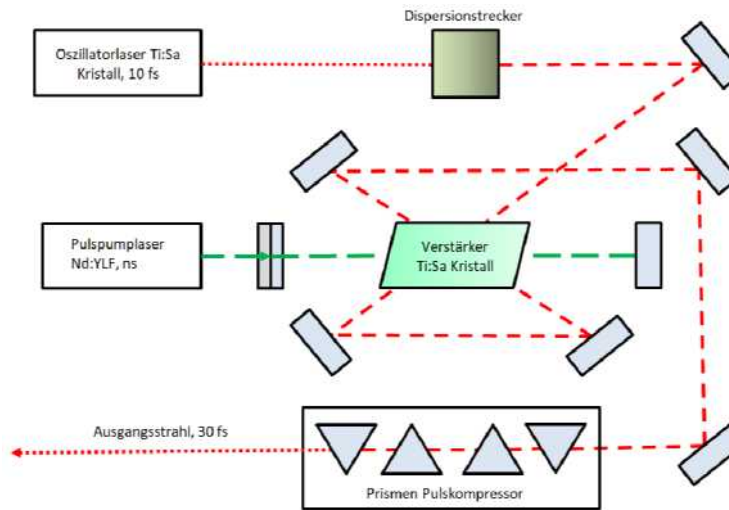


Abbildung 1.10: Vereinfachte Schemaskizze eines Ti:Saphir Femtosekunden Lasers

Delay-Dispersion (GDD) mit einem positiven chirp zeitlich um einen Faktor von ca.  $10^5$  aufgeweitet um eine weitere Verstärkung zu ermöglichen. Würden die Oszillatormpulse nicht aufgeweitet werden, würde aufgrund der Selbstfokussierung im Ti:Saphir Kristall, die Intensität der Strahlung den Schadengrenzwert des Kristalls überschreiten und ihn beschädigen. Um eine höhere Verstärkung zu erreichen wird der Oszillator Laserstrahl mehrmals durch den Verstärkerkristall geführt. Durch das mehrmalige "durchfädeln" des Oszillatormaserstrahls durch den Verstärker Ti:Saphir Kristall wird die Energie der Laserpulse immer weiter erhöht. Nach der Verstärkung wird der aufgeweitete Puls über einen Prismenkompressor bestehend aus 4 Prismen komprimiert um den zuvor eingeführten

positiven chirp wieder auszugleichen. Die einzelnen Prismen des Prismenkompressors sind verschieb- bzw. verdrehbar und das Einstellen dieser Prismen ist kein simples Unterfangen. Ändert sich die mittlere Wellenlänge des Laserpulses [7], müssen alle 4 Prismen um denselben Winkel verdreht werden um diese Veränderung auszugleichen. Zusätzlich muss die GDD durch verschieben der Prismen eingestellt werden, damit am Ende ein möglichst kurzer Puls zur Verfügung steht. Der Abstand zwischen dem ersten und zweiten sowie dem dritten und vierten Prisma ermöglicht eine Grobkorrektur der GDD. Die Feinkorrektur der GDD kann durch verschieben des zweiten sowie dritten Prismas weiter in oder aus dem Laserstrahl eingestellt werden. Der resultierende gepulste Laserstrahl hat eine Pulsfrequenz von  $1\text{ kHz}$ , mit einer Pulsdauer von  $< 30\text{ fs}$  und einer Pulsennergie von  $< 800\text{ }\mu\text{J}$ .

## 2 Bestimmung der Strahleigenschaften

Die Bestimmung der Strahleigenschaften von Lasern ist mit der DIN EN ISO 11146 [8] genormt. Aufgeteilt ist die Norm in drei Teile. Der erste Teil, die DIN EN ISO 11146-1 beschreibt die Prüfverfahren und Bestimmung der Strahlparameter für stigmatisch und leicht astigmatische Strahlen, die DIN EN ISO 11146-2 die Prüfverfahren und Bestimmung der Strahlparameter für astigmatische Strahlen und die ISO/TR 11146-3 [9] dient als unterstützende Norm, in der unter anderem Hintergrundkorrekturverfahren beschrieben sind. Die Normen dienen als Grundlage für die in diesem Kapitel beschriebenen Auswertung.

### 2.1 Hintergrundkorrekturverfahren

Die mit einem pixelbasierten Sensor aufgenommene Leistungsdichteverteilung  $E_{meas}(x, y)$  kann in zwei Teile aufgeteilt werden. In die "wahre" Leistungsdichteverteilung  $E(x, y)$  und in eine Hintergrundleistungsdichteverteilung  $E_H$  die von anderen Lichtquellen (z.B. Raumbeleuchtung) verursacht wird:

$$E_{meas}(x, y) = E(x, y) + E_H(x, y) \quad (2.1)$$

Diese Hintergrundleistungsdichteverteilung  $E_H(x, y)$  kann weiter aufgeteilt werden in einen homogenen Anteil  $E_{H,offset}(x, y)$  der den für die gesamte Verteilung konstanten Versatz beschreibt, einen inhomogenen Anteil  $E_{H,inh}(x, y)$  der die Neigung des Versatzes beschreibt und einem hochfrequenten Rauschanteil  $E_{H,noise}(x, y)$ .

$$E_H(x, y) = E_{H,offset}(x, y) + E_{H,inh}(x, y) + E_{H,noise}(x, y). \quad (2.2)$$

Der hochfrequente Rauschanteil  $E_{H,noise}(x, y)$  kann und muss normalerweise nicht korrigiert werden, da Rauschkorrekturen das Bild glätten. Glätten bedeutet, dass jeder einzelnen Pixel mithilfe der umgebenden Pixeln einen neuen Wert zugewiesen bekommt. Dadurch kann Rauschen zwar entfernt werden, aber die Intensitätsverteilung wird ebenfalls als gesamtes beeinflusst. Vor allem die Ränder der Intensitätsverteilung würden auf diese Weise nach außen verschoben werden, wodurch die Intensitätsverteilung künstlich vergrößert wird. Dafür reichen im Randbereich bereits kleine Änderungen aus. Der homogene und inhomogene Anteil der durch zusätzliche Lichtquellen verursacht wird kann allerdings nicht ignoriert werden, da Strahldurchmesser und Strahlmittelpunkt aus Integralen der Leistungsdichteverteilung bestimmt werden. Kompensiert man diese Anteile nicht, führt es dazu, dass die Strahldurchmesser größer berechnet werden als sie in Wirklichkeit sind. Es gibt mehrere Methoden die Hintergrundkorrektur durchzuführen. Im Zuge dieser Arbeit wurden 4 in der Norm beschriebene Methoden miteinander verglichen. Die 4 Verfahren lassen sich in Grobkorrektur und Feinkorrektur unterteilen. Zu den Grobkorrekturverfahren gehören "Coarse correction by background map subtraction"(CCBMS) bzw. "Coarse correction by average background subtraction"(CCBAM) und zu den Feinkorrekturverfahren "Fine correction by statistical method"(FCBSM) bzw. "Fine correction by approximation method"(FCBAM).

### 2.2 Grobkorrektur (Coarse correction)

Um eine Grobkorrektur des Hintergrunds durchzuführen sind Aufnahmen der Intensitätsverteilung aufgrund von externen Lichtquellen notwendig. Diese Aufnahmen werden auch "schwarze Bilder" genannt. Beide Grobkorrekturverfahren (CCBMS & CCBAM) bestimmen aus diesen "schwarzen

Bildern“ den notwendigen Korrekturwert der auf jedes Pixel angewendet wird. Bestimmt wird dieser Korrekturwert grundsätzlich bei beiden Verfahren durch Mittlung von Pixelwerten. Aus diesem Grund ist ein Einzelbild des Hintergrunds nicht ausreichend. Es sollten laut Norm zumindest  $n > 10$  Bilder an jedem Messpunkt aufgenommen werden. Die Messung des Hintergrunds sollte möglichst zeitnah vor oder nach der Lasermessung durchgeführt werden, damit Änderungen des Hintergrundverhältnisse auf ein Minimum zu reduzieren. Sind die Hintergrundverhältnisse konstant ist es möglich erst den Hintergrund zu messen und danach den Laserstrahl.

### 2.2.1 Coarse correction by background map subtraction (CCBMS)

Bei CCBMS wird jeder einzelne Pixel der ”schwarzen Bilder“ gemittelt und daraus eine sogenannte Hintergrundkorrekturkarte(background map) erstellt. Diese Hintergrundkarte ist im Grunde nichts anderes als ein Bild bestehend aus den gemittelten Pixel der ”schwarzen Bilder“. Bestimmt werden diese gemittelten Pixel mit

$$\overline{E_H(x,y)} = \frac{1}{n} \sum_{i=1}^n E_H(x,y)_i. \quad (2.3)$$

Mit dieser Hintergrundkarte bestehend aus den gemittelten Pixeln kann anschließend die korrigierte LeistungsdichteVerteilung mit

$$E(x,y) = E_{meas}(x,y) - \overline{E_H(x,y)} \quad (2.4)$$

berechnet werden. Da jeder Pixel einzeln gemittelt wird ist es mit dieser Grobkorrektur möglich Einflüsse die nur Teile des Sensors betreffen zu kompensieren. Ein Beispiel dafür ist eine Strahlungsquelle die den Sensor nur in der unteren Hälfte bestrahlt.

### 2.2.2 Coarse correction by average background subtraction (CCBAM)

Ist der Einfluss der Umgebung über den gesamten Sensor konstant, kann CCBAM verwendet werden. Im Gegensatz zur CCBMS werden bei diesem Verfahren alle Pixel über alle ”schwarzen Bilder“ gemittelt und daraus ein konstanter Versatzwert mit

$$\overline{E_{H,Offset}(x,y)} = \frac{1}{n \cdot m} \sum_{i=1}^n \sum_{x,y=1}^m E_H(x,y)_i \quad (2.5)$$

bestimmt. Dabei ist m die Gesamtanzahl an  $(x,y)$  Datenpunkten auf dem Sensor und n die Anzahl der Einzelmessungen. Mit diesem Versatzwert, wird die korrigierte LeistungsdichteVerteilung mit

$$E(x,y) = E_{meas}(x,y) - \overline{E_{H,Offset}(x,y)} \quad (2.6)$$

bestimmt.

## 2.3 Feinkorrektur (Fine correction)

Feinkorrektur stellt die zweite Stufe der Hintergrundkorrektur dar. Sie ist erforderlich wenn die Grobkorrektur alleine nicht ausreicht Hintergrundeinflüsse zu kompensieren.

### 2.3.1 Fine correction by statistical method (FCBSM)

Bei diesem Verfahren wird die HintergrundVerteilung  $E_{H,Offset}(x,y)$  durch einen durchschnittlichen Versatz  $E_{H,Offset}$  und einer Standardabweichung  $E_{H,\sigma}$  beschrieben. Im ersten Schritt ist es bei diesem Verfahren notwendig den Versatz und die Standardabweichung zu schätzen. Eine Methode

## 2 Bestimmung der Strahleigenschaften

um diese Schätzwerte zu generieren ist es sie aus "schwarzen Bildern" zu bestimmen. Für die n "schwarzen Bilder" kann mit Gl. 2.3  $E_{H,Offset}$  abgeschätzt werden. Die Standardabweichung kann aus den n Bildern mit

$$E_{H,\sigma} = \sqrt{\frac{1}{n-1} \sum_{i=1}^n (E_{H,Offset,i} - E_{H,Offset})^2} \quad (2.7)$$

bestimmt werden. Hat nun ein Pixel einen höheren Graustufenwert als

$$E_{i,j} > E_{H,Offset} + n_T E_{B\sigma} \quad (2.8)$$

wird dieser als beleuchtet angesehen und für die Strahldurchmesser und Strahlmittelpunktbestimmung herangezogen. Der Faktor  $n_T$  sollte dabei im Bereich  $2 < n_T > 4$  liegen. Er wird zum Feinjustieren des Kriteriums für beleuchtete Pixel 2.8 verwendet. Jeder Pixel der Gl. 2.8 nicht erfüllt wird zur Bestimmung des Versatzes herangezogen und ergibt sich aus dem Mittelwert der "dunklen"Pixel. Angewendet wird dieses Verfahren allerdings nicht direkt auf das gemessene Bild sondern auf eine verschmierte Version davon. Eine einfache Methode ein Bild zu verschmieren ist die 2D-Faltung. Bei der 2D-Faltung wird ein zentraler Pixel mit seinen umgebenden Pixel summiert, wobei jeder Pixel eine eigene Gewichtung besitzt. Die Gewichtung jedes einzelnen Pixel liegt zwischen 0 - 1 und hängt davon ab welcher Effekt mit der Faltung erreicht werden soll. Festgelegt wird diese mit der sogenannten Kernelmatrix. Das sind  $n \times m$  Matrizen in der die Gewichtungen jedes einzelnen Pixels festgelegt wird. Sie haben die Form

$$K = \begin{pmatrix} a_{1,1} & a_{1,1} & \cdots & a_{1,m} \\ a_{2,1} & a_{2,2} & \cdots & a_{2,m} \\ \vdots & \vdots & \ddots & \vdots \\ a_{n,1} & a_{n,2} & \cdots & a_{n,m}. \end{pmatrix}$$

Um nun ein Bild zu verschmieren benötigt man eine Kernelmatrix in der jeder Pixel dieselbe Gewichtung besitzt. Die Koeffizienten ergeben sich dann zu

$$a_{n,m} = a = \frac{1}{n \cdot m} \quad (2.9)$$

und die Kernelmatrix zu

$$K = \frac{1}{n \cdot m} \begin{pmatrix} 1 & 1 & \cdots & 1 \\ 1 & 1 & \cdots & 1 \\ \vdots & \vdots & \ddots & \vdots \\ 1 & 1 & \cdots & 1. \end{pmatrix} \quad (2.10)$$

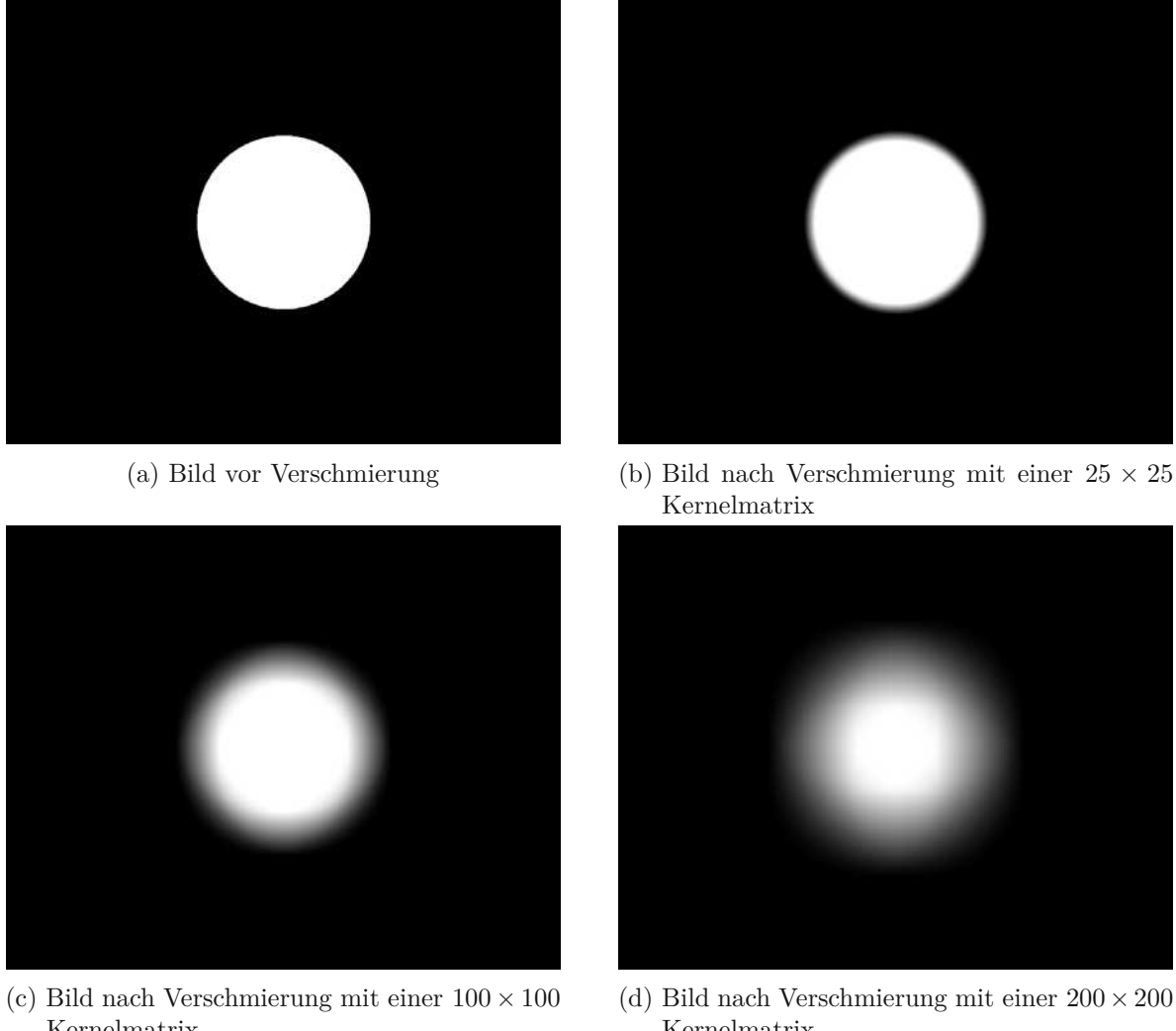
Diese Form der Kernelmatrix wird auch als Verwisch-filter bezeichnet. Jeder einzelne Pixelwert des verschmierten Bildes lässt sich mathematisch beschreiben mit

$$\tilde{E}_{i,j} = \frac{1}{(n+1) \cdot (m+1)} \sum_{k=i-\frac{n}{2}}^{k=i+\frac{n}{2}} \sum_{l=j-\frac{m}{2}}^{l=j+\frac{m}{2}} E_{k,l}. \quad (2.11)$$

Wie stark verschmiert wird hängt von der Größe der Kernelmatrix ab. Verwendet man eine  $25 \times 25$  Kernelmatrix wird aus dem weißen Kreis in Abb. 2.1a ein leicht verwischter. Durch Erhöhung der Anzahl der Elemente die gemittelt werden, kann das Bild weiter verwischt werden (siehe Abb. 2.1c). Um den Einfluss der Kernelmatrix auf das verschmierte Bild zu zeigen wurde das Bild mit einer  $25 \times 25$  Kernelmatrix, einer  $100 \times 100$  Kernelmatrix und einer  $200 \times 200$  Kernelmatrix verschmiert. Der Durchmesser des Kreises wird wächst mit der Größe der Kernelmatrix, wobei die Intensität jedes

## 2 Bestimmung der Strahleigenschaften

Abbildung 2.1: Einfluss der Größe einer Kernelmatrix auf die Bildverschmierung



Pixel gleichzeitig abnimmt. Die Größe der gewählten Kernelmatrix ist daher ein wichtiger Faktor. In der Norm ist als Richtwert für die Größe der Kernelmatrix 2 % – 5 % der Sensorabmessungen angegeben. Auf das verschmierte Bild kann nun zur Bestimmung der unbeleuchteten Pixel die Bedingung

$$\tilde{E}_{i,j} < E_{H,Offset} + n_T \frac{E_{B\sigma}}{\sqrt{(n+1)(m+1)}} \quad (2.12)$$

herangezogen werden. Den tatsächlichen Versatz erhalten wir indem alle Pixel die die Bedingung Gl.2.12 erfüllen(die unbeleuchteten Pixel) mitteln.

$$\overline{E_{H,Offset,tats}} = \frac{\sum E_{i,j}}{\text{Anzahl der Pixel}} \quad (2.13)$$

Das korrigierte Bild wird anschließend mit

$$E(x, y) = E_{meas}(x, y) - \overline{E_{H,Offset,tats}(x, y)} \quad (2.14)$$

bestimmt.

### 2.3.2 Fine correction by approximation method (FCBAM)

Bei der FCBAM wird der Versatz direkt aus dem gemessenen Bild ermittelt. Eine Voraussetzung für Anwendung dieses Verfahren ist, dass der Durchmesser des Laserstrahls nicht größer ist als das 0.5 fache der Sensordimensionen. Das liegt daran, dass es nicht beleuchtete Bereiche auf dem Sensor geben muss aus denen der Versatz berechnet werden kann. Die Ecken des Sensors eignen sich dafür besonders gut, da diese Bereiche im Normalfall nicht beleuchtet sind. Für die Bestimmung des Versatzes werden  $N$  nicht beleuchtete Pixel in einem Bereich  $n \times m$  der 4 Ecken gemittelt. Die Größe des Bereichs kann mit 2 % – 5 % der Sensordimensionen abgeschätzt werden. Die Voraussetzung der Laserstrahlgröße allein reicht aber noch nicht aus um sicher zu stellen, dass diese Methode zulässig ist. Es muss zusätzlich die Bedingung

$$\frac{|E_{H,Offset,meas} - E_{H,Offset}| \sqrt{N}}{E_{H\sigma}} < n_T, \quad (2.15)$$

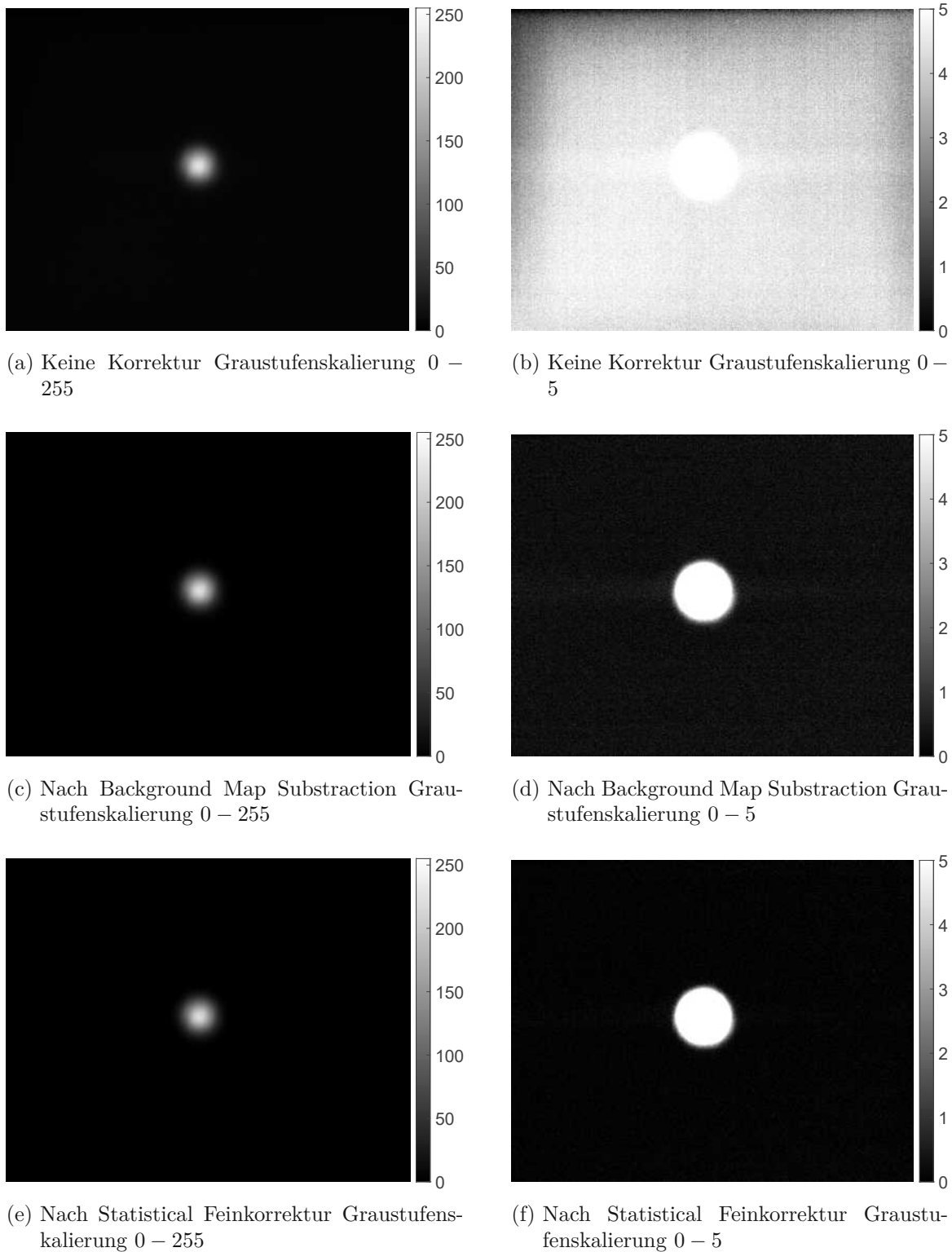
erfüllt werden. Dabei ist  $E_{H,Offset,meas}$  der Versatz bestimmt aus den Ecken,  $E_{H,Offset}$  ist der Versatz bestimmt aus den "schwarzen Bildern" mit Gl. 2.3 und  $n_T$  wie bei FCBSM zwischen  $2 < n_T > 4$  liegen. Die Funktion ist dieselbe wie in FCBSM.

## 2.4 Anwendung der Hintergrundkorrekturverfahren

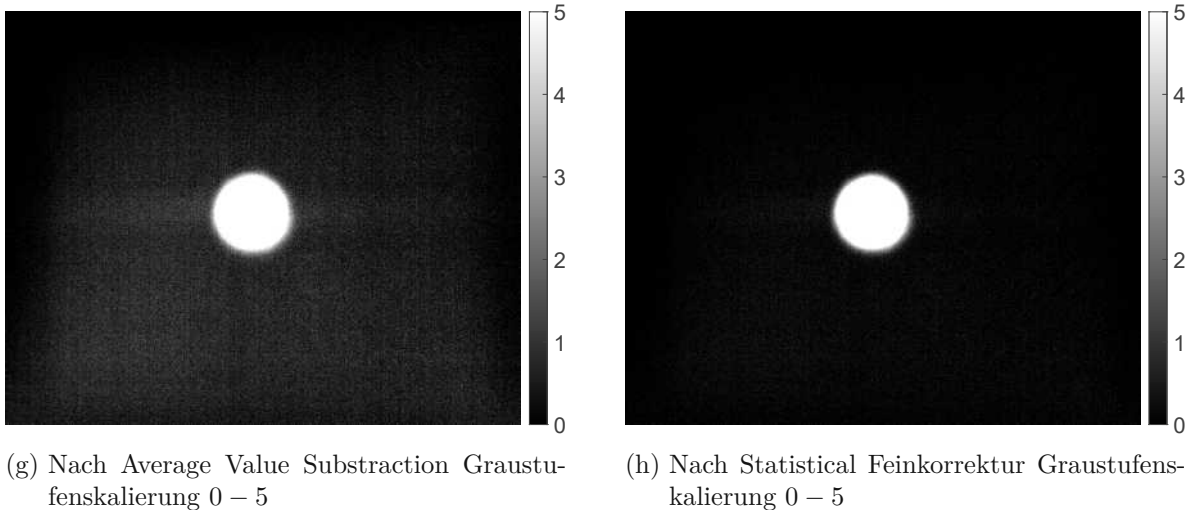
Der Einfluss der Hintergrundkorrekturverfahren auf das gemessene Strahlprofil ist in den folgenden Abbildungen dargestellt. Aufgenommen wurde das Strahlprofil eines He-Ne Lasers. Verwendet wurde dafür eine monochromatische Kamera mit einem Wertebereich von 0 – 255 in einem verdunkelten Raum. Der Raum konnte allerdings nicht vollständig verdunkelt werden. Die Verwendung des gesamten Wertebereichs für die Skalierung der Pixel führte zu Bildern die auf ersten Blick völlig hintergrundfrei waren. Um die mitgemessenen Hintergrundeinflüsse sichtbar zu machen, war es notwendig den Wertebereich der Graustufenskalierung von 0 – 255 auf 0 – 5 zu verringern. Mit dieser neuen Skalierung hoben sich Pixel mit Graustufen  $> 0$  von den schwarzen Pixeln deutlich ab. Abb. 2.2a zeigt ein Messergebnis mit einer Graustufenskalierung von 0 – 255 was dem gesamten möglichen Wertebereich entspricht und Abb. 2.2b dasselbe Messergebnis allerdings mit einer reduzierten Graustufenskalierung von 0 – 5. Der Unterschied zwischen den beiden Skalierungen war klar zu erkennen. In Abb. 2.2a war es eine scheinbar hintergrundfreie Aufnahme eines Laserstrahls mit  $TEM_{00}$  Profil. Mit dem verkleinerten Wertebereich in Abb. 2.2b wurde der Hintergrund sichtbar und das Strahlprofil war nur mehr schwer zu erkennen. Abb. 2.2c und Abb. 2.2d zeigen dasselbe Profil, nachdem CCBMS auf das Bild angewendet wurde. Eine Gegenüberstellung der beiden verschiedenen Graustufenskalierungen lieferte in der 0 – 255 Graustufenskalierung keinen sichtbaren Unterschied zum unkorrigierten Profil in Abb. 2.2a. In Abb. 2.2d wird der Effekt den die Grobkorrektur auf das unkorrigierte Bild hatte sehr klar, da nun das Strahlprofil eindeutig erkennbar war. Betrachtet man Abb. 2.2d im Detail fällt auf, dass die Grobkorrektur nicht alles kompensieren konnte. Aus diesem Grund wurde nun noch eine Feinkorrektur nach der Grobkorrektur durchgeführt. Angewendet wurde die Feinkorrektur anhand einer statistischen Methode (FCBSM). Dargestellt ist das Ergebnis in Abb. 2.2e und Abb. 2.2f wieder mit beiden Graustufenskalierungen. Auch im fein korrigierten Bild mit der Farbskalierung 0 – 255 ist erwartungsgemäß kein Unterschied zum unkorrigierten Bild Abb. 2.2a sichtbar. Mit der reduzierten Graustufenskalierung ist eine klare Verbesserung zur Grobkorrektur in Abb. 2.2d erkennbar. Im Idealfall erhält man nach Grob- und Feinkorrektur ein völlig hintergrundfreies Bild auf dem nur das Laserstrahlprofil zu sehen ist. Realistisch bleibt aber ein gewisses Restrauschen übrig, das aufgrund seiner Zufälligkeit nicht gut korrigiert werden kann. Es gibt wie bereits in Kap. 2.1 erwähnt verschiedene Möglichkeiten diese Korrektur durchzuführen. CCBAM als Grobkorrektur kompensierte einen Großteil des Hintergrundes, allerdings nicht so gut wie CCBMS. Aus den Ergebnissen geht hervor, dass die Grobkorrektur mit CCBMS das Rauschen

## 2 Bestimmung der Strahleigenschaften

Abbildung 2.2: Einfluss der Graustufenskalierung und der Korrekturverfahren



besser filtert als CCBAM. Der Grund dafür ist in Abb.2.2g zu sehen. Das Bild zeigt eine inhomogene Verteilung des Rauschens. Ein häufiger Grund dafür ist, dass die Hintergrundstrahlung mit einem Eintrittswinkel (Angle of incidence AOI)  $\neq 0$  auf den Kamerasensor trifft wodurch der Sensor inhomogen beleuchtet wird. CCBAM eignet sich wie bereits beschrieben nur für die Kompensation



von jenen Einflüssen, die den gesamten Kamerasensor betreffen.

## 2.5 Bestimmung des Strahldurchmessers aus einer gegebenen Leistungsdichteverteilung

### 2.5.1 Stigmatische und leicht astigmatische Strahlen

Als Grundlage für die Bestimmung der Laserstrahleigenschaften von stigmatischen bzw. leicht astigmatischen Strahlen dient die DIN EN ISO 11146-1. In ihr sind die Berechnungsverfahren beschrieben um aus einer gegebenen Leistungsdichteverteilung eines Laserstrahls die Laserstrahleigenschaften zu bestimmen. Verwendet wird dafür die Momente erster- bzw. zweiter- Ordnung.

#### Bestimmung der Momente erster Ordnung einer Leistungsdichteverteilung $\bar{x}, \bar{y}$

Die Momente erster Ordnung einer Leistungsdichteverteilung beschreiben die Position des Strahlzentrums. In den allgemeinen Gleichungen gehen die Grenzen von  $-\infty$  bis  $\infty$ , wir ersetzen diese Grenzen mit unseren finiten Integrationsbereich beschränkt durch die Größe des Kamerasensors. Die Momente erster Ordnung können bestimmt werden mit

$$\bar{x}(z) = \frac{\int_{-\infty}^{\infty} \int_{-\infty}^{\infty} E(x, y, z)x \, dx \, dy}{\int_{-\infty}^{\infty} \int_{-\infty}^{\infty} E(x, y, z) \, dx \, dy} \quad (2.16)$$

und

$$\bar{y}(z) = \frac{\int_{-\infty}^{\infty} \int_{-\infty}^{\infty} E(x, y, z)y \, dx \, dy}{\int_{-\infty}^{\infty} \int_{-\infty}^{\infty} E(x, y, z) \, dx \, dy} \quad (2.17)$$

$\bar{x}$  entspricht dem Abstand des Strahlzentrums von der x-Achse und  $\bar{y}$  dem Abstand des Strahlzentrums von der y-Achse des gewählten Integrationsbereichs.  $E(x, y, z)$  ist dabei der Intensitätswert eines Pixels und  $x$  bzw.  $y$  der Abstand des Pixels zum Koordinatensystem des gewählten Integrationsbereichs.

### Bestimmung der Momente zweiter Ordnung einer LeistungsdichteVerteilung $\sigma_x^2, \sigma_y^2, \sigma_{xy}^2$

Die Momente zweiter Ordnung einer LeistungsdichteVerteilung beschreiben die geometrische Ausdehnung eines Strahls und sind gegeben durch

$$\sigma_x^2(z) = \langle x^2 \rangle = \frac{\int_{-\infty}^{\infty} \int_{-\infty}^{\infty} E(x, y, z)(x - \bar{x})^2 dx dy}{\int_{-\infty}^{\infty} \int_{-\infty}^{\infty} E(x, y, z) dx dy} \quad (2.18)$$

für das Moment zweiter Ordnung in x,

$$\sigma_y^2(z) = \langle y^2 \rangle = \frac{\int_{-\infty}^{\infty} \int_{-\infty}^{\infty} E(x, y, z)(y - \bar{y})^2 dx dy}{\int_{-\infty}^{\infty} \int_{-\infty}^{\infty} E(x, y, z) dx dy} \quad (2.19)$$

für das Moment zweiter Ordnung in y und

$$\sigma_{xy}^2(z) = \langle xy \rangle = \frac{\int_{-\infty}^{\infty} \int_{-\infty}^{\infty} E(x, y, z)(x - \bar{x})(y - \bar{y}) dx dy}{\int_{-\infty}^{\infty} \int_{-\infty}^{\infty} E(x, y, z) dx dy} \quad (2.20)$$

für das Mischmoment zweiter Ordnung.

### Bestimmung des Azimutwinkels $\varphi$

Der Azimutwinkel  $\varphi$  beschreibt den Winkel zwischen der x-Achse der Kamera und der Hauptachse des Strahlprofils die am nächsten dazu liegt. Der Winkel der Kamera zum Laser wird durch die Montage der Kamera festgelegt. Bei einfach astigmatischen Strahlen kann der Azimutwinkel bestimmt werden mit

$$\varphi(z) = \frac{1}{2} \arctan \left( \frac{2\sigma_{xy}^2}{\sigma_x^2 - \sigma_y^2} \right) \quad (2.21)$$

für LeistungsdichteVerteilungen in denen  $\sigma_x^2 \neq \sigma_y^2$  ist. Begrenzt ist der Azimutwinkel in diesem Fall auf  $-\frac{\pi}{4} < \varphi < \frac{\pi}{4}$ . Für den Fall das  $\sigma_x^2 = \sigma_y^2$  ist, kann der Azimutwinkel bestimmt werden mit

$$\varphi = \operatorname{sgn}(\sigma_{xy}^2) \frac{\pi}{4} \quad (2.22)$$

und  $\operatorname{sgn}(\sigma_{xy}^2)$  mit

$$\operatorname{sgn}(\sigma_{xy}^2) = \frac{\sigma_{xy}^2}{|\sigma_{xy}^2|}. \quad (2.23)$$

Der Azimutwinkel ist in diesem Fall entweder  $-\frac{\pi}{4}$  oder  $\frac{\pi}{4}$ .

### Bestimmung der Strahlabmessungen in Hauptachsenrichtung $d_{\sigma_x}, d_{\sigma_y}$

Die Bestimmung der Strahlabmessungen erfolgt in Richtung der Hauptachsenrichtung. Für LeistungsdichteVerteilungen in denen  $\sigma_x^2 \neq \sigma_y^2$  können die Laserstrahlabmessungen bestimmt werden mit

$$d_{\sigma_x}(z) = 2\sqrt{2} \left\{ (\sigma_x^2 + \sigma_y^2) + \gamma \left[ (\sigma_x^2 - \sigma_y^2)^2 + 4(\sigma_{xy}^2)^2 \right]^{\frac{1}{2}} \right\}^{\frac{1}{2}} \quad (2.24)$$

und

$$d_{\sigma y}(z) = 2\sqrt{2} \left\{ \left( \sigma_x^2 + \sigma_y^2 \right) - \gamma \left[ \left( \sigma_x^2 - \sigma_y^2 \right)^2 + 4(\sigma_{xy}^2)^2 \right]^{\frac{1}{2}} \right\}^{\frac{1}{2}}. \quad (2.25)$$

Dabei ist

$$\gamma = \operatorname{sgn}(\sigma_x^2 - \sigma_y^2) = \frac{\sigma_x^2 - \sigma_y^2}{|\sigma_x^2 - \sigma_y^2|} \quad (2.26)$$

Ist  $\sigma_x^2 = \sigma_y^2$  vereinfachen sich die Gleichungen zu

$$d_{\sigma x}(z) = 2\sqrt{2} \left( \sigma_x^2 + \sigma_y^2 + |2\sigma_{xy}^2| \right)^{\frac{1}{2}} \quad (2.27)$$

und

$$d_{\sigma y}(z) = 2\sqrt{2} \left( \sigma_x^2 + \sigma_y^2 - |2\sigma_{xy}^2| \right)^{\frac{1}{2}}. \quad (2.28)$$

Ist die Elliptizität  $\varepsilon$

$$\varepsilon = \frac{d_{\sigma, \max}}{d_{\sigma, \min}} \quad (2.29)$$

größer als 0.87 darf der Laserstrahlquerschnitt als symmetrisch betrachtet werden und kann mit

$$d_\sigma(z) = 2\sqrt{2} \left( \sigma_x^2 + \sigma_y^2 \right)^{\frac{1}{2}} \quad (2.30)$$

berechnet werden.

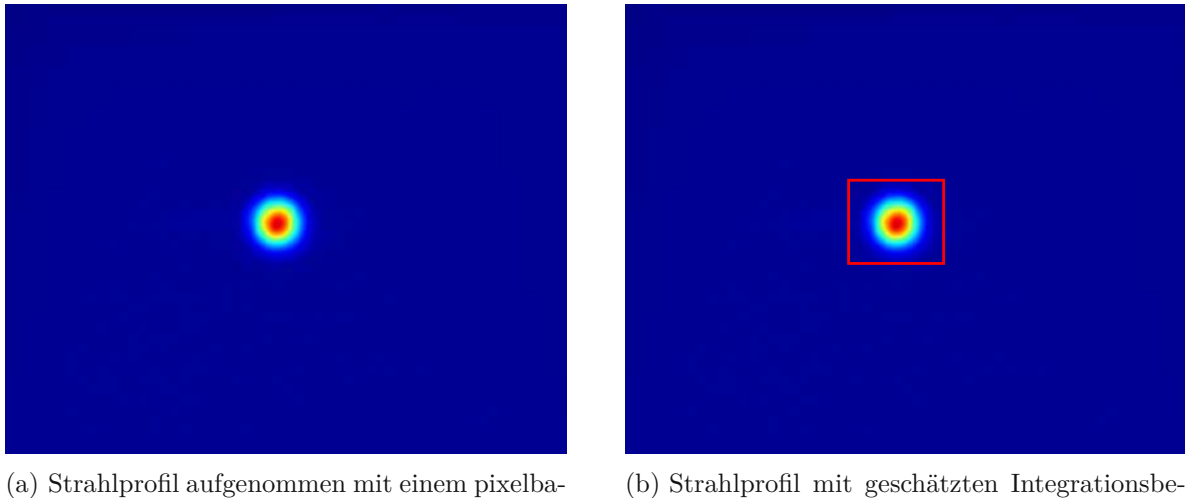
## 2.6 Anwendung auf Einzelaufnahme eines Strahlprofils mit pixelbasierten Sensor

Um nun aus einer Einzelaufnahme eines Strahlprofils alle bisher beschriebenen Parameter zu berechnen, ist ein geeigneter Integrationsbereich notwendig. Festgelegt ist dafür in der Norm, dass der Integrationsbereich dreimal so groß sein sollte wie die Strahlabmessungen. Aus diesem Grund ist auch die Hintergrundkorrektur essentiell, da alle Pixel mit Werten  $\neq 0$  in die Momentenberechnung mit einfließen. Gleichzeitig ist diese Anforderung an den Integrationsbereich eine Limitierung des mit einer bestimmten Kamera messbaren maximalen Strahlabmessungen. Wird zum Beispiel eine Kamera mit einem  $6 \text{ mm} \times 6 \text{ mm}$  Sensor verwendet darf der Strahldurchmesser an keiner Stelle  $> 2 \text{ mm}$  sein. Mit einer Aufnahme eines Strahlprofils die die Bedingung erfüllt siehe Abb. 2.3a muss noch ein passender Integrationsbereich gewählt werden. Dafür wird im ersten Schritt der Integrationsbereich händisch geschätzt. Die mit diesem Integrationsbereich berechneten Strahlabmessungen können aber, wenn man nicht zufällig den idealen Integrationsbereich auswählt, ungenau sein. Die Lösung dafür ist die Strahlabmessungen iterativ zu bestimmen. Wir legen einen ersten Schätzwert für die Position des Strahls und dessen Strahlabmessungen fest siehe (Abb. 2.3b). Mit diesem geschätzten Integrationsbereich werden die Strahlabmessungen berechnet, anschließend werden aufgrund dieser Strahlabmessungen ein neuer Integrationsbereich festgelegt und wieder die Strahlabmessungen berechnet. Dieser Schritt wird wiederholt bis das Konvergenzkriterium

$$\left. \begin{array}{l} |d_{\sigma,x,alt} - d_{\sigma,x,new}| \\ |d_{\sigma,y,alt} - d_{\sigma,y,new}| \\ |\bar{x}_{alt} - \bar{x}_{new}| \\ |\bar{y}_{alt} - \bar{y}_{new}| \end{array} \right\} \leq k_{convergence} \quad (2.31)$$

erfüllt ist.

Abbildung 2.3: Auswahl des geschätzten Integrationsbereichs



(a) Strahlprofil aufgenommen mit einem pixelbasierten Sensor

(b) Strahlprofil mit geschätzten Integrationsbereich

## 2.7 Bestimmung von Taillenlagen, Divergenzwinkeln und Beugungsmaßzahlen

Für die Bestimmung von Taillenlagen, Divergenzwinkeln und Beugungsmaßzahlen sind mehrere Messpunkte entlang der Ausbreitungsrichtung (z-Achse) des Strahls notwendig. Vorgegeben wird in der Norm, dass die Hälfte der Messpunkte innerhalb einer Rayleighlänge der Strahltaille und die andere Hälfte jenseits von zwei Rayleighlängen liegen sollten. Die Anzahl der Messpunkte sollte  $\geq 10$  sein. Bestimmt werden die Parameter indem eine hyperbolische Kurve an die quadrierten Strahlabmessungen der Form

$$d_{\sigma x,y}^2(z) = a + bz + cz^2. \quad (2.32)$$

angepasst wird siehe Abb. 2.4. Aus den Koeffizienten a, b und c (bzw.  $a_x, a_y, b_x, b_y, c_x, c_y$ ) der

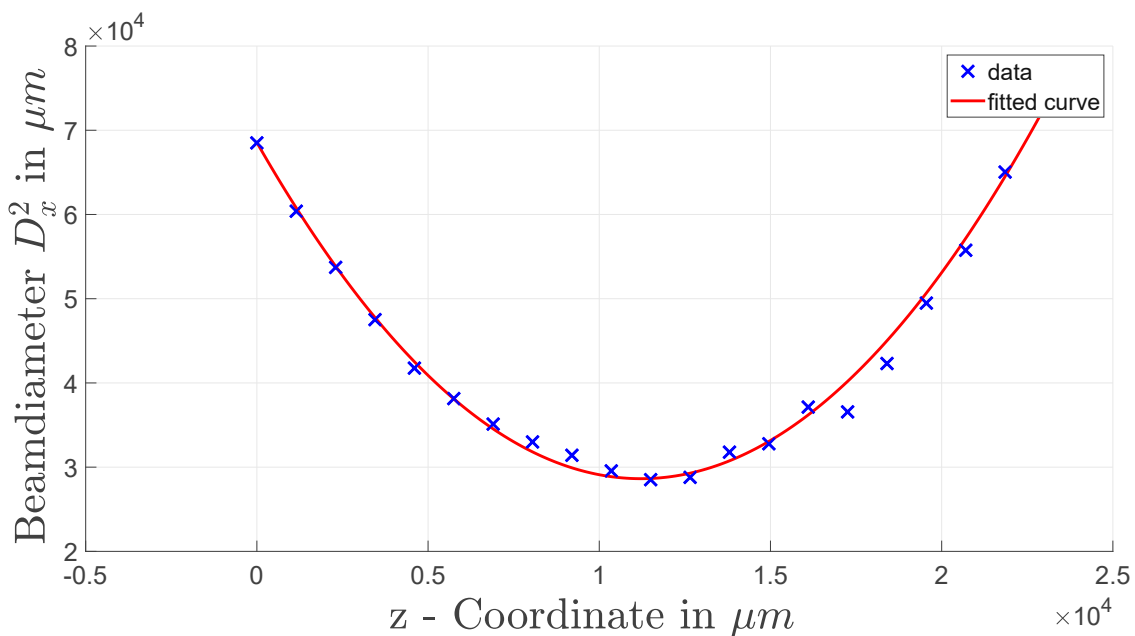


Abbildung 2.4: An die Strahldurchmesser in x-Richtung angepasste hyperbolische Kurve

## 2 Bestimmung der Strahleigenschaften

angepassten Hyperbel kann die Taillenlage mit

$$z_{0x,0y} = \frac{-b_{x,y}}{2c_{x,y}}, \quad (2.33)$$

die Strahlabmessungen der Strahltaille mit

$$d_{\sigma 0x,\sigma 0y} = \frac{1}{2\sqrt{c_{x,y}}} \sqrt{4a_{x,y}c_{x,y} - b_{x,y}^2}, \quad (2.34)$$

die Divergenzwinkel mit

$$\Theta_{\sigma x,\sigma y} = \sqrt{c_{x,y}}, \quad (2.35)$$

die Rayleigh Länge mit

$$z_{Rx,Ry} = \frac{1}{2c_{x,y}} \sqrt{4a_{x,y}c_{x,y} - b_{x,y}^2} \quad (2.36)$$

und die Beugungsmaßzahl mit

$$M_{x,y}^2 = \frac{\pi}{8\lambda} \sqrt{4a_{x,y}c_{x,y} - b_{x,y}^2} \quad (2.37)$$

bestimmt werden.

### 3 Messaufbau

Die verfügbare Fläche vor dem FSL ist begrenzt durch opto-mechanische und mechanische Komponenten, die für Oberflächenstrukturierung von Metallen verwendet werden (siehe Abb. 3.1). Aus

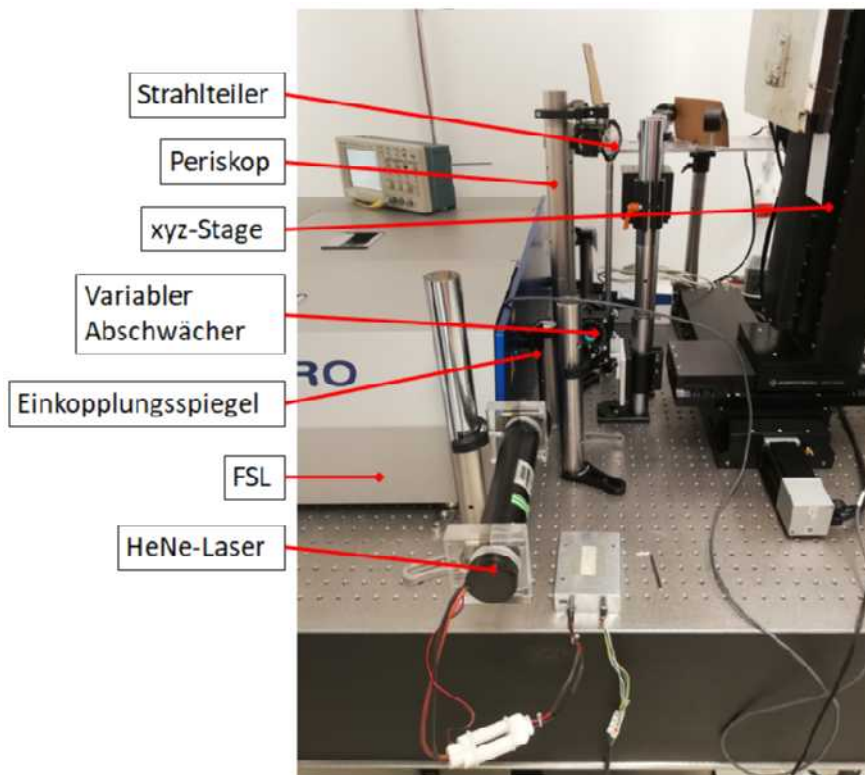


Abbildung 3.1: Anordnung opto-mechanischer Elemente vor dem FSL

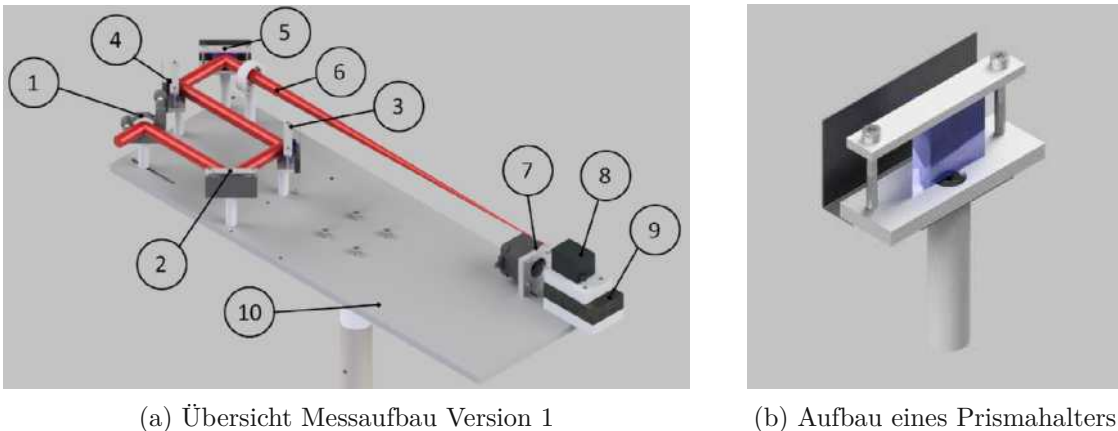
diesem Grund war es notwendig den Messaufbau so kompakt wie möglich zu gestalten. Entworfen wurde der Messaufbau mithilfe von CAD, wodurch sehr schnell und effizient Änderungen vorgenommen werden konnten. Der entworfene Messaufbau wurde in einem Vorversuch mit einem He-Ne Laser getestet und mit der gewonnenen Erfahrung überarbeitet. Auf diese Weise wurde der Messaufbau zweimal überarbeitet.

#### 3.1 Messaufbau 1

Messaufbau 1 besteht aus einer Aluminium Grundplatte (10) die auf einem vertikalen Steher aus Stahl montiert wurde, einem silberbeschichteten Einkopplungsspiegel (1), 4 rechtwinkeligen Prismen (2) - (5), einer Fokussierlinse mit Brennweite 500 mm (6), einer Kamera mit CMOS Sensor (8) und einem Linearschlitten mit maximalen Verfahrweg 23 mm (9) angetrieben mithilfe eines Schrittmotors (7). Der Laserstrahl durchläuft den Messaufbau beginnend mit dem silberbeschichteten Spiegel (1). Er übernimmt das Einkoppeln des Laserstrahls in das Messsystem und wurde auf einem justierbaren Spiegelhalter montiert. Nach dem Einkopplungsspiegel wurde der Laserstrahl durch Reflexion, an den Prismen (2) - (5), umgelenkt und gleichzeitig aufgrund der Reflexions- bzw. Transmissionseigenschaften der Prismen abgeschwächt. Bestimmt werden die Reflexions- und

### 3 Messaufbau

Abbildung 3.2: Messaufbau Version 1



(a) Übersicht Messaufbau Version 1

(b) Aufbau eines Prismahalters

Transmissionskurven vom Werkstoff der Prismen. Für die Bandbreite des FSL von 40 nm mit einer zentralen Wellenlänge von 800 nm und dem He-Ne Laser mit einer Wellenlänge von 632.8 nm sind Prismen aus BK7 geeignet, da sie in diesem Bereich nahezu konstante Eigenschaften haben (siehe Abb . 3.9). Jede Prisma reflektiert  $\sim 10\%$  der auftreffenden Strahlung. Dadurch ergibt sich bei serieller Reflexion an vier Prismen ein Abschwächungsfaktor von  $10^{-4}$ . Die Prismen wurden in eigens dafür konstruierten Prismahaltern montiert. Sie bestehen aus zwei Platten die über zwei Schrauben miteinander verbunden sind siehe Abb. 3.2b. Das Prisma befindet sich zwischen den beiden Platten und kann über die Schrauben fixiert werden. Auf der Rückseite des Prismahalters sind zusätzlich matt schwarz lackierte Strahlabfangbleche montiert, die transmittierte Strahlung abfangen sollten. Das letzte optische Element bildete eine Fokussierlinse (6) aus BK7 die den Laserstrahl auf die Kamera (7) fokussierte. Die Fokussierung war notwendig, da der Rohstrahl des FSL größer ist als der verbaute Sensor in der Kamera (siehe Kap. 3.4.6. In der Norm wird diese durch die Fokussierlinse erzeugte Strahltaille als künstliche Strahltaille bezeichnet. Die Kamera wurde auf einem Linearschlitten montiert der von einem 24 V Schrittmotor angetrieben wurde. Der Verfahrweg pro Schritt des Schrittmotors ist aus in einem Versuch ermittelt worden. Dabei wurde die Position  $z_0$  des Linearschlittenschlitten zu einer Referenzkante (Hinterkante der Linearschlitten) gemessen. Nach separaten Verfahren des Linearschlittens um 1000 Schritte, wurde der Abstand  $z_{1000}$  zur Referenzkante gemessen. Der Verfahrweg pro Schritt ergibt sich zu

$$\Delta z_i = \frac{|z_0 - z_{1000}|}{1000}. \quad (3.1)$$

Die Messung wurde 20 Mal wiederholt und aus den Einzelergebnissen der Mittelwert mit

$$\Delta z = \frac{1}{n} \sum_{i=1}^n \Delta z_i \quad (3.2)$$

gebildet. Daraus ergab sich ein Verfahrweg pro Schritt von  $1.8\mu m$ . Gesteuert wird der Schrittmotor über ein Arduino UNO Rev3 Microcontroller-Board. Als Treiberstufe wird ein Arduino Motor Shield Rev3 verwendet. Die Grundplatte bildet eine unabhängige Messebene, wodurch der Messaufbau ohne großen Aufwand zum Vermessen anderer Laserquellen verwendet werden kann. Die Höhe der Grundplatte bezogen auf die Montageoberfläche des Stehers ist von 375 mm bis 415 mm einstellbar.

#### 3.1.1 Vorversuch mit einem He-Ne Laser

Bevor das Messsystem am FSL getestet wurde, ist ein Vorversuch mit einem He-Ne Laser durchgeführt worden. Der Laser hat eine Zentral-Wellenlänge von 632.8 nm, einen  $1/e^2$  Durchmesser

von 1.02 mm, und eine Ausgangleistung von 7 mW. Für den Versuch wurde der Laserstrahl wie in Abb. 3.2a dargestellt über den Einkopplungsspiegel ① ins Messsystem eingekoppelt und mit der Kamera ⑦ das Strahlprofil aufgenommen. Die Ziele des Vorversuchs waren es das Messprogramm zu testen, die Funktionalität des Messaufbaus sicher zu stellen und die optischen Elemente so genau wie möglich auszurichten. Die Ausrichtung jedes einzelnen optischen Elements war einfach durchzuführen, aber alle Komponenten im Zusammenspiel miteinander auszurichten war sehr arbeitsintensiv. Ausgerichtet wurden die Komponenten in der Reihenfolge wie der Laserstrahl sie durchläuft ① - ⑥. Der Prozess wurde solange wiederholt bis der Laserstrahl den Kamera Sensor traf.

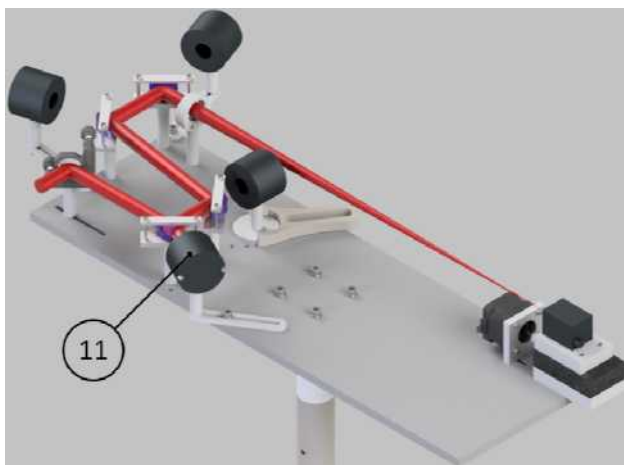
### 3.1.2 Ergebnisse des Vorversuchs mit Messaufbau 1

Die Ergebnisse des Vorversuchs zeigten, dass es durch die geometrische Anordnung der Prismen und Bleche zu Reflexionen an den Strahlabfangblechen kam. Die Reflexionen überlagerten sich mit dem Messignal, wodurch die Messergebnisse unbrauchbar wurden.

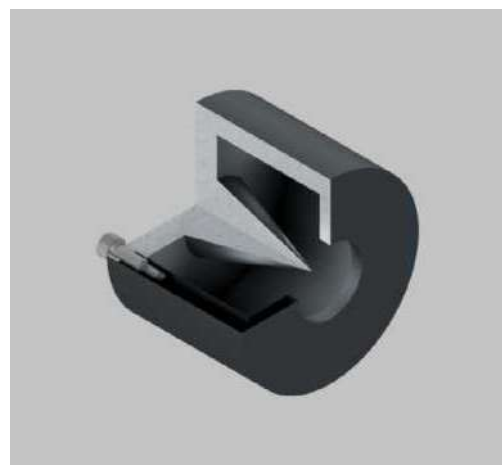
## 3.2 Messaufbau 2

Messaufbau 2 hatte denselben Grundaufbau wie Messaufbau 1, allerdings wurden die Strahlabfangbleche entfernt und durch Strahlabsorber ⑪ ersetzt siehe Abb. 3.3a. Strahlabsorber sind Körper

Abbildung 3.3: Messaufbau Version 2 und Strahlfalle



(a) Übersicht Messaufbau Version 2



(b) Dreiviertelschnitt einer Strahlfalle

die Laserstrahlen durch Absorption in Wärme umwandeln sollen. Die einfachste Ausführung für Absorber sind passiv oder aktiv gekühlte Platten. Eine weitere Möglichkeit ist es die Strahlabsorber als "Fallen" zu konzipieren in die der Laserstrahl durch eine Öffnung eintreten, aber durch geschickt gewählte Geometrien im inneren der Falle nicht mehr austreten bevor er vollständig absorbiert wird. Wie die Plattenabsorber können auch die Strahlfallen passiv oder aktiv gekühlt ausgeführt werden. Die Strahlabsorber für Messaufbau 2 sind als passiv gekühlte Strahlfallen konzipiert worden (siehe Abb. 3.3b). Sie bestehen aus zwei Teilen. Einem zylindrischen Absorptionskörper mit der Eintrittsbohrung und einer Abschlussplatte mit Spitzkegel. Der Spitzkegel absorbiert einen Teil der Strahlung und reflektiert den restlichen Anteil in Richtung der Absorptionskörperwände, die wiederum Strahlung absorbieren und reflektieren. Auf diese Art wird der Strahl vielfach im Körper reflektiert bis er vollständig absorbiert ist. Um die Absorptionsfähigkeit der Oberflächen zu steigern wurden diese zusätzlich matt schwarz lackiert.

### 3.2.1 Ergebnisse des Vorversuchs mit Messaufbau 2

Die Ergebnisse des Vorversuchs mit Messaufbau 2 zeigten, dass die transmittierte Strahlung innerhalb des Prismas reflektiert wurde. Das führte dazu, dass der an der Rückseite des Prismas reflektierte Laserstrahl das Prisma an der Frontfläche als Sekundärstrahl seitlich verschoben aber parallel zum Primärstrahl austrat siehe Abb .3.4. Dieser parallelen Sekundärstrahlen traten bei jedem Prisma auf, wodurch an der Fokussierlinse mehrere örtlich verschobene aber annähernd parallele Strahlen auftrafen. Diese wurden von der Linse auf die Kamera fokussiert, wodurch es zu Interferenzen

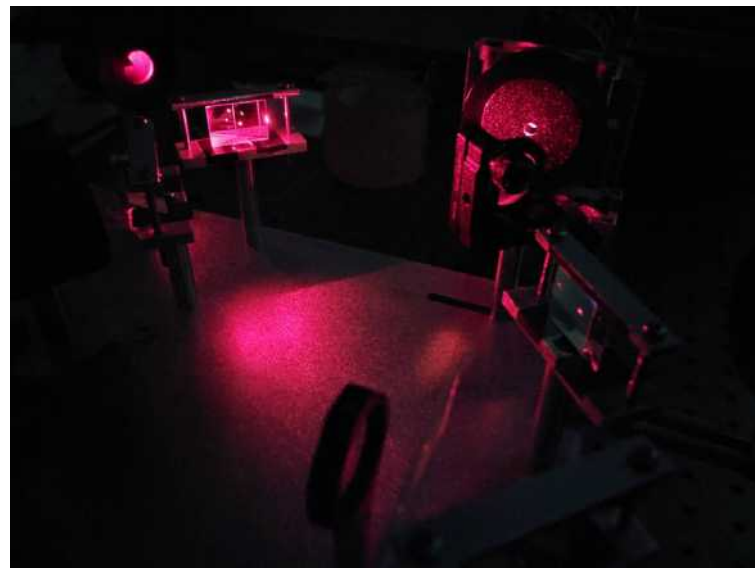
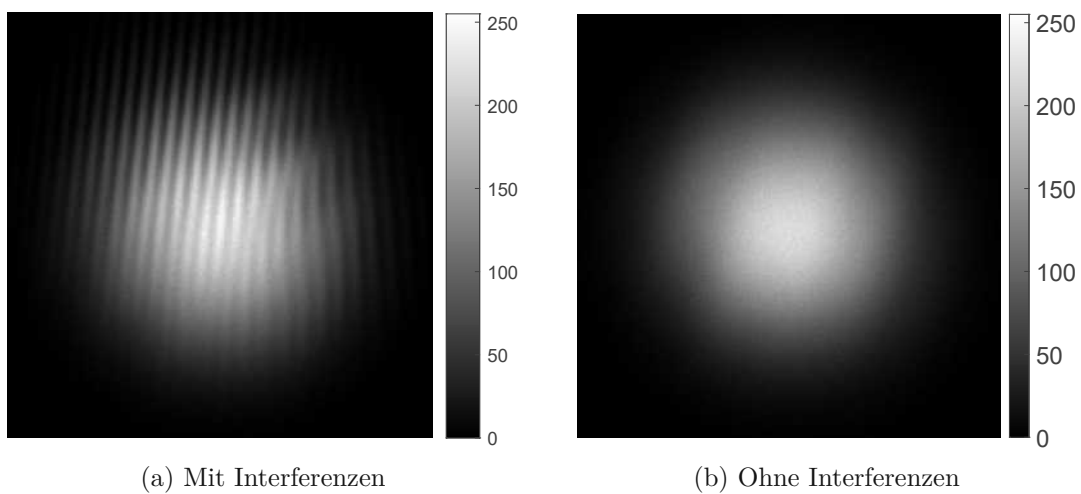


Abbildung 3.4: Reflexionen im Prisma

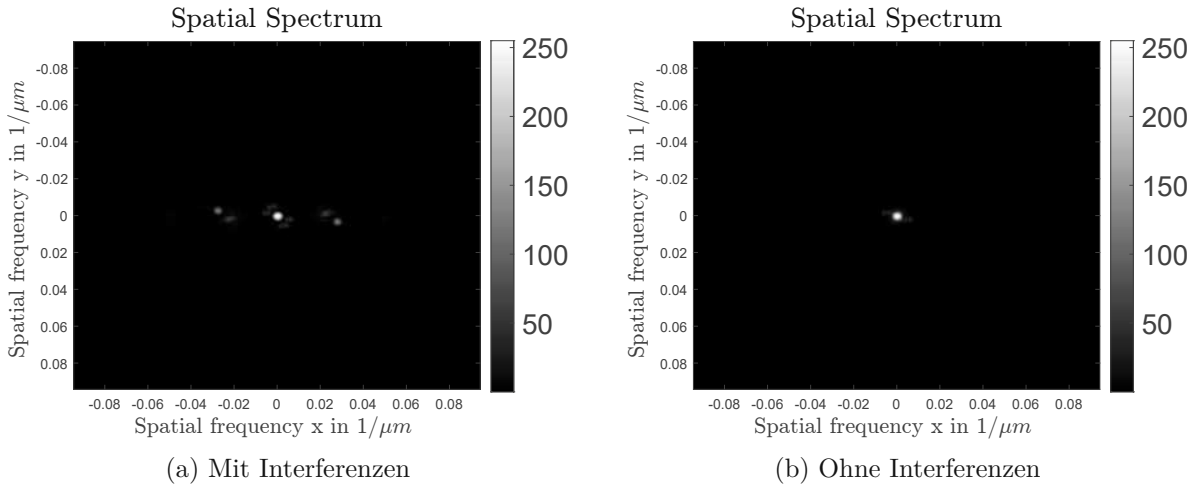
im gemessenen Strahlprofil kam. Die ungewünschten Laserstrahlen konnten im Vorversuch mittels Schablone abgeblockt werden was zu einer Unterdrückung der Interferenzen führte. Zu sehen ist der Einfluss dieser sekundären Reflexionen in Abb. 3.5a. Abb. 3.5b zeigt das Messergebnis mit unterdrückten Sekundärstrahlen. Eine weitere Möglichkeit der Veranschaulichung von Interferenzen ist

Abbildung 3.5: Laserstrahlprofil



die Anwendung einer 2D FastFourierTransformation(FFT) wodurch ein Bild in seine Spektralanteile zerlegt wird siehe Abb. 3.6a und Abb. 3.6b. In den Spektren wurden die Intensitäten logarithmisch

Abbildung 3.6: Ortsfrequenzspektrum eines Laserstrahlprofils



skaliert als Grauwerte im Bereich von 0 – 255 und in x- und y-Richtung die Ortsfrequenzen aufgetragen. Durch die logarithmische Skalierung wurden die Hauptanteile eindeutig sichtbar. Abb. 3.6b der Messung ohne Interferenzen zeigte, dass sich das Strahlprofil hauptsächlich aus niedrigen Ortsfrequenzen zusammensetzt. Verglichen mit Abb. 3.6a dem Strahlprofil mit Interferenzen fiel auf, dass die zentralen Teile beider Spektren beinahe identisch waren. Sie unterschieden sich nur über zusätzliche Anteile mit höhere Ortsfrequenz in x-Richtung. Im Strahlprofil siehe Abb. 3.5a waren diese als Streifen in y-Richtung erkennbar. Damit die Sekundärstrahlen in Messaufbau 2 mit einer Schablone unterdrückt werden konnten mussten die Strahlabmessungen klein sein. Der He-Ne Laser hat einen Strahldurchmesser von 1.02 mm wodurch die Sekundärstrahlen unterdrückt werden konnten. Im Gegensatz dazu hat der FSL laut Datenblatt einen Durchmesser von 15 mm, wodurch der Sekundärstrahl sich bereits vor der Fokussierlinse mit dem Primärstrahl überlagerte und eine Schablone keine Option darstellte.

### 3.3 Messaufbau 3

Um die Interferenzerscheinungen zu eliminieren wurde Messaufbau 3 neu konzipiert. Das bisher verwendete Konzept bei dem die Abschwächung des Laserstrahls durch Reflexion an Prismen erreicht wurde ist verworfen worden. Ersetzt wurden sie mit Neutraldichte Filter (ND-Filter) (12), die deren

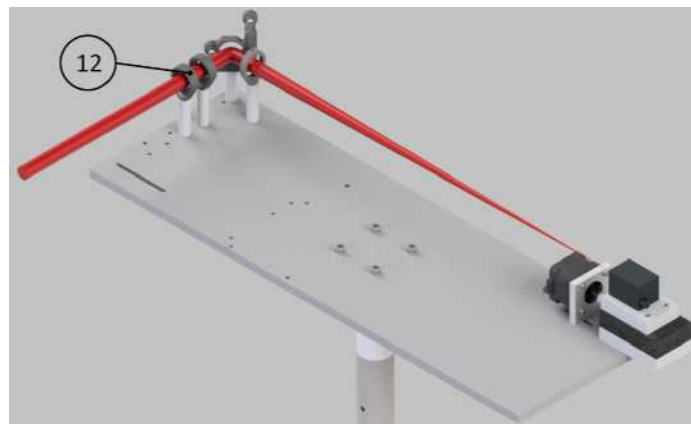


Abbildung 3.7: Messaufbau Version 3

Funktion übernahmen siehe Abb. 3.7. Für die ND-Filter wurden Filter mit einer optischen Dichte von 5.0 bzw. 4.0 verwendet. Der zuvor am Anfang des Laserstrahls platzierte Einkopplungsspiegel wurde ans Ende verschoben und dazu verwendet den Laserstrahl auf die Kamera auszurichten.

### 3.3.1 Ergebnisse aus dem Vorversuch mit Messaufbau 3

Die Ergebnisse des Vorversuchs mit Messaufbau 3 zeigten ein Interferenzfreies Strahlprofil.

## 3.4 Verwendete Hardware und Software

### 3.4.1 Unbeschichtetes rechtwinkliges Prisma (Thorlabs PS908) [10]

Das Prisma PS908 von Thorlabs ist ein unbeschichtetes rechtwinkliges Prisma aus BK7 mit einer Kantenlänge von 20 mm und einer Höhe von 20 mm. Es besitzt im Wellenlängenbereich von 600 nm



Abbildung 3.8: Rechtwinkliges Prisma PS908 [11]

- 1000 nm nahezu konstante Transmissionseigenschaften (siehe Abb .3.9), wodurch es sich sowohl für den Vorversuch mit dem He-Ne Laser, als auch den Versuch am FSL eignet.

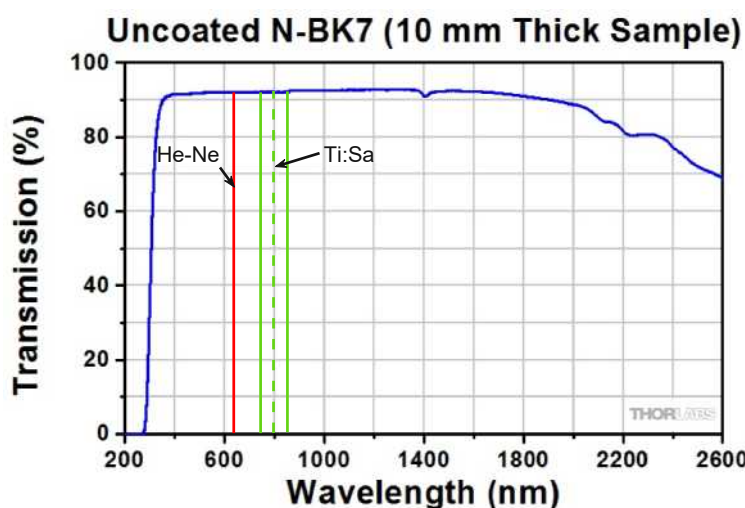


Abbildung 3.9: Transmissionskurve von unbeschichtetem BK7 [12]

### 3.4.2 Neutraldichtefilter ND-Filter (Thorlabs NE40B-B, NE50B-B) [13]

Verwendet wurden OD 4.0 und OD 5.0 Filter vom Typ NE40B-B und NE50B-B der Firma Thorlabs. Es sind Antireflektionsbeschichtete Filter die für einen Wellenlängen Bereich von 650 nm - 1050 nm nahezu konstante Transmissionseigenschaften besitzt. Aufgrund der Beschichtung ist bei der Handhabung und Reinigung besondere Vorsicht geboten um Beschädigungen der Beschichtung



Abbildung 3.10: ND Filter NE40B-B, NE50B-B [14]

zu vermeiden. Die Transmissionskurven für OD 2.0 - OD 6.0 sind in Abb. 3.11 abgebildet. Relevant für diese Arbeit sind die grüne (OD 4.0) und die gelbe (OD 5.0) Kurve. Das OD 4.0 Filter hat bei einer mittleren Wellenlänge von 800 nm eine Transmissionsrate von ca. 0.3 % und das OD 5.0 Filter ca. 0.09 %. Verwendet wurden die Filter um die Fluenz des Lasers soweit abzuschwächen das die Pixel der Kamera weder zerstört noch gesättigt werden.

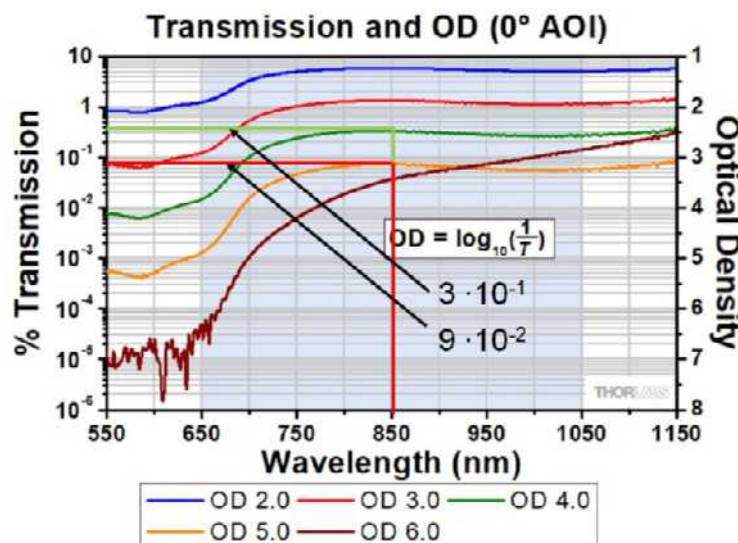


Abbildung 3.11: ND-Filter Transmissionskurven für OD 2.0 - OD 6.0 [15]

### 3.4.3 Schrittmotor (Sanyo Denki 103H5205-5240) [16]

Der zweipolige Schrittmotor vom Typ 103H5205-5240 Sanyo Denki besitzt bei einem Nennstrom von 1 A/Phase ein Haltemoment von 0.265 N m. Wie bei allen E-Motoren hängt das verfügbare



Abbildung 3.12: Schrittmotor Sanyo Denki 103H5205-5240 [17]

Drehmoment von der Drehzahl ab. Bis zu einer Drehzahl von  $100 \text{ min}^{-1}$  ist er in der Lage das maximale Drehmoment bereitzustellen siehe Abb. 3.13. Er wurde verwendet um die Linearschlitten anzutreiben. Gesteuert wurde er über ein Arduino UNO Rev3 Microcontroller-Board mit zusätzlichem Arduino motor shield Rev3 Treiberboard direkt aus MATLAB.

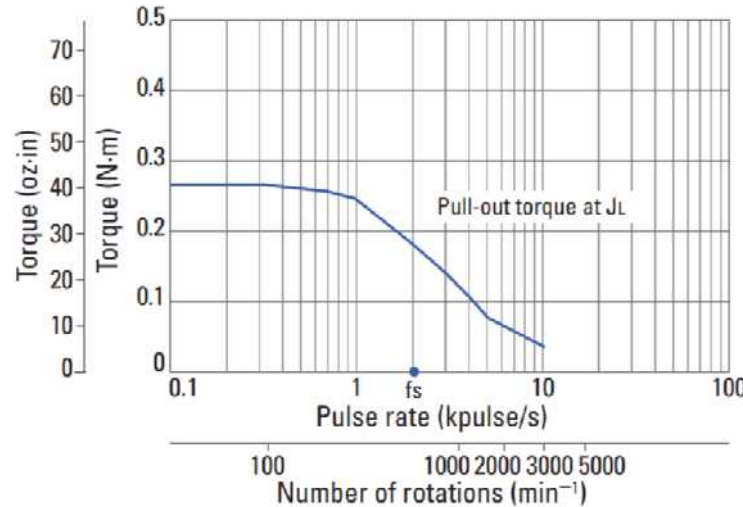


Abbildung 3.13: Momentenverlauf Sanyo Denki 103H5205-5240 [18]

#### 3.4.4 Steuerboard (Arduino UNO Rev3) [19]

Das Arduino UNO Rev3 board ist ein sehr einfach zu programmierendes Board das viele Möglichkeiten in seiner Verwendung bietet. Da das zu erstellende Messprogramm in MATLAB geschrieben



Abbildung 3.14: Arduino UNO Rev3 [20]

wurde eignete sich dieses Board in Verbindung mit einem Arduino Motor Shield Rev3 ideal, weil es bereits vorgefertigte Toolboxen gibt um eine Verbindung mit dem Board und Peripherie Hardware wie zum Beispiel einen Motor herzustellen. Es wurde auch für die Überwachung eines Endschalters verwendet der sicher stellt, dass der Linearschlitten nicht den Rand erreicht.

#### 3.4.5 Treiberboard (Arduino Motor Shield Rev3) [21]

Mit dem Arduino Motor Shield Rev3 können sowohl Schrittmotoren als auch Gleichstrommotoren angesteuert werden. Es ist direkt kompatibel mit dem Arduino UNO Rev3 und bietet die Möglichkeit direkt aus MATLAB heraus über das Arduino UNO Rev3 board verwendet zu werden. Es wurde verwendet um den Schrittmotor anzutreiben.



Abbildung 3.15: Arduino Motor Shield Rev3 [22]

### 3.4.6 Kamera (Basler ace GigE acA1300-60gmNIR) [23]

Die Basler ace GigE acA1300-60gmNIR ist eine NIR Kamera mit  $1.2\text{ MP}$  und einer maximalen Bildrate von 60 Bildern pro Sekunde. In ihr verbaut ist ein e2v EV76C661 mono CMOS Sensor mit einer Auflösung von  $1282 \times 1026$  (BxH Pixel), einer Pixelgröße von  $5.3\text{ }\mu\text{m} \times 5.3\text{ }\mu\text{m}$  und sowohl global als auch progressive shutter. Global shutter bedeutet das alle Pixel zum selben Zeitpunkt ausgelesen werden und progressive shutter, dass eine Pixelreihe nach der anderen ausgelesen wird. Die Verbindung zur Kamera besteht über Ethernet. Ausgelöst wird die Kamera entweder über einen Software Trigger oder einen externen Hardware Trigger. Bei der Inbetriebnahme sollten immer die vom Hersteller zur Verfügung gestellten Anleitungen verwendet werden um Verbindungsproblemen mit der Kamera vorzubeugen.



Abbildung 3.16: Basler ace GigE acA1300-60gmNIR [24]

### 3.4.7 MATLAB R2020b

MATLAB ist eine Software zur Analyse und Visualisierung von Daten, entwickeln von Algorithmen, erstellen von Benutzeroberflächen und Steuern und auslesen von Hardware. Es bietet sehr viele Toolboxen mit vorgefertigten Funktionen an die immer weiterentwickelt bzw. um neue Funktionen ergänzt werden. Jeder Entwickler hat zusätzlich die Möglichkeit seine Programme oder Toolboxen mit anderen zu Teilen wodurch die Auswahl an Toolboxen stetig steigt. Mit ihm wurde die gesamte Software entwickelt. Das umfasst das Steuern der Hardware, das Auswerten der Daten, das Visualisieren der Daten, und der Bereitstellung einer Benutzeroberfläche mit der jede Funktion bedient werden kann.

## 4 Messprogramm

Im Vordergrund der Arbeit stand das Erstellen eines Messprogramms mit dem automatisiert die Strahlparameter auf Basis der DIN EN ISO-11146 gemessen, ausgewertet und angezeigt werden können. Eine weitere Anforderung an das Prüfprogramm war die Implementierung einer Livemessung, um einen möglichen Einfluss der Laserjustage auf das Strahlprofil sichtbar zu machen. Zur Eingabe der benötigten Prüfparameter musste eine anwenderfreundliche Benutzeroberfläche geschaffen werden. Um alle diese Anforderungen umzusetzen wurde dabei die Programmierumgebung MATLAB (MathWorks) genutzt. Es bietet zusätzlich zu seiner Grundfunktionalität prozedural mathematische Berechnungen durchzuführen und Benutzeroberflächen zu erstellen, vorgefertigten Bibliotheken für Bildverarbeitung und steuern bzw. auslesen von externer Hardware.

### 4.1 Klassenaufbau

Die Benutzeroberfläche und deren Elemente, im englischen auch "Frontend" genannt, wurden vollständig von der Auswertungsfunktionalität die im Hintergrund arbeitet, im englischen "Backend" genannt, getrennt. Eine solche Trennung bietet den Vorteil, dass es möglich ist Änderungen oder zusätzliche Funktionalität nachträglich einzubauen ohne gegenseitige Beeinflussung von Frontend und Backend. MATLAB arbeitet grundsätzlich prozedural, unterstützt aber auch eine eigene Form der objektorientierten Programmierung die ich im Backend dazu nutzte eigene Datenelemente als Klassen zu definieren. Die Klassen sind hierarchisch aufeinander aufgebaut, wobei jede Klasse auch

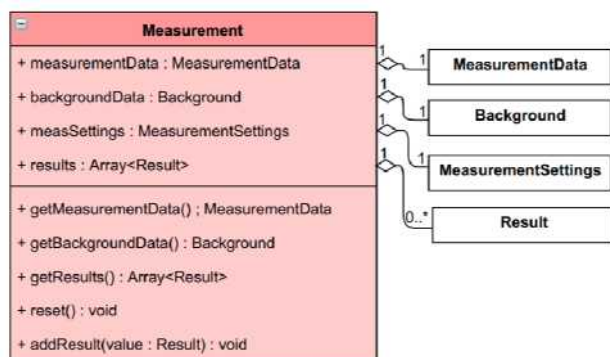


Abbildung 4.1: Klassendiagramm Measurement

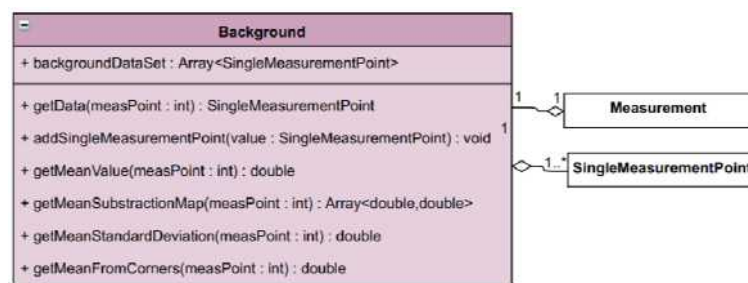


Abbildung 4.2: Klassendiagramm Background

alleinstehend verwendet werden kann. Die oberste Klasse bildet die Klasse *Measurement*. Sie beinhaltet alle Daten einer Messung und besteht aus vier untergeordneten Klassen (siehe Abb.4.1). Die vier untergeordneten Klassen sind die Klasse *MeasurementData* in der die Messdaten enthalten sind, die Klasse *Background* in der die Hintergrunddaten enthalten sind, die Klasse *MeasurementSettings* in der die Messparameter gespeichert sind und die Klasse *Result* in der ausgewertete Messdaten enthalten sind.



Abbildung 4.3: Klassendiagramm MeasurementData

Die Klasse *Background* (siehe Abb.4.2) besteht nur aus einer Liste von *SingleMeasurementPoint*

Objekten, wobei jedes Listenelement einen der Messpunkte darstellt. Auf die Klasse *SingleMeasurementPoint* wird noch im Detail eingegangen. Die Methoden der Klasse *Background*, dienen der Datenbereitstellung für die Hintergrundkorrektur, die ein wichtiger Bestandteil der Auswertung ist.

Die Klasse *MeasurementData* ist das Herzstück der Messung (siehe Abb.4.3). Es enthält, wie bereits die Klasse *Background*, ebenfalls eine Liste von *SingleMeasurementPoint* Objekten, aber zusätzlich dazu noch alle übergreifenden Strahlparameter die für ein Messergebnis bestimmt werden müssen. Die Methoden dieser Klasse beinhalten sowohl die wichtigsten Berechnungsoperationen der Hintergrundkorrektur und der Parameterbestimmung laut DIN EN ISO 11146, als auch die notwendigen GET Funktionen um alle Daten abzurufen.

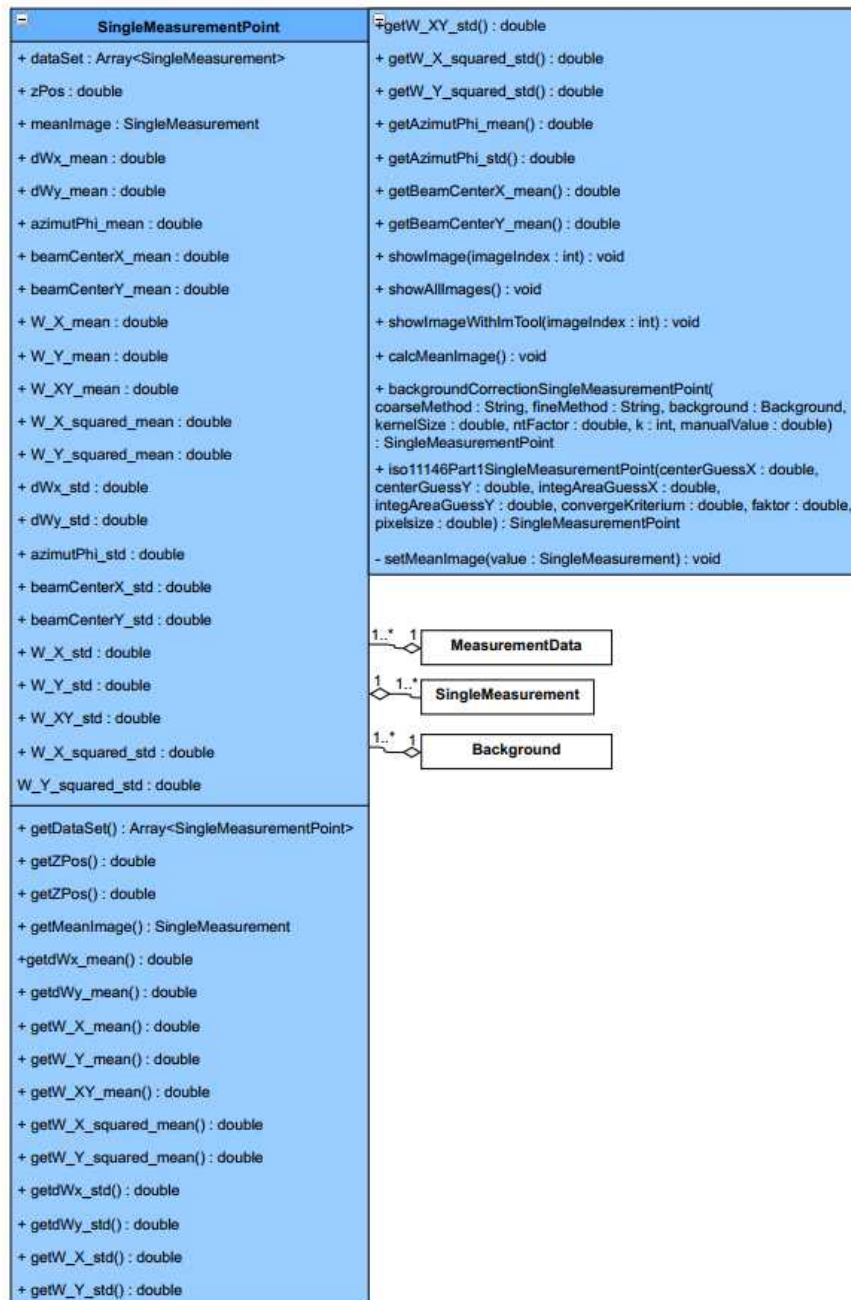


Abbildung 4.4: Klassendiagramm SingleMeasurementPoint

Die Klasse *SingleMeasurementPoint* (siehe Abb.4.4) repräsentiert einen einzelnen Messpunkt und besitzt einen sehr ähnlichen Aufbau wie die Klasse *MeasurementData*. Sie besteht aus einer Liste von *SingleMeasurement* Objekten die eine Einzelmessung beschreiben und den aus den Einzelmessungen bestimmten gemittelten Strahlparametern.

Die Klasse *SingleMeasurement* (siehe Abb.4.5) ist das unterste Element des hierarchischen Aufbaus und stellt eine Einzelmessung dar. Darin enthalten ist ein aufgenommenes Bild gespeichert in Form einer  $n \times m$  Matrix in der die Graustufenwerte jedes einzelnen Pixels hinterlegt sind und den berechneten Strahlparametern einer Einzelmessung.

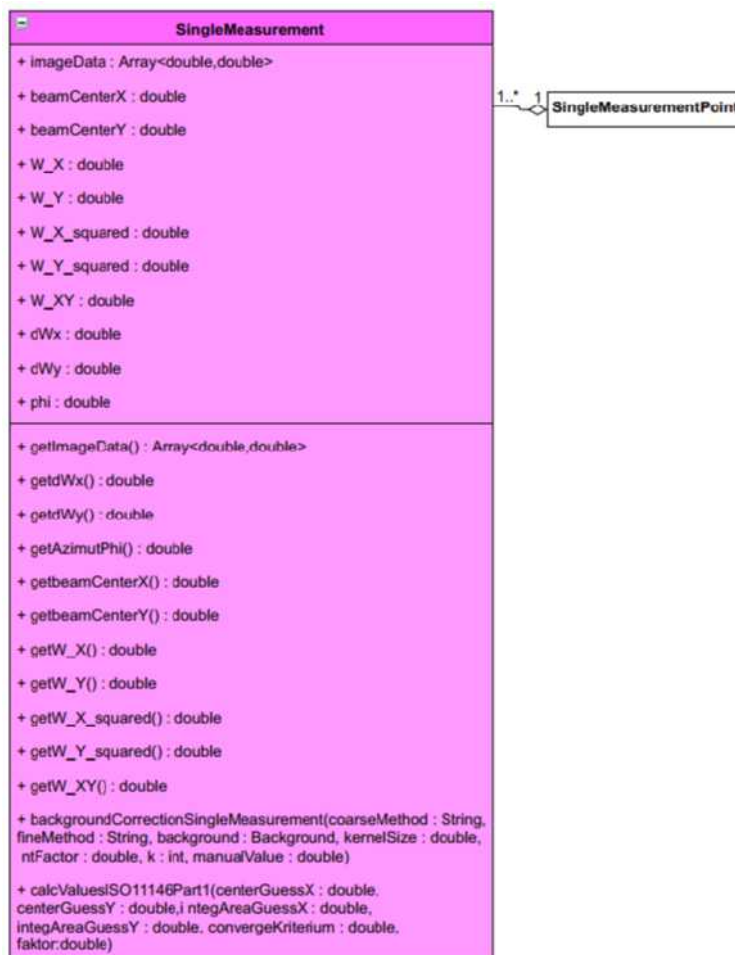


Abbildung 4.5: Klassendiagramm SingleMeasurement

## 4.2 Programmabläufe und GUI

Bisher wurden nur die Klassen und ihre Beziehungen zueinander beschrieben. Als nächstes werden jetzt die Abläufe in dem umgesetzten Messprogramm anhand von Ablaufdiagrammen beschrieben. Eine der geforderten Funktionen ist die Automatisierte Messung der Strahlcharakteristik eines Laserstrahls. Der Ablauf einer Messung wurde auf mehrere Schritte aufgeteilt (siehe Abb.4.8).

Der erste Schritt einer Messung ist das Auslesen der Messparameter aus einer grafischen Benutze-

roberfläche (GUI). Die Messparameter, die dafür festgelegt werden müssen, sind das Messgitter, die Anzahl der Messungen pro Messpunkt und die Belichtungszeit (ExposureTime) der Kamerapixel.

### 4.2.1 Definition des Messgitters

Für die Festlegung des Messgitters in Ausbreitungsrichtung (Z-Achse) des Laserstrahls (siehe Abb. 4.6) wurden zwei Konfigurationsmethoden gefordert. Eine Konfigurationsmethode die das Messgitter symmetrisch um einen zentralen Punkt verteilt und eine zweite die das Messgitter ausgehend vom Nullpunkt des Linearschlittens auf einen einstellbaren Bereich verteilt. Die Methode der Verteilung um einen zentralen Punkt ist am besten geeignet, wenn die Position der Strahlaille (Fokuspunkt) des Laserstrahls bekannt ist. Die Methode der Verteilung ausgehend vom Nullpunkt des Linearschlittens ist am besten dafür geeignet die Position der Strahlaille initial zu bestimmen. Die Methode zur Verteilung des Messgitters um einen zentralen Punkt (siehe Abb. 4.7a) benötigt

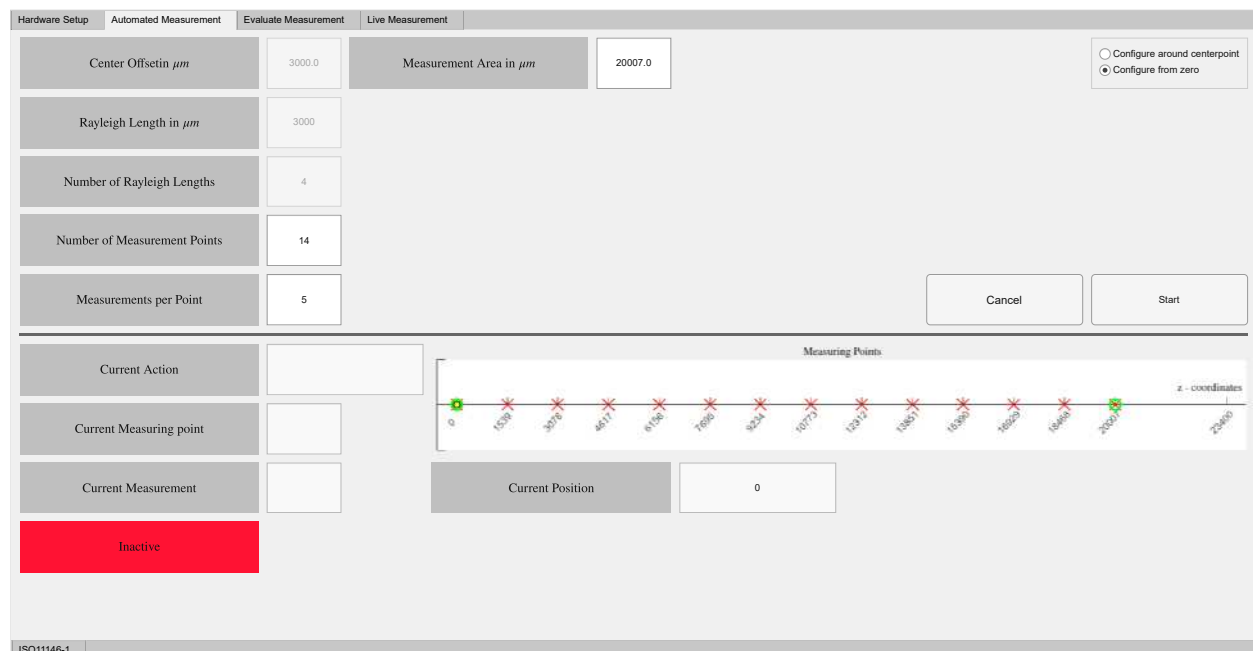
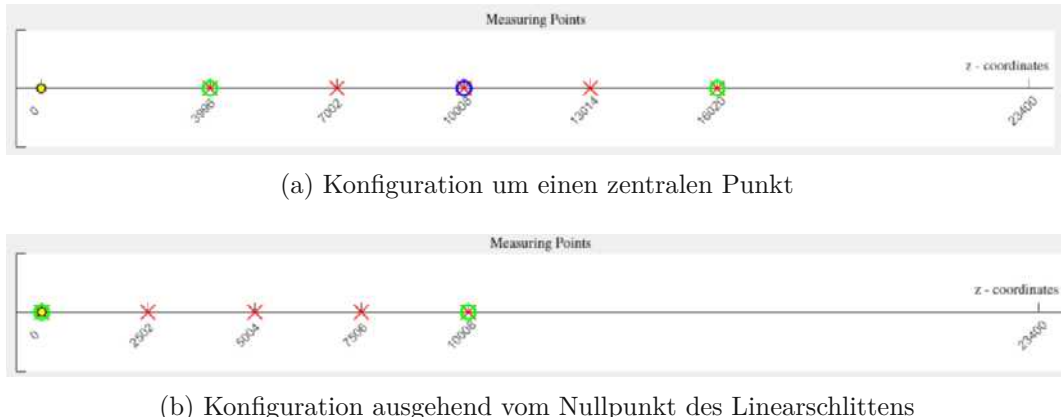


Abbildung 4.6: Messgitterkonfiguration

vier Parameter um das Messgitter festzulegen. Die Position des zentralen Punktes ausgehend vom Nullpunkt des Linearschlittens, die Rayleighlänge des zu vermessenden Laserstrahls, der zusammen mit einem einstellbaren Multiplikator den Messbereich in beide Richtungen vom zentralen Punkt festlegt und die Anzahl der Messpunkte. Damit werden die Messpunkte auf den festgelegten Messbereich verteilt. Sollte es nicht möglich sein ein homogenes Messgitter auf den Messbereich zu verteilen, bei dem jeder Messpunkt genau angefahren werden kann (limitiert durch die Schrittweite des Motors), wird die Anzahl der eingestellten Messpunkte automatisch angepasst, sodass jeder Messpunkt angefahren werden kann.

Bei der zweiten Konfigurationsmethode für die Verteilung der Messpunkte wird das Messgitter ausgehend vom Nullpunkt des Linearschlittens (siehe Abb. 4.7b) auf eine einstellbare Länge verteilt. Benötigt werden dazu nur zwei Parameter. Die Länge des Messbereichs und die Anzahl der Messpunkte. Das Messgitter wird gleich zur Methode um einen zentralen Punkt auf den Messbereich aufgeteilt und die Anzahl der Messpunkt angepasst, sollte es notwendig sein.

Abbildung 4.7: Messgitter Konfigurationsmethoden



#### 4.2.2 Messzyklus

Nach dem Erstellen des Messgitters beginnt ein Messzyklus. Zuerst wird dafür ein neues Objekt *Measurement* erstellt in dem die Messdaten abgespeichert werden sollen. Der Messzyklus besteht aus einer Hintergrundmessung und einer Hauptmessung. Für die Hintergrundmessung muss der Laserstrahl abgeblockt werden, damit rein der Hintergrund gemessen werden kann. Ist das sichergestellt läuft die Hintergrundmessung wie in Abb.4.10 dargestellt ab. Zu Beginn wird ein neues Objekt *Background* erstellt in dem die Hintergrunddaten abgespeichert werden. Danach werden die Messpunkte nacheinander angefahren, wobei für jeden Messpunkt ein Objekt *SingleMeasurementPoint* erstellt wird in dem die Messdaten eines Messpunktes abgespeichert werden. Anschließend wird für jeden Messpunkt die zuvor eingestellte Anzahl der Messungen durchgeführt. Für jede Einzelmessung wird die Kamera über einen Softwaretrigger ausgelöst, das Bild ausgelesen, und mit dem Bild ein Objekt *SingleMeasurement* erstellt. Die *SingleMeasurement* Objekte werden immer dem jeweiligen *SingleMeasurementPoint* hinzugefügt und der *SingleMeasurementPoint* dem *Background*. Das Endergebnis ist eine wie im Klassenaufbau beschriebene hierarchische Struktur. Ist die Hintergrundmessung abgeschlossen kann der Laserstrahl wieder freigegeben werden und die Hauptmessung gestartet. Der Ablauf der Hauptmessung siehe Abb.4.9 ist identisch zur Hintergrundmessung, nur wird anstelle eines Objektes *Background* ein Objekt *MeasurementData* erstellt in dem die Messdaten abgelegt werden.

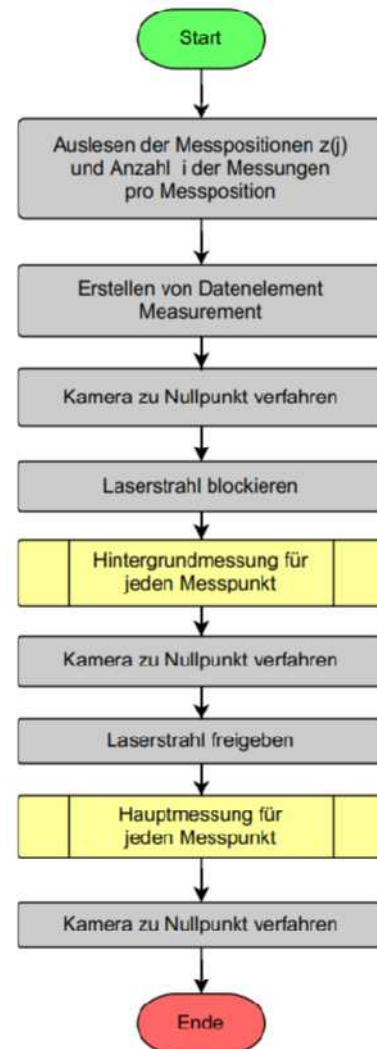


Abbildung 4.8: Ablaufplan Automatisierte Messung

#### 4 Messprogramm

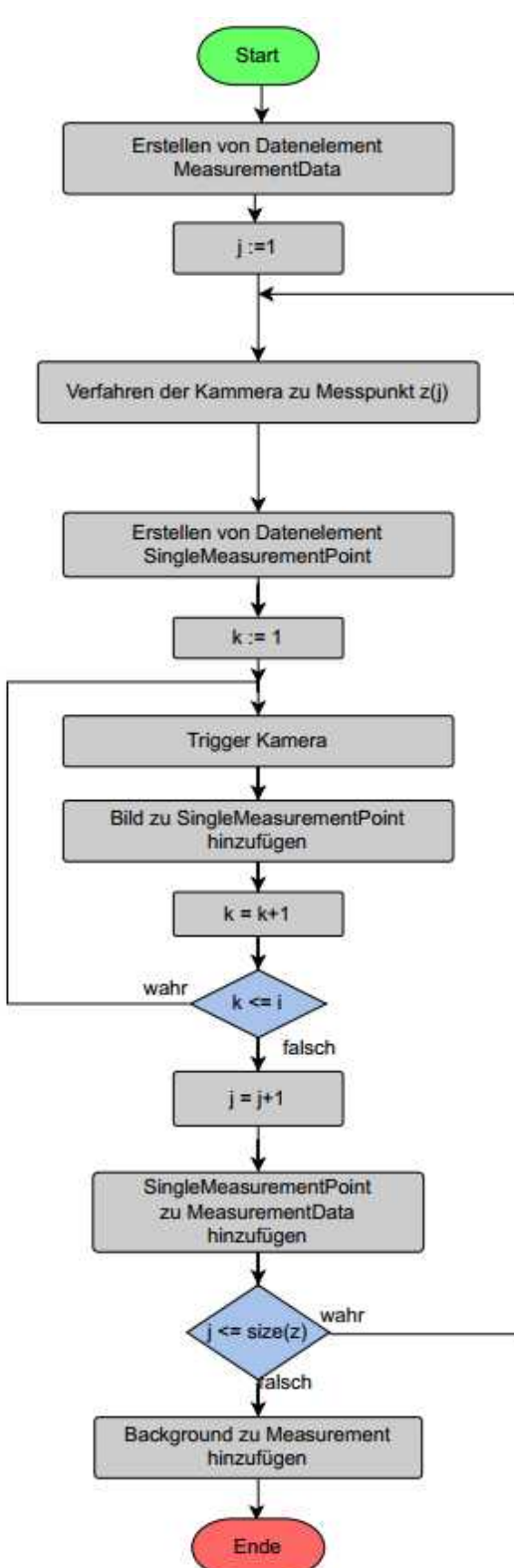


Abbildung 4.9: Ablaufplan Hauptmessung

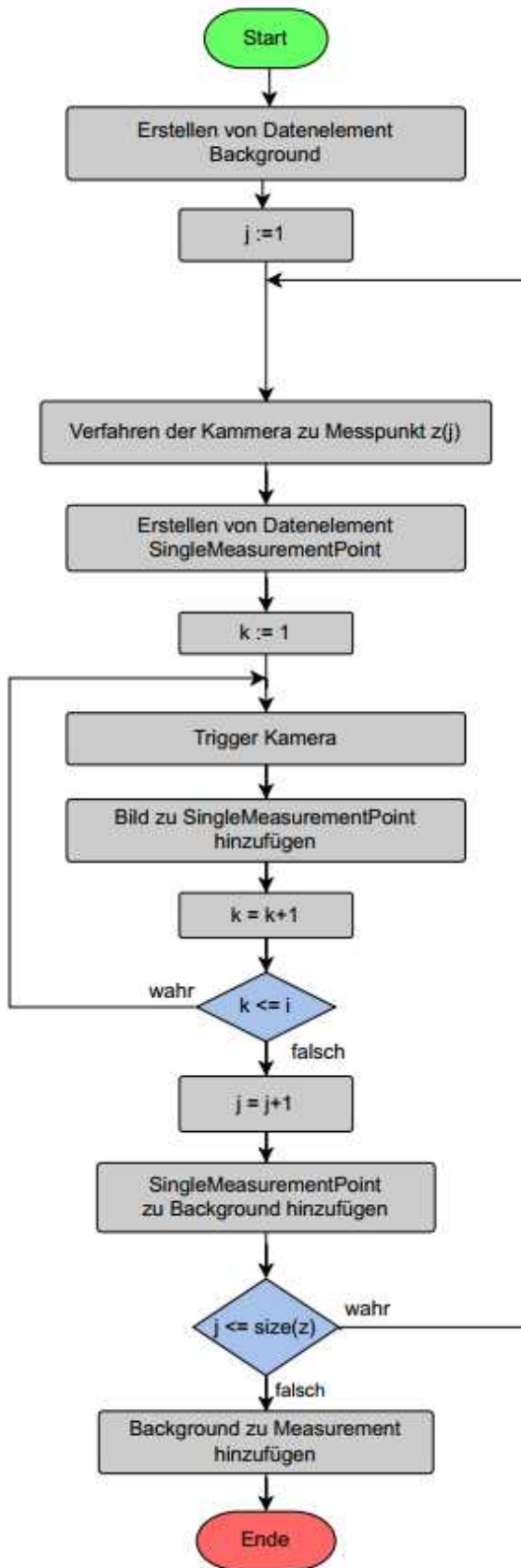


Abbildung 4.10: Ablaufplan Hintergrundmessung

### 4.2.3 Auswertung

Mit dem Messprogramm aufgenommenen Messdaten werden nach einem abgeschlossenen Messzyklus direkt an den Auswertungstab in der GUI übergeben und angezeigt (siehe Abb.4.11). Bevor die

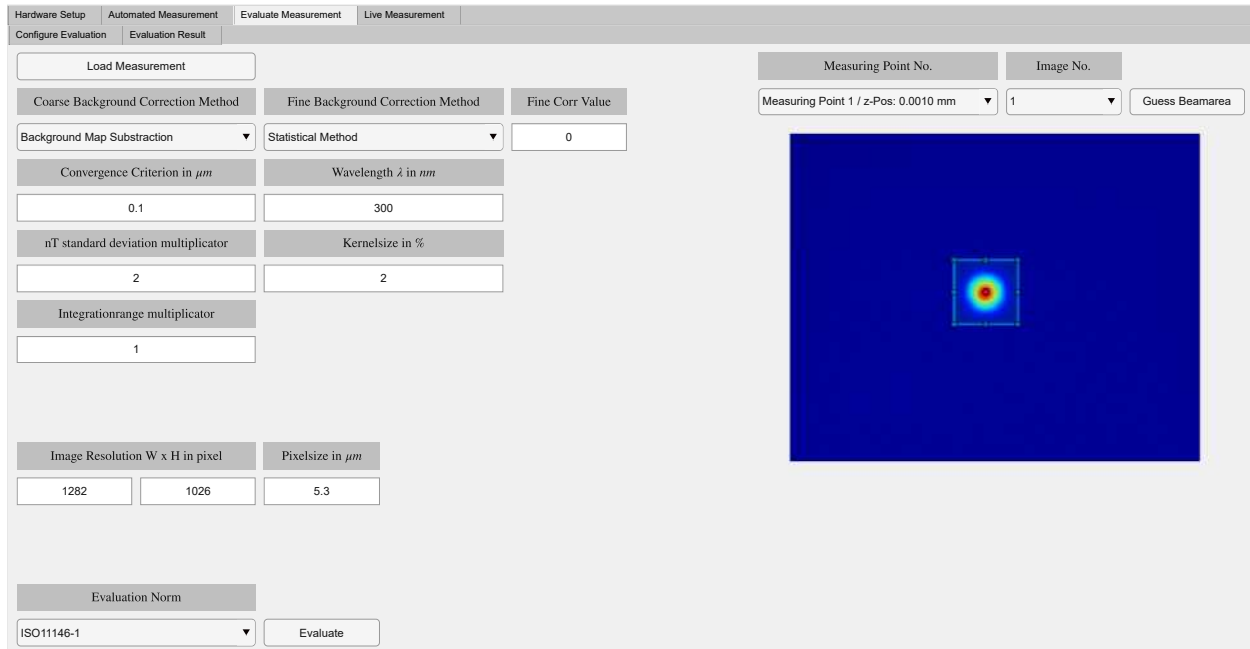


Abbildung 4.11: Konfiguration der Auswertungsparameter

Auswertung gestartet werden kann, müssen zuerst die Auswertungsparameter eingestellt werden. Die notwendigen Parameter können in Hintergrundkorrekturparameter und ISO-11146 Parameter unterteilt werden. Die Hintergrundkorrekturparameter umfassen alle Parameter die für die Hinter-

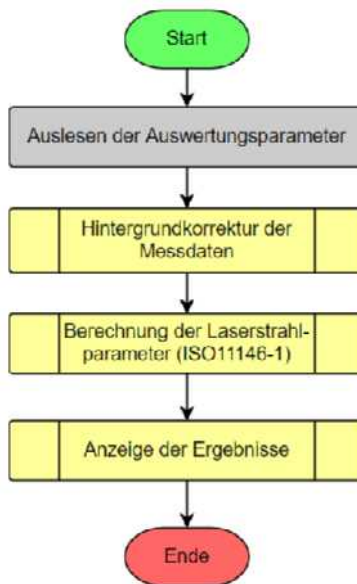


Abbildung 4.12: Ablaufplan der Auswertung

grundkorrektur notwendig sind (Grobkorrekturmethode, Feinkorrekturmethode,  $n_T$  und Kernelgröße) und die ISO 11146 Parameter. Davon all jene, die zur Bestimmung der Laserstrahlparameter

notwendig sind (Wellenlänge, Integrationsbereichsmultiplikator, Konvergenzkriterium und Schätzung des Integrationsbereichs).

Der Ablauf der Auswertung ist in Abb. 4.12 dargestellt. Zuerst werden die Auswertungsparameter aus der GUI ausgelesen. Anschließend erfolgt die Hintergrundkorrektur (siehe Abb. 4.15) eines Messdatensatzes in der Form eines *MeasurementData* Objekts. Zu Beginn wird ein neues *MeasurementData* Objekt erstellt, indem die korrigierten Messdaten abgespeichert werden. Danach wird in einer Schleife über die Messpunkte iteriert, wobei für jeden *SingleMeasurementPoint* ein neues Objekt vom selben Typ erstellt wird. In einer zweiten Schleife werden alle *SingleMeasurement* Objekte des *SingleMeasurementPoint* hintergrundkorrigiert und dem neuen *SingleMeasurementPoint* hinzugefügt. Die korrigierten *SingleMeasurementPoint* Objekte werden dann dem *MeasurementData* Objekt hinzugefügt. Der Einfluss und Ablauf der Hintergrundkorrektur eines *SingleMeasurement* Objekts (Einzelbild) wurde in Kap. 2.1 beschrieben. Sind die Messdaten hintergrundkorrigiert können die Parameter wie in Kap. 2.5 beschrieben bestimmt werden.

In Abb. 4.14 ist der Ablauf der Parameterbestimmung dargestellt. Sehr ähnlich zur Hintergrundkorrektur wird über die *SingleMeasurementPoint* Objekte und die *SingleMeasurement* Objekte iteriert. Die Parameter werden zuerst in der innersten Schleife für die *SingleMeasurement* Objekte, in der äußeren Schleife für die *SingleMeasurementPoint* Objekte und am Ende für das *MeasurementData* Objekt bestimmt. Die ausgewerteten Daten werden dann in der GUI angezeigt (siehe Abb. 4.13). Gegliedert ist die Anzeige der ausgewerteten Messdaten in drei Bereiche. Einem in dem die Parameter für die gesamte Messung angezeigt werden (links), einem für die gemittelten Messdaten eines Messpunktes (Mitte) und einem in dem die einzelnen Messungen und Parameter angezeigt werden (rechts). Im rechten Bereich wird zusätzlich zu den ausgewerteten Parametern immer auch das Bild des Strahlprofil angezeigt. Das Farbschema und die Limits für die Farbskalierung können darunter angepasst werden. Im linken Bereich befinden sich zusätzlich zu den Parametern die Plotoptionen der Messdaten.

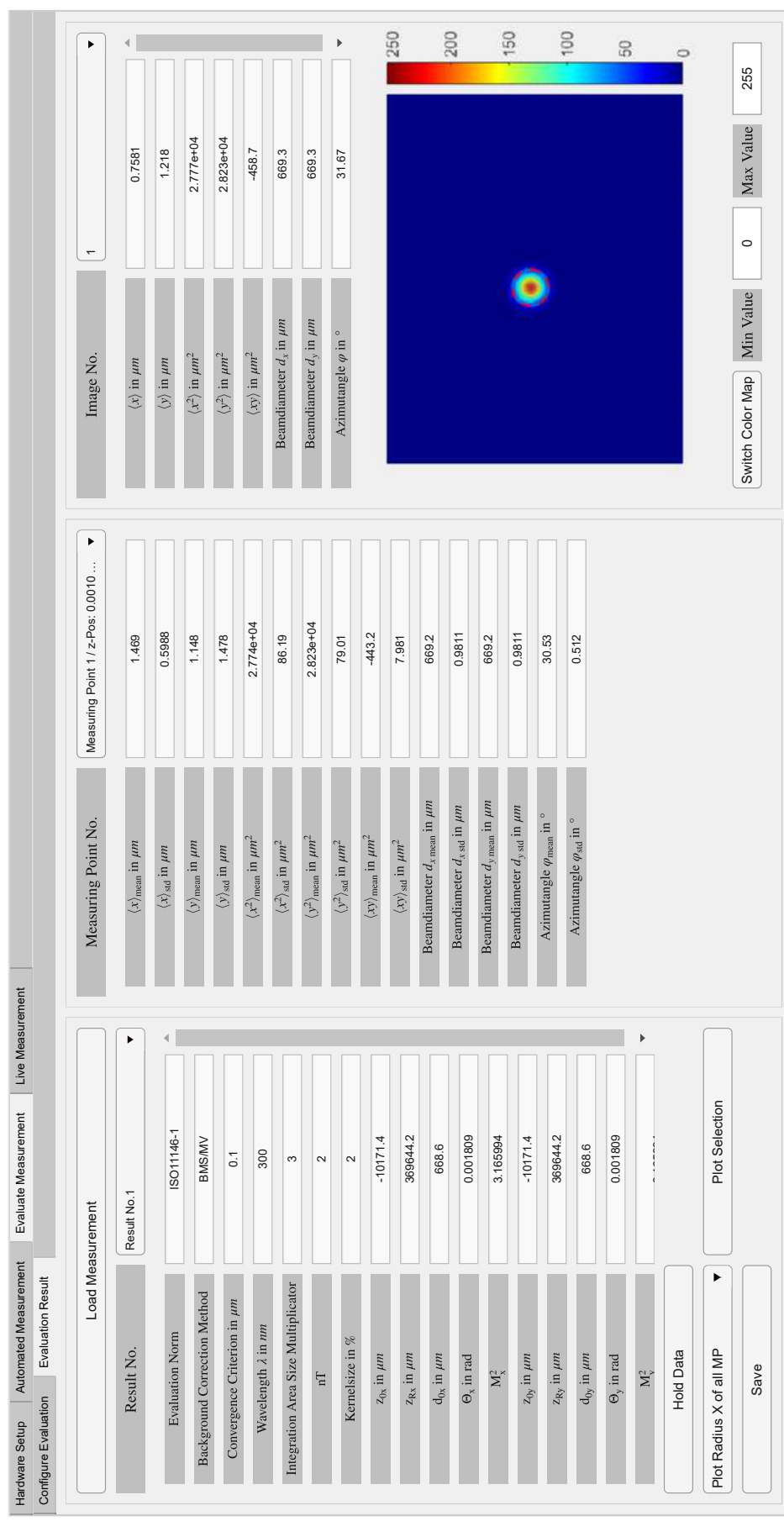


Abbildung 4.13: Darstellung der Ergebnisse mit Farbschema jet

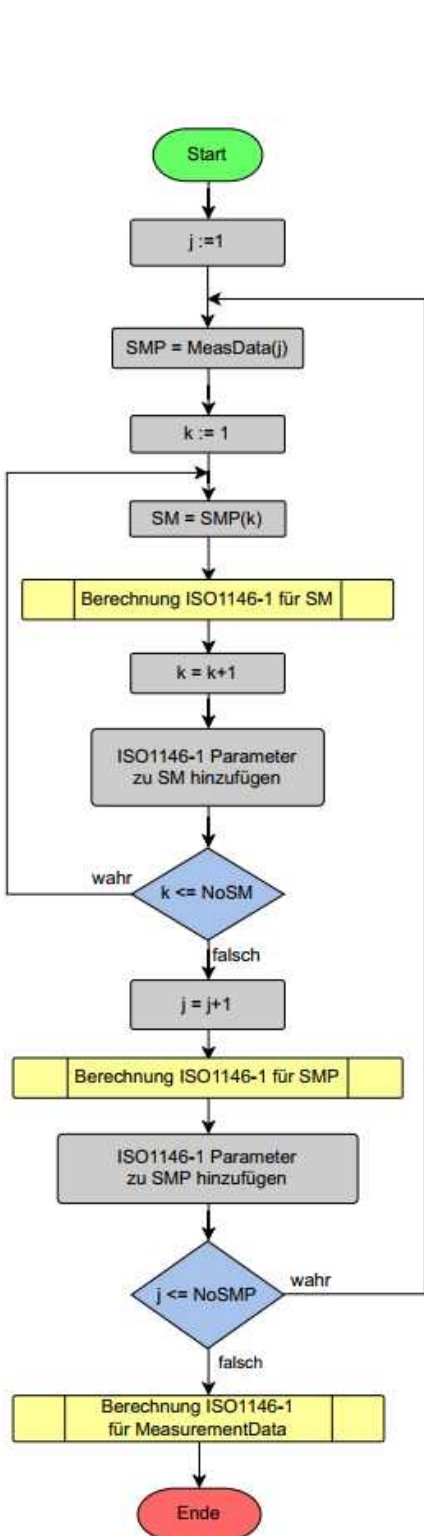


Abbildung 4.14: Ablaufplan  
Parameterberechnung

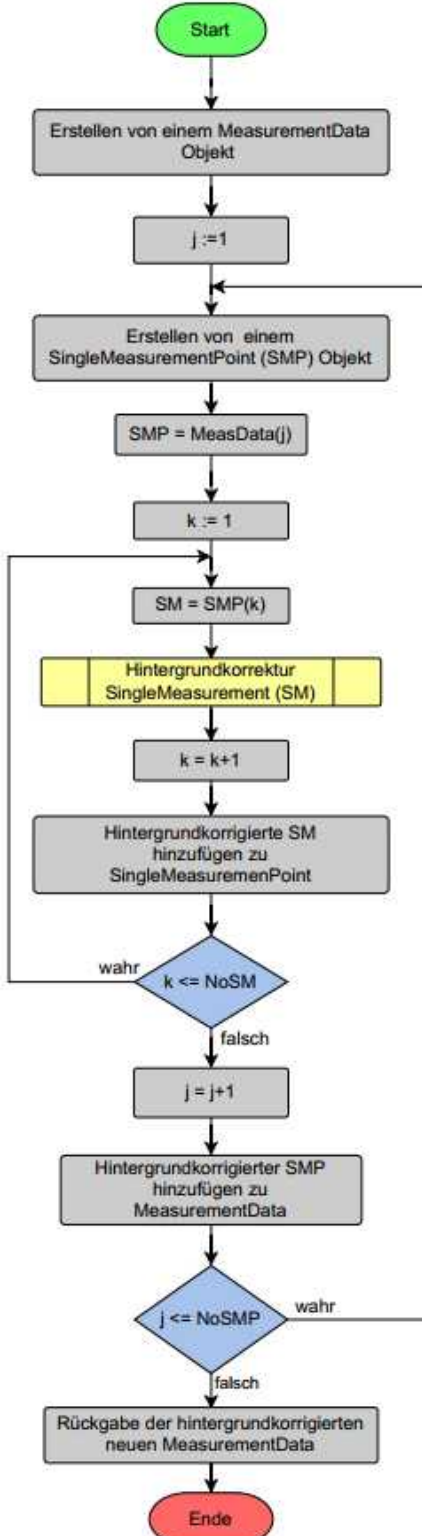


Abbildung 4.15: Ablaufplan  
Hintergrundkorrektur

### 4.3 Livemessung

Der Grundaufbau und die notwendigen Parameter der Livemessung sind identisch zur Auswertung (siehe Abb. 4.17). Im Gegensatz zur Auswertung steht hier aber noch kein Messdatensatz und damit auch keine Hintergrunddaten zur Verfügung. Daher ist es notwendig vor der Livemessung selbst Hintergrunddaten am gewünschten Messpunkt aufzunehmen. Die Anzahl der Bilder die vom Hintergrund gemacht werden ist frei wählbar, aber es sollten nie weniger als 15 Bilder eingestellt werden. Erst wenn Hintergrunddaten vorhanden sind, der initiale Integrationsbereich geschätzt und die Auswertungsparameter gesetzt wurden, kann die Livemessung gestartet werden. Das Ergebnis eines Mess- und Auswertungszyklus wird dann im rechten unteren Bereich (siehe Abb. 4.17) angezeigt. Angezeigt werden sowohl das Strahlprofil, als auch die Durchmesser in den Hauptachsenrichtungen und der dazugehörige Azimutwinkel. Das Ergebnis wird periodisch aktualisiert, wobei ein neues Bild erst aufgenommen wird sobald das aktuelle Bild fertig ausgewertet und der *live\_toggle* „1“ gesetzt ist.

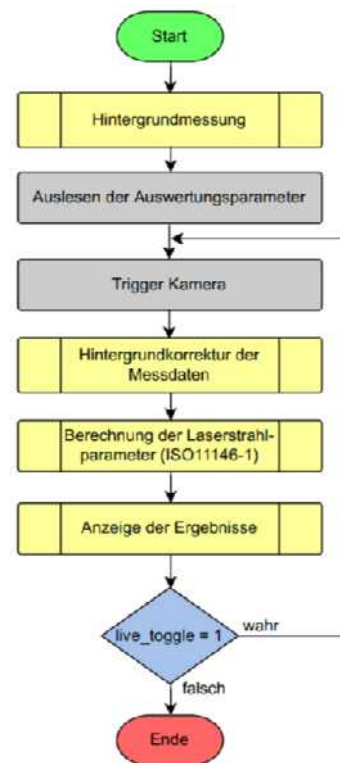


Abbildung 4.16: Ablaufplan  
Livemessung



Abbildung 4.17: Livemessung

## 5 Messergebnisse

Zusammen mit Messaufbau 3 und dem erstellten Messprogramm wurden zwei Messungen am FSL zu verschiedenen Zeitpunkten durchgeführt. Zum Zeitpunkt der ersten Messung war der im FSL verbaute Pumplaser schon weit degradiert und nur durch sehr hohe Stromzufuhr betreibbar, weshalb der Pumplaser zeitnah nach der Messung ausgetauscht wurde.

Tabelle 5.1: Messparameter

Parameter	Vor Tausch	Nach Tausch
Temperatur	20.7 °C	20.7 °C
Luftfeuchtigkeit	47.0 %	47.4 %
Anzahl der Messpunkte	21	21
Anzahl der Messungen pro Messpunkt	20	20
Messbereich	23 mm	20 mm
Belichtungszeit	2 ms	2 ms

Tabelle 5.2: Zusammenfassung der Messergebnisse

	Vor Tausch	Nach Tausch
Hintergrundkorrektur grob	Backgroundmap-subtraction	Backgroundmap-subtraction
Hintergrundkorrektur fein	Manual Value: 2	Manual Value: 2.2
Konvergenzkriterium in $\mu m$	0.1	0.1
Wellenlänge	800 nm	800 nm
Integrationsbereichsmultiplikator	3	3
Rayleighlänge $z_{Rx}$	9.500 mm	14.80 mm
Ort der Strahltaillie $z_{0x}$	11.217 mm	6.46 mm
Strahldurchmesser $d_{0x}$	169.2 $\mu m$	215.2 $\mu m$
Divergenzwinkel $\Theta_x$ (Vollwinkel)	17.8 mrad	14.5 mrad
Beugungsmaßzahl $M_x^2$	2.96	3.07
Rayleighlänge $z_{Ry}$	5.523 mm	4.220 mm
Ort der Strahltaillie $z_{0y}$	9.724 mm	6.44 mm
Strahldurchmesser $d_{0y}$	106.1 $\mu m$	67.6 $\mu m$
Divergenzwinkel $\Theta_y$ (Vollwinkel)	19.2 mrad	16.0 mrad
Beugungsmaßzahl $M_y^2$	2	1.06
Azimuthwinkel $\phi$	0.67 deg	-1.09 deg
Beugungsmaßzahl $M_{eff}^2$	2.43	1.80

Die zweite Messung wurde durchgeführt nachdem der Pumplaser getauscht und alle optischen Elemente des FSL neu justiert waren. Für beide Messungen wurden 21 Messpunkte mit jeweils

20 Bildern pro Messpunkt aufgenommen. Die Messpunkte wurden auf den maximal zugänglichen Messbereich des Linearschlitten verteilt. Im Vergleich zu vor dem Pumplasertausch ist der zugängliche Messbereich kleiner geworden, da zwischen den Messungen ein Endschalter montiert wurde. Die Belichtungszeit der Kamera wurde auf 2 ms eingestellt, weil der Laser mit einer Wiederholrate von 1 kHz betrieben wird und damit sichergestellt wurde, dass pro Aufnahme zumindest ein Laserpuls detektiert werden konnte.

### 5.1 Messergebnisse vor dem Pumplasertausch

Abb. 5.1 und Abb. 5.2 zeigen den Verlauf der Strahlradien in Ausbreitungsrichtung des Laserstrahls. Auf der x-Achse wurde die z-Koordinate des Messpunkts ausgehend vom Nullpunkt des Linearschlittens entgegen der Ausbreitungsrichtung des Laserstrahls und auf der y-Achse der Strahlradius  $R_{x,y}$  aufgetragen. Beide Verläufe waren erwartungsgemäß hyperbolisch, wobei der Ort des kleinsten Strahlradius sich in x- und y-Richtung voneinander unterschied. Der Strahlradius  $R_x$  hatte sein Minimum von  $169.2 \mu\text{m}$  bei  $11.217 \text{ mm}$  und in y-Richtung  $106.1 \mu\text{m}$  bei  $9.724 \text{ mm}$ .

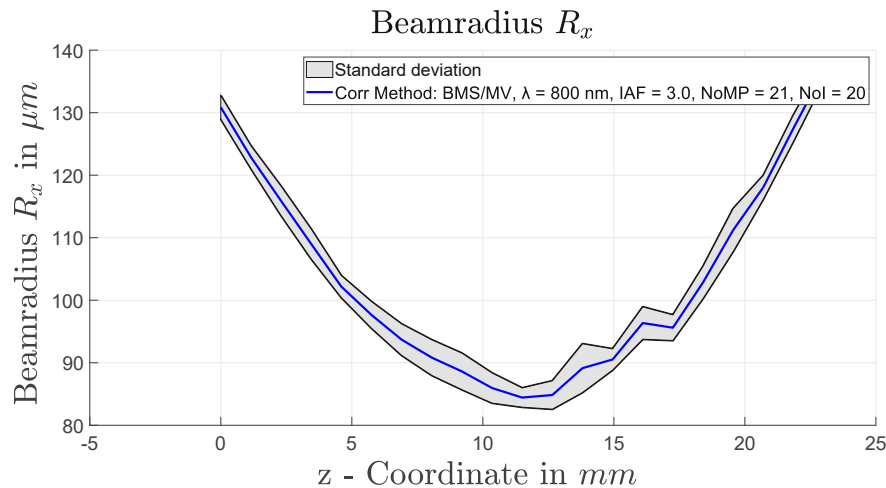


Abbildung 5.1: Laserstahlradius  $R_x$  in Ausbreitungsrichtung vor dem Tausch

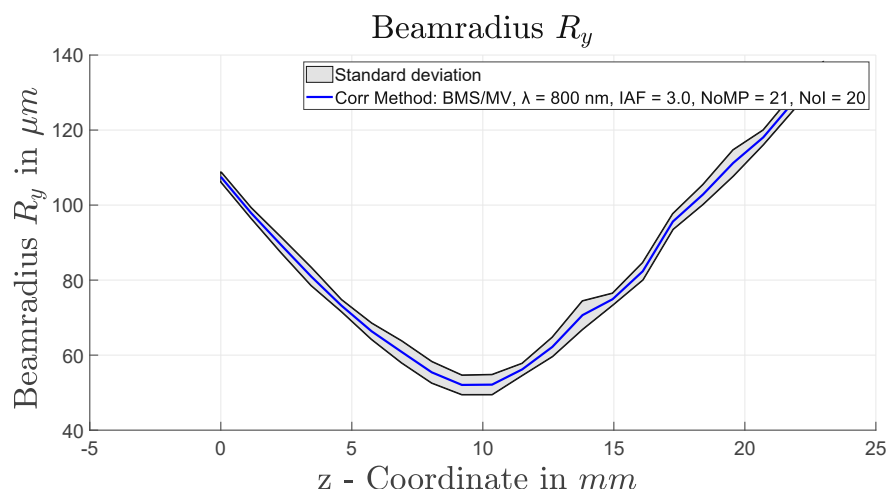


Abbildung 5.2: Laserstahlradius  $R_y$  in Ausbreitungsrichtung vor Tausch

Abb .5.3 und Abb. 5.4 zeigen das Strahlprofil des nächstliegenden Messpunktes zur Strahltaille in Z-Richtung. Klar erkennbar ist, dass das Strahlprofil innerhalb eines elliptischen Bereichs eine konstante Intensität ähnlich einem "Top Hat" Strahlprofil hatte. Der FSL hat aber eigentlich ein Gaußverteiltes Strahlprofil. Der Unterschied zwischen dem gemessenen Strahlprofil und dem erwarteten Strahlprofil kommt dadurch zustande, dass der Laserstrahl nicht ausreichend abgeschwächt wurde, wodurch es zur Sättigung der Kamerapixel kam.

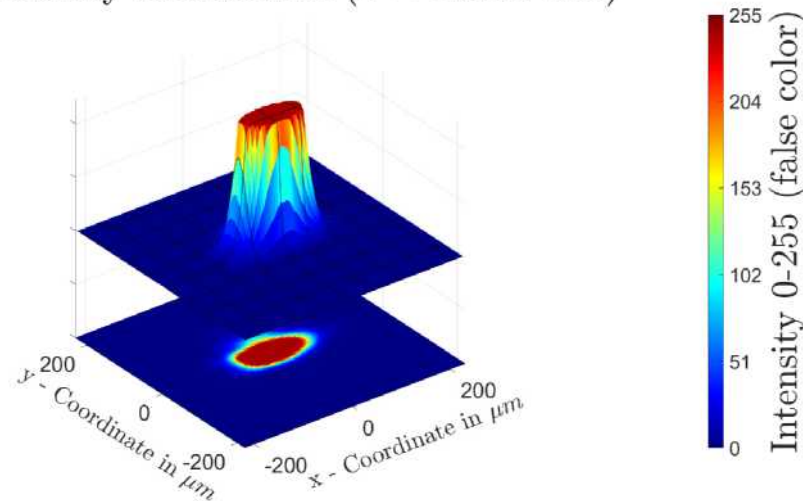
3D Intensity Distribution ( $z = 11.501 \text{ mm}$ )

Abbildung 5.3: 3D Intensitätsverteilung vor dem Tausch

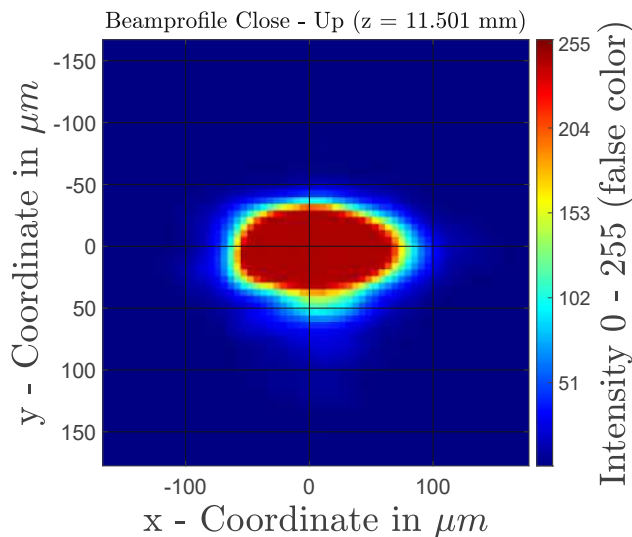


Abbildung 5.4: Nahaufnahme des Laserstrahlprofils vor dem Tausch

Durch die Übersättigung der Kamerapixel kam es zu einer lokalen Überbelichtung, dem sogenannten "Blooming" Effekt. Zustande kommt dieser Effekt, wenn ein Pixel mehr Ladung in Form von Photonen ausgesetzt ist als er aufnehmen kann. Das führt in weiterer Folge dazu, dass der Pixel die überschüssige Ladung an umliegende Pixel abgibt, wodurch überbelichtete Bereiche im aufgenommenen Bild entstehen. Das gemessene Strahlprofil wird dadurch künstlich vergrößert.

In Abb. 5.5 und Abb. 5.6 wird die Intensitätsverteilungen entlang der Hauptachsen des Strahlprofils dargestellt. Auf der x-Achse wurde der Strahlradius  $R_{x,y}$  und in y-Achse die Intensität als Wert im Bereich von 0 – 255 aufgetragen. Zusätzlich wurden der FWHM Durchmesser (magenta strichlierte Linien), der  $D4\sigma$  Durchmesser (schwarz strichlierte Linien) und eine an die Intensitätsverteilung angepasste ideale Gaußkurve (rot strichlierte Linie) eingezeichnet.

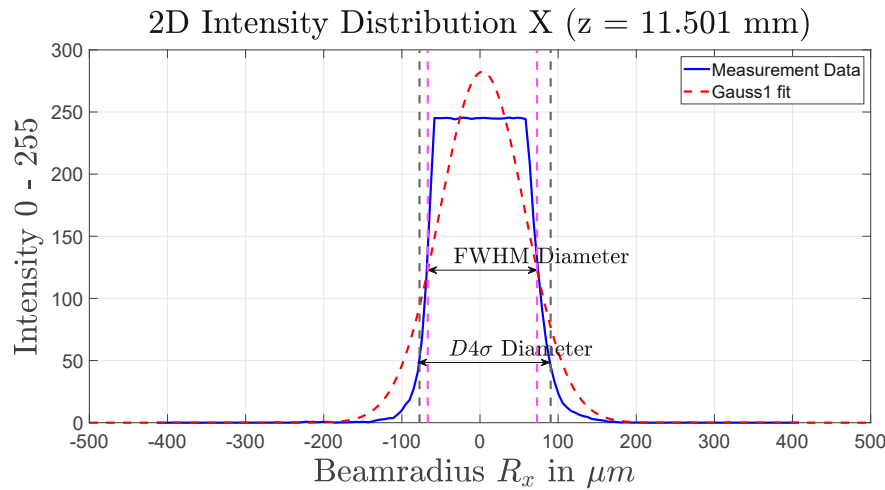


Abbildung 5.5: 2D Intensitätsverteilung in x-Richtung vor dem Tausch

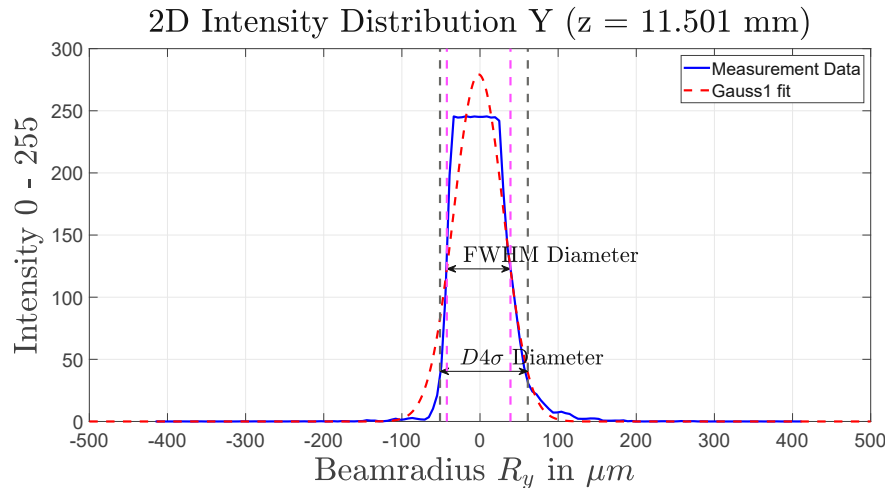


Abbildung 5.6: 2D Intensitätsverteilung im Fokuspunkt in y-Richtung vor dem Tausch

Die 2D FFT vom Strahlprofil (siehe Abb. 5.7) zeigt die logarithmisch skalierten Amplituden der Ortsfrequenzen. Diese Darstellung hat den Vorteil, dass nur relevante Amplituden im Spektrum sichtbar werden. Es zeigt den erwarteten niederfrequenten Anteil im Zentrum umgeben von symmetrischen Ringen deren Amplitude mit steigender Frequenz sinkt. Diese Ringe sind ein Produkt der überbelichteten Pixel und der FFT. Die FFT zerlegt das Intensitätsprofil in seine Frequenzanteile. Ist das zu analysierende Signal ein Rechtecksignal, was recht gut dem gemessenen Intensitätsprofil entspricht, siehe Abb. 5.5 oder Abb. 5.6, ergeben sich zusätzliche Frequenzanteile die notwendig sind um das Signal nachzubauen. Die Ortsfrequenzanteile in den Hauptachsenrichtungen sind in Abb. 5.8 dargestellt. Die Interpretation ist dabei identisch zur 2D FFT. Es gibt niederfrequente Anteile und die durch die Pixelsättigung bedingten zusätzlichen Frequenzanteile.

## 5 Messergebnisse

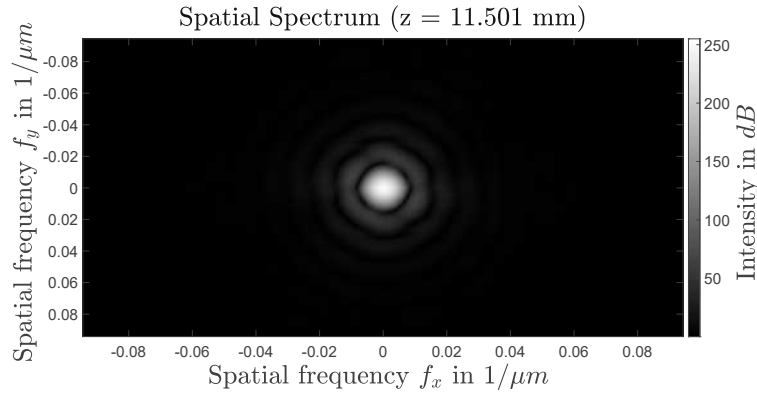


Abbildung 5.7: 2D FFT des Laserstrahlprofils vor dem Tausch

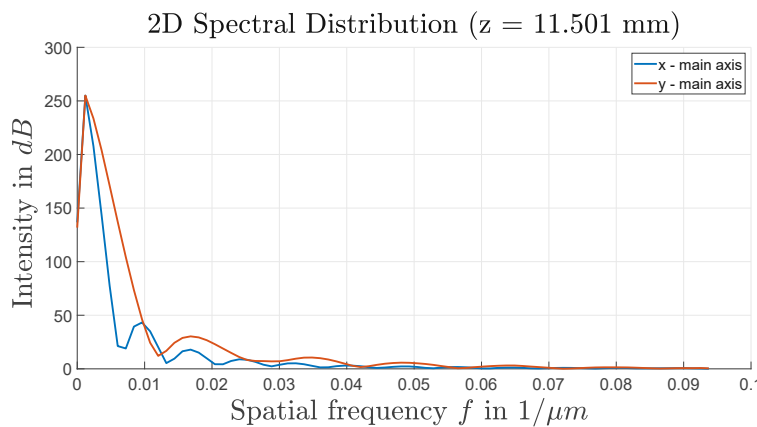


Abbildung 5.8: 1D FFT des Laserstrahlprofils vor dem Tausch in Hauptachsenrichtungen

### 5.2 Messergebnisse nach dem Pumplasertausch

Um die Pixelsättigung (siehe S. 51) zu verhindern wurde ein zusätzliches Filterelement zur Abschwächung des Laserstrahls verbaut. Nach dem Tausch des Pumplasers sind beide Verläufe ebenfalls hyperbolisch, wobei der Ort des kleinsten Strahlradius in x- und y-Richtung fast identisch war.

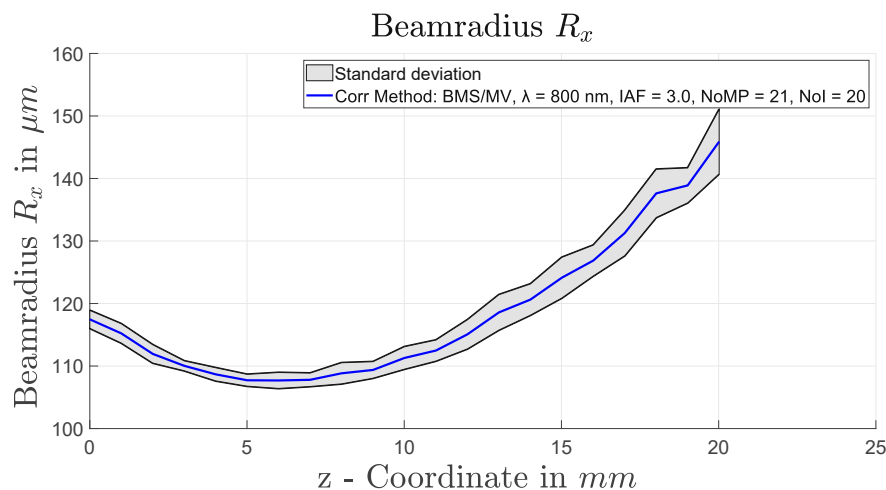


Abbildung 5.9: Laserstrahlradius in x-Richtung nach dem Tausch

## 5 Messergebnisse

Der Strahlradius  $R_x$  hatte sein Minimum von  $215.2 \mu\text{m}$  bei  $6.46 \text{ mm}$  und in  $y$ -Richtung  $67.6 \mu\text{m}$  bei  $6.44 \text{ mm}$ .

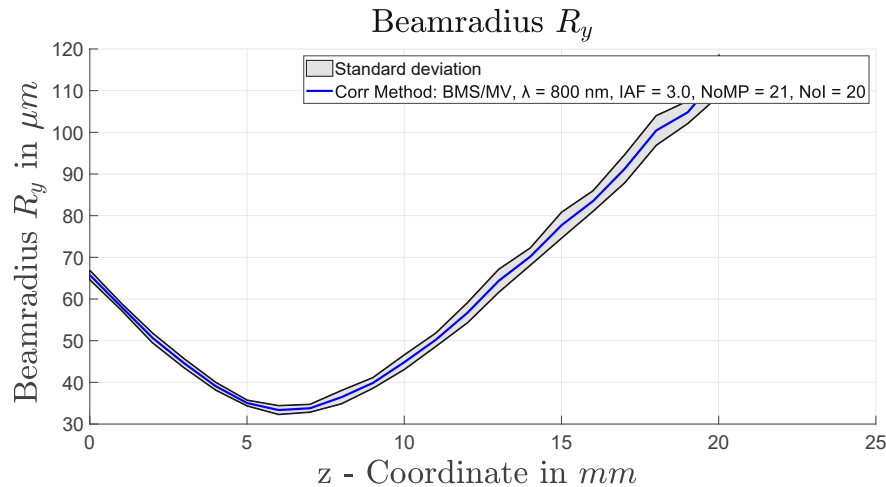


Abbildung 5.10: Laserstahlradius in  $y$ -Richtung nach dem Tausch

Die Strahlprofile (siehe Abb. 5.11 und Abb. 5.12) sind weiterhin elliptisch, aber nun hat das Strahlprofil im Zentrum ein klares Maximum, dass nach außen hin abnimmt.

3D Intensity Distribution ( $z = 6.004 \text{ mm}$ )

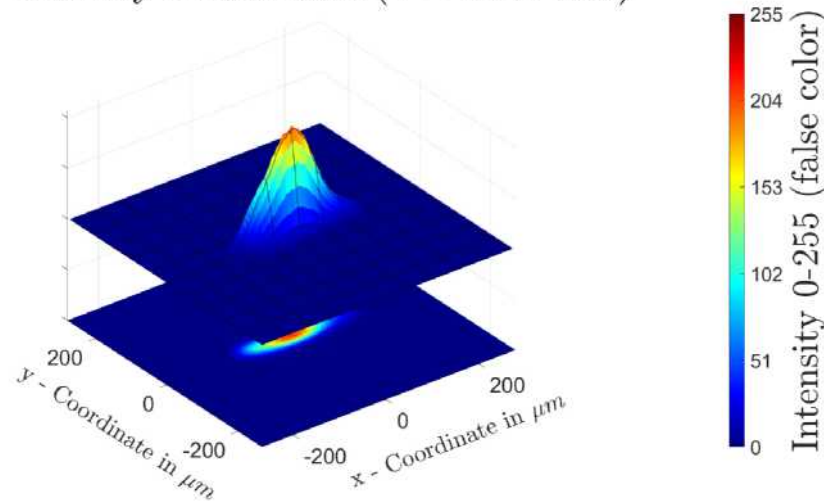


Abbildung 5.11: 3D Intensitätsverteilung nach dem Tausch

Mögliche Gründe für das elliptische Strahlprofil:

- Das Zentrum der höchsten Intensität des Strahlprofils ist elliptisch und wurde erst durch Abschwächung sichtbar.
- Da der Laserstrahl des FSL aus einem breiten Spektrum an Wellenlängen besteht, die verwendeten ND-Filter allerdings keine konstante Transmission über diesen Bereich besitzen, könnte durch die inhomogene Abschwächung das Strahlprofil beeinflusst worden sein.
- Die Messebene der Kamera könnte nicht orthogonal auf die Ausbreitungsrichtung des Laserstrahls stehen, wodurch das Strahlprofil eine elliptische Form bekommt.

## 5 Messergebnisse

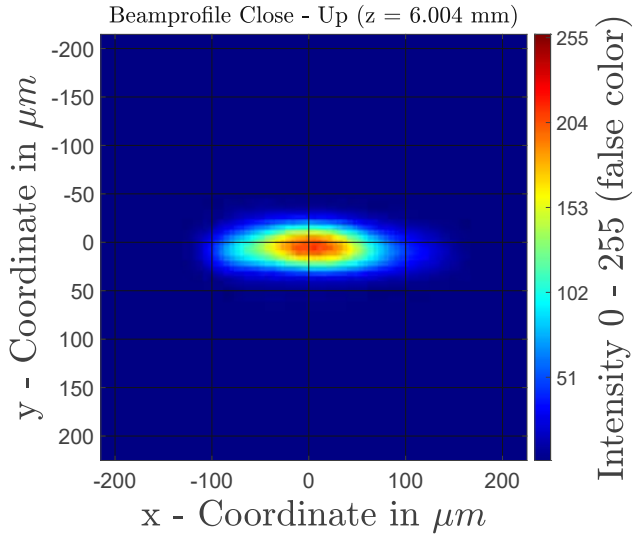


Abbildung 5.12: Nahaufnahme des Laserstrahlprofils nach dem Tausch

Das unfokussierte Strahlprofil wurde auf eine weiße Oberfläche projiziert. Dabei konnte mit freiem Auge festgestellt werden, dass der Rohstrahl ein gaußsches Profil besitzt. Das würde dafür sprechen, dass durch die signifikante Abschwächung des Laserstrahls nurmehr der Bereich mit der höchsten Intensität messbar bleibt. Ob und welchen Einfluss die inhomogenen Transmissionseigenschaften

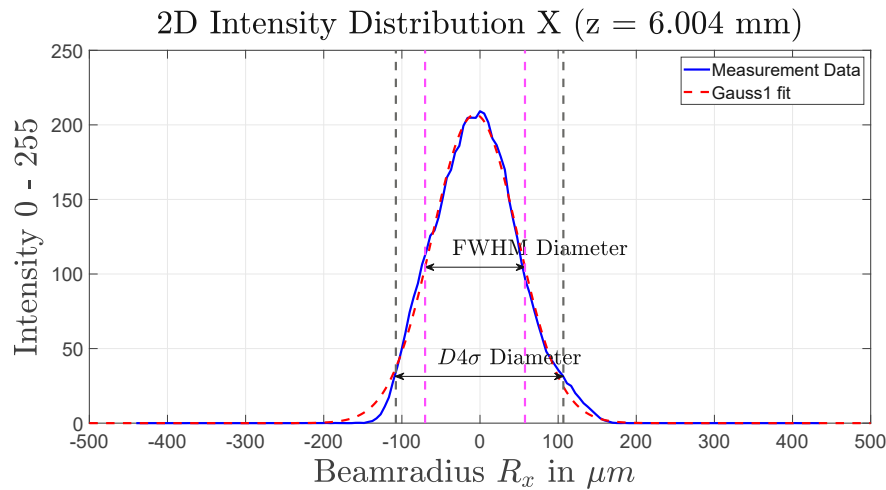


Abbildung 5.13: 2D Intensitätsverteilung nach dem Tausch

haben, ließe sich nur durch Kenntnis der im inhomogenen räumlichen Verteilung der Bandbreite im Strahlquerschnitt feststellen. Die Orthogonalität der Messebene der Kamera auf die Ausbreitungsrichtung des Laserstrahls wurde während dem Einrichtungsprozess des Messsystems geprüft. Bevor aber die Winkelverschiebung der Messebene überprüft werden kann muss zuerst überprüft werden, ob der Laserstrahl koaxial zur Verfahrachse des Schlittens ist. Geprüft wurde es, indem der Laserstrahl zuerst auf das Zentrum des Messsensors ausgerichtet wurde und anschließend die Kamera über den Linearschlitten in Ausbreitungsrichtung verfahren wurde. Das gemessene Strahlprofil und dessen Position auf der Kamera wurde währenddessen beobachtet, um zu überprüfen ob der Spot über den Sensor wandert. Stellt man bei verfahren des Linearschlittens fest, dass das gemessene Strahlprofil nach oben oder unten wandert, deutet das darauf hin, dass eine Winkelabweichung zur Horizontalen vorliegt. Wandert er nach links oder rechts deutet das darauf hin, dass der Linearschlitten eine Win-

kelverschiebung zur Ausbreitungsrichtung des Laserstrahl aufweist. Wenn man diese beiden Fälle ausgeschlossen hat, kann mithilfe des verstellbaren Spiegels der Laserstrahl auf das Zentrum der Kamera ausgerichtet werden. Die 2D Intensitätsverteilungen in Hauptachsenrichtungen (siehe Abb.

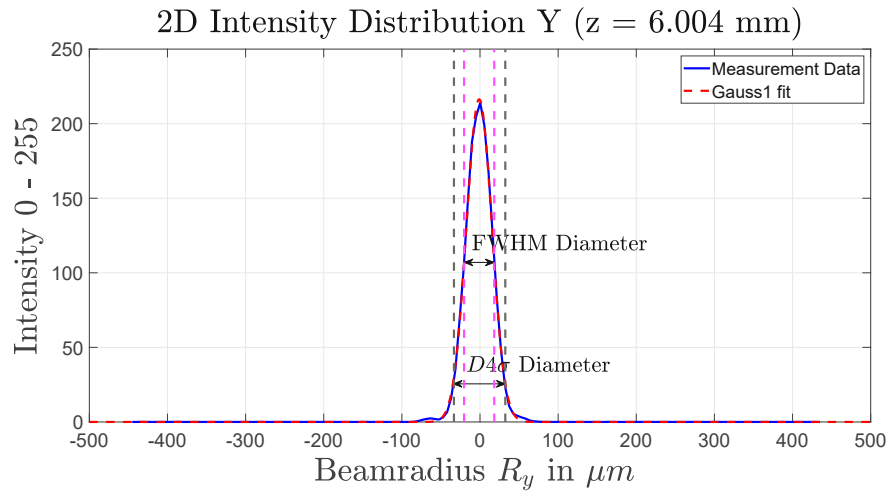


Abbildung 5.14: 2D Intensitätsverteilung nach dem Tausch

5.13 und Abb. 5.14) decken sich gut mit einer idealen Gaußverteilung. Es gibt ein klares Maximum und die Randbereiche der Verteilung sind nicht abgeschnitten (erkennbar durch den kontinuierlichen Verlauf gegen 0), wodurch Überkompensation durch die Hintergrundkorrektur ausgeschlossen werden kann. In der 2D FFT (siehe Abb. 5.15) sind hauptsächlich niederfrequente Anteile vorhanden.

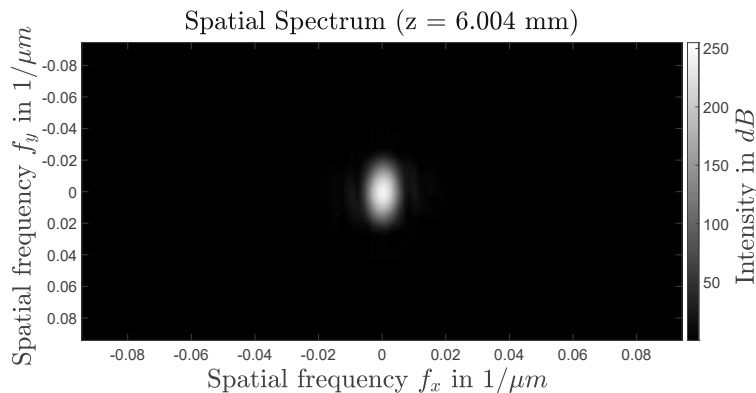


Abbildung 5.15: 2D FFT des Laserstrahlprofils nach dem Wechsel

Die vor dem Tausch des Pumplasers beobachteten periodischen Ringe, aufgrund der Pixelsättigung um den niedrfrequenten zentralen Teil des Spektrums, sind hier nicht mehr vorhanden. Die FFT der 2D Intensitätsverteilungen (siehe Abb. 5.16) zeigt in x-Richtung ein schmaleres Frequenzband als in y-Richtung.

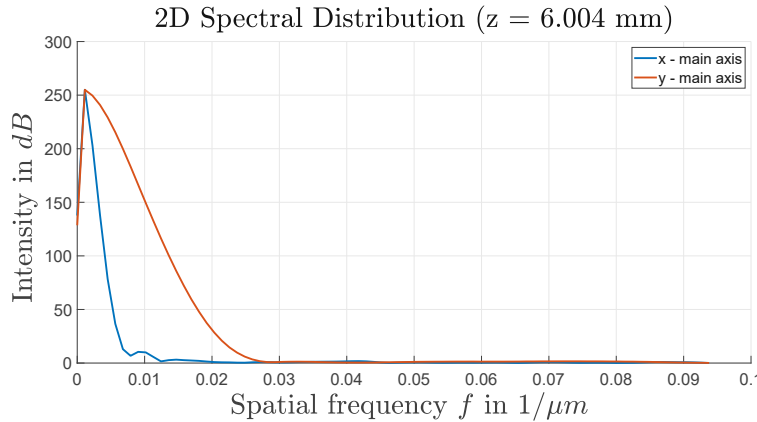


Abbildung 5.16: 1D FFT des Laserstrahlprofils nach dem Tausch in Hauptachsenrichtungen

### 5.3 Vergleich theoretische und reale Fokusdurchmesser

Jede optische Komponente im Aufbau eines Lasers sind aufgrund von Imperfektionen fehlerbehaftet. Es lässt sich daraus schließen, dass auch die theoretisch erreichbaren Werte von den realen abweichen. Das gilt auch für den Fokusdurchmesser der durch ein fokussierendes optisches Element erreicht werden kann. Der Durchmesser eines fokussierten Strahls [2] kann mit der Brennweite  $f$ , der Wellenlänge  $\lambda$ , der Strahlgüte  $k = 1/M^2$  und dem Strahltaillenradius  $w_L$  am fokussierenden Element über

$$d_f = \frac{2 \cdot f \cdot \lambda}{\pi \cdot k \cdot w_L} \quad (5.1)$$

berechnet werden. Verglichen wurden die theoretischen und gemessenen Werte bei einer Brennweite von 100 mm und 500 mm. Für die 100 mm Brennweite wurden die Strahlabmessungen des fokussierten Strahls visuell anhand eines Einschusses mikroskopisch bestimmt (siehe Abb. 5.17). Für die Brennweite von 500 mm konnten die zuvor über das Messsystem bestimmten Strahlabmes-



Abbildung 5.17: Beispiel eines Einschusslochs bei einer Brennweite von 100 mm

sungen herangezogen werden. In Tab. 5.3 sind die Ergebnisse zusammengefasst. Bestimmt wurden die theoretischen Strahldurchmesser für die aus den Messungen bestimmten effektiven Beugungsmaßzahlen und der vom Hersteller angegebenen Beugungsmaßzahl. Es fällt direkt auf, dass sowohl die vermessenen Brandlöcher als auch die mit dem Messsystem gemessenen Strahlprofile elliptisch

sind. Die Differenz der gemessenen Strahlabmessungen zu den theoretischen Abmessungen beträgt vor dem Tausch bei einer Brennweite von 100 mm in x-Richtung 16.8  $\mu\text{m}$  und nach dem Tausch 30.93  $\mu\text{m}$ . In y-Richtung beträgt die Differenz vor dem Tausch 4.9  $\mu\text{m}$  bzw. nach dem Tausch 2.6  $\mu\text{m}$ . Bei der 500 mm Brennweite beträgt die Differenz vor dem Tausch in x-Richtung 76.7  $\mu\text{m}$  und nach dem Tausch 154.1  $\mu\text{m}$ . In y-Richtung beträgt die Differenz vor dem Tausch 13.6  $\mu\text{m}$  und nach dem Tausch 6.6  $\mu\text{m}$ .

Tabelle 5.3: Vergleich theoretische und reale Fokusdurchmesser

Parameter	Hersteller	Vor Tausch	Nach Tausch
Beugungsmaßzahl $M^2$	2	2.43	1.80
Strahlradius $1/e^2 w_L$	7.5 mm	7.5 mm	7.5 mm
theoretischer Fokusdurchmesser $1/e^2 d$ @100mm	13.6 $\mu\text{m}$	16.5 $\mu\text{m}$	12.2 $\mu\text{m}$
gemessener Fokusdurchmesser $1/e^2 d_x$ @100mm	-	33.3 $\mu\text{m}$	43.13 $\mu\text{m}$
Differenz $\Delta d_x$ @100mm	-	16.8 $\mu\text{m}$	30.93 $\mu\text{m}$
gemessener Fokusdurchmesser $1/e^2 d_y$ @100mm	-	21.3 $\mu\text{m}$	14.8 $\mu\text{m}$
Differenz $\Delta d_y$ @100mm	-	4.9 $\mu\text{m}$	2.6 $\mu\text{m}$
theoretischer Fokusdurchmesser $1/e^2 d$ @500mm	67.9 $\mu\text{m}$	92.5 $\mu\text{m}$	61.1 $\mu\text{m}$
gemessener Fokusdurchmesser $1/e^2 d_x$ @500mm	-	169.2 $\mu\text{m}$	215.2 $\mu\text{m}$
Differenz $\Delta d_x$ @500mm	-	76.7 $\mu\text{m}$	154.4 $\mu\text{m}$
gemessener Fokusdurchmesser $1/e^2 d_y$ @500mm	-	106.1 $\mu\text{m}$	67.6 $\mu\text{m}$
Differenz $\Delta d_y$ @500mm	-	13.6 $\mu\text{m}$	6.6 $\mu\text{m}$
Verhältnis $d_x$ @500mm/ $d_x$ @100mm	-	5.1	4.99
Verhältnis $d_y$ @500mm/ $d_y$ @100mm	-	4.98	4.35

Die Brennweiten der Messungen stehen in einem Verhältnis von 5 zueinander. Bildet man die Verhältnisse der gemessenen Durchmesser bei 500 mm und 100 mm ergibt sich vor dem Tausch des Pumplasers in x-Richtung ein Verhältnis von 4.98 und in y-Richtung 4.35. Nach dem Pumplaser-tausch ist das Verhältnis in x-Richtung 4.98 und in y-Richtung 4.35. Das spricht dafür, dass die mit dem Messsystem gemessenen Strahlprofile und damit einhergehend die berechneten Strahleigenschaften den tatsächlichen Eigenschaften des Laserstrahls entsprechen.

## 6 Zusammenfassung und Ausblick

Der Messaufbau und das Messprogramm die im Zuge dieser Arbeit gebaut und programmiert wurden, sind zwar für den Einsatz am Ti:Sa-Femtosekundenlaser entwickelt, können bei Bedarf aber auch für alternative Laserquellen genutzt werden, solange sie ein stigmatisches oder leicht astigmatisches Strahlprofil besitzen. Für die Messung von alternativen Lasern ist zu beachten, dass die verwendete Hardware an den Leistungs- und Frequenzbereich des zu vermessenden Lasers angepasst werden muss. Ansonsten erlaubt der Aufbau des Messsystems auf einer vom Laser unabhängigen Plattform eine einfache Portabilität für die Montage bei anderen Laserquellen. Für astigmatische Laserstrahlen wäre die ISO 11146-2 anzuwenden. Die Bestimmung der dafür notwendigen Parameter würde zusätzlich zur bestehenden Messung, zwei weitere Messungen voraussetzen, für die der Messaufbau und das Messprogramm umgebaut bzw. erweitert werden müssten. Der bestehende Aufbau liefert acht der zehn Momente zweiter Ordnung die für die Bestimmung der Parameter von astigmatischen Strahlen notwendig sind. Um die letzten zwei Momente zweiter Ordnung zu bestimmen, müsste die bestehende Linse nach einem Messzyklus durch eine Zylinderlinse ersetzt und der Messzyklus insgesamt zweimal wiederholt werden (einmal mit vertikal montierter und einmal mit horizontal montierter Zylinderlinse). In weiterer Folge muss auch das Messprogramm um neue Datenelemente und Funktionen erweitert werden, um die zusätzlichen Anforderungen an den Messzyklus und der Auswertung zu erfüllen. Nach der Bestimmung aller Momente zweiter Ordnung mit dem erweiterten Messaufbau und Messprogramm bestimmt, kann die Strahlmatrix gebildet und damit die Strahleigenschaften berechnet werden.

Im Verlauf dieser Arbeit wurden zwei unterschiedliche Ansätze zur Abschwächung der Laserstrahlen für die anschließende Messung der Strahleigenschaften mittels NIR Kamera untersucht. In Messaufbau Version 1 wurde versucht den Laserstrahl durch Reflexion an Prismen abzuschwächen. Im Zuge der ersten Tests wurde festgestellt, dass "Ghosting" Strahlen resultierend aus sekundären Reflexionen in den Prismen zu Interferenzen mit dem Primärstrahl führten. Die Abschwächung des Laserstrahls mittels Reflexion hat einen Messtechnischen Vorteil gegenüber der Abschwächung mittels Transmission durch Filterelemente. Der Vorteil ist, dass die Reflexionseigenschaften von rechtwinkligen Glasprismen oder Glaswedges sehr konstant über einen breiten Wellenlängenbereich sind. Dadurch kann ein Einfluss der frequenzabhängigen Abschwächung auf das Strahlprofil ausgeschlossen werden. Der große Nachteil dieser Methode ist, dass für große Abschwächungen viele Stufen notwendig sind und zwischen den Stufen genug Abstand vorgesehen werden muss, um die "Ghosting" Strahlen aus dem Messsystem auszukoppeln. Verwendet man wie in Messaufbau Version 3 Filter zur Abschwächung, kann das Messsystem wesentlich kompakter gebaut werden, es muss jedoch die Frequenzabhängigkeit der Transmission durch die Filter berücksichtigt werden. Die Abschwächung des Laserstrahls ist vor allem für die Vermessung von Hochleistungslasern notwendig, da der auf die Kamera fokussierte Laserstrahl ansonsten entweder die Kamerapixel zerstören oder sättigen würde. Gesättigte Pixel führen zu einer künstlichen Vergrößerung des gemessenen Strahlprofil durch den "Blooming" Effekt. Es gibt weitere Anforderungen an das Strahlprofil und die Kamera die beachtet werden müssen. Der Durchmesser des Strahlprofils darf nicht größer sein als ein Drittel der verfügbaren Sensorfläche, da in der Norm festgelegt ist, dass der Auswertungsbereich (Integrationsbereich) dreimal so groß sein sollte wie die zu bestimmenden Strahlabmessungen. Weiters sollte der Strahldurchmesser laut Norm mit mindestens 20 Kamerapixel aufgelöst werden. Mit der in dieser Arbeit verwendeten Kamera betrug die Auflösung des Strahldurchmesser bei einer Brennweite von 500 mm 10 Kamerapixel. Um die Auflösung von 20 Kamerapixel zu erreichen

## *6 Zusammenfassung und Ausblick*

hätte man entweder eine Kamera mit höherer Auflösung verwenden müssen oder die Brennweite des fokussierenden Elements vergrößern. Aufgrund des beschränkten Platzes war die Brennweite allerdings bereits mit 500 mm am Limit des möglichen und eine andere Kamera stand nicht zur Verfügung. Für die Messung von stigmatischen Strahlen sind 20 Messpunkte im Bereich von zumindest zwei Rayleighlängen in beiden Richtungen ausgehend von der Strahltaille erforderlich um ein normkonformes Messergebnis zu erhalten. Daraus ergibt sich, dass der Linearschlitten einen Verfahrweg von mindestens 5 Rayleighlängen und eine passende Ganggenauigkeit haben muss.

Zusammenfassend gibt es viele Feinheiten die bei der Messung und Auswertung der räumlichen Strahleigenschaften eines Lasers beachtet werden müssen. Jede Komponente im Messaufbau kann das Messergebnis beeinflussen und muss daher sorgfältig ausgewählt werden um ein möglichst großes Spektrum an unterschiedlichen Lasern abdecken zu können. Als nächsten Schritt wäre es wünschenswert einen Messaufbau aufzubauen der den Laserstrahl mittels Reflexion abschwächt. Dann könnten die Vor- und Nachteile der beiden Ansätze zur Abschwächung direkt miteinander verglichen werden.

## Abbildungsverzeichnis

1.1	Verlauf der elektrischen Feldstärke <b>E</b> und der magnetischen Feldstärke <b>H</b> in Ausbreitungsrichtung einer Lichtwelle [2] . . . . .	6
1.2	Brechungsgesetz . . . . .	6
1.3	relative Lichtempfindlichkeit des menschlichen Auges [2] . . . . .	7
1.4	Schematische Darstellung von Absorption, spontaner Emission und induzierter Emission [2] . . . . .	8
1.5	Schaltdiagramm eines Verstärkers mit positiver Rückkopplung [3] . . . . .	10
1.6	Schematische Darstellung eines optischen Verstärkers [3] . . . . .	11
1.7	TEM Moden mit unterschiedlicher Symmetrie . . . . .	13
1.8	Aufbau zur Beobachtung von individuellen TEM Moden [5] . . . . .	13
1.9	Aufgenommene Strahlprofile für verschiedene TEM Moden eines He-Ne Lasers [5] . .	14
1.10	Vereinfachte Schemaskizze eines Ti:Saphir Femtosekunden Lasers . . . . .	15
2.1	Einfluss der Größe einer Kernelmatrix auf die Bildverschmierung . . . . .	20
2.2	Einfluss der Graustufenskalierung und der Korrekturverfahren . . . . .	22
2.3	Auswahl des geschätzten Integrationsbereichs . . . . .	26
2.4	An die Strahldurchmesser in x-Richtung angepasste hyperbolische Kurve . . . . .	26
3.1	Anordnung opto-mechanischer Elemente vor dem FSL . . . . .	28
3.2	Messaufbau Version 1 . . . . .	29
3.3	Messaufbau Version 2 und Strahlfalle . . . . .	30
3.4	Reflexionen im Prisma . . . . .	31
3.5	Laserstrahlprofil . . . . .	31
3.6	Ortsfrequenzspektrum eines Laserstrahlprofils . . . . .	32
3.7	Messaufbau Version 3 . . . . .	32
3.8	Rechtwinkliges Prisma PS908 [11] . . . . .	33
3.9	Transmissionskurve von unbeschichtetem BK7 [12] . . . . .	33
3.10	ND Filter NE40B-B, NE50B-B [14] . . . . .	34
3.11	ND-Filter Transmissionskurven für OD 2.0 - OD 6.0 [15] . . . . .	34
3.12	Schrittmotor Sanyo Denki 103H5205-5240 [17] . . . . .	34
3.13	Momentenverlauf Sanyo Denki 103H5205-5240 [18] . . . . .	35
3.14	Arduino UNO Rev3 [20] . . . . .	35
3.15	Arduino Motor Shield Rev3 [22] . . . . .	36
3.16	Basler ace GigE acA1300-60gmNIR [24] . . . . .	36
4.1	Klassendiagramm Measurement . . . . .	37
4.2	Klassendiagramm Background . . . . .	37
4.3	Klassendiagramm MeasurementData . . . . .	38
4.4	Klassendiagramm SingleMeasurementPoint . . . . .	39
4.5	Klassendiagramm SingleMeasurement . . . . .	40
4.6	Messgitterkonfiguration . . . . .	41
4.7	Messgitter Konfigurationsmethoden . . . . .	42
4.8	Ablaufplan Automatisierte Messung . . . . .	42
4.9	Ablaufplan Hauptmessung . . . . .	43
4.10	Ablaufplan Hintergrundmessung . . . . .	43

## Abbildungsverzeichnis

4.11 Konfiguration der Auswertungsparameter . . . . .	44
4.12 Ablaufplan der Auswertung . . . . .	44
4.13 Darstellung der Ergebnisse mit Farbschema jet . . . . .	46
4.14 Ablaufplan    Parameterberechnung . . . . .	47
4.15 Ablaufplan    Hintergrundkorrektur . . . . .	47
4.16 Ablaufplan    Livemessung . . . . .	48
4.17 Livemessung . . . . .	48
5.1 Laserstahlradius $R_x$ in Ausbreitungsrichtung vor dem Tausch . . . . .	50
5.2 Laserstahlradius $R_y$ in Ausbreitungsrichtung vor Tausch . . . . .	50
5.3 3D Intensitätsverteilung vor dem Tausch . . . . .	51
5.4 Nahaufnahme des Laserstrahlprofils vor dem Tausch . . . . .	51
5.5 2D Intensitätsverteilung in x-Richtung vor dem Tausch . . . . .	52
5.6 2D Intensitätsverteilung im Fokuspunkt in y-Richtung vor dem Tausch . . . . .	52
5.7 2D FFT des Laserstrahlprofils vor dem Tausch . . . . .	53
5.8 1D FFT des Laserstrahlprofils vor dem Tausch in Hauptachsenrichtungen . . . . .	53
5.9 Laserstahlradius in x-Richtung nach dem Tausch . . . . .	53
5.10 Laserstahlradius in y-Richtung nach dem Tausch . . . . .	54
5.11 3D Intensitätsverteilung nach dem Tausch . . . . .	54
5.12 Nahaufnahme des Laserstrahlprofils nach dem Tausch . . . . .	55
5.13 2D Intensitätsverteilung nach dem Tausch . . . . .	55
5.14 2D Intensitätsverteilung nach dem Tausch . . . . .	56
5.15 2D FFT des Laserstrahlprofils nach dem Wechsel . . . . .	56
5.16 1D FFT des Laserstrahlprofils nach dem Tausch in Hauptachsenrichtungen . . . . .	57
5.17 Beispiel eines Einschusslochs bei einer Brennweite von 100 mm . . . . .	57
7.1 Startbildschirm des Messprogramms . . . . .	191

## **Tabellenverzeichnis**

1.1	Datenblatt FEMTOPOWER COMPACT PRO . . . . .	15
5.1	Messparameter . . . . .	49
5.2	Zusammenfassung der Messergebnisse . . . . .	49
5.3	Vergleich theoretische und reale Fokusdurchmesser . . . . .	58

## 7 Anhang

### Anhang 1: Quellcode

7.1	Class Measurement . . . . .	65
7.2	Function addResult . . . . .	66
7.3	Class MeasurementData . . . . .	66
7.4	Function addSingleMeasurementPoint . . . . .	69
7.5	Function backgroundCorrectionMeasurementData . . . . .	69
7.6	Function iso11146Part1MeasurementData . . . . .	69
7.7	Class Background . . . . .	71
7.8	Function addSingleMeasurementPoint . . . . .	72
7.9	Function getMeanFromCorners . . . . .	72
7.10	Function getMeanStandardDeviation . . . . .	73
7.11	Function getMeanSubstractionMap . . . . .	73
7.12	Function getMeanSubstractionMapDouble . . . . .	73
7.13	Function getMeanValue . . . . .	73
7.14	Class MeasurementSettings . . . . .	74
7.15	Class SingleMeasurementPoint . . . . .	74
7.16	Function addMeasurement . . . . .	77
7.17	Function backgroundCorrectionSingleMeasurementPoint . . . . .	77
7.18	Function backgroundCorrectionSingleMeasurementPoint . . . . .	78
7.19	Function iso11146Part1SingleMeasurementPoint . . . . .	78
7.20	Function showAllImages . . . . .	79
7.21	Function showImage . . . . .	80
7.22	Function showImageWithCircleDetection . . . . .	80
7.23	Function showImageWithImTool . . . . .	80
7.24	Class SingleMeasurement . . . . .	81
7.25	Function backgroundCorrectionSingleMeasurement . . . . .	82
7.26	Function iso11146Part1SingleMeasurement . . . . .	86
7.27	Class Result . . . . .	88
7.28	Function lbcUI_Launcher . . . . .	90
7.29	Function CalculatePacketDelay . . . . .	90
7.30	Class lbcUI . . . . .	93
7.31	Function AutoMeasISO11146Part1MethodRBGroup_SelectionChangedFcn . . . . .	146
7.32	Function AutoMeasISO11146Part1StartMeasButton_ButtonPushedFcn . . . . .	146
7.33	Function CalcNumOfSteps . . . . .	149
7.34	Function ClearGUIEvalResTab . . . . .	149
7.35	Function ConfEvalBackCorrMethodDropDown_ValueChangedFcn . . . . .	151
7.36	Function ConfEvalConvergeCriterionSlider_AllEvents . . . . .	151
7.37	Function ConfEvalDrawRectButton_ButtonPushedFcn . . . . .	151
7.38	Function ConfEvalEvaluationButton_ButtonPushedFcn . . . . .	152
7.39	Function ConfEvalLoadMeasButton_ButtonPushedFcn . . . . .	153
7.40	Function ConfEvalSmpDropDown_ValueChangedFcn . . . . .	154
7.41	Function ConfEvalSmpImDropDown_ValueChangedFcn . . . . .	155

7.42 Function drawConfEvalRectAllevents . . . . .	155
7.43 Function drawLiveMeasRectAllevents . . . . .	156
7.44 Function EvalResImChangeColorMap . . . . .	156
7.45 Function EvalResImDataChangeColorMapButton_ValueChangedFcn . . . . .	157
7.46 Function EvalResImDataDropDown_ValueChangedFcn . . . . .	157
7.47 Function EvalResMeasDataResultDropDown_ValueChangedFcn . . . . .	157
7.48 Function EvalResMeasPlotButton_ButtonPushedFcn . . . . .	157
7.49 Function EvalResSaveMeasButton_ButtonPushedFcn . . . . .	174
7.50 Function EvalResSmpDataDropDown_ValueChangedFcn . . . . .	175
7.51 Function HSCamConfApplySettingButton_ButtonPushedFcn . . . . .	175
7.52 Function HSCamConfCamPreviewButton_ValueChangedFcn . . . . .	175
7.53 Function HSCamConfCamTestButton_ButtonPushedFcn . . . . .	176
7.54 Function HSCamConfConnectButton_ButtonPushedFcn . . . . .	176
7.55 Function HSCamConfDisconnectButton_ButtonPushedFcn . . . . .	177
7.56 Function HSStepmotorConfApplySettingsButton_ButtonPushedFcn . . . . .	177
7.57 Function HSStepmotorConfComPortRefreshButton_ButtonPushedFcn . . . . .	178
7.58 Function HSStepmotorConfConnectButton_ButtonPushedFcn . . . . .	178
7.59 Function HSTestHardwareGoToPositionButton_ButtonPushedFcn . . . . .	178
7.60 Function HSTestHardwareGoToZeroButton_ButtonPushedFcn . . . . .	179
7.61 Function HSTestHardwareReferenceStageButton_ButtonPushedFcn . . . . .	179
7.62 Function LiveMeasBackgroundMeasButton_ButtonPushedFcn . . . . .	179
7.63 Function LiveMeasDrawRectButton_ButtonPushedFcn . . . . .	180
7.64 Function LiveMeasStartStopButton_ValueChangedFcn . . . . .	180
7.65 Function LiveMeasTriggerImageButton_ButtonPushedFcn . . . . .	182
7.66 Function moveToZpos . . . . .	183
7.67 Function SetEvalResImDataParams . . . . .	183
7.68 Function SetEvalResMeasDataParams . . . . .	184
7.69 Function SetEvalResSmpDataParams . . . . .	186
7.70 Function TriggerCameraImage . . . . .	186
7.71 Function UpdateGUIConfEvalTab . . . . .	187
7.72 Function UpdateGUIEvalResTab . . . . .	188
7.73 Function UpdatePreviewAxes . . . . .	189

### 7.1: Class Measurement

```

1 classdef Measurement < handle
2 %MEASUREMENT Class used to perform, store and analyze a
3 %Laserbeammeasurement.
4
5 properties(Access = public)
6     measurementData MeasurementData = MeasurementData();
7     backgroundData Background
8     measSettings MeasurementSettings;
9     results Result;
10 end
11
12 methods
13     function obj = Measurement(rayleighLength,timesReyleighLength,noMP,
14         measPerPoint)
15         obj.measSettings = MeasurementSettings(rayleighLength,

```

```

15         timesReyleighLength,noMP,measPerPoint);
16     obj.backgroundData = Background();
17     obj.measurementData = MeasurementData();
18 end
19 function reset(obj)
20     obj.measurementData.reset();
21     obj.backgroundData.reset();
22 end
23 function value = getMeasurementData(obj)
24     % Get stored measurement data.
25     value = obj.measurementData;
26 end
27 function value = getBackgroundData(obj)
28     % Get stored background data.
29     value = obj.backgroundData;
30 end
31 function value = getResults(obj)
32     % Get stored measurement data.
33     value = obj.results;
34 end
35 addResult(obj,value);
36
37 end

```

## 7.2: Function addResult

```

1 function addResult(obj,value)
2 %addResult Adds new Result to the existing Measurement result dataset.
3 obj.results(end+1) = value;
4 end

```

## 7.3: Class MeasurementData

```

1 classdef MeasurementData < handle
2 %MEASUREMENTDATA Class containing the measurement data of all measurementpoints
3
4 properties (Access = public)
5     measurementDataSet SingleMeasurementPoint;
6
7     W_X_theta_X double;
8     W_Y_theta_Y double;
9     W_theta_X_squared double;
10    W_theta_Y_squared double;
11    W_theta_X_theta_Y double;
12
13
14    fx cfit;
15    z0x double;

```

```
16 dSigma0x double;
17 thetaSigmaX double;
18 zRx double;
19 MsquaredX double;
20
21 fy cfit;
22 z0y double;
23 dSigma0y double;
24 thetaSigmaY double;
25 zRy double;
26 MsquaredY double;
27
28 zPos double;
29 dWx double;
30 dWxStd double;
31 dWy double;
32 dWyStd double;
33 end
34
35 methods
36 % function delete(obj)
37 %     delete(obj.measurementDataSet);
38 % end
39 function reset(obj)
40     obj.measurementDataSet = SingleMeasurementPoint.empty;
41 end
42 function measurementData(obj)
43     obj.measurementDataSet = SingleMeasurementPoint.empty;
44 end
45 function measurementDataSet = getMeasurementDataSet(obj)
46     % Get stored measurement dataSet.
47     measurementDataSet = obj.measurementDataSet;
48 end
49 function value = getZ0X(obj)
50     % Get stored measurement dataSet.
51     value = obj.z0x;
52 end
53 function value = getZ0Y(obj)
54     % Get stored measurement dataSet.
55     value = obj.z0y;
56 end
57 function value = getDSigma0x(obj)
58     % Get stored measurement dataSet.
59     value = obj.dSigma0x;
60 end
61 function value = getDSigma0y(obj)
62     % Get stored measurement dataSet.
63     value = obj.dSigma0y;
64 end
```

```

65 function value = getThetaSigmaX(obj)
66     % Get stored measurement dataSet.
67     value = obj.thetaSigmaX;
68 end
69 function value = getThetaSigmaY(obj)
70     % Get stored measurement dataSet.
71     value = obj.thetaSigmaY;
72 end
73 function value = getZrX(obj)
74     % Get stored measurement dataSet.
75     value = obj.zRx;
76 end
77 function value = getZrY(obj)
78     % Get stored measurement dataSet.
79     value = obj.zRy;
80 end
81 function value = getMsquaredX(obj)
82     % Get stored measurement dataSet.
83     value = obj.MsquaredX;
84 end
85 function value = getMsquaredY(obj)
86     % Get stored measurement dataSet.
87     value = obj.MsquaredY;
88 end
89 function value = getfxFit(obj)
90     % Get stored measurement dataSet.
91     value = obj.fx;
92 end
93 function value = getfyFit(obj)
94     % Get stored measurement dataSet.
95     value = obj.fy;
96 end
97 function value = getzPos(obj)
98     % Get stored measurement dataSet.
99     value = obj.zPos;
100 end
101 function value = getdWx(obj)
102     % Get stored measurement dataSet.
103     value = obj.dWx;
104 end
105 function value = getdWxStd(obj)
106     % Get stored measurement dataSet.
107     value = obj.dWxStd;
108 end
109 function value = getdWyStd(obj)
110     % Get stored measurement dataSet.
111     value = obj.dWyStd;
112 end
113 function value = getdWy(obj)

```

```

114     % Get stored measurment dataSet.
115     value = obj.dWy;
116
117     end
118     addSingleMeasurementPoint(obj,value);
119     value = backgroundCorrectionMeasurementData(obj,coarseMethod,fineMethod,
120           background,kernelSize,ntFactor,integAreaFactor,k,manualValue);
121     %
122     %       value = correction(obj,method,backgroundData,varargin);
123     value = iso11146Part1MeasurementData(obj,centerGuessX,centerGuessY,
124           integAreaGuessX,integAreaGuessY,convergeKriterium,faktor,lambda,resWidth
125           ,resHeight,pixelsize);
126     value = iso11146Part2MeasurementData(obj,centerGuessX,centerGuessY,
127           integAreaGuessX,integAreaGuessY,convergeKriterium,faktor,lambda);
128
129     end
130 end

```

#### 7.4: Function addSingleMeasurementPoint

```

1 function addSingleMeasurementPoint(obj,value)
2 %addSingleMeasurementPoint Add a element of type SingleMeasurementPoint to
3 %dataSet.
4 obj.measurementDataSet(end+1) = value;
5 end

```

#### 7.5: Function backgroundCorrectionMeasurementData

```

1 function value = backgroundCorrectionMeasurementData(obj,coarseMethod,fineMethod,
2   background,kernelSize,ntFactor,manualValue)
3 %backgroundCorrectionMeasurementData Initiates backgroundcorrection for the
4 %whole measurementdata.
5
5 % Correct measurment data.
6 if not(isa( background, 'Background' ))
7   error('Invalid Classtype of input parameter background.');
8 end
9 measurementDataSet = obj.getMeasurementDataSet();
10 [Useless,NoMP] = size(measurementDataSet);
11 value = MeasurementData();
12 for k = 1 : NoMP
13   fprintf('Performing background correction for measuring point %i.\n',k);
14   corrMeasPoint = measurementDataSet(k).backgroundCorrectionSingleMeasurementPoint
15     (coarseMethod,fineMethod,background,kernelSize,ntFactor,k,manualValue);
16   value.addSingleMeasurementPoint(corrMeasPoint);
17 end
end

```

#### 7.6: Function iso11146Part1MeasurementData

```

1 function value = iso11146Part1MeasurementData(obj,centerGuessX,centerGuessY,
2   integAreaGuessX,integAreaGuessY,convergeKriterium,faktor,lambda,pixelsize)
3 %iso11146Part1MeasurementData calc LB parameters using ISO11146-1 for
4 %background corrected Measurementdata

```

```
4
5 measurementDataSet = obj.getMeasurementDataSet();
6 [Useless,NoMP] = size(measurementDataSet);
7 value = MeasurementData();
8 zPos = [];
9 dWx = [];
10 dWxStd = [];
11 dWy = [];
12 dWyStd = [];
13 for k = 1 : NoMP
14     fprintf('Computing ISO11146-1 parameters for measuring point %i.\n',k);
15     corrMeasPoint = measurementDataSet(k).iso11146Part1SingleMeasurementPoint(
16         centerGuessX,centerGuessY,integAreaGuessX,integAreaGuessY,convergeKriterium,
17         faktor,pixelsize);
18     value.addSingleMeasurementPoint(corrMeasPoint);
19
20     zPos = [zPos,corrMeasPoint.getZPos()];
21     dWx = [dWx,corrMeasPoint.getdWx_mean()];
22     dWxStd = [dWxStd,corrMeasPoint.getdWx_std];
23     dWy = [dWy,corrMeasPoint.getdWy_mean()];
24     dWyStd = [dWyStd,corrMeasPoint.getdWy_std];
25
26 end
27 offset_weight = 1;
28 weight = 0.1*ones(1,size(dWx,2));
29
30 [V,I] = min(dWx);
31 for i=1: size(dWx,2)
32     if (i >= I-offset_weight && i <= I+offset_weight) || i <= offset_weight || i >=
33         size(dWx,2)-offset_weight
34         weight(i) = 1;
35     end
36 end
37
38 fx=fit(zPos',dWx.^2,'poly2','Robust','Bisquare','Weight',weight);
39 value.fx = fx;
40
41 cx = fx.p1;
42 bx = fx.p2;
43 ax = fx.p3;
44
45 value.z0x = -bx/(2*cx);
46 value.dSigma0x = (1/(2*sqrt(cx)))*sqrt(4*ax*cx-bx^2);
47 value.thetaSigmaX = sqrt(cx);
48 value.zRx = 1/(2*cx)*sqrt(4*ax*cx-bx^2);
49 value.MsquaredX = pi/(8*lambda/1e+3)*sqrt(4*ax*cx-bx^2);
50 value.fx = fx;
```

```

50 weight = 0.1*ones(1,size(dWy,2));
51 [V,I] = min(dWy);
52 for i=1: size(dWy,2)
53     if (i >= I-offset_weight && i <= I+offset_weight) || i <= offset_weight || i>=
54         size(dWy,2)-offset_weight
55         weight(i) = 1;
56     end
57 end
58 fy = fit(zPos',dWy.^2,'poly2','Robust','Bisquare','Weight',weight);
59 value.fy = fy;
60
61 cy = fy.p1;
62 by = fy.p2;
63 ay = fy.p3;
64
65 value.z0y = -by/(2*cy);
66 value.dSigma0y = (1/(2*sqrt(cy)))*sqrt(4*ay*cy-by^2);
67 value.thetaSigmaY = sqrt(cy);
68 value.zRy = 1/(2*cy)*sqrt(4*ay*cy-by^2);
69 value.MsquaredY = pi/(8*lambda/1000)*sqrt(4*ay*cy-by^2);
70 value.fy = fy;
71
72 value.zPos = zPos;
73 value.dWx = dWx;
74 value.dWxStd = dWxStd;
75 value.dWy = dWy;
76 value.dWyStd = dWyStd;
77
78
79 end

```

## 7.7: Class Background

```

1 classdef Background < handle
2 %BACKGROUNDMEASUREMENTDATA Background data class containing background
3 %Measuring points and functions to evaluate background data.
4
5 properties(Access = public)
6     backgroundDataSet SingleMeasurementPoint;
7 end
8
9 methods
10    %           function delete(obj)
11    %             delete(obj.backgroundDataSet);
12    %           end
13    function reset(obj)
14        obj.backgroundDataSet = SingleMeasurementPoint.empty();
15    end
16    function value = getData(obj,measPoint)

```

```

17 %METHOD1 Summary of this method goes here
18 % Detailed explanation goes here
19 value = obj.backgroundDataSet(measPoint);
20 end
21 addSingleMeasurementPoint(obj,value);
22 value = getMeanValue(obj,measPoint);
23 value = getMeanSubtractionMap(obj,measPoint);
24 value = getMeanStandardDeviation(obj,measPoint);
25 value = getMeanFromCorners(obj,measPoint,n,m);
26 end
27 end

```

#### 7.8: Function addSingleMeasurementPoint

```

1 function addSingleMeasurementPoint(obj,value)
2 %addSingleMeasurementPoint Adds a new Singlemeasurementpoint to the
3 %existing dataset
4 obj.backgroundDataSet(end+1) = value;
5 end

```

#### 7.9: Function getMeanFromCorners

```

1 function value = getMeanFromCorners(obj,measPoint,n,m)
2 %GETMEANFROMCORNERS Returns the mean pixel value taken from corner areas.
3 %The averaged area is defined by n and m.
4 backgroundDataPoint = obj.getData(measPoint);
5 [Useless,NoMP] = size(backgroundDataPoint);
6 for k = 1 : NoMP
7     backgroundDataPointSet = backgroundDataPoint(k).getDataSet();
8     [Useless,NoI] = size(backgroundDataPointSet);
9     for f = 1 : NoI
10         backgroundDataPointImageData = backgroundDataPointSet(f).getImageData();
11
12         [rows,cols] = size(backgroundDataPointImageData);
13         temp = 0;
14         counter = 0;
15         for i=1:rows
16             for j=1:cols
17                 if (i <= n && j <= m) || (i <= n && j >= cols-m+1) || (i >= rows-n+1
18                     && j <= m) || (i >= rows-n+1 && j >= cols-m+1)
19                     temp = temp + double(backgroundDataPointImageData(i,j));
20                     counter = counter + 1;
21                 end
22             end
23         end
24     end
25 end
26 value = temp/counter;
27 end

```

#### 7.10: Function getMeanStandardDeviation

```
1 function value = getMeanStandardDeviation(obj,measPoint)
2 %GETMEANSTANDARDDEVIATION Returns the Standard Deviation of a Measuring
3 %Point. All Images belonging to Measuring Point are used.
4 backgroundDataPoint = obj.getData(measPoint);
5 backgroundDataPoint.calcMeanImage();
6 meanBack=backgroundDataPoint.getMeanImage().getImageData();
7 value = std(double(reshape(meanBack,[],1)));
8 end
```

#### 7.11: Function getMeanSubstractionMap

```
1 function value = getMeanSubstractionMap(obj,measPoint);
2 %GETSUBTRACTIONMAP Returns the mean Backgroundsubtraction map created
3 %using all Images belonging to the Measuring Point.
4
5 backgroundDataPoint = obj.getData(measPoint);
6 backgroundDataPointSet = backgroundDataPoint.getDataSet();
7 [Useless,NoI] = size(backgroundDataPointSet);
8 [rows,cols] = size(backgroundDataPointSet(1));
9 temp=zeros(rows,cols,'double');
10 for k = 1 : NoI
11     temp = temp+double(backgroundDataPointSet(k).getImageData());
12 end
13 % value = cast(ceil(temp./NoI),'uint8');
14 value = cast(temp./NoI,'uint8');
15 end
```

#### 7.12: Function getMeanSubstractionMapDouble

```
1 function value = getMeanSubstractionMapDouble(obj,measPoint);
2 %GETSUBTRACTIONMAP Returns the mean Backgroundsubtraction map created
3 %using all Images belonging to the Measuring Point.
4
5 backgroundDataPoint = obj.getData(measPoint);
6 backgroundDataPointSet = backgroundDataPoint.getDataSet();
7 [Useless,NoI] = size(backgroundDataPointSet);
8 [rows,cols] = size(backgroundDataPointSet(1));
9 temp=zeros(rows,cols,'double');
10 for k = 1 : NoI
11     temp = temp+double(backgroundDataPointSet(k).getImageData());
12 end
13 % value = cast(ceil(temp./NoI),'uint8');
14 value = temp./NoI;
15 end
```

#### 7.13: Function getMeanValue

```
1 function value = getMeanValue(obj,measPoint)
2 %GETMEANVALUE Returns the mean pixel value of all images belonging to the
3 %Measuring point.
```

```

4
5 backgroundDataPoint = obj.getData(measPoint);
6 backgroundDataPointSet = backgroundDataPoint.getDataSet();
7 [Useless,NoI] = size(backgroundDataPointSet);
8 [rows,cols] = size(backgroundDataPointSet(end).getImageData());
9 temp=0;
10 for k = 1 : NoI
11     imageData=backgroundDataPointSet(k).getImageData();
12     temp = temp + mean( double(imageData) , 'all' );
13 end
14 value = temp/NoI;
15 end

```

7.14: Class MeasurementSettings

```

1 classdef MeasurementSettings
2 %MEASUREMENTSETTINGS data class containing information about the
3 %measurement settings
4
5 properties
6     measurementMethod string;
7     rayleighLength double;
8     timesReyleighLength double;
9     noMP double;
10    measPerPoint double;
11    measArea double;
12 end
13
14 methods
15     function obj = MeasurementSettings(rayleighLength,timesReyleighLength,noMP,
16         measPerPoint)
17         %MEASUREMENTSETTINGS Construct an instance of this class
18         % Detailed explanation goes here
19         obj.rayleighLength = rayleighLength;
20         obj.timesReyleighLength = timesReyleighLength;
21         obj.noMP = noMP;
22         obj.measPerPoint = measPerPoint;
23     end
24 end

```

7.15: Class SingleMeasurementPoint

```

1 classdef SingleMeasurementPoint < handle
2 %SINGLEMEASUREMENTPOINT Class containing the data of a single measurementpoint.
3
4 properties (Access = public)
5     dataSet SingleMeasurement;
6     zPos double;
7     meanImage SingleMeasurement;

```

```
8
9     dWx_mean double;
10    dWy_mean double;
11    azimutPhi_mean double;
12    beamCenterX_mean double;
13    beamCenterY_mean double
14    W_X_mean double;
15    W_Y_mean double;
16    W_XY_mean double;
17    W_X_squared_mean double;
18    W_Y_squared_mean double;
19
20    dWx_std double;
21    dWy_std double;
22    azimutPhi_std double;
23    beamCenterX_std double;
24    beamCenterY_std double;
25    W_X_std double;
26    W_Y_std double;
27    W_XY_std double;
28    W_X_squared_std double;
29    W_Y_squared_std double;
30
31 end
32
33 methods
34 % function delete(obj)
35 %     delete(obj.dataSet);
36 %
37 function obj = SingleMeasurementPoint(value)
38     %SINGLEMEASUREMENTPOINT Construct an instance of this class
39     % Detailed explanation goes here
40     obj.zPos = value;
41 end
42 function value = getDataSet(obj)
43     % Get stored measurementpoint dataSet.
44     value = obj.dataSet;
45 end
46 function value = getZPos(obj)
47     % Get xCoordinate of measurementpoint.
48     value = obj.zPos;
49 end
50 addMeasurement(obj,value);
51
52 function value = getMeanImage(obj)
53     value = obj.meanImage;
54 end
55 function value = getdWx_mean(obj)
56     % Get xCoordinate of measurementpoint.
```

```
57     value = obj.dWx_mean;
58 end
59 function value = getdWy_mean(obj)
60     % Get xCoordinate of measurementpoint.
61     value = obj.dWy_mean;
62 end
63 function value = getW_X_mean(obj)
64     % Get xCoordinate of measurementpoint.
65     value = obj.W_X_mean;
66 end
67 function value = getW_Y_mean(obj)
68     % Get xCoordinate of measurementpoint.
69     value = obj.W_Y_mean;
70 end
71 function value = getW_XY_mean(obj)
72     % Get xCoordinate of measurementpoint.
73     value = obj.W_XY_mean;
74 end
75 function value = getW_X_squared_mean(obj)
76     % Get xCoordinate of measurementpoint.
77     value = obj.W_X_squared_mean;
78 end
79 function value = getW_Y_squared_mean(obj)
80     % Get xCoordinate of measurementpoint.
81     value = obj.W_Y_squared_mean;
82 end

83         function value = getdWx_std(obj)
84             % Get xCoordinate of measurementpoint.
85             value = obj.dWx_std;
86         end
87         function value = getdWy_std(obj)
88             % Get xCoordinate of measurementpoint.
89             value = obj.dWy_std;
90         end
91         function value = getW_X_std(obj)
92             % Get xCoordinate of measurementpoint.
93             value = obj.W_X_std;
94         end
95         function value = getW_Y_std(obj)
96             % Get xCoordinate of measurementpoint.
97             value = obj.W_Y_std;
98         end
99         function value = getW_XY_std(obj)
100            % Get xCoordinate of measurementpoint.
101            value = obj.W_XY_std;
102        end
103        function value = getW_X_squared_std(obj)
104            % Get xCoordinate of measurementpoint.
105        end
```

```

106     value = obj.W_X_squared_std;
107 end
108 function value = getW_Y_squared_std(obj)
109     % Get xCoordinate of measurementpoint.
110     value = obj.W_Y_squared_std;
111 end
112
113 function value = getAzimutPhi_mean(obj)
114     % Get xCoordinate of measurementpoint.
115     value = obj.azimutPhi_mean;
116 end
117 function value = getAzimutPhi_std(obj)
118     % Get xCoordinate of measurementpoint.
119     value = obj.azimutPhi_std;
120 end
121 function value = getBeamCenterX_mean(obj)
122     % Get xCoordinate of measurementpoint.
123     value = obj.beamCenterX_mean;
124 end
125 function value = getBeamCenterY_mean(obj)
126     % Get xCoordinate of measurementpoint.
127     value = obj.beamCenterY_mean;
128 end
129
130 showImage(obj,imageIndex);
131 [centers,radii] = showImageWithCircleDetection(obj,imageIndex,dMin,dMax,
132     objectPolarity,circleSensitivity,edgeThreshold);
133 showAllImages(obj);
134 showImageWithImTool(obj,imageIndex);
135 calcMeanImage(obj);
136 value = backgroundCorrectionSingleMeasurementPoint(obj,coarseMethod,
137     fineMethod,background,kernelSize,ntFactor,k,manualValue);
138 value = iso11146Part1SingleMeasurementPoint(obj,centerGuessX,centerGuessY,
139     integAreaGuessX,integAreaGuessY,convergeKriterium,faktor,pixelsize);
140 end
141 methods (Access = private)
142     function setMeanImage(obj,value)
143         obj.meanImage = value;
144     end
145 end
146 end

```

#### 7.16: Function addMeasurement

```

1 function addMeasurement(obj,value)
2 %addMeasurement Adds a single measurement to the Measuring point dataset
3 obj.dataSet(end+1) = value;
4 end

```

#### 7.17: Function backgroundCorrectionSingleMeasurementPoint

```

1 function value = backgroundCorrectionSingleMeasurementPoint(obj,coarseMethod,
2     fineMethod,background,kernelSize,ntFactor,k,manualValue)
%BACKGROUNDCORRECTIONSINGLEMEASUREMENTPOINT perform background correction
3 %for a Measuring point
4
5 value = SingleMeasurementPoint(obj.getZPos());
6 measPointDataSet = obj.getDataSet();
7 [Useless,NoI] = size(measPointDataSet);
8 for j = 1 : NoI
9     fprintf('Performing background correction for image %i.\n',j);
10    corrMeas = measPointDataSet(j).backgroundCorrectionSingleMeasurement(
11        coarseMethod,fineMethod,background,kernelSize,ntFactor,k,manualValue);
12    value.addMeasurement(corrMeas);
13 end
end

```

7.18: Function backgroundCorrectionSingleMeasurementPoint

```

1 function value = backgroundCorrectionSingleMeasurementPoint(obj,coarseMethod,
2     fineMethod,background,kernelSize,ntFactor,k,manualValue)
%BACKGROUNDCORRECTIONSINGLEMEASUREMENTPOINT perform background correction
3 %for a Measuring point
4
5 value = SingleMeasurementPoint(obj.getZPos());
6 measPointDataSet = obj.getDataSet();
7 [Useless,NoI] = size(measPointDataSet);
8 for j = 1 : NoI
9     fprintf('Performing background correction for image %i.\n',j);
10    corrMeas = measPointDataSet(j).backgroundCorrectionSingleMeasurement(
11        coarseMethod,fineMethod,background,kernelSize,ntFactor,k,manualValue);
12    value.addMeasurement(corrMeas);
13 end
end

```

7.19: Function iso11146Part1SingleMeasurementPoint

```

1 function value = iso11146Part1SingleMeasurementPoint(obj,centerGuessX,centerGuessY,
2     integAreaGuessX,integAreaGuessY,convergeKriterium,faktor,pixelsize)
%BACKGROUNDCORRECTIONSINGLEMEASUREMENTPOINT perform ISO11146-1 for a
3 %Measuring point.
4
5 value = SingleMeasurementPoint(obj.getZPos());
6 measPointDataSet = obj.getDataSet();
7 [Useless,NoI] = size(measPointDataSet);
8 dwx = [];
9 dwy = [];
10 azimutPhi = [];
11 beamCenterX = [];
12 beamCenterY = [];
13 W_X = [];

```

```

14 W_Y = [];
15 W_XY = [];
16 W_X_squared = [];
17 W_Y_squared = [];
18 for j = 1 : NoI
19     fprintf('Computing ISO11146-1 parameters for image %i.\n',j);
20     processedMeas = measPointDataSet(j).iso11146Part1SingleMeasurement(centerGuessX,
21         centerGuessY,integAreaGuessX,integAreaGuessY,convergeKriterium,faktor,
22         pixelsize);
23     dWx = [dWx;processedMeas.getdWx()];
24     dWy = [dWy;processedMeas.getdWy()];
25     azimutPhi = [azimutPhi;processedMeas.getAzimutPhi()];
26     beamCenterX = [beamCenterX;processedMeas.getbeamCenterX()];
27     beamCenterY = [beamCenterY;processedMeas.getbeamCenterY()];
28     W_X = [W_X;processedMeas.getW_X()];
29     W_Y = [W_Y;processedMeas.getW_Y()];
30     W_X_squared = [W_X_squared;processedMeas.getW_X_squared()];
31     W_Y_squared = [W_Y_squared;processedMeas.getW_Y_squared()];
32     W_XY = [W_XY;processedMeas.getW_XY()];
33     value.addMeasurement(processedMeas);
34 end
35 value.dWx_mean = mean(dWx, 'all');
36 value.dWy_mean = mean(dWy, 'all');
37 value.azimutPhi_mean = mean(azimutPhi, 'all');
38 value.beamCenterX_mean = mean(beamCenterX, 'all');
39 value.beamCenterY_mean = mean(beamCenterY, 'all');
40 value.W_X_mean = mean(W_X, 'all');
41 value.W_Y_mean = mean(W_Y, 'all');
42 value.W_X_squared_mean = mean(W_X_squared, 'all');
43 value.W_Y_squared_mean = mean(W_Y_squared, 'all');
44 value.W_XY_mean = mean(W_XY, 'all');

45 value.dWx_std = std(dWx);
46 value.dWy_std = std(dWy);
47 value.azimutPhi_std = std(azimutPhi);
48 value.beamCenterX_std = std(beamCenterX);
49 value.beamCenterY_std = std(beamCenterY);
50 value.W_X_std = std(W_X);
51 value.W_Y_std = std(W_Y);
52 value.W_X_squared_std = std(W_X_squared);
53 value.W_Y_squared_std = std(W_Y_squared);
54 value.W_XY_std = std(W_XY);
55 end

```

## 7.20: Function showAllImages

```

1 function showAllImages(obj)
2 %SHOWALLEIMAGES show all Images for a Measuring point.
3 [Useless NoI] = size(obj.dataSet);
4 cols = 5;

```

```

5 rows = fix(NoI/cols)+1;
6 restCols = rem(NoI,cols);
7
8 temp =[];
9 figure;
10 for j=1 : NoI
11     temp = [temp obj.dataSet(j).getImageData()];
12 end
13 montage(temp);
14
15
16 % imageIndex = 1;
17 % c = gray;
18 % figure
19 %
20 %     for j=1 : NoI
21 %         subplot(rows,cols,j), imshow(obj.dataSet(imageIndex).getImage())
22 %     end
23 % end

```

7.21: Function showImage

```

1 function showImage(obj,imageIndex)
2 %SHOWIMAGE show a specified image of the measuring point.
3 figure;
4 imshow(obj.dataSet(imageIndex).imageData);
5 end

```

7.22: Function showImageWithCircleDetection

```

1 function [centers,radii] = showImageWithCircleDetection(obj,imageIndex,dMin,dMax,
2     objectPolarity,circleSensitivity,edgeThreshold)
3 %SHOWIMAGEWITHCIRCLEDETECTION legacy code show image with matlab circle
4 %detection. Not usable for our purpose but fun anyway.
5 imageToShow = obj.dataSet(imageIndex).imageData;
6 figure;
7 imshow(imageToShow);
8 [centers,radii] = imfindcircles(imageToShow,[dMin/2 dMax/2], 'ObjectPolarity',
9     objectPolarity, ...
10     'Sensitivity',circleSensitivity,'EdgeThreshold',edgeThreshold);
11 viscircles(centers, radii, 'Color','r');
12 end

```

7.23: Function showImageWithImTool

```

1 function showImageWithImTool(obj,imageIndex)
2 %SHOWIMAGEWITHIMTOOL show a specified image in the imtool.
3 imtool(obj.dataSet(imageIndex).imageData);
4 end

```

### 7.24: Class SingleMeasurement

```

1 classdef SingleMeasurement
2 %MEASUREMENTDATA Class containing one single measurement.
3
4
5 properties (Access = public)
6     imageData (1026,1282);
7     beamCenterX double;
8     beamCenterY double;
9     W_X double;
10    W_Y double;
11    W_X_squared double;
12    W_Y_squared double;
13    W_XY double;
14    dWx double;
15    dWy double;
16    phi double;
17 end
18
19 methods
20 %
21     function delete(obj)
22         delete(obj.imageData);
23     end
24     function obj = SingleMeasurement(value)
25         %MEASUREMENTDATA Construct an instance of this class
26         % Detailed explanation goes here
27         obj.imageData = value;
28     end
29
30     function value = getImageData(obj)
31         % Get stored measurement image data.
32         value = obj.imageData;
33     end
34     function value = getdWx(obj)
35         % Get stored measurement image data.
36         value = obj.dWx;
37     end
38     function value = getdWy(obj)
39         % Get stored measurement image data.
40         value = obj.dWy;
41     end
42     function value = getAzimutPhi(obj)
43         % Get stored measurement image data.
44         value = obj.phi;
45     end
46     function value = getbeamCenterX(obj)
47         % Get stored measurement image data.
48         value = obj.beamCenterX;
49     end

```

```

49     function value = getbeamCenterY(obj)
50         % Get stored measurement image data.
51         value = obj.beamCenterY;
52     end
53     function value = getW_X(obj)
54         % Get stored measurement image data.
55         value = obj.W_X;
56     end
57     function value = getW_Y(obj)
58         % Get stored measurement image data.
59         value = obj.W_Y;
60     end
61     function value = getW_X_squared(obj)
62         % Get stored measurement image data.
63         value = obj.W_X_squared;
64     end
65     function value = getW_Y_squared(obj)
66         % Get stored measurement image data.
67         value = obj.W_Y_squared;
68     end
69     function value = getW_XY(obj)
70         % Get stored measurement image data.
71         value = obj.W_XY;
72     end
73     value = backgroundCorrectionSingleMeasurement(obj,coarseMethod,fineMethod,
74         background,kernelSize,ntFactor,k,manualValue);
75     value = calcValuesISO11146Part1(obj,centerGuessX,centerGuessY,
76         integAreaGuessX,integAreaGuessY,convergeKriterium,faktor);
77     value = calcValuesISO11146Part2(obj,centerGuessX,centerGuessY,
78         integAreaGuessX,integAreaGuessY,convergeKriterium,faktor);
79 %
80 end
81 end

```

### 7.25: Function backgroundCorrectionSingleMeasurement

```

1 function value = backgroundCorrectionSingleMeasurement(obj,coarseMethod, ...
2     fineMethod,background,kernelSize,ntFactor,k,manualValue)
3 plotBool=false;
4 singleMeasurementImageData = obj.getImageData();
5 [rows,cols] = size(singleMeasurementImageData);
6 % imtool(double(singleMeasurementImageData));
7 if plotBool
8     imtool(singleMeasurementImageData);
9     caxis([0 255])
10    colorbar('FontSize',20);
11 end
12 switch coarseMethod
13 case 'Background Map Subtraction'
14     backgroundSubtractionMap = background.getMeanSubtractionMapDouble(k);

```

```
15 singleMeasurementImageData = imsubtract(double(singleMeasurementImageData),  
16     backgroundSubtractionMap);  
17 for i=1:rows  
18     for j=1:cols  
19         if singleMeasurementImageData(i,j)<0  
20             singleMeasurementImageData(i,j)=0;  
21         end  
22     end  
23     % imtool(double(singleMeasurementImageData));  
24 if plotBool  
25     imtool(singleMeasurementImageData);  
26     caxis([0 255])  
27     colorbar('FontSize',20);  
28 end  
29 value = SingleMeasurement(singleMeasurementImageData);  
30 case 'Average Background Subtraction'  
31 E_b_offset = double(background.getMeanValue(k));  
32 singleMeasurementImageData = imsubtract(double(singleMeasurementImageData),  
33     ones(rows,cols)*E_b_offset);  
34     % imtool(double(singleMeasurementImageData));  
35 for i=1:rows  
36     for j=1:cols  
37         if singleMeasurementImageData(i,j)<0  
38             singleMeasurementImageData(i,j)=0;  
39         end  
40     end  
41 if plotBool  
42     imtool(singleMeasurementImageData);  
43     caxis([0 255])  
44     colorbar('FontSize',20);  
45 end  
46 value = SingleMeasurement(singleMeasurementImageData);  
47 end  
48 [height,width] = size(singleMeasurementImageData);  
49 kernel = [round(height*kernelSize/100) round(width*kernelSize/100)];  
50 switch fineMethod  
51     case 'Statistical Method'  
52         %% calc background guess for E_b_offset  
53         E_b_offsetGuess = background.getMeanValue(k);  
54         %% calc background Guess for standard deviation  
55         E_b_SigmaGuess = background.getMeanStandardDeviation(k);  
56         %% calc 2-D averaging subarray convolution  
57         avgFilt = fspecial('average',kernel);  
58         castedConvImage = imfilter(singleMeasurementImageData, avgFilt);  
59         E_b_Sigma_Tilde = std(double(reshape(castedConvImage,[],1)));  
60         temp = 0;  
61         counter = 0;
```

```

62    for i=1:rows
63        for j=1:cols
64            if double(castedConvImage(i,j)) < double(E_b_offsetGuess)+ntFactor*
65                E_b_Sigma_Tilde/(sqrt((kernel(1)+1)*(kernel(2)+1)))
66                if singleMeasurementImageData(i,j) >0
67                    temp = temp + double(singleMeasurementImageData(i,j));
68                    counter = counter+1;
69                end
70            end
71        end
72    end
73    E_b_offset = temp/counter;
74    singleMeasurementImageData = imsubtract(singleMeasurementImageData,ones(rows
75        ,cols)*E_b_offset);
76    for i=1:rows
77        for j=1:cols
78            if singleMeasurementImageData(i,j)<0
79                singleMeasurementImageData(i,j)=0;
80            end
81        end
82    end
83    %           imtool(double(singleMeasurementImageData));
84    if plotBool
85        imtool(singleMeasurementImageData);
86        caxis([0 255])
87        colorbar('FontSize',20);
88    end
89    value = SingleMeasurement(singleMeasurementImageData);
90
91 case 'Approximation Method'
92     E_b_offsetDark = background.getMeanFromCorners(k,kernel,kernel);
93     %% calc background Guess for standard deviation
94     E_b_SigmaDark=background.getMeanStandardDeviation(k);
95     %% calc E_b_offsetMeas
96     original=obj.getImageData();
97     temp = 0;
98     counter = 0;
99     for i=1:rows
100        for j=1:cols
101            if (i <= kernel(1) && j <= kernel(2)) ...
102                || (i <= kernel(1) && j >= cols-kernel(2)+1) ...
103                || (i >= rows-kernel(1)+1 && j <= kernel(2)) ...
104                || (i >= rows-kernel(1)+1 && j >= cols-kernel(2)+1)
105                temp = temp + double(original(i,j));
106                counter = counter + 1;
107            end
108        end
109    end
110    E_b_offsetMeas = temp/counter;

```

```
109 if abs(double(E_b_offsetMeas) - double(E_b_offsetDark))*sqrt(counter)/double
110     (E_b_SigmaDark) < ntFactor
111     singleMeasurementImageData = imsubtract(singleMeasurementImageData,cast(
112         ones(rows,cols)*E_b_offsetMeas,'uint8'));
113     for i=1:rows
114         for j=1:cols
115             if singleMeasurementImageData(i,j)<0
116                 singleMeasurementImageData(i,j)=0;
117             end
118         end
119         %           imtool(double(singleMeasurementImageData));
120         if plotBool
121             imtool(singleMeasurementImageData);
122             caxis([0 255])
123             colorbar('FontSize',20);
124         end
125
126         value = SingleMeasurement(singleMeasurementImageData);
127     else
128         value = SingleMeasurement(zeros(height,width));
129         fprintf('\nDifference between dark backgroundimage and measrumentimage
130             is too big.\nLaserbeam might be too big for Sensor\n');
131     end
132     %     case 'Median Filter 3x3'
133     %         singleMeasurementImageData = medfilt2(singleMeasurementImageData
134     , [3 3]);
135     %         value = SingleMeasurement(singleMeasurementImageData);
136     %     case 'Median Filter 5x5'
137     %         singleMeasurementImageData = medfilt2(singleMeasurementImageData
138     , [5 5]);
139     %         value = SingleMeasurement(singleMeasurementImageData);
140     %
141     case 'Manual Value'
142     E_b_offset = manualValue;
143     singleMeasurementImageData = imsubtract(singleMeasurementImageData,ones(rows
144         ,cols)*E_b_offset);
145     for i=1:rows
146         for j=1:cols
147             if singleMeasurementImageData(i,j)<0
148                 singleMeasurementImageData(i,j)=0;
149             end
150         end
151     end
152     if plotBool
153         imtool(singleMeasurementImageData);
154         caxis([0 255])
155         colorbar('FontSize',20);
156     end
```

```

152     value = SingleMeasurement(singleMeasurementImageData);
153 end
154
155 end

```

### 7.26: Function iso11146Part1SingleMeasurement

```

1 function value = iso11146Part1SingleMeasurement(obj,centerGuessX,centerGuessY,
2     integAreaGuessX,integAreaGuessY,convergeKriterium,faktor,pixelsize)
%CALCVALUESIS011146PART1 calc LB parameters using 11146-1 for single
%Measurement
4
5 %% set initial Values
6 oldCenterX = 0;
7 oldCenterY = 0;
8 old_dSigmaX = 0;
9 old_dSigmaY = 0;
10
11 newCenterX = centerGuessX;
12 newCenterY = centerGuessY;
13 new_dWx = integAreaGuessX;
14 new_dWy = integAreaGuessY;
15 originalImage = obj.getImageData();
16 centerInPixelX = round(newCenterX/pixelsize);
17 centerInPixelY = round(newCenterY/pixelsize);
18 %% start IterationProcess
19 while abs(newCenterX-oldCenterX) > convergeKriterium || ...
20     abs(newCenterY-oldCenterY) > convergeKriterium || ...
21     abs(new_dWx-old_dSigmaX) > convergeKriterium || ...
22     abs(new_dWy-old_dSigmaY) > convergeKriterium
23
24 if mod(fix(faktor*new_dWx/pixelsize),2) == 0
25     intAreaInPixelX = fix(faktor*new_dWx/pixelsize+1);
26 else
27     intAreaInPixelX = fix(faktor*new_dWx/pixelsize);
28 end
29
30 if mod(fix(faktor*new_dWy/pixelsize),2) == 0
31     intAreaInPixelY = fix(faktor*new_dWy/pixelsize+1);
32 else
33     intAreaInPixelY = fix(faktor*new_dWy/pixelsize);
34 end
35
36 %% create Subimage used for calc
37 subImage = originalImage(centerInPixelY-floor(intAreaInPixelY/2):centerInPixelY+
38     floor(intAreaInPixelY/2),...
39     centerInPixelX-floor(intAreaInPixelX/2):centerInPixelX+floor(intAreaInPixelX
40     /2));
41
42 %% create Mesh for integration

```

```

41 [rows,cols]=size(subImage);
42 x = -floor(cols/2)*pixelsize:pixelsize:floor(cols/2)*pixelsize;
43 y = floor(rows/2)*pixelsize:-pixelsize:-floor(rows/2)*pixelsize;
44 [X,Y] = meshgrid(x,y);
45 %% calc newCenter
46 F = double(subImage).*X;
47 I = trapz(y,trapz(x,F,2));
48 I2 = trapz(y,trapz(x,double(subImage),2));
49 oldCenterX = newCenterX;
50 W_X = I/I2;

51 F = double(subImage).*Y;
52 I = trapz(y,trapz(x,F,2));
53 I2 = trapz(y,trapz(x,double(subImage),2));
54 oldCenterY = newCenterY;
55 W_Y = I/I2;

56 centerInPixelX = centerInPixelX+round(W_X/pixelsize);
57 centerInPixelY = centerInPixelY-round(W_Y/pixelsize);
58 newCenterY = centerInPixelY*pixelsize;
59 newCenterX = centerInPixelX*pixelsize;
60
61 %% calc Sigma_X_squared
62 F = double(subImage).*( (X-W_X).^2 );
63 I = trapz(y,trapz(x,F,2));
64 I2 = trapz(y,trapz(x,double(subImage),2));
65 W_X_squared = I/I2;
66 %% calc Sigma_Y_squared
67 F = double(subImage).*( (Y-W_Y).^2 );
68 I = trapz(y,trapz(x,F,2));
69 I2 = trapz(y,trapz(x,double(subImage),2));
70 W_Y_squared = I/I2;
71 %% calc Sigma_XY_squared
72 F = double(subImage).*( (X-W_X).*(Y-W_Y) );
73 I = trapz(y,trapz(x,F,2));
74 I2 = trapz(y,trapz(x,double(subImage),2));
75
76 W_XY = I/I2;
77 %% different equations used depending if Sigma_X_squared == Sigma_Y_squared
78 if abs(W_X_squared-W_Y_squared) < 1e8*eps(min(abs(W_X_squared),abs(W_Y_squared)))
    )
79     %% calc Azimutwinkel
80     if W_XY == 0
81         azimutSign = 1;
82     else
83         azimutSign = W_XY/abs(W_XY);
84     end
85     phi = azimutSign*45; % or pi/4
86 %% calc new_dSigmaX
87
88

```

```

89     old_dSigmaX = new_dWx;
90     new_dWx = 2*sqrt(2)*(W_X_squared+W_Y_squared+2*abs(W_XY))^(1/2);
91     %% calc new_dSigmaY
92     old_dSigmaY = new_dWy;
93     new_dWy = 2*sqrt(2)*(W_X_squared+W_Y_squared-2*abs(W_XY))^(1/2);
94 else
95     phi = 0.5*atan(2*W_XY/(W_X_squared-W_Y_squared));
96     %% calc gamma is 1 or -1
97     gamma = (W_X_squared-W_Y_squared) / abs(W_X_squared-W_Y_squared);
98     %% calc new_dSigmaX
99     old_dSigmaX = new_dWx;
100    new_dWx=2*sqrt(2)*((W_X_squared+W_Y_squared)+gamma*((W_X_squared-W_Y_squared)
101                  )^2+4*W_XY^2)^(1/2))^(1/2);
102    %% calc new_dSigmaY
103    old_dSigmaY = new_dWy;
104    new_dWy = 2*sqrt(2)*((W_X_squared+W_Y_squared)-gamma*((W_X_squared-
105                  W_Y_squared)^2+4*W_XY^2)^(1/2))^(1/2);
106
107 end
108 epsilon = min([new_dWx,new_dWy])/max([new_dWx,new_dWy]);
109 %% check if ellipticity is bigger than 0.87 and if it is beamdiameter can be
110 %% assumed to be a circle
111 if epsilon > 0.87
112     new_dWx = 2*sqrt(2)*(W_X_squared+W_Y_squared)^(1/2);
113     new_dWy = 2*sqrt(2)*(W_X_squared+W_Y_squared)^(1/2);
114 end
115
116 obj.beamCenterX = newCenterX;
117 obj.beamCenterY = newCenterY;
118 obj.W_X = W_X;
119 obj.W_Y = W_Y;
120 obj.W_X_squared = W_X_squared;
121 obj.W_Y_squared = W_Y_squared;
122 obj.W_XY = W_XY;
123 obj.dWx = new_dWx;
124 obj.dWy = new_dWy;
125 obj.phi = phi;
126 value = obj;
127
128 end

```

## 7.27: Class Result

```

1 classdef Result
2 %RESULT Measurement evaluation result containing processed data and
3 %calced parameters
4
5
6 properties
7     backgroundCorrMethod string;
8     evalNorm string;

```

```
9 lambda double;
10 convCriterion double;
11 nT double
12 integAreaFactor double
13 evaluatedMeasurementData MeasurementData = MeasurementData();
14 kernelSizeInPercent double;
15 end

16
17 methods
18     function obj = Result(coarseBackCorrMethod,fineBackgCorrMethod,evalNorm,
19         lambda,convCriterion,nT,integAreaFactor,kernelSizeInPercent,
20         evaluatedMeasurementData)
21         %RESULT Construct an instance of this class
22         % Detailed explanation goes here
23         switch coarseBackCorrMethod
24             case 'Background Map Subtraction'
25                 p1 = 'BMS';
26             case 'Average Background Subtraction'
27                 p1 = 'ABS';
28         end
29         switch fineBackgCorrMethod
30             case 'Statistical Method'
31                 p2 = 'SM';
32             case 'Manual Value'
33                 p2 = 'MV';
34             case 'Off'
35                 p2 = 'Off';
36         end
37         obj.backgroundCorrMethod = sprintf('%s/%s',p1,p2);
38         obj.lambda = lambda;
39         obj.evalNorm = evalNorm;
40         obj.convCriterion = convCriterion;
41         obj.integAreaFactor = integAreaFactor;
42         obj.nT = nT;
43         obj.evaluatedMeasurementData = evaluatedMeasurementData;
44         obj.kernelSizeInPercent = kernelSizeInPercent;
45     end
46     function value = getEvaluatedMeasurementData(obj)
47         % Get stored measurement data.
48         value = obj.evaluatedMeasurementData;
49     end
50     function value = getBackgroundCorrMethod(obj)
51         % Get stored measurement data.
52         value = obj.backgroundCorrMethod;
53     end
54     function value = getLambda(obj)
55         % Get stored measurement data.
56         value = obj.lambda;
57     end
```

```

56     function value = getConvCriterion(obj)
57         % Get stored measurement data.
58         value = obj.convCriterion;
59     end
60     function value = getIntegAreaFactor(obj)
61         % Get stored measurement data.
62         value = obj.integAreaFactor;
63     end
64     function value = getNt(obj)
65         % Get stored measurement data.
66         value = obj.nT;
67     end
68     function value = getEvalNorm(obj)
69         % Get stored measurement data.
70         value = obj.evalNorm;
71     end
72     function value = getKernelSizeInPercent(obj)
73         % Get stored measurement data.
74         value = obj.kernelSizeInPercent;
75     end
76 end
77 end

```

7.28: Function lbcUI\_Launcher

```

1 addpath('..../backend');
2 fig = lbcUI;

```

7.29: Function CalculatePacketDelay

```

1 function [delay] = CalculatePacketDelay(vid, fps)
2 % CalculatePacketDelay Calculates recommended packet delay for a GigE Vision camera.
3 %
4 % DELAY = CalculatePacketDelay(VID, FPS) calculates recommended packet
5 % delay DELAY for a GigE Vision camera, represented by an image
6 % acquisition videoinput or gigecam object VID.
7 % Camera framerate FPS (frames per second) is required and is specific
8 % to the camera configuration. The companion CalculateFrameRate function
9 % can be used to measure the camera framerate, if unknown.
10 %
11 % Example with videoinput vid:
12 %     vid = videoinput('gige', 1);
13 %     src = vid.Source;
14 %     src.PacketSize = 9000;
15 %     fps = CalculateFrameRate(vid, 20);
16 %     delay = CalculatePacketDelay(vid, fps);
17 %     src.PacketDelay = delay;
18 %
19 % Example with gigecam g:
20 %     g = gigecam;

```

```
21 %     g.GevSCPSPacketSize = 9000;
22 %     fps = CalculateFrameRate(g, 20);
23 %     delay = CalculatePacketDelay(g, fps);
24 %     g.GevSCPD = delay;
25 %
26 % Copyright (c) 2013 – 2015 The MathWorks, Inc.
27 %
28 if nargin < 2
29     error('CalculatePacketDelay(vid, fps) videoinput/gigecam object and framerate
30         are required arguments to run this utility.');
31 else
32     if ~isnumeric(fps)
33         error('CalculatePacketDelay(vid, fps) fps must be a number');
34     end
35     if ~(isscalar(fps) && isfinite(fps) && (fps > 0))
36         error('CalculatePacketDelay(vid, fps) fps must finite and > 0 to find a
37             frame rate');
38     end
39 end
40
41 if ~(isa(vid, 'videoinput') || isa(vid, 'gigecam')) || ~isValid(vid) || ~isscalar(
42     vid)
43     error('CalculatePacketDelay(vid, fps) vid must be a valid videoinput or gigecam
44         object');
45 end
46
47 % get — packetSize (GevSCPSPacketSize)
48 %     — TickFreq (GevTimestampTickFrequency)
49 %     — video format (PixelFormat)
50 %     — frame height
51 %     — frame width
52
53 switch class(vid)
54     case 'videoinput'
55         src = getselectedsource(vid);
56
57         % get packet size (depending on MATLAB release PacketSize is int32 or char)
58         if isnumeric(src.PacketSize)
59             packetSize = double(src.PacketSize);
60         else
61             packetSize = str2double(src.PacketSize);
62         end
63
64         try
65             TickFreq = src.TimestampTickFrequency;
66         catch e
67             if strcmp(e.identifier, 'MATLAB:noSuchMethodOrField') || strcmp(e.
68                 identifier, 'testmeas:getset:invalidProperty')
69                 error('Packet delay is not supported on the device');
70         end
71     end
72 end
```

```
65         end
66     end
67     pixelFormat = vid.videoFormat;
68     roi = vid.ROIPosition;
69     height = roi(1,4);
70     width = roi(1,3);
71 case 'gigecam'
72     packetSize = double(vid.GevSCPSPacketSize);
73     TickFreq = double(vid.GevTimestampTickFrequency);
74     pixelFormat = vid.PixelFormat;
75     height = double(vid.Height);
76     width = double(vid.Width);
77 otherwise
78     % unexpected case
79     error('CalculatePacketDelay(vid, fps) vid must be a valid videoinput or
80             gigecam object');
81 end
82
83 switch (pixelFormat)
84 case {'Mono8' , 'BayerGR8' , 'BayerRG8' , 'BayerGB8' , 'BayerBG8'}
85     BytesPerPixel = 1;
86 case {'Mono10Packed' , 'YUV411Packed'}
87     BytesPerPixel = 1.5;
88 case {'Mono10' , 'Mono12' , 'Mono14' , 'Mono16' , 'BayerGR10' , 'BayerRG10' , 'BayerGB10' ,
89         'BayerBG10' , 'BayerGR12' , 'BayerRG12' , 'BayerGB12' , 'BayerBG12' , 'BayerGR16' ,
90         'BayerRG16' , 'BayerGB16' , 'BayerBG16' , 'YUV422Packed' , ''}
91     BytesPerPixel =2;
92 case {'RGB8Packed' , 'BGR8Packed' , 'YUV444Packed' , 'RGB8Planar' , }
93     BytesPerPixel=3;
94 case {'RGBA8Packed' , 'BGRA8Packed'}
95     BytesPerPixel = 4;
96 case {'RGB10Packed' , 'BGR10Packed' , 'RGB12Packed' , 'BGR12Packed' , 'RGB10Planar' ,
97         'RGB12Planar' , 'RGB16Planar'}
98     BytesPerPixel = 6;
99
100
101
102
103 % calculate packet delay
104 fprintf('Calculating packet delay for:\n frame rate = %d fps,\tPacketSize (
105     GevSCPSPacketSize) = %d,\tframe height = %d,\tframe width = %d,\tpixel format =
106     %s, \n',...
107     fps, packetSize, height, width, pixelFormat);
108 fprintf(1, 'camera time stamp tick frequency (ticks/s) = %.1f \n', TickFreq);
109
110
111
112
113 numOfBytes_EthernetHeader = 14;
114 numOfBytes_IPHeader = 20;
115 numOfBytes_UDPHeader = 8;
116 numOfBytes_GVSPHeader = 8;
117 numOfBytes_EthernetFooter = 2;
```

```

108
109 numOfBytes_overheadPerPacket = numOfBytes_EthernetHeader+numOfBytes_IPHeader+
110     numOfBytes_UDPHeader+numOfBytes_GVSPHeader;
111 numOfBytes_GVSP_Leader = numOfBytes_overheadPerPacket+36;
112 numOfBytes_GVSP_Trailer = numOfBytes_overheadPerPacket+numOfBytes_EthernetFooter+
113     numOfBytes_GVSPHeader; %Ethernet Footer+GVSP Header
114
115 actual_packetSize = packetSize-numOfBytes_overheadPerPacket;
116
117 numOfBytes_perFrame = height * width * BytesPerPixel;
118
119 numOfPackets_perFrame = ceil(numOfBytes_perFrame/actual_packetSize)+2 ;
120
121 total_OverHead_Bytes = ceil(numOfPackets_perFrame) * numOfBytes_overheadPerPacket;
122
123 full_packets = floor(numOfPackets_perFrame ) * actual_packetSize;
124
125 numOfBytes_perImage = numOfBytes_GVSP_Leader+(floor(numOfPackets_perFrame ) *
126     actual_packetSize)+(numOfBytes_perFrame-(full_packets))+total_OverHead_Bytes +
127     numOfBytes_GVSP_Trailer;
128
129 numOfBytes_perSec = fps * numOfBytes_perImage;
130
131 bits_perSecond = numOfBytes_perSec * 8;
132
133 ratio_GigeUtilized= bits_perSecond/10^9;
134
135 ratio_GigeNotUtilized = 1 - ratio_GigeUtilized;
136
137 pauseTime_between_Packets = ratio_GigeNotUtilized/(numOfPackets_perFrame * fps);
138
139 PacketDelay = TickFreq * pauseTime_between_Packets;
140
141 delay = round(0.9 * PacketDelay);
142 fprintf(1, '\nUsed gigabit bandwidth: %.1f %%\n', 100 * ratio_GigeUtilized);
143 fprintf(1, 'PacketDelay (GevSCPD): %d (ticks)\n', delay);
144
145 end

```

### 7.30: Class lbcUI

```

1 classdef lbcUI < matlab.apps.AppBase
2     % Properties that correspond to app components
3     properties (Access = public)
4         UIFigure             matlab.ui.Figure
5         TabGroup              matlab.ui.container.TabGroup
6         HardwareSetupTab      matlab.ui.container.Tab
7         HSGridLayout          matlab.ui.container.GridLayout
8         %% define Hardware Setup Configuration Properties

```

```
9      HSCamConfPanel          matlab.ui.container.Panel
10     HSCamConfGridLayout    matlab.ui.container.GridLayout
11     HSCamConfLabel         matlab.ui.control.Label
12     HSCamConfConnectButton matlab.ui.control.Button
13     HSCamConfDisconnectButton matlab.ui.control.Button
14     HSCamConfCamUIAxes    matlab.ui.control.UIAxes
15     HSCamConfCamTestButton matlab.ui.control.Button
16     HSCamConfExposureTimeLabel matlab.ui.control.Label
17     HSCamConfExposureTimeEditField matlab.ui.control.NumericEditField
18     HSCamConfApplySettingButton matlab.ui.control.Button
19     HSCamConfCamPreviewButton matlab.ui.control.StateButton
20     HSCamConfConnectionLabel matlab.ui.control.Label
21
22
23     HSStepperMotorConfPanel matlab.ui.container.Panel
24     HSStepperMotorConfGridLayout matlab.ui.container.GridLayout
25     HSStepperMotorConfLabel matlab.ui.control.Label
26     HSStepperMotorConfComPortLabel matlab.ui.control.Label
27     HSStepperMotorConfComPortRefreshButton matlab.ui.control.Button
28     HSStepperMotorConfComPortDropDown matlab.ui.control.DropDown
29     HSStepperMotorConfConnectButton matlab.ui.control.Button
30     HSStepperMotorConfDisconnectButton matlab.ui.control.Button
31     HSStepperMotorConfStepsPerRevolutionLabel matlab.ui.control.Label
32     HSStepperMotorConfStepsPerRevolutionEditField matlab.ui.control.
33           NumericEditField
33     HSStepperMotorConfRpmLabel matlab.ui.control.Label
34     HSStepperMotorConfRpmEditField matlab.ui.control.NumericEditField
35     HSStepperMotorConfApplySettingsButton matlab.ui.control.Button
36     HSStepperMotorConfConnectionLabel matlab.ui.control.Label
37
38     HSTestHardwarePanel matlab.ui.container.Panel
39     HSTestHardwareGridLayout matlab.ui.container.GridLayout
40     HSTestHardwareReferenceStageButton matlab.ui.control.Button
41     HSTestHardwareGoToZeroButton matlab.ui.control.Button
42     HSTestHardwareMotorStatusLabel matlab.ui.control.Label
43     HSTestHardwareGoToPositionLabel matlab.ui.control.Label
44     HSTestHardwareGoToPositionEditField matlab.ui.control.NumericEditField
45     HSTestHardwareGoToPositionButton matlab.ui.control.Button
46     HSTestHardwarePositionUIAxes matlab.ui.control.UIAxes
47     HSTestHardwareCurrPosLabel matlab.ui.control.Label
48     HSTestHardwareCurrPosEditField matlab.ui.control.NumericEditField
49
50
51 %% define Automated Measurement Properties
52 AutoMeasTab matlab.ui.container.Tab
53 AutoMeasTabGroup matlab.ui.container.TabGroup
54 AutoMeasISO111146Part1Tab matlab.ui.container.Tab
55 AutoMeasISO111146Part1TabGridLayout matlab.ui.container.GridLayout
```

```

57 AutoMeasISO111146DistanceHolderLabel      matlab.ui.control.Label
58 AutoMeasISO111146Part1MethodRBGroup      matlab.ui.container.ButtonGroup
59 AutoMeasISO111146Part1FromCenterRB       matlab.ui.control.RadioButton
60 AutoMeasISO111146Part1FromZeroRB        matlab.ui.control.RadioButton
61 AutoMeasISO111146Part1OffsetLabel        matlab.ui.control.Label
62 AutoMeasISO111146Part1OffsetEditField    matlab.ui.control.NumericEditField
63 AutoMeasISO111146Part1RayleighLabel     matlab.ui.control.Label
64 AutoMeasISO111146Part1RayleighEditField matlab.ui.control.NumericEditField
65 AutoMeasISO111146Part1TimesRayleighLabel matlab.ui.control.Label
66 AutoMeasISO111146Part1TimesRayleighEditField matlab.ui.control.
67           NumericEditField
68 AutoMeasISO111146Part1NoMeasPointsLabel matlab.ui.control.Label
69 AutoMeasISO111146Part1NoMeasPointsEditField matlab.ui.control.
70           NumericEditField
71 AutoMeasISO111146Part1MeasPerPointLabel matlab.ui.control.Label
72 AutoMeasISO111146Part1MeasPerPointEditField matlab.ui.control.
73           NumericEditField
74 AutoMeasISO111146Part1MeasAreaLabel      matlab.ui.control.Label
75 AutoMeasISO111146Part1MeasAreaEditField  matlab.ui.control.NumericEditField
76 AutoMeasISO111146Part1StartMeasButton   matlab.ui.control.Button
77 AutoMeasISO111146Part1PreviewMeasPointsUIAxes matlab.ui.control.UIAxes
78 AutoMeasISO111146Part1ProgressCurrActionLabel matlab.ui.control.Label
79 AutoMeasISO111146Part1ProgressCurrActionEditField matlab.ui.control.
80           EditField
81 AutoMeasISO111146Part1ProgressCurrMeasPointLabel matlab.ui.control.
82           Label
83 AutoMeasISO111146Part1ProgressCurrMeasPointEditField matlab.ui.control.
84           EditField
85 AutoMeasISO111146Part1ProgressCurrMeasPointMeasLabel matlab.ui.control.
86           Label
87 AutoMeasISO111146Part1ProgressCurrMeasPointMeasEditField matlab.ui.control.
88           EditField
89 AutoMeasISO111146Part1ProgressSaveMeasButton matlab.ui.control.Button
90 AutoMeasISO111146Part1ProgressCurrPositionUIAxes matlab.ui.control.UIAxes
91 AutoMeasISO111146Part1StatusLabel        matlab.ui.control.Label
92 AutoMeasISO111146Part1CurrPosLabel      matlab.ui.control.Label
93 AutoMeasISO111146Part1CurrPosEditField  matlab.ui.control.NumericEditField
94 AutoMeasCancelButton matlab.ui.control.StateButton
95
96
97 %% define Evaluate Measurement Properties
98 EvaluateMeasurementTab matlab.ui.container.Tab
99 EvalTabGroup matlab.ui.container.TabGroup
100 ConfEvalTab matlab.ui.container.Tab
101 ConfEvalTabGridLayout matlab.ui.container.GridLayout
102 ConfEvalLoadMeasButton matlab.ui.control.Button
103 ConfEvalSmpDropDown matlab.ui.control.DropDown
104 ConfEvalSmpLabel matlab.ui.control.Label
105 ConfEvalSmpImDropDown matlab.ui.control.DropDown
106 ConfEvalSmpImLabel matlab.ui.control.Label

```

```
98 ConfEvalIntegAreaFactorSlider matlab.ui.control.Slider
99 ConfEvalIntegAreaEditField matlab.ui.control.NumericEditField
100 ConfEvalIntegAreaFactorLabel matlab.ui.control.Label
101 ConfEvalNtFactorSlider matlab.ui.control.Slider
102 ConfEvalNtEditField matlab.ui.control.NumericEditField
103 ConfEvalNtFactorLabel matlab.ui.control.Label
104 ConfEvalWavelengthSlider matlab.ui.control.Slider
105 ConfEvalWavelengthEditField matlab.ui.control.NumericEditField
106 ConfEvalWavelengthLabel matlab.ui.control.Label
107 ConfEvalConvergeCriterionSlider matlab.ui.control.Slider
108 ConfEvalConvergeCriterionEditField matlab.ui.control.NumericEditField
109 ConfEvalConvergeCriterionLabel matlab.ui.control.Label
110 ConfEvalResLabel matlab.ui.control.Label
111 ConfEvalResWidthEditField matlab.ui.control.NumericEditField
112 ConfEvalResHeightEditField matlab.ui.control.NumericEditField
113 ConfEvalPixelSizeLabel matlab.ui.control.Label
114 ConfEvalPixelSizeEditField matlab.ui.control.NumericEditField
115 ConfEvalKernelSizeSlider matlab.ui.control.Slider
116 ConfEvalKernelSizeEditField matlab.ui.control.NumericEditField
117 ConfEvalKernelSizeLabel matlab.ui.control.Label
118 ConfEvalDrawRectangleButton matlab.ui.control.Button
119 ConfEvalMethodDropDown matlab.ui.control.DropDown
120 ConfEvalMethodLabel matlab.ui.control.Label
121 ConfEvalBackCorrMethodDropDown matlab.ui.control.DropDown
122 ConfEvalBackCorrMethodLabel matlab.ui.control.Label
123 ConfEvalFineBackCorrMethodDropDown matlab.ui.control.DropDown
124 ConfEvalFineBackCorrMethodLabel matlab.ui.control.Label
125 ConfEvalEvaluationButton matlab.ui.control.Button
126 ConfEvalEvaluationStatusLabel matlab.ui.control.Label
127 ConfEvalPreviewImUIAxes matlab.ui.control.UIAxes
128 ConfEvalDrawRectButton matlab.ui.control.Button
129 ConfEvalFineCorrValueEditField matlab.ui.control.NumericEditField
130 ConfEvalFineCorrValueLabel matlab.ui.control.Label
131 %% LiveMeasurementTab
132 LiveMeasTab matlab.ui.container.Tab
133 LiveMeasTabGridLayout matlab.ui.container.GridLayout
134 LiveMeasIntegAreaEditField matlab.ui.control.NumericEditField
135 LiveMeasIntegAreaFactorLabel matlab.ui.control.Label
136 LiveMeasNtEditField matlab.ui.control.NumericEditField
137 LiveMeasNtFactorLabel matlab.ui.control.Label
138 LiveMeasConvergeCriterionEditField matlab.ui.control.NumericEditField
139 LiveMeasConvergeCriterionLabel matlab.ui.control.Label
140 LiveMeasResLabel matlab.ui.control.Label
141 LiveMeasResWidthEditField matlab.ui.control.NumericEditField
142 LiveMeasResHeightEditField matlab.ui.control.NumericEditField
143 LiveMeasPixelSizeLabel matlab.ui.control.Label
144 LiveMeasPixelSizeEditField matlab.ui.control.NumericEditField
145 LiveMeasKernelSizeEditField matlab.ui.control.NumericEditField
146 LiveMeasKernelSizeLabel matlab.ui.control.Label
```

```

147 LiveMeasMethodDropDown matlab.ui.control.DropDown
148 LiveMeasMethodLabel matlab.ui.control.Label
149 LiveMeasBackCorrMethodDropDown matlab.ui.control.DropDown
150 LiveMeasBackCorrMethodLabel matlab.ui.control.Label
151 LiveMeasFineBackCorrMethodDropDown matlab.ui.control.DropDown
152 LiveMeasFineBackCorrMethodLabel matlab.ui.control.Label
153 LiveMeasBackgroundMeasButton matlab.ui.control.Button
154 LiveMeasPreviewIMUIAxes matlab.ui.control.UIAxes
155 LiveMeasResultIMUIAxes matlab.ui.control.UIAxes
156 LiveMeasStartStopButton matlab.ui.control.StateButton
157 LiveMeasStatusLabel matlab.ui.control.Label
158 LiveMeasImData_dWx matlab.ui.control.NumericEditField
159 LiveMeasImData_dWx_Label matlab.ui.control.Label
160 LiveMeasImData_dWy matlab.ui.control.NumericEditField
161 LiveMeasImData_dWy_Label matlab.ui.control.Label
162 LiveMeasImData_phi matlab.ui.control.NumericEditField
163 LiveMeasImData_phi_Label matlab.ui.control.Label
164 LiveMeasTriggerImageButton matlab.ui.control.Button
165 LiveMeasDrawRectButton matlab.ui.control.Button
166 LiveMeasFineCorrValueEditField matlab.ui.control.NumericEditField
167 LiveMeasFineCorrValueLabel matlab.ui.control.Label
168 LiveMeasChangeColorMapButton matlab.ui.control.StateButton
169 LiveMeasColorMinEditField matlab.ui.control.NumericEditField
170 LiveMeasColorMinLabel matlab.ui.control.Label
171 LiveMeasColorMaxEditField matlab.ui.control.NumericEditField
172 LiveMeasColorMaxLabel matlab.ui.control.Label
173 LiveMeasNoOfIMEditField matlab.ui.control.NumericEditField
174 LiveMeasNoOfIMLabel matlab.ui.control.Label
175
176 %% define Evaluation Result Properties
177 EvalResTab matlab.ui.container.Tab
178 EvalResTabGridLayout matlab.ui.container.GridLayout
179 EvalResMeasDataPanel matlab.ui.container.Panel
180 EvalResMeasDataGridLayout matlab.ui.container.GridLayout
181 EvalResMeasDataParamsGridLayout matlab.ui.container.GridLayout
182
183 EvalResMeasData_EvalNorm matlab.ui.control.EditField
184 EvalResMeasData_EvalNorm_Label matlab.ui.control.Label
185 EvalResMeasData_BackCorrMethod matlab.ui.control.EditField
186 EvalResMeasData_BackCorrMethod_Label matlab.ui.control.Label
187 EvalResMeasData_Lambda matlab.ui.control.NumericEditField
188 EvalResMeasData_Lambda_Label matlab.ui.control.Label
189 EvalResMeasData_ConvCrit matlab.ui.control.NumericEditField
190 EvalResMeasData_ConvCrit_Label matlab.ui.control.Label
191 EvalResMeasData_IntegAreaFactor matlab.ui.control.NumericEditField
192 EvalResMeasData_IntegAreaFactor_Label matlab.ui.control.Label
193 EvalResMeasData_Nt matlab.ui.control.NumericEditField
194 EvalResMeasData_Nt_Label matlab.ui.control.Label
195 EvalResMeasData_KernelSizeInPercent matlab.ui.control.NumericEditField

```

```

196 EvalResMeasData_KernelSizeInPercent_Label matlab.ui.control.Label
197
198 EvalResMeasData_z_0_X matlab.ui.control.NumericEditField
199 EvalResMeasData_z_0_X_Label matlab.ui.control.Label
200 EvalResMeasData_d_0_X matlab.ui.control.NumericEditField
201 EvalResMeasData_d_0_X_Label matlab.ui.control.Label
202 EvalResMeasData_theta_X matlab.ui.control.NumericEditField
203 EvalResMeasData_theta_X_Label matlab.ui.control.Label
204 EvalResMeasData_z_R_X matlab.ui.control.NumericEditField
205 EvalResMeasData_z_R_X_Label matlab.ui.control.Label
206 EvalResMeasData_M_squared_X matlab.ui.control.NumericEditField
207 EvalResMeasData_M_squared_X_Label matlab.ui.control.Label
208
209 EvalResMeasData_z_0_Y matlab.ui.control.NumericEditField
210 EvalResMeasData_z_0_Y_Label matlab.ui.control.Label
211 EvalResMeasData_d_0_Y matlab.ui.control.NumericEditField
212 EvalResMeasData_d_0_Y_Label matlab.ui.control.Label
213 EvalResMeasData_theta_Y matlab.ui.control.NumericEditField
214 EvalResMeasData_theta_Y_Label matlab.ui.control.Label
215 EvalResMeasData_z_R_Y matlab.ui.control.NumericEditField
216 EvalResMeasData_z_R_Y_Label matlab.ui.control.Label
217 EvalResMeasData_M_squared_Y matlab.ui.control.NumericEditField
218 EvalResMeasData_M_squared_Y_Label matlab.ui.control.Label
219 EvalResMeasData_M_squared_eff matlab.ui.control.NumericEditField
220 EvalResMeasData_M_squared_eff_Label matlab.ui.control.Label
221
222 EvalResMeasLoadButton matlab.ui.control.Button
223 EvalResMeasDataResultDropDown_Label matlab.ui.control.Label
224 EvalResMeasDataResultDropDown matlab.ui.control.DropDown
225
226 EvalResSaveMeasButton matlab.ui.control.Button
227 EvalResExportMeasButton matlab.ui.control.Button
228 EvalResMeasPlotButton matlab.ui.control.Button
229 EvalResHoldPlotButton matlab.ui.control.StateButton
230 EvalResPlotChooserDropDown matlab.ui.control.DropDown
231
232 EvalResSmpDataPanel matlab.ui.container.Panel
233 EvalResSmpDataGridLayout matlab.ui.container.GridLayout
234 EvalResSmpDataParamsGridLayout matlab.ui.container.GridLayout
235 EvalResSmpData_W_X matlab.ui.control.NumericEditField
236 EvalResSmpData_W_X_Label matlab.ui.control.Label
237 EvalResSmpData_W_X_std matlab.ui.control.NumericEditField
238 EvalResSmpData_W_X_std_Label matlab.ui.control.Label
239 EvalResSmpData_W_Y matlab.ui.control.NumericEditField
240 EvalResSmpData_W_Y_Label matlab.ui.control.Label
241 EvalResSmpData_W_Y_std matlab.ui.control.NumericEditField
242 EvalResSmpData_W_Y_std_Label matlab.ui.control.Label
243 EvalResSmpData_W_X_squared matlab.ui.control.NumericEditField
244 EvalResSmpData_W_X_squared_Label matlab.ui.control.Label

```

```
245 EvalResSmpData_W_X_squared_std matlab.ui.control.NumericEditField
246 EvalResSmpData_W_X_squared_std_Label matlab.ui.control.Label
247 EvalResSmpData_W_Y_squared matlab.ui.control.NumericEditField
248 EvalResSmpData_W_Y_squared_Label matlab.ui.control.Label
249 EvalResSmpData_W_Y_squared_std matlab.ui.control.NumericEditField
250 EvalResSmpData_W_Y_squared_std_Label matlab.ui.control.Label
251 EvalResSmpData_W_XY matlab.ui.control.NumericEditField
252 EvalResSmpData_W_XY_Label matlab.ui.control.Label
253 EvalResSmpData_W_XY_std matlab.ui.control.NumericEditField
254 EvalResSmpData_W_XY_std_Label matlab.ui.control.Label
255 EvalResSmpData_dWx matlab.ui.control.NumericEditField
256 EvalResSmpData_dWx_Label matlab.ui.control.Label
257 EvalResSmpData_dWx_std matlab.ui.control.NumericEditField
258 EvalResSmpData_dWx_std_Label matlab.ui.control.Label
259 EvalResSmpData_dWy matlab.ui.control.NumericEditField
260 EvalResSmpData_dWy_Label matlab.ui.control.Label
261 EvalResSmpData_dWy_std matlab.ui.control.NumericEditField
262 EvalResSmpData_dWy_std_Label matlab.ui.control.Label
263 EvalResSmpData_phi matlab.ui.control.NumericEditField
264 EvalResSmpData_phi_Label matlab.ui.control.Label
265 EvalResSmpData_phi_std matlab.ui.control.NumericEditField
266 EvalResSmpData_phi_std_Label matlab.ui.control.Label
267 EvalResSmpDataDropDown_Label matlab.ui.control.Label
268 EvalResSmpDataDropDown matlab.ui.control.DropDown
269 EvalResSmpDataUIAxes matlab.ui.control.UIAxes
270 EvalResSmpInfoTextArea matlab.ui.control.TextArea
271
272 EvalResImDataPanel matlab.ui.container.Panel
273 EvalResImDataGridLayout matlab.ui.container.GridLayout
274 EvalResImDataParamsGridLayout matlab.ui.container.GridLayout
275 EvalResImData_W_X matlab.ui.control.NumericEditField
276 EvalResImData_W_X_Label matlab.ui.control.Label
277 EvalResImData_W_Y matlab.ui.control.NumericEditField
278 EvalResImData_W_Y_Label matlab.ui.control.Label
279 EvalResImData_W_X_squared matlab.ui.control.NumericEditField;
280 EvalResImData_W_X_squared_Label matlab.ui.control.Label
281 EvalResImData_W_Y_squared matlab.ui.control.NumericEditField;
282 EvalResImData_W_Y_squared_Label matlab.ui.control.Label
283 EvalResImData_W_XY matlab.ui.control.NumericEditField
284 EvalResImData_W_XY_Label matlab.ui.control.Label
285 EvalResImData_dWx matlab.ui.control.NumericEditField
286 EvalResImData_dWx_Label matlab.ui.control.Label
287 EvalResImData_dWy matlab.ui.control.NumericEditField
288 EvalResImData_dWy_Label matlab.ui.control.Label
289 EvalResImData_phi matlab.ui.control.NumericEditField
290 EvalResImData_phi_Label matlab.ui.control.Label
291 EvalResImDataDropDown_Label matlab.ui.control.Label
292 EvalResImDataDropDown matlab.ui.control.DropDown
293 EvalResImDataUIAxes matlab.ui.control.UIAxes
```

```
294 EvalResImDataColorGridLayout matlab.ui.container.GridLayout
295 EvalResImDataChangeColorMapButton matlab.ui.control.StateButton
296 EvalResColorMinEditField matlab.ui.control.NumericEditField
297 EvalResColorMinLabel matlab.ui.control.Label
298 EvalResColorMaxEditField matlab.ui.control.NumericEditField
299 EvalResColorMaxLabel matlab.ui.control.Label
300 %% define additional necessary Properties and variables needed for GUI
301 % Rectangle Object
302 ConfEvalRectRoi;
303 % Point Object
304 ConfEvalPointRoi;
305 % Rectangle Object
306 LiveMeasRectRoi;
307 % Point Object
308 LiveMeasPointRoi;
309 loadedMeas Measurement;
310 ConfEvalSelectedArea;
311 LiveMeasSelectedArea
312 fontsize14 double = 14;
313 %Arduino Stepmotor
314 arduinoUNO;
315 arduinoUNOShield;
316 arduinoUNOShieldStepmotor;
317 currPos double;
318 currPosRoi;
319 currPosRoiAutoMeas;
320 maxValueStage;
321 StepInkrement double;
322 measurementPoints;
323 previewMarkers;
324 centerMarker;
325 endPointMarkers;
326 evaluationInProgress logical;
327 LiveMeas Measurement;
328 hLinkCurrPos;
329 %Camera class videoinput
330 vid
331 LiveMeasColorMap;
332 EvalResColorMap;
333 end
334 % Component initialization
335 methods (Access = private)
336
337 % Create UIFigure and components
338 function createComponents(app)
339     backGroundColorLabel = [0.75 0.75 0.75];
340     app.LiveMeasColorMap = [0 255];
341     app.EvalResColorMap = [0 255];
342 %% Create UIFigure and hide until all components are created
```

```

343 app.UIFigure = uifigure('Visible', 'off');
344 %% app.UIFigure.Position = [size(1) size(2) size(3) size(4)];
345 app.UIFigure.Name = 'lbc App';
346 app.UIFigure.WindowState = 'maximized';
347 app.UIFigure.Visible = 'on';
348 %% app.UIFigure.Resize = 'off';
349 app.UIFigure.AutoResizeChildren = 'on';
350 % Setting Stage Variables
351 app.StepInkrement = 1.8;
352 app.MaxValueStage = 23400;
353 app.currPos = [0 0];
354
355 %% Create TabGroup
356 app.TabGroup = uitabgroup(app.UIFigure);
357 app.TabGroup.Units = 'normalized';
358 app.TabGroup.Position = [0 0 1 1];
359
360 %% Create HardwareSetupTab
361 app.HardwareSetupTab = uitab(app.TabGroup);
362 app.HardwareSetupTab.Title = 'Hardware Setup';
363 app.HardwareSetupTab.Scrollable = 'on';
364
365 %% Create HSGridLayout
366 app.HSGridLayout = uigridlayout(app.HardwareSetupTab);
367 app.HSGridLayout.RowHeight = {'1x'};
368 app.HSGridLayout.ColumnWidth = {'1x', '1x', '1x'};
369
370 %% Create HSCamConfPanel
371 app.HSCamConfPanel = uipanel(app.HSGridLayout);
372 app.HSCamConfPanel.Layout.Row = 1;
373 app.HSCamConfPanel.Layout.Column = 1;
374
375 %% Create HSCamConfGridLayout
376 app.HSCamConfGridLayout = uigridlayout(app.HSCamConfPanel);
377 app.HSCamConfGridLayout.RowHeight = {'1x', '1x', '1x', '1x', '1x', '1x', '1x', '1x',
378 '1x', '1x', '1x', '1x'};
379 app.HSCamConfGridLayout.ColumnWidth = {'1x'};
380
381 %% Create HSCamConfLabel
382 app.HSCamConfLabel = uilabel(app.HSCamConfGridLayout);
383 app.HSCamConfLabel.Layout.Row = 1;
384 app.HSCamConfLabel.Layout.Column = [1 3];
385 app.HSCamConfLabel.Text = 'Configure Camera';
386 app.HSCamConfLabel.FontSize = app.fontsize14;
387 app.HSCamConfLabel.Interpreter = 'latex';
388 app.HSCamConfLabel.BackgroundColor = backGroundColorLabel;
389 app.HSCamConfLabel.HorizontalAlignment = 'center';
390
391 %% Create HSCamConfConnectButton

```

```
391 app.HSCamConfConnectButton = uibutton(app.HSCamConfGridLayout);
392 app.HSCamConfConnectButton.Text = 'Connect';
393 app.HSCamConfConnectButton.Layout.Row = 2;
394 app.HSCamConfConnectButton.Layout.Column = 2;
395 app.HSCamConfConnectButton.HorizontalAlignment = 'center';
396 app.HSCamConfConnectButton.FontSize = app.fontsize14;
397 app.HSCamConfConnectButton.ButtonPushedFcn = @(src, event)
    HSCamConfConnectButton_ButtonPushedFcn(app, src, event);
398 %% Create HSCamConfDisconnectButton
399 app.HSCamConfDisconnectButton = uibutton(app.HSCamConfGridLayout);
400 app.HSCamConfDisconnectButton.Text = 'Disconnect';
401 app.HSCamConfDisconnectButton.Layout.Row = 2;
402 app.HSCamConfDisconnectButton.Layout.Column = 3;
403 app.HSCamConfDisconnectButton.HorizontalAlignment = 'center';
404 app.HSCamConfDisconnectButton.FontSize = app.fontsize14;
405 app.HSCamConfDisconnectButton.Enable = 'off';
406 app.HSCamConfDisconnectButton.ButtonPushedFcn = @(src, event)
    HSCamConfDisconnectButton_ButtonPushedFcn(app, src, event);
407 %% Create HSCamConfConnectionLabel
408 app.HSCamConfConnectionLabel = uilabel(app.HSCamConfGridLayout);
409 app.HSCamConfConnectionLabel.Layout.Row = 2;
410 app.HSCamConfConnectionLabel.Layout.Column = 1;
411 app.HSCamConfConnectionLabel.FontSize = app.fontsize14;
412 app.HSCamConfConnectionLabel.Interpreter = 'latex';
413 app.HSCamConfConnectionLabel.BackgroundColor = [1 0.07 0.2];
414 app.HSCamConfConnectionLabel.HorizontalAlignment = 'center';
415 app.HSCamConfConnectionLabel.Text = 'Disconnected';
416 %% Create HSCamConfCamUIAxes
417 app.HSCamConfCamUIAxes = uiaxes(app.HSCamConfGridLayout);
418 app.HSCamConfCamUIAxes.Layout.Row = [5 10];
419 app.HSCamConfCamUIAxes.Layout.Column = [1 3];
420 app.HSCamConfCamUIAxes.Visible = 'off';
421
422 %% Create HSCamConfCamTestButton
423 app.HSCamConfCamTestButton = uibutton(app.HSCamConfGridLayout);
424 app.HSCamConfCamTestButton.Text = 'Trigger Image';
425 app.HSCamConfCamTestButton.HorizontalAlignment = 'center';
426 app.HSCamConfCamTestButton.FontSize = app.fontsize14;
427 app.HSCamConfCamTestButton.Layout.Row = 4;
428 app.HSCamConfCamTestButton.Layout.Column = 1;
429 app.HSCamConfCamTestButton.ButtonPushedFcn = @(src, event)
    HSCamConfCamTestButton_ButtonPushedFcn(app, src, event);
430 app.HSCamConfCamTestButton.Enable = 'off';
431
432 %% Create HSCamConfExposureTimeLabel
433 app.HSCamConfExposureTimeLabel = uilabel(app.HSCamConfGridLayout);
434 app.HSCamConfExposureTimeLabel.Layout.Row = 3;
435 app.HSCamConfExposureTimeLabel.Layout.Column = 1;
436 app.HSCamConfExposureTimeLabel.Text = '$\\text{Exposure Time in } \\mu s$'
```

```
        $';
437 app.HSCamConfExposureTimeLabel.FontSize = app.fontsize14;
438 app.HSCamConfExposureTimeLabel.Interpreter = 'latex';
439 app.HSCamConfExposureTimeLabel.BackgroundColor = backGroundColorLabel;
440 app.HSCamConfExposureTimeLabel.HorizontalAlignment = 'center';
441
442 %% Create HSCamConfExposureTimeEditField
443 app.HSCamConfExposureTimeEditField = uieditfield(app.HSCamConfGridLayout
444     , 'numeric');
445 app.HSCamConfExposureTimeEditField.Layout.Row = 3;
446 app.HSCamConfExposureTimeEditField.Layout.Column = 2;
447 app.HSCamConfExposureTimeEditField.HorizontalAlignment = 'center';
448 app.HSCamConfExposureTimeEditField.FontSize = app.fontsize14;
449 app.HSCamConfExposureTimeEditField.Enable = 'off';
450 %% Create HSCamConfApplySettingButton
451 app.HSCamConfApplySettingButton = uibutton(app.HSCamConfGridLayout);
452 app.HSCamConfApplySettingButton.Text = 'Apply';
453 app.HSCamConfApplySettingButton.HorizontalAlignment = 'center';
454 app.HSCamConfApplySettingButton.FontSize = app.fontsize14;
455 app.HSCamConfApplySettingButton.Layout.Row = 3;
456 app.HSCamConfApplySettingButton.Layout.Column = 3;
457 app.HSCamConfApplySettingButton.ButtonPushedFcn = @(src, event)
458     HSCamConfApplySettingButton_ButtonPushedFcn(app, src, event);
459 app.HSCamConfApplySettingButton.Enable = 'off';
460 %% Create HSCamConfCamPreviewButton
461 app.HSCamConfCamPreviewButton = uibutton(app.HSCamConfGridLayout, 'state'
462     );
463 app.HSCamConfCamPreviewButton.Text = 'Toggle Preview';
464 app.HSCamConfCamPreviewButton.HorizontalAlignment = 'center';
465 app.HSCamConfCamPreviewButton.FontSize = app.fontsize14;
466 app.HSCamConfCamPreviewButton.Layout.Row = 4;
467 app.HSCamConfCamPreviewButton.Layout.Column = 2;
468 app.HSCamConfCamPreviewButton.ValueChangedFcn = @(src, event)
469     HSCamConfCamPreviewButton_ValueChangedFcn(app, src, event);
470 app.HSCamConfCamPreviewButton.Enable = 'off';
471
472 %% Create HSStepmotorConfPanel
473 app.HSStepmotorConfPanel = uipanel(app.HSGridLayout);
474 app.HSStepmotorConfPanel.Layout.Row = 1;
475 app.HSStepmotorConfPanel.Layout.Column = 2;
476 %% Create HSStepmotorConfGridLayout
477 app.HSStepmotorConfGridLayout = uigridlayout(app.HSStepmotorConfPanel);
478 app.HSStepmotorConfGridLayout.RowHeight = {'1x', '1x', '1x', '1x', '1x', '1x'
479     , '1x', '1x', '1x', '1x'};
480 app.HSStepmotorConfGridLayout.ColumnWidth = {'1x', '1x', '1x'};
481 %% Create HSStepmotorConfLabel
482 app.HSStepmotorConfLabel = uilabel(app.HSStepmotorConfGridLayout);
483 app.HSStepmotorConfLabel.Layout.Row = 1;
484 app.HSStepmotorConfLabel.Layout.Column = [1 3];
```

```

480 app.HSStepmotorConfLabel.Text = 'Configure Stepmotor';
481 app.HSStepmotorConfLabel.FontSize = app.fontsize14;
482 app.HSStepmotorConfLabel.Interpreter = 'latex';
483 app.HSStepmotorConfLabel.BackgroundColor = backGroundColorLabel;
484 app.HSStepmotorConfLabel.HorizontalAlignment = 'center';
485 %% Create HSStepmotorConfComPortLabel
486 app.HSStepmotorConfComPortLabel = uilabel(app.HSStepmotorConfGridLayout)
487 ;
488 app.HSStepmotorConfComPortLabel.Layout.Row = 2;
489 app.HSStepmotorConfComPortLabel.Layout.Column = 1;
490 app.HSStepmotorConfComPortLabel.Text = 'Select COM-Port';
491 app.HSStepmotorConfComPortLabel.FontSize = app.fontsize14;
492 app.HSStepmotorConfComPortLabel.Interpreter = 'latex';
493 app.HSStepmotorConfComPortLabel.BackgroundColor = backGroundColorLabel;
494 app.HSStepmotorConfComPortLabel.HorizontalAlignment = 'center';
495 %% Create HSStepmotorConfComPortRefreshButton
496 app.HSStepmotorConfComPortRefreshButton = uibutton(app.
497 HSStepmotorConfGridLayout);
498 app.HSStepmotorConfComPortRefreshButton.Text = 'Refresh';
499 app.HSStepmotorConfComPortRefreshButton.HorizontalAlignment = 'center';
500 app.HSStepmotorConfComPortRefreshButton.FontSize = app.fontsize14;
501 app.HSStepmotorConfComPortRefreshButton.Layout.Row = 2;
502 app.HSStepmotorConfComPortRefreshButton.Layout.Column = 2;
503 app.HSStepmotorConfComPortRefreshButton.ButtonPushedFcn = @(src, event)
504 HSStepmotorConfComPortRefreshButton_ButtonPushedFcn(app, src, event)
505 ;
506 %% Create HSStepmotorConfComPortDropDown
507 app.HSStepmotorConfComPortDropDown = uidropdown(app.
508 HSStepmotorConfGridLayout);
509 app.HSStepmotorConfComPortDropDown.Layout.Row = 2;
510 app.HSStepmotorConfComPortDropDown.Layout.Column = 3;
511 app.HSStepmotorConfComPortDropDown.Items = {};
512 app.HSStepmotorConfComPortDropDown.FontSize = app.fontsize14;
513 %% Create HSStepmotorConfConnectButton
514 app.HSStepmotorConfConnectButton = uibutton(app.
515 HSStepmotorConfGridLayout);
516 app.HSStepmotorConfConnectButton.Text = 'Connect';
517 app.HSStepmotorConfConnectButton.HorizontalAlignment = 'center';
518 app.HSStepmotorConfConnectButton.FontSize = app.fontsize14;
519 app.HSStepmotorConfConnectButton.Layout.Row = 3;
520 app.HSStepmotorConfConnectButton.Layout.Column = 2;
521 app.HSStepmotorConfConnectButton.ButtonPushedFcn = @(src, event)
522 HSStepmotorConfConnectButton_ButtonPushedFcn(app, src, event);
523 %% Create HSStepmotorConfDisconnectButton
524 app.HSStepmotorConfDisconnectButton = uibutton(app.
525 HSStepmotorConfGridLayout);
526 app.HSStepmotorConfDisconnectButton.Text = 'Disconnect';
527 app.HSStepmotorConfDisconnectButton.Layout.Row = 3;
528 app.HSStepmotorConfDisconnectButton.Layout.Column = 3;

```

```

521 app.HSStepmotorConfDisconnectButton.HorizontalAlignment = 'center';
522 app.HSStepmotorConfDisconnectButton.FontSize = app.fontsize14;
523 app.HSStepmotorConfDisconnectButton.Enable = 'off';
524 app.HSStepmotorConfDisconnectButton.ButtonPushedFcn = @(src, event)
525     HSStepmotorConfDisconnectButton_ButtonPushedFcn(app, src, event);
526 %% Create HSStepmotorConfConnectionLabel
527 app.HSStepmotorConfConnectionLabel = uilabel(app.
528     HSStepmotorConfGridLayout);
529 app.HSStepmotorConfConnectionLabel.Layout.Row = 3;
530 app.HSStepmotorConfConnectionLabel.Layout.Column = 1;
531 app.HSStepmotorConfConnectionLabel.FontSize = app.fontsize14;
532 app.HSStepmotorConfConnectionLabel.Interpreter = 'latex';
533 app.HSStepmotorConfConnectionLabel.BackgroundColor = [1 0.07 0.2];
534 app.HSStepmotorConfConnectionLabel.HorizontalAlignment = 'center';
535 app.HSStepmotorConfConnectionLabel.Text = 'Disconnected';
536 %% Create HSStepmotorConfStepsPerRevolutionLabel
537 app.HSStepmotorConfStepsPerRevolutionLabel = uilabel(app.
538     HSStepmotorConfGridLayout);
539 app.HSStepmotorConfStepsPerRevolutionLabel.Layout.Row = 4;
540 app.HSStepmotorConfStepsPerRevolutionLabel.Layout.Column = [1 2];
541 app.HSStepmotorConfStepsPerRevolutionLabel.Text = 'Steps Per Revolution'
542 ;
543 app.HSStepmotorConfStepsPerRevolutionLabel.FontSize = app.fontsize14;
544 app.HSStepmotorConfStepsPerRevolutionLabel.Interpreter = 'latex';
545 app.HSStepmotorConfStepsPerRevolutionLabel.BackgroundColor =
546     backGroundColorLabel;
547 app.HSStepmotorConfStepsPerRevolutionLabel.HorizontalAlignment = 'center'
548 ;
549 %% Create HSStepmotorConfStepsPerRevolutionEditField
550 app.HSStepmotorConfStepsPerRevolutionEditField = uieditfield(app.
551     HSStepmotorConfGridLayout, 'numeric');
552 app.HSStepmotorConfStepsPerRevolutionEditField.Layout.Row = 4;
553 app.HSStepmotorConfStepsPerRevolutionEditField.Layout.Column = 3;
554 app.HSStepmotorConfStepsPerRevolutionEditField.HorizontalAlignment = 'center';
555 app.HSStepmotorConfStepsPerRevolutionEditField.FontSize = app.fontsize14
556 ;
557 app.HSStepmotorConfStepsPerRevolutionEditField.Value = 200;
558 app.HSStepmotorConfStepsPerRevolutionEditField.Enable = 'off';
559 %% Create HSStepmotorConfRpmLabel
560 app.HSStepmotorConfRpmLabel = uilabel(app.HSStepmotorConfGridLayout);
561 app.HSStepmotorConfRpmLabel.Layout.Row = 5;
562 app.HSStepmotorConfRpmLabel.Layout.Column = [1 2];
563 app.HSStepmotorConfRpmLabel.Text = 'Revolutions Per Minute (RPM)';
564 app.HSStepmotorConfRpmLabel.FontSize = app.fontsize14;
565 app.HSStepmotorConfRpmLabel.Interpreter = 'latex';
566 app.HSStepmotorConfRpmLabel.BackgroundColor = backGroundColorLabel;
567 app.HSStepmotorConfRpmLabel.HorizontalAlignment = 'center';
568 %% Create HSStepmotorConfRpmEditField

```

```

561 app.HSStepmotorConfRpmEditField = uieditfield(app.
562     HSStepmotorConfGridLayout, 'numeric');
563 app.HSStepmotorConfRpmEditField.Layout.Row = 5;
564 app.HSStepmotorConfRpmEditField.Layout.Column = 3;
565 app.HSStepmotorConfRpmEditField.HorizontalAlignment = 'center';
566 app.HSStepmotorConfRpmEditField.FontSize = app.fontsize14;
567 app.HSStepmotorConfRpmEditField.Value = 10;
568 app.HSStepmotorConfRpmEditField.Enable = 'off';
569 %% Create HSStepmotorConfApplySettingsButton
570 app.HSStepmotorConfApplySettingsButton = uibutton(app.
571     HSStepmotorConfGridLayout);
572 app.HSStepmotorConfApplySettingsButton.Text = 'Apply Settings';
573 app.HSStepmotorConfApplySettingsButton.HorizontalAlignment = 'center';
574 app.HSStepmotorConfApplySettingsButton.FontSize = app.fontsize14;
575 app.HSStepmotorConfApplySettingsButton.Layout.Row = 6;
576 app.HSStepmotorConfApplySettingsButton.Layout.Column = [2 3];
577 app.HSStepmotorConfApplySettingsButton.ButtonPushedFcn = @(src, event)
578     HSStepmotorConfApplySettingsButton_ButtonPushedFcn(app, src, event);
579 app.HSStepmotorConfApplySettingsButton.Enable = 'off';
580 %% Create HSTestHardwarePanel
581 app.HSTestHardwarePanel = uipanel(app.HSGridLayout);
582 app.HSTestHardwarePanel.Layout.Row = 1;
583 app.HSTestHardwarePanel.Layout.Column = 3;
584 %% Create HSTestHardwareGridLayout
585 app.HSTestHardwareGridLayout = uigridlayout(app.HSTestHardwarePanel);
586 app.HSTestHardwareGridLayout.RowHeight = {'1x', '1x', '1x', '1x', '1x', '1x',
587     '1x', '1x', '1x', '1x'};
588 app.HSTestHardwareGridLayout.ColumnWidth = {'1x', '1x', '1x'};
589 %% Create HSTestHardwareReferenceStageButton
590 app.HSTestHardwareReferenceStageButton = uibutton(app.
591     HSTestHardwareGridLayout);
592 app.HSTestHardwareReferenceStageButton.Text = 'Reference Stage';
593 app.HSTestHardwareReferenceStageButton.HorizontalAlignment = 'center';
594 app.HSTestHardwareReferenceStageButton.FontSize = app.fontsize14;
595 app.HSTestHardwareReferenceStageButton.Layout.Row = 1;
596 app.HSTestHardwareReferenceStageButton.Layout.Column = [1 3];
597 app.HSTestHardwareReferenceStageButton.ButtonPushedFcn = @(src, event)
598     HSTestHardwareReferenceStageButton_ButtonPushedFcn(app, src, event);
599 %% Create HSTestHardwareGoToZeroButton
600 app.HSTestHardwareGoToZeroButton = uibutton(app.HSTestHardwareGridLayout
601 );
602 app.HSTestHardwareGoToZeroButton.Text = 'Go to Zero';
603 app.HSTestHardwareGoToZeroButton.HorizontalAlignment = 'center';
604 app.HSTestHardwareGoToZeroButton.FontSize = app.fontsize14;
605 app.HSTestHardwareGoToZeroButton.Layout.Row = 2;
606 app.HSTestHardwareGoToZeroButton.Layout.Column = 3;
607 app.HSTestHardwareGoToZeroButton.ButtonPushedFcn = @(src, event)
608     HSTestHardwareGoToZeroButton_ButtonPushedFcn(app, src, event);
609 %% Create HSTestHardwareGoToPositionLabel

```

```
602 app.HSTestHardwareGoToPositionLabel = uilabel(app.
603     HSTestHardwareGridLayout);
604 app.HSTestHardwareGoToPositionLabel.Layout.Row = 4;
605 app.HSTestHardwareGoToPositionLabel.Layout.Column = 1;
606 app.HSTestHardwareGoToPositionLabel.Text = 'Go To Position';
607 app.HSTestHardwareGoToPositionLabel.FontSize = app.fontsize14;
608 app.HSTestHardwareGoToPositionLabel.Interpreter = 'latex';
609 app.HSTestHardwareGoToPositionLabel.BackgroundColor =
610     backGroundColorLabel;
611 app.HSTestHardwareGoToPositionLabel.HorizontalAlignment = 'center';
612 %% Create HSTestHardwareGoToPositionEditField
613 app.HSTestHardwareGoToPositionEditField = uieditfield(app.
614     HSTestHardwareGridLayout, 'numeric');
615 app.HSTestHardwareGoToPositionEditField.Layout.Row = 4;
616 app.HSTestHardwareGoToPositionEditField.Layout.Column = 2;
617 %% app.HSTestHardwareGoToPositionEditField.ValueChangedFcn = @(src,
618     event) ConfEvalWavelengthSlider_AllEvents(app, src, event);
619 app.HSTestHardwareGoToPositionEditField.HorizontalAlignment = 'center';
620 app.HSTestHardwareGoToPositionEditField.FontSize = app.fontsize14;
621 app.HSTestHardwareGoToPositionEditField.Value = 10;
622 %% Create HSTestHardwareGoToPositionButton
623 app.HSTestHardwareGoToPositionButton = uibutton(app.
624     HSTestHardwareGridLayout);
625 app.HSTestHardwareGoToPositionButton.Text = 'GO';
626 app.HSTestHardwareGoToPositionButton.HorizontalAlignment = 'center';
627 app.HSTestHardwareGoToPositionButton.FontSize = app.fontsize14;
628 app.HSTestHardwareGoToPositionButton.Layout.Row = 4;
629 app.HSTestHardwareGoToPositionButton.Layout.Column = 3;
630 app.HSTestHardwareGoToPositionButton.ButtonPushedFcn = @(src, event)
631     HSTestHardwareGoToPositionButton_ButtonPushedFcn(app, src, event);
632 %% Create AutoMeasISO111146Part1StatusLabel
633 app.HSTestHardwareMotorStatusLabel = uilabel(app.
634     HSTestHardwareGridLayout);
635 app.HSTestHardwareMotorStatusLabel.Layout.Row = 3;
636 app.HSTestHardwareMotorStatusLabel.Layout.Column = 1;
637 app.HSTestHardwareMotorStatusLabel.FontSize = app.fontsize14;
638 app.HSTestHardwareMotorStatusLabel.Interpreter = 'latex';
639 app.HSTestHardwareMotorStatusLabel.BackgroundColor = [1 0.07 0.2];
640 app.HSTestHardwareMotorStatusLabel.HorizontalAlignment = 'center';
641 app.HSTestHardwareMotorStatusLabel.Text = 'Motor Off';
642 %% Create HSTestHardwarePositionUIAxes
643 app.HSTestHardwarePositionUIAxes = uiaxes(app.HSTestHardwareGridLayout);
644 app.HSTestHardwarePositionUIAxes.Layout.Row = [5 7];
645 app.HSTestHardwarePositionUIAxes.Layout.Column = [1 3];
646 app.HSTestHardwarePositionUIAxes.XLim = [0–250 app.MaxValueStage+250];
647 app.HSTestHardwarePositionUIAxes.YLim = [-0.5 0.5];
648 app.HSTestHardwarePositionUIAxes.XAxisLocation = 'origin';
649 app.HSTestHardwarePositionUIAxes.Interactions = [];
650 app.HSTestHardwarePositionUIAxes.Toolbar.Visible = 'off';
```

```
644 app.HSTestHardwarePositionUIAxes.YTickLabel = [];
645 app.HSTestHardwarePositionUIAxes.Title.String = 'Camera z - Position';
646 app.HSTestHardwarePositionUIAxes.Title.Interpreter = 'latex';
647 xtickangle(app.HSTestHardwarePositionUIAxes,45);
648 drawnow;
649 %% Create currPosRoi
650 app.currPosRoi = drawpoint(app.HSTestHardwarePositionUIAxes,'Position',
651     app.currPos,'Color','yellow');
652 app.currPosRoi.InteractionsAllowed = 'none';
653 %% Create HSTestHardwareCurrPosLabel
654 app.HSTestHardwareCurrPosLabel = uilabel(app.HSTestHardwareGridLayout);
655 app.HSTestHardwareCurrPosLabel.Layout.Row = 8;
656 app.HSTestHardwareCurrPosLabel.Layout.Column = 1;
657 app.HSTestHardwareCurrPosLabel.FontSize = app.fontsize14;
658 app.HSTestHardwareCurrPosLabel.Interpreter = 'latex';
659 app.HSTestHardwareCurrPosLabel.BackgroundColor = backGroundColorLabel;
660 app.HSTestHardwareCurrPosLabel.HorizontalAlignment = 'center';
661 app.HSTestHardwareCurrPosLabel.Text = 'Current Position';
662 %% Create HSTestHardwareCurrPosEditField
663 app.HSTestHardwareCurrPosEditField = uieditfield(app.
664     HSTestHardwareGridLayout,'numeric');
665 app.HSTestHardwareCurrPosEditField.Layout.Row = 8;
666 app.HSTestHardwareCurrPosEditField.Layout.Column = 2;
667 app.HSTestHardwareCurrPosEditField.HorizontalAlignment = 'center';
668 app.HSTestHardwareCurrPosEditField.Editable = 'off';
669 %% Create AutomatedMeasTab
670 app.AutoMeasTab = uitab(app.TabGroup);
671 app.AutoMeasTab.Title = 'Automated Measurement';
672 app.AutoMeasTab.Scrollable = 'on';
673 %% Create AutoMeasTabGroup
674 app.AutoMeasTabGroup = uitabgroup(app.AutoMeasTab);
675 app.AutoMeasTabGroup.Units = 'normalized';
676 app.AutoMeasTabGroup.Position = [0 0 1 1];
677 app.AutoMeasTabGroup.TabLocation = 'bottom';
678 %% Create AutoMeasISO111146Part1Tab
679 app.AutoMeasISO111146Part1Tab = uitab(app.AutoMeasTabGroup);
680 app.AutoMeasISO111146Part1Tab.Title = 'ISO11146-1';
681 app.AutoMeasISO111146Part1Tab.Scrollable = 'on';
682 %% Create AutoMeasISO111146Part1TabGridLayout
683 app.AutoMeasISO111146Part1TabGridLayout = uigridlayout(app.
684     AutoMeasISO111146Part1Tab);
685 app.AutoMeasISO111146Part1TabGridLayout.RowHeight = {'1x','1x','1x','1x'
686         , '1x',3,'1x','1x','1x','1x'};
687 app.AutoMeasISO111146Part1TabGridLayout.ColumnWidth = {'1x','1x','1x','1
688         x','1x','1x','1x','1x','1x','1x','1x','1x','1x'};

%% Create AutoMeasISO111146Part1MethodRBGroup
app.AutoMeasISO111146Part1MethodRBGroup = uibuttongroup(app.
    AutoMeasISO111146Part1TabGridLayout);
```

```

687 app.AutoMeasISO111146Part1MethodRBGroup.Layout.Row = 1;
688 app.AutoMeasISO111146Part1MethodRBGroup.Layout.Column = [14 15];
689 app.AutoMeasISO111146Part1MethodRBGroup.SelectionChangedFcn = @(src,
    event) AutoMeasISO111146Part1MethodRBGroup_SelectionChangedFcn(app,
    src, event);
690 %% Create AutoMeasISO111146Part1FromCenterRB
691 app.AutoMeasISO111146Part1FromCenterRB = uiradioButton(app,
    AutoMeasISO111146Part1MethodRBGroup,'Position',[10 35 200 15]);
692 app.AutoMeasISO111146Part1FromCenterRB.Text = 'Configure around
    centerpoint';
693 %% Create AutoMeasISO111146Part1FromZeroRB
694 app.AutoMeasISO111146Part1FromZeroRB = uiradioButton(app,
    AutoMeasISO111146Part1MethodRBGroup,'Position',[10 15 200 15]);
695 app.AutoMeasISO111146Part1FromZeroRB.Text = 'Configure from zero';
696
697 %% Create AutoMeasISO111146Part1OffsetLabel
698 app.AutoMeasISO111146Part1OffsetLabel = uilabel(app,
    AutoMeasISO111146Part1TabGridLayout);
699 app.AutoMeasISO111146Part1OffsetLabel.Layout.Row = 1;
700 app.AutoMeasISO111146Part1OffsetLabel.Layout.Column = [1 3];
701 app.AutoMeasISO111146Part1OffsetLabel.FontSize = app.fontsize14;
702 app.AutoMeasISO111146Part1OffsetLabel.Interpreter = 'latex';
703 app.AutoMeasISO111146Part1OffsetLabel.BackgroundColor =
    backGroundColorLabel;
704 app.AutoMeasISO111146Part1OffsetLabel.HorizontalAlignment = 'center';
705 app.AutoMeasISO111146Part1OffsetLabel.Text = '$\text{Center Offsetin } \backslash mu m$';
706 %% Create AutoMeasISO111146Part1OffseEditField
707 app.AutoMeasISO111146Part1OffseEditField = uieditfield(app,
    AutoMeasISO111146Part1TabGridLayout,'numeric','ValueDisplayFormat',
    '.1f');
708 app.AutoMeasISO111146Part1OffseEditField.Layout.Row = 1;
709 app.AutoMeasISO111146Part1OffseEditField.Layout.Column = 4;
710 app.AutoMeasISO111146Part1OffseEditField.HorizontalAlignment = 'center';
711 app.AutoMeasISO111146Part1OffseEditField.ValueChangedFcn = @(src, event)
    UpdatePreviewAxes(app, src, event);
712 app.AutoMeasISO111146Part1OffseEditField.Value = 3000;
713 %% Create AutoMeasISO111146Part1RayleighLabel
714 app.AutoMeasISO111146Part1RayleighLabel = uilabel(app,
    AutoMeasISO111146Part1TabGridLayout);
715 app.AutoMeasISO111146Part1RayleighLabel.Layout.Row = 2;
716 app.AutoMeasISO111146Part1RayleighLabel.Layout.Column = [1 3];
717 app.AutoMeasISO111146Part1RayleighLabel.FontSize = app.fontsize14;
718 app.AutoMeasISO111146Part1RayleighLabel.Interpreter = 'latex';
719 app.AutoMeasISO111146Part1RayleighLabel.BackgroundColor =
    backGroundColorLabel;
720 app.AutoMeasISO111146Part1RayleighLabel.HorizontalAlignment = 'center';
721 app.AutoMeasISO111146Part1RayleighLabel.Text = '$\text{Rayleigh Length
    in } \backslash mu m$';

```

```
722 %% Create AutoMeasIS0111146Part1RayleighEditField
723 app.AutoMeasIS0111146Part1RayleighEditField = uieditfield(app.
724     AutoMeasIS0111146Part1TabGridLayout, 'numeric');
725 app.AutoMeasIS0111146Part1RayleighEditField.Layout.Row = 2;
726 app.AutoMeasIS0111146Part1RayleighEditField.Layout.Column = 4;
727 app.AutoMeasIS0111146Part1RayleighEditField.HorizontalAlignment =
728     'center';
729 app.AutoMeasIS0111146Part1RayleighEditField.ValueChangedFcn = @(src,
730     event) UpdatePreviewAxes(app, src, event);
731 app.AutoMeasIS0111146Part1RayleighEditField.Value = 3000;
732 %% Create AutoMeasIS0111146Part1TimesRayleighLabel
733 app.AutoMeasIS0111146Part1TimesRayleighLabel = uilabel(app.
734     AutoMeasIS0111146Part1TabGridLayout);
735 app.AutoMeasIS0111146Part1TimesRayleighLabel.Layout.Row = 3;
736 app.AutoMeasIS0111146Part1TimesRayleighLabel.Layout.Column = [1 3];
737 app.AutoMeasIS0111146Part1TimesRayleighLabel.FontSize = app.fontsize14;
738 app.AutoMeasIS0111146Part1TimesRayleighLabel.Interpreter = 'latex';
739 app.AutoMeasIS0111146Part1TimesRayleighLabel.BackgroundColor =
740     backGroundColorLabel;
741 app.AutoMeasIS0111146Part1TimesRayleighLabel.HorizontalAlignment =
742     'center';
743 app.AutoMeasIS0111146Part1TimesRayleighLabel.Text = 'Number of Rayleigh
744     Lengths$';
745 %% Create AutoMeasIS0111146Part1TimesRayleighEditField
746 app.AutoMeasIS0111146Part1TimesRayleighEditField = uieditfield(app.
747     AutoMeasIS0111146Part1TabGridLayout, 'numeric');
748 app.AutoMeasIS0111146Part1TimesRayleighEditField.Layout.Row = 3;
749 app.AutoMeasIS0111146Part1TimesRayleighEditField.Layout.Column = 4;
750 app.AutoMeasIS0111146Part1TimesRayleighEditField.HorizontalAlignment =
751     'center';
752 app.AutoMeasIS0111146Part1TimesRayleighEditField.ValueChangedFcn = @(src
753     , event) UpdatePreviewAxes(app, src, event);
754 app.AutoMeasIS0111146Part1TimesRayleighEditField.Value = 4;
755 %% Create AutoMeasIS0111146Part1NoMeasPointsLabel
756 app.AutoMeasIS0111146Part1NoMeasPointsLabel = uilabel(app.
757     AutoMeasIS0111146Part1TabGridLayout);
758 app.AutoMeasIS0111146Part1NoMeasPointsLabel.Layout.Row = 4;
759 app.AutoMeasIS0111146Part1NoMeasPointsLabel.Layout.Column = [1 3];
760 app.AutoMeasIS0111146Part1NoMeasPointsLabel.FontSize = app.fontsize14;
761 app.AutoMeasIS0111146Part1NoMeasPointsLabel.Interpreter = 'latex';
762 app.AutoMeasIS0111146Part1NoMeasPointsLabel.BackgroundColor =
763     backGroundColorLabel;
764 app.AutoMeasIS0111146Part1NoMeasPointsLabel.HorizontalAlignment =
765     'center';
766 app.AutoMeasIS0111146Part1NoMeasPointsLabel.Text = 'Number of
767     Measurement Points';
768 %% Create AutoMeasIS0111146Part1NoMeasPointsEditField
769 app.AutoMeasIS0111146Part1NoMeasPointsEditField = uieditfield(app.
770     AutoMeasIS0111146Part1TabGridLayout, 'numeric');
```

```

756 app.AutoMeasISO111146Part1NoMeasPointsEditField.Layout.Row = 4;
757 app.AutoMeasISO111146Part1NoMeasPointsEditField.Layout.Column = 4;
758 app.AutoMeasISO111146Part1NoMeasPointsEditField.HorizontalAlignment =
759     'center';
760 app.AutoMeasISO111146Part1NoMeasPointsEditField.ValueChangedFcn = @(src,
761     event) UpdatePreviewAxes(app, src, event);
762 app.AutoMeasISO111146Part1NoMeasPointsEditField.Value = 3;
763 %% Create AutoMeasISO111146Part1MeasPerPointLabel
764 app.AutoMeasISO111146Part1MeasPerPointLabel = uilabel(app.
765     AutoMeasISO111146Part1TabGridLayout);
766 app.AutoMeasISO111146Part1MeasPerPointLabel.Layout.Row = 5;
767 app.AutoMeasISO111146Part1MeasPerPointLabel.Layout.Column = [1 3];
768 app.AutoMeasISO111146Part1MeasPerPointLabel.FontSize = app.fontsize14;
769 app.AutoMeasISO111146Part1MeasPerPointLabel.Interpreter = 'latex';
770 app.AutoMeasISO111146Part1MeasPerPointLabel.BackgroundColor =
771     backGroundColorLabel;
772 app.AutoMeasISO111146Part1MeasPerPointLabel.HorizontalAlignment =
773     'center';
774 app.AutoMeasISO111146Part1MeasPerPointLabel.Text = 'Measurements per
775     Point';
776 %% Create AutoMeasISO111146Part1MeasPerPointEditField
777 app.AutoMeasISO111146Part1MeasPerPointEditField = uieditfield(app.
778     AutoMeasISO111146Part1TabGridLayout, 'numeric');
779 app.AutoMeasISO111146Part1MeasPerPointEditField.Layout.Row = 5;
780 app.AutoMeasISO111146Part1MeasPerPointEditField.Layout.Column = 4;
781 app.AutoMeasISO111146Part1MeasPerPointEditField.HorizontalAlignment =
782     'center';
783 app.AutoMeasISO111146Part1MeasPerPointEditField.Value = 5;
784 %% Create AutoMeasISO111146Part1MeasAreaLabel
785 app.AutoMeasISO111146Part1MeasAreaLabel = uilabel(app.
786     AutoMeasISO111146Part1TabGridLayout);
787 app.AutoMeasISO111146Part1MeasAreaLabel.Layout.Row = 1;
788 app.AutoMeasISO111146Part1MeasAreaLabel.Layout.Column = [5 7];
789 app.AutoMeasISO111146Part1MeasAreaLabel.FontSize = app.fontsize14;
790 app.AutoMeasISO111146Part1MeasAreaLabel.Interpreter = 'latex';
791 app.AutoMeasISO111146Part1MeasAreaLabel.BackgroundColor =
792     backGroundColorLabel;
793 app.AutoMeasISO111146Part1MeasAreaLabel.HorizontalAlignment = 'center';
794 app.AutoMeasISO111146Part1MeasAreaLabel.Text = '$\text{Measurement
795     Area in } \mu m$';
796 %% Create AutoMeasISO111146Part1MeasAreaEditField
797 app.AutoMeasISO111146Part1MeasAreaEditField = uieditfield(app.
798     AutoMeasISO111146Part1TabGridLayout, 'numeric', 'ValueDisplayFormat',
799     '%.1f');
800 app.AutoMeasISO111146Part1MeasAreaEditField.Layout.Row = 1;
801 app.AutoMeasISO111146Part1MeasAreaEditField.Layout.Column = 8;
802 app.AutoMeasISO111146Part1MeasAreaEditField.HorizontalAlignment =
803     'center';
804 app.AutoMeasISO111146Part1MeasAreaEditField.Value = 10000;

```

```

791 app.AutoMeasIS0111146Part1MeasAreaEditField.Enable = 'off';
792 app.AutoMeasIS0111146Part1MeasAreaEditField.ValueChangedFcn = @(src,
    event) UpdatePreviewAxes(app, src, event);
793 %% Create AutoMeasIS0111146Part1StartMeasButton
794 app.AutoMeasIS0111146Part1StartMeasButton = uibutton(app.
    AutoMeasIS0111146Part1TabGridLayout);
795 app.AutoMeasIS0111146Part1StartMeasButton.Layout.Row = 5;
796 app.AutoMeasIS0111146Part1StartMeasButton.Layout.Column = [14 15];
797 app.AutoMeasIS0111146Part1StartMeasButton.Text = 'Start';
798 app.AutoMeasIS0111146Part1StartMeasButton.ButtonPushedFcn = @(src, event
    ) AutoMeasIS0111146Part1StartMeasButton_ButtonPushedFcn(app, src,
    event);
799 app.AutoMeasIS0111146Part1StartMeasButton.Enable = 'off';
800 %% Create AutoMeasIS0111146Part1PreviewMeasPointsUIAxes
801 app.AutoMeasIS0111146Part1PreviewMeasPointsUIAxes = uiaxes(app.
    AutoMeasIS0111146Part1TabGridLayout);
802 app.AutoMeasIS0111146Part1PreviewMeasPointsUIAxes.Layout.Row = [7 8];
803 app.AutoMeasIS0111146Part1PreviewMeasPointsUIAxes.Layout.Column = [6
    15];
804 app.AutoMeasIS0111146Part1PreviewMeasPointsUIAxes.XLim = [0--250 app.
    maxValueStage+250];
805 app.AutoMeasIS0111146Part1PreviewMeasPointsUIAxes.YLim = [-0.5 0.5];
806 app.AutoMeasIS0111146Part1PreviewMeasPointsUIAxes.XAxisLocation =
    'origin';
807 app.AutoMeasIS0111146Part1PreviewMeasPointsUIAxes.Interactions = [];
808 app.AutoMeasIS0111146Part1PreviewMeasPointsUIAxes.Toolbar.Visible = 'off
    ';
809 app.AutoMeasIS0111146Part1PreviewMeasPointsUIAxes.YTickLabel = [];
810 app.AutoMeasIS0111146Part1PreviewMeasPointsUIAxes.Title.Interpreter =
    'latex';
811 app.AutoMeasIS0111146Part1PreviewMeasPointsUIAxes.Title.String =
    'Measuring Points';
812 app.AutoMeasIS0111146Part1PreviewMeasPointsUIAxes.XLabel.Interpreter =
    'latex';
813 app.AutoMeasIS0111146Part1PreviewMeasPointsUIAxes.XLabel.String =
    'z --
    coordinates';
814 xtickangle(app.AutoMeasIS0111146Part1PreviewMeasPointsUIAxes, 45);
815 %% Create currPosRoi
816 app.currPosRoiAutoMeas = drawpoint(app.
    AutoMeasIS0111146Part1PreviewMeasPointsUIAxes, 'Position', app.
    currPosRoi.Position, 'Color', 'yellow');
817 app.currPosRoiAutoMeas.InteractionsAllowed = 'none';
818 %% Create AutoMeasIS0111146Part1CurrPosLabel
819 app.AutoMeasIS0111146Part1CurrPosLabel = uilabel(app.
    AutoMeasIS0111146Part1TabGridLayout);
820 app.AutoMeasIS0111146Part1CurrPosLabel.Layout.Row = 9;
821 app.AutoMeasIS0111146Part1CurrPosLabel.Layout.Column = [6 8];
822 app.AutoMeasIS0111146Part1CurrPosLabel.FontSize = app.fontsize14;
823 app.AutoMeasIS0111146Part1CurrPosLabel.Interpreter = 'latex';

```

```
824     app.AutoMeasIS0111146Part1CurrPosLabel.BackgroundColor =
825         backGroundColorLabel;
826     app.AutoMeasIS0111146Part1CurrPosLabel.HorizontalAlignment = 'center';
827     app.AutoMeasIS0111146Part1CurrPosLabel.Text = 'Current Position';
828     %% Create AutoMeasIS0111146Part1CurrPosEditField
829     app.AutoMeasIS0111146Part1CurrPosEditField = uieditfield(app.
830         AutoMeasIS0111146Part1TabGridLayout, 'numeric');
831     app.AutoMeasIS0111146Part1CurrPosEditField.Layout.Row = 9;
832     app.AutoMeasIS0111146Part1CurrPosEditField.Layout.Column = [9 10];
833     app.AutoMeasIS0111146Part1CurrPosEditField.HorizontalAlignment = 'center'
834         ;
835     app.AutoMeasIS0111146Part1CurrPosEditField.Value = app.currPos(1);
836     app.AutoMeasIS0111146Part1CurrPosEditField.Editable = 'off';
837     %% Create AutoMeasIS0111146DistanceHolderLabel
838     app.AutoMeasIS0111146DistanceHolderLabel = uilabel(app.
839         AutoMeasIS0111146Part1TabGridLayout);
840     app.AutoMeasIS0111146DistanceHolderLabel.Layout.Row = 6;
841     app.AutoMeasIS0111146DistanceHolderLabel.Layout.Column = [1 15];
842     app.AutoMeasIS0111146DistanceHolderLabel.FontSize = app.fontsize14;
843     app.AutoMeasIS0111146DistanceHolderLabel.Interpreter = 'latex';
844     app.AutoMeasIS0111146DistanceHolderLabel.BackgroundColor = [0.4 0.4
845         0.4];
846     app.AutoMeasIS0111146DistanceHolderLabel.HorizontalAlignment = 'center';
847     app.AutoMeasIS0111146DistanceHolderLabel.Text = '';
848     %% Create AutoMeasIS0111146Part1ProgressCurrActionLabel
849     app.AutoMeasIS0111146Part1ProgressCurrActionLabel = uilabel(app.
850         AutoMeasIS0111146Part1TabGridLayout);
851     app.AutoMeasIS0111146Part1ProgressCurrActionLabel.Layout.Row = 7;
852     app.AutoMeasIS0111146Part1ProgressCurrActionLabel.Layout.Column = [1 3];
853     app.AutoMeasIS0111146Part1ProgressCurrActionLabel.FontSize = app.
854         fontsize14;
855     app.AutoMeasIS0111146Part1ProgressCurrActionLabel.Interpreter = 'latex';
856     app.AutoMeasIS0111146Part1ProgressCurrActionLabel.BackgroundColor =
857         backGroundColorLabel;
858     app.AutoMeasIS0111146Part1ProgressCurrActionLabel.HorizontalAlignment =
859         'center';
860     app.AutoMeasIS0111146Part1ProgressCurrActionLabel.Text = 'Current Action
861         ';
862     %% Create AutoMeasIS0111146Part1ProgressCurrActionEditField
863     app.AutoMeasIS0111146Part1ProgressCurrActionEditField = uieditfield(app.
864         AutoMeasIS0111146Part1TabGridLayout);
865     app.AutoMeasIS0111146Part1ProgressCurrActionEditField.Layout.Row = 7;
866     app.AutoMeasIS0111146Part1ProgressCurrActionEditField.Layout.Column = [4
867         5];
868     app.AutoMeasIS0111146Part1ProgressCurrActionEditField.
869         HorizontalAlignment = 'center';
870     app.AutoMeasIS0111146Part1ProgressCurrActionEditField.Editable = 'off';
871     %% Create AutoMeasIS0111146Part1ProgressCurrMeasPointLabel
872     app.AutoMeasIS0111146Part1ProgressCurrMeasPointLabel = uilabel(app.
```

```
860     AutoMeasIS0111146Part1TabGridLayout);
861 app.AutoMeasIS0111146Part1ProgressCurrMeasPointLabel.Layout.Row = 8;
862 app.AutoMeasIS0111146Part1ProgressCurrMeasPointLabel.Layout.Column = [1
863     3];
864 app.AutoMeasIS0111146Part1ProgressCurrMeasPointLabel.FontSize = app.
865     fontsize14;
866 app.AutoMeasIS0111146Part1ProgressCurrMeasPointLabel.Interpreter = '
867     latex';
868 app.AutoMeasIS0111146Part1ProgressCurrMeasPointLabel.BackgroundColor =
869     backGroundColorLabel;
870 app.AutoMeasIS0111146Part1ProgressCurrMeasPointLabel.HorizontalAlignment
871     = 'center';
872 app.AutoMeasIS0111146Part1ProgressCurrMeasPointLabel.Text = 'Current
873     Measuring point';
874 %% Create AutoMeasIS0111146Part1ProgressCurrMeasPointEditField
875 app.AutoMeasIS0111146Part1ProgressCurrMeasPointEditField = uieditfield(
876     app.AutoMeasIS0111146Part1TabGridLayout);
877 app.AutoMeasIS0111146Part1ProgressCurrMeasPointEditField.Layout.Row = 8;
878 app.AutoMeasIS0111146Part1ProgressCurrMeasPointEditField.Layout.Column =
879     4;
880 app.AutoMeasIS0111146Part1ProgressCurrMeasPointEditField.
881     HorizontalAlignment = 'center';
882 app.AutoMeasIS0111146Part1ProgressCurrMeasPointEditField.Editable = 'off
883     ';
884 %% Create AutoMeasIS0111146Part1ProgressCurrMeasPointMeasLabel
885 app.AutoMeasIS0111146Part1ProgressCurrMeasPointMeasLabel = uilabel(app.
886     AutoMeasIS0111146Part1TabGridLayout);
887 app.AutoMeasIS0111146Part1ProgressCurrMeasPointMeasLabel.Layout.Row = 9;
888 app.AutoMeasIS0111146Part1ProgressCurrMeasPointMeasLabel.Layout.Column =
889     [1 3];
890 app.AutoMeasIS0111146Part1ProgressCurrMeasPointMeasLabel.FontSize = app.
891     fontsize14;
892 app.AutoMeasIS0111146Part1ProgressCurrMeasPointMeasLabel.Interpreter = '
893     latex';
894 app.AutoMeasIS0111146Part1ProgressCurrMeasPointMeasLabel.BackgroundColor =
895     backGroundColorLabel;
896 app.AutoMeasIS0111146Part1ProgressCurrMeasPointMeasLabel.
897     HorizontalAlignment = 'center';
898 app.AutoMeasIS0111146Part1ProgressCurrMeasPointMeasLabel.Text = 'Current
899     Measurement';
900 %% Create AutoMeasIS0111146Part1ProgressCurrMeasPointMeasEditField
901 app.AutoMeasIS0111146Part1ProgressCurrMeasPointMeasEditField =
902     uieditfield(app.AutoMeasIS0111146Part1TabGridLayout);
903 app.AutoMeasIS0111146Part1ProgressCurrMeasPointMeasEditField.Layout.Row =
904     9;
905 app.AutoMeasIS0111146Part1ProgressCurrMeasPointMeasEditField.Layout.
906     Column = 4;
907 app.AutoMeasIS0111146Part1ProgressCurrMeasPointMeasEditField.
908     HorizontalAlignment = 'center';
```

```
887 app.AutoMeasISO111146Part1ProgressCurrMeasPointMeasEditField.Editable =  
888     'off';  
889 %% Create AutoMeasISO111146Part1StatusLabel  
890 app.AutoMeasISO111146Part1StatusLabel = uilabel(app.  
891     AutoMeasISO111146Part1TabGridLayout);  
892 app.AutoMeasISO111146Part1StatusLabel.Layout.Row = 10;  
893 app.AutoMeasISO111146Part1StatusLabel.Layout.Column = [1 3];  
894 app.AutoMeasISO111146Part1StatusLabel.FontSize = app.fontsize14;  
895 app.AutoMeasISO111146Part1StatusLabel.Interpreter = 'latex';  
896 app.AutoMeasISO111146Part1StatusLabel.BackgroundColor = [1 0.07 0.2];  
897 app.AutoMeasISO111146Part1StatusLabel.Horizontal_ALIGNMENT = 'center';  
898 app.AutoMeasISO111146Part1StatusLabel.Text = 'Inactive';  
899 %% Create AutoMeasCancelButton  
900 app.AutoMeasCancelButton = uibutton(app.  
901     AutoMeasISO111146Part1TabGridLayout, 'state');  
902 app.AutoMeasCancelButton.Text = 'Cancel';  
903 app.AutoMeasCancelButton.Horizontal_ALIGNMENT = 'center';  
904 app.AutoMeasCancelButton.FontSize = app.fontsize14;  
905 app.AutoMeasCancelButton.Layout.Row = 5;  
906 app.AutoMeasCancelButton.Layout.Column = [12 13];  
907 % app.AutoMeasCancelButton.ValueChangedFcn = @(src, event)  
908 HSCamConfCamPreviewButton_ValueChangedFcn(app, src, event);  
909 %% Create EvaluateMeasurementTab  
910 app.EvaluateMeasurementTab = uitab(app.TabGroup);  
911 app.EvaluateMeasurementTab.Title = 'Evaluate Measurement';  
912 app.EvaluateMeasurementTab.Scrollable = 'on';  
913 %% Create TabGroup  
914 app.EvalTabGroup = uitabgroup(app.EvaluateMeasurementTab);  
915 app.EvalTabGroup.Units = 'normalized';  
916 app.EvalTabGroup.Position = [0 0 1 1];  
917 app.EvalTabGroup.TabLocation = 'top';  
918 % app.EvalTabGroup.  
919 %% Create ConfEvalTab  
920 app.ConfEvalTab = uitab(app.EvalTabGroup);  
921 app.ConfEvalTab.Title = 'Configure Evaluation';  
922 %app.ConfEvalTab.BackgroundColor = [0.75 0.75 0.75];  
923 app.ConfEvalTab.Scrollable = 'on';  
924 %% Create ConfEvalTabGridLayout  
925 app.ConfEvalTabGridLayout = uigridlayout(app.ConfEvalTab);  
926 app.ConfEvalTabGridLayout.RowHeight = {'1x', '1x', '1x', '1x', '1x', '1x', '1x',  
927     ', '1x', '1x', '1x', '1x', '1x', '1x', '1x'};  
928 app.ConfEvalTabGridLayout.ColumnWidth = {'1x', '1x', '1x', '1x', '1x', '1x',  
929     '1x', '1x', '1x'};
```

```
930 app.ConfEvalLoadMeasButton.Text = 'Load Measurement';
931 app.ConfEvalLoadMeasButton.Layout.Row = 1;
932 app.ConfEvalLoadMeasButton.Layout.Column = [1 2];
933 app.ConfEvalLoadMeasButton.ButtonPushedFcn = @(src, event)
    ConfEvalLoadMeasButton_ButtonPushedFcn(app, src, event);
934 app.ConfEvalLoadMeasButton.FontSize = app.fontsize14;

935
936 %% Create ConfEvalBackCorrMethodLabel
937 app.ConfEvalBackCorrMethodLabel = uilabel(app.ConfEvalTabGridLayout);
938 app.ConfEvalBackCorrMethodLabel.Text = 'Coarse Background Correction
    Method';
939 app.ConfEvalBackCorrMethodLabel.Layout.Row = 2;
940 app.ConfEvalBackCorrMethodLabel.Layout.Column = [1 2];
941 app.ConfEvalBackCorrMethodLabel.FontSize = app.fontsize14;
942 app.ConfEvalBackCorrMethodLabel.Interpreter = 'latex';
943 app.ConfEvalBackCorrMethodLabel.BackgroundColor = backGroundColorLabel;
944 app.ConfEvalBackCorrMethodLabel.HorizontalAlignment = 'center';
945 %% Create ConfEvalBackCorrMethodDropDown
946 app.ConfEvalBackCorrMethodDropDown = uidropdown(app.
    ConfEvalTabGridLayout);
947 app.ConfEvalBackCorrMethodDropDown.Layout.Row = 3;
948 app.ConfEvalBackCorrMethodDropDown.Layout.Column = [1 2];
949 app.ConfEvalBackCorrMethodDropDown.Items = {'Background Map Subtraction
    ', 'Average Background Subtraction'};
950 %           app.ConfEvalBackCorrMethodDropDown.ValueChangedFcn = @(src
    , event) ConfEvalBackCorrMethodDropDown_ValueChangedFcn(app, src,
    event);
951 app.ConfEvalBackCorrMethodDropDown.FontSize = app.fontsize14;
952 %% Create ConfEvalFineBackCorrMethodLabel
953 app.ConfEvalFineBackCorrMethodLabel = uilabel(app.ConfEvalTabGridLayout)
    ;
954 app.ConfEvalFineBackCorrMethodLabel.Text = 'Fine Background Correction
    Method';
955 app.ConfEvalFineBackCorrMethodLabel.Layout.Row = 2;
956 app.ConfEvalFineBackCorrMethodLabel.Layout.Column = [3 4];
957 app.ConfEvalFineBackCorrMethodLabel.FontSize = app.fontsize14;
958 app.ConfEvalFineBackCorrMethodLabel.Interpreter = 'latex';
959 app.ConfEvalFineBackCorrMethodLabel.BackgroundColor =
    backGroundColorLabel;
960 app.ConfEvalFineBackCorrMethodLabel.HorizontalAlignment = 'center';

961
962 %% Create ConfEvalFineBackCorrMethodDropDown
963 app.ConfEvalFineBackCorrMethodDropDown = uidropdown(app.
    ConfEvalTabGridLayout);
964 app.ConfEvalFineBackCorrMethodDropDown.Layout.Row = 3;
965 app.ConfEvalFineBackCorrMethodDropDown.Layout.Column = [3 4];
966 app.ConfEvalFineBackCorrMethodDropDown.Items = {'Statistical Method',
    'Manual Value', 'Off'};
967 %           app.ConfEvalFineBackCorrMethodDropDown.ValueChangedFcn =
```

```

        @(src, event) ConfEvalBackCorrMethodDropDown_ValueChangedFcn(app,
    src, event);
968 app.ConfEvalFineBackCorrMethodDropDown.FontSize = app.fontsize14;
969 % Create ConfEvalFineCorrValueLabel
970 app.ConfEvalFineCorrValueLabel = uilabel(app.ConfEvalTabGridLayout);
971 app.ConfEvalFineCorrValueLabel.Text = 'Fine Corr Value';
972 app.ConfEvalFineCorrValueLabel.Layout.Row = 2;
973 app.ConfEvalFineCorrValueLabel.Layout.Column = 5;
974 app.ConfEvalFineCorrValueLabel.FontSize = app.fontsize14;
975 app.ConfEvalFineCorrValueLabel.Interpreter = 'latex';
976 app.ConfEvalFineCorrValueLabel.BackgroundColor = backGroundColorLabel;
977 app.ConfEvalFineCorrValueLabel.HorizontalAlignment = 'center';
978 %% Create ConfEvalFineCorrValueEditField
979 app.ConfEvalFineCorrValueEditField = uieditfield(app.
    ConfEvalTabGridLayout, 'numeric');
980 app.ConfEvalFineCorrValueEditField.Layout.Row = 3;
981 app.ConfEvalFineCorrValueEditField.Layout.Column = 5;
982 app.ConfEvalFineCorrValueEditField.Limits = [0 10];
983 %           app.ConfEvalNtEditField.ValueChangedFcn = @(src, event)
984 %             ConfEvalNtFactorSlider_AllEvents(app, src, event);
985 app.ConfEvalFineCorrValueEditField.HorizontalAlignment = 'center';
986 app.ConfEvalFineCorrValueEditField.FontSize = app.fontsize14;
987 app.ConfEvalFineCorrValueEditField.Value = 0;
988 %% Create ConfEvalConvergeCriterionLabel
989 app.ConfEvalConvergeCriterionLabel = uilabel(app.ConfEvalTabGridLayout);
990 app.ConfEvalConvergeCriterionLabel.Text = '$\text{Convergence}$
    Criterion} \text{ in } \mu m$';
991 app.ConfEvalConvergeCriterionLabel.Layout.Row = 4;
992 app.ConfEvalConvergeCriterionLabel.Layout.Column = [1 2];
993 app.ConfEvalConvergeCriterionLabel.FontSize = app.fontsize14;
994 app.ConfEvalConvergeCriterionLabel.Interpreter = 'latex';
995 app.ConfEvalConvergeCriterionLabel.BackgroundColor =
    backGroundColorLabel;
996 app.ConfEvalConvergeCriterionLabel.HorizontalAlignment = 'center';
997 %% Create ConfEvalConvergeCriterionEditField
998 app.ConfEvalConvergeCriterionEditField = uieditfield(app.
    ConfEvalTabGridLayout, 'numeric');
999 app.ConfEvalConvergeCriterionEditField.Layout.Row = 5;
1000 app.ConfEvalConvergeCriterionEditField.Layout.Column = [1 2];
1001 app.ConfEvalConvergeCriterionEditField.Limits = [0.1 10];
1002 %           app.ConfEvalConvergeCriterionEditField.ValueChangedFcn =
1003 %             @(src, event) ConfEvalConvergeCriterionSlider_AllEvents(app, src,
1004 %             event);
1005 app.ConfEvalConvergeCriterionEditField.HorizontalAlignment = 'center';
1006 app.ConfEvalConvergeCriterionEditField.FontSize = app.fontsize14;
1007 %% Create ConfEvalWavelengthLabel
1008 app.ConfEvalWavelengthLabel = uilabel(app.ConfEvalTabGridLayout);
1009 app.ConfEvalWavelengthLabel.Text = '$\text{Wavelength }\lambda \text{ in nm}$';

```

```

1007 app.ConfEvalWavelengthLabel.Layout.Row = 4;
1008 app.ConfEvalWavelengthLabel.Layout.Column = [3 4];
1009 app.ConfEvalWavelengthLabel.FontSize = app.fontSize14;
1010 app.ConfEvalWavelengthLabel.Interpreter = 'latex';
1011 app.ConfEvalWavelengthLabel.BackgroundColor = backGroundColorLabel;
1012 app.ConfEvalWavelengthLabel.HorizontalAlignment = 'center';
1013 %% Create ConfEvalWavelengthEditField
1014 app.ConfEvalWavelengthEditField = uieditfield(app.ConfEvalTabGridLayout,
1015     'numeric');
1016 app.ConfEvalWavelengthEditField.Layout.Row = 5;
1017 app.ConfEvalWavelengthEditField.Layout.Column = [3 4];
1018 app.ConfEvalWavelengthEditField.Limits = [300 1100];
1019 %           app.ConfEvalWavelengthEditField.ValueChangedFcn = @(src,
1020 event) ConfEvalWavelengthSlider_AllEvents(app, src, event);
1021 app.ConfEvalWavelengthEditField.HorizontalAlignment = 'center';
1022 app.ConfEvalWavelengthEditField.FontSize = app.fontSize14;
1023 %% Create ConfEvalNtFactorLabel
1024 app.ConfEvalNtFactorLabel = uilabel(app.ConfEvalTabGridLayout);
1025 app.ConfEvalNtFactorLabel.Text = 'nT standard deviation multiplicator';
1026 app.ConfEvalNtFactorLabel.Layout.Row = 6;
1027 app.ConfEvalNtFactorLabel.Layout.Column = [1 2];
1028 app.ConfEvalNtFactorLabel.FontSize = app.fontSize14;
1029 app.ConfEvalNtFactorLabel.Interpreter = 'latex';
1030 app.ConfEvalNtFactorLabel.BackgroundColor = backGroundColorLabel;
1031 app.ConfEvalNtFactorLabel.HorizontalAlignment = 'center';
1032 %% Create ConfEvalNtEditField
1033 app.ConfEvalNtEditField = uieditfield(app.ConfEvalTabGridLayout, 'numeric
1034 ');
1035 app.ConfEvalNtEditField.Layout.Row = 7;
1036 app.ConfEvalNtEditField.Layout.Column = [1 2];
1037 app.ConfEvalNtEditField.Limits = [2 4];
1038 %           app.ConfEvalNtEditField.ValueChangedFcn = @(src, event)
1039 %           ConfEvalNtFactorSlider_AllEvents(app, src, event);
1040 app.ConfEvalNtEditField.HorizontalAlignment = 'center';
1041 app.ConfEvalNtEditField.FontSize = app.fontSize14;
1042 %% Create ConfEvalIntegAreaFactorLabel
1043 app.ConfEvalIntegAreaFactorLabel = uilabel(app.ConfEvalTabGridLayout);
1044 app.ConfEvalIntegAreaFactorLabel.Text = 'Integrationrange multiplicator'
1045 ;
1046 app.ConfEvalIntegAreaFactorLabel.Layout.Row = 8;
1047 app.ConfEvalIntegAreaFactorLabel.Layout.Column = [1 2];
1048 app.ConfEvalIntegAreaFactorLabel.FontSize = app.fontSize14;
1049 app.ConfEvalIntegAreaFactorLabel.Interpreter = 'latex';

```

```

1050 app.ConfEvalIntegAreaEditField.Layout.Column = [1 2];
1051 app.ConfEvalIntegAreaEditField.Limits = [1 3];
1052 app.ConfEvalIntegAreaEditField.HorizontalAlignment = 'center';
1053 app.ConfEvalIntegAreaEditField.FontSize = app.fontsize14;
1054 %% Create ConfEvalResLabel
1055 app.ConfEvalResLabel = uilabel(app.ConfEvalTabGridLayout);
1056 app.ConfEvalResLabel.Text = 'Image Resolution W x H in pixel';
1057 app.ConfEvalResLabel.Layout.Row = 12;
1058 app.ConfEvalResLabel.Layout.Column = [1 2];
1059 app.ConfEvalResLabel.FontSize = app.fontsize14;
1060 app.ConfEvalResLabel.Interpreter = 'latex';
1061 app.ConfEvalResLabel.BackgroundColor = backGroundColorLabel;
1062 app.ConfEvalResLabel.HorizontalAlignment = 'center';
1063 %% Create ConfEvalResWidthEditField
1064 app.ConfEvalResWidthEditField = uieditfield(app.ConfEvalTabGridLayout, 'numeric');
1065 app.ConfEvalResWidthEditField.Layout.Row = 13;
1066 app.ConfEvalResWidthEditField.Layout.Column = 1;
1067 app.ConfEvalResWidthEditField.HorizontalAlignment = 'center';
1068 app.ConfEvalResWidthEditField.FontSize = app.fontsize14;
1069 app.ConfEvalResWidthEditField.Value = 1282;
1070 %% Create ConfEvalResHeightEditField
1071 app.ConfEvalResHeightEditField = uieditfield(app.ConfEvalTabGridLayout, 'numeric');
1072 app.ConfEvalResHeightEditField.Layout.Row = 13;
1073 app.ConfEvalResHeightEditField.Layout.Column = 2;
1074 app.ConfEvalResHeightEditField.HorizontalAlignment = 'center';
1075 app.ConfEvalResHeightEditField.FontSize = app.fontsize14;
1076 app.ConfEvalResHeightEditField.Value = 1026;
1077 %% Create ConfEvalPixelSizeLabel
1078 app.ConfEvalPixelSizeLabel = uilabel(app.ConfEvalTabGridLayout);
1079 app.ConfEvalPixelSizeLabel.Text = '$\text{PixelSize} \text{ in } \mu m$';
1080 app.ConfEvalPixelSizeLabel.Layout.Row = 12;
1081 app.ConfEvalPixelSizeLabel.Layout.Column = 3;
1082 app.ConfEvalPixelSizeLabel.FontSize = app.fontsize14;
1083 app.ConfEvalPixelSizeLabel.Interpreter = 'latex';
1084 app.ConfEvalPixelSizeLabel.BackgroundColor = backGroundColorLabel;
1085 app.ConfEvalPixelSizeLabel.HorizontalAlignment = 'center';
1086 %% Create ConfEvalPixelSizeEditField
1087 app.ConfEvalPixelSizeEditField = uieditfield(app.ConfEvalTabGridLayout, 'numeric');
1088 app.ConfEvalPixelSizeEditField.Layout.Row = 13;
1089 app.ConfEvalPixelSizeEditField.Layout.Column = 3;
1090 app.ConfEvalPixelSizeEditField.HorizontalAlignment = 'center';
1091 app.ConfEvalPixelSizeEditField.FontSize = app.fontsize14;
1092 app.ConfEvalPixelSizeEditField.Value = 5.3;
1093 %% Create ConfEvalKernelSizeLabel
1094 app.ConfEvalKernelSizeLabel = uilabel(app.ConfEvalTabGridLayout);

```

```
1095 app.ConfEvalKernelSizeLabel.Text = 'Kernel size in \%';  
1096 app.ConfEvalKernelSizeLabel.Layout.Row = 6;  
1097 app.ConfEvalKernelSizeLabel.Layout.Column = [3 4];  
1098 app.ConfEvalKernelSizeLabel.FontSize = app.fontsize14;  
1099 app.ConfEvalKernelSizeLabel.Interpreter = 'latex';  
1100 app.ConfEvalKernelSizeLabel.BackgroundColor = backGroundColorLabel;  
1101 app.ConfEvalKernelSizeLabel.HorizontalAlignment = 'center';  
1102 %% Create ConfEvalKernelSizeEditField  
1103 app.ConfEvalKernelSizeEditField = uieditfield(app.ConfEvalTabGridLayout,  
    'numeric');  
1104 app.ConfEvalKernelSizeEditField.Layout.Row = 7;  
1105 app.ConfEvalKernelSizeEditField.Layout.Column = [3 4];  
1106 app.ConfEvalKernelSizeEditField.Limits = [2 5];  
1107 app.ConfEvalKernelSizeEditField.HorizontalAlignment = 'center';  
1108 app.ConfEvalKernelSizeEditField.FontSize = app.fontsize14;  
1109 %% Create ConfEvalMethodLabel  
1110 app.ConfEvalMethodLabel = uilabel(app.ConfEvalTabGridLayout);  
1111 app.ConfEvalMethodLabel.Text = 'Evaluation Norm';  
1112 app.ConfEvalMethodLabel.Layout.Row = 16;  
1113 app.ConfEvalMethodLabel.Layout.Column = [1 2];  
1114 app.ConfEvalMethodLabel.FontSize = app.fontsize14;  
1115 app.ConfEvalMethodLabel.Interpreter = 'latex';  
1116 app.ConfEvalMethodLabel.BackgroundColor = backGroundColorLabel;  
1117 app.ConfEvalMethodLabel.HorizontalAlignment = 'center';  
1118 %% Create ConfEvalMethodDropDown  
1119 app.ConfEvalMethodDropDown = uidropdown(app.ConfEvalTabGridLayout);  
1120 app.ConfEvalMethodDropDown.Layout.Row = 17;  
1121 app.ConfEvalMethodDropDown.Layout.Column = [1 2];  
1122 app.ConfEvalMethodDropDown.Items = {'ISO11146-1'};  
1123 app.ConfEvalMethodDropDown.FontSize = app.fontsize14;  
1124 %% Create ConfEvalEvaluationButton  
1125 app.ConfEvalEvaluationButton = uibutton(app.ConfEvalTabGridLayout);  
1126 app.ConfEvalEvaluationButton.Text = 'Evaluate';  
1127 app.ConfEvalEvaluationButton.Layout.Row = 17;  
1128 app.ConfEvalEvaluationButton.Layout.Column = 3;  
1129 app.ConfEvalEvaluationButton.ButtonPushedFcn = @(src, event)  
    ConfEvalEvaluationButton_ButtonPushedFcn(app, src, event);  
1130 app.ConfEvalEvaluationButton.FontSize = app.fontsize14;  
1131 %% Create ConfEvalEvaluationStatusLabel  
1132 app.ConfEvalEvaluationStatusLabel = uilabel(app.ConfEvalTabGridLayout);  
1133 app.ConfEvalEvaluationStatusLabel.Layout.Row = 16;  
1134 app.ConfEvalEvaluationStatusLabel.Layout.Column = 3;  
1135 app.ConfEvalEvaluationStatusLabel.FontSize = app.fontsize14;  
1136 app.ConfEvalEvaluationStatusLabel.Interpreter = 'latex';  
1137 app.ConfEvalEvaluationStatusLabel.BackgroundColor = [1 0.07 0.2];  
1138 app.ConfEvalEvaluationStatusLabel.HorizontalAlignment = 'center';  
1139 app.ConfEvalEvaluationStatusLabel.Text = 'Standby';  
1140 %% Create ConfEvalSmpLabel  
1141 app.ConfEvalSmpLabel = uilabel(app.ConfEvalTabGridLayout);
```

```

1142 app.ConfEvalSmpLabel.Text = 'Measuring Point No.';
1143 app.ConfEvalSmpLabel.Layout.Row = 1;
1144 app.ConfEvalSmpLabel.Layout.Column = [7 8];
1145 app.ConfEvalSmpLabel.FontSize = app.fontsize14;
1146 app.ConfEvalSmpLabel.Interpreter = 'latex';
1147 app.ConfEvalSmpLabel.HorizontalAlignment = 'center';
1148 app.ConfEvalSmpLabel.BackgroundColor = backGroundColorLabel;
1149 %% Create ConfEvalSmpDropDown
1150 app.ConfEvalSmpDropDown = uidropdown(app.ConfEvalTabGridLayout);
1151 app.ConfEvalSmpDropDown.Layout.Row = 2;
1152 app.ConfEvalSmpDropDown.Layout.Column = [7 8];
1153 app.ConfEvalSmpDropDown.ValueChangedFcn = @(src, event)
    ConfEvalSmpDropDown_ValueChangedFcn(app, src, event);
1154 app.ConfEvalSmpDropDown.Items = {};
1155 app.ConfEvalSmpDropDown.Enable = 'off';
1156 app.ConfEvalSmpDropDown.FontSize = app.fontsize14;
1157 %% Create ConfEvalSmpImLabel
1158 app.ConfEvalSmpImLabel = uilabel(app.ConfEvalTabGridLayout);
1159 app.ConfEvalSmpImLabel.Text = 'Image No.';
1160 app.ConfEvalSmpImLabel.Layout.Row = 1;
1161 app.ConfEvalSmpImLabel.Layout.Column = 9 ;
1162 app.ConfEvalSmpImLabel.FontSize = app.fontsize14;
1163 app.ConfEvalSmpImLabel.Interpreter = 'latex';
1164 app.ConfEvalSmpImLabel.HorizontalAlignment = 'center';
1165 app.ConfEvalSmpImLabel.BackgroundColor = backGroundColorLabel;
1166 %% Create ConfEvalSmpImDropDown
1167 app.ConfEvalSmpImDropDown = uidropdown(app.ConfEvalTabGridLayout);
1168 app.ConfEvalSmpImDropDown.Layout.Row = 2;
1169 app.ConfEvalSmpImDropDown.Layout.Column = 9;
1170 app.ConfEvalSmpImDropDown.ValueChangedFcn = @(src, event)
    ConfEvalSmpImDropDown_ValueChangedFcn(app, src, event);
1171 app.ConfEvalSmpImDropDown.Items = {};
1172 app.ConfEvalSmpImDropDown.Enable = 'off';
1173 app.ConfEvalSmpImDropDown.FontSize = app.fontsize14;
1174 %% Create ConfEvalDrawRectButton
1175 app.ConfEvalDrawRectButton = uibutton(app.ConfEvalTabGridLayout);
1176 app.ConfEvalDrawRectButton.Text = 'Guess Beamarea';
1177 app.ConfEvalDrawRectButton.Layout.Row = 2;
1178 app.ConfEvalDrawRectButton.Layout.Column = 10;
1179 app.ConfEvalDrawRectButton.ButtonPushedFcn = @(src, event)
    ConfEvalDrawRectButton_ButtonPushedFcn(app, src, event);
1180 app.ConfEvalDrawRectButton.FontSize = app.fontsize14;
1181 %% Create ConfEvalPreviewImUIAxes
1182 app.ConfEvalPreviewImUIAxes = uiaxes(app.ConfEvalTabGridLayout);
1183 app.ConfEvalPreviewImUIAxes.Layout.Row = [3 14];
1184 app.ConfEvalPreviewImUIAxes.Layout.Column = [7 10];
1185 %%Create LiveMeasTab
1186 app.LiveMeasTab = uitab(app.TabGroup);
1187 app.LiveMeasTab.Title = 'Live Measurement';

```

```
1188 app.LiveMeasTab.Scrollable = 'on';
1189 app.LiveMeasTabGridLayout = uigridlayout(app.LiveMeasTab);
1190 app.LiveMeasTabGridLayout.RowHeight = {'1x','1x','1x','1x','1x','1x','1x',
1191     ', '1x','1x','1x','1x','1x','1x','1x','1x'};
1192 app.LiveMeasTabGridLayout.ColumnWidth = {'1x','1x','1x','1x','1x','1x','1x',
1193     ', '1x','1x'};;
1194 %% Create LiveMeasBackCorrMethodLabel
1195 app.LiveMeasBackCorrMethodLabel = uilabel(app.LiveMeasTabGridLayout);
1196 app.LiveMeasBackCorrMethodLabel.Text = 'Coarse Background Correction
1197 Method';
1198 app.LiveMeasBackCorrMethodLabel.Layout.Row = 2;
1199 app.LiveMeasBackCorrMethodLabel.Layout.Column = [1 2];
1200 app.LiveMeasBackCorrMethodLabel.FontSize = app.fontsize14;
1201 app.LiveMeasBackCorrMethodLabel.Interpreter = 'latex';
1202 app.LiveMeasBackCorrMethodLabel.BackgroundColor = backGroundColorLabel;
1203 app.LiveMeasBackCorrMethodLabel.HorizontalAlignment = 'center';
1204 %% Create LiveMeasBackCorrMethodDropDown
1205 app.LiveMeasBackCorrMethodDropDown = uidropdown(app.
1206     LiveMeasTabGridLayout);
1207 app.LiveMeasBackCorrMethodDropDown.Layout.Row = 3;
1208 app.LiveMeasBackCorrMethodDropDown.Layout.Column = [1 2];
1209 %           app.LiveMeasBackCorrMethodDropDown.Items = {'Background
1210     Map Subtraction', 'Average Background Substraction'};
1211 app.LiveMeasBackCorrMethodDropDown.FontSize = app.fontsize14;
1212 linkprop([app.ConfEvalBackCorrMethodDropDown app.
1213     LiveMeasBackCorrMethodDropDown], 'Items');
1214 %% Create LiveMeasFineBackCorrMethodLabel
1215 app.LiveMeasFineBackCorrMethodLabel = uilabel(app.LiveMeasTabGridLayout)
1216     ;
1217 app.LiveMeasFineBackCorrMethodLabel.Text = 'Fine Background Correction
1218 Method';
1219 app.LiveMeasFineBackCorrMethodLabel.Layout.Row = 2;
1220 app.LiveMeasFineBackCorrMethodLabel.Layout.Column = [3 4];
1221 app.LiveMeasFineBackCorrMethodLabel.FontSize = app.fontsize14;
1222 app.LiveMeasFineBackCorrMethodLabel.Interpreter = 'latex';
1223 app.LiveMeasFineBackCorrMethodLabel.BackgroundColor =
1224     backGroundColorLabel;
1225 app.LiveMeasFineBackCorrMethodLabel.HorizontalAlignment = 'center';
1226 %% Create LiveMeasFineBackCorrMethodDropDown
1227 app.LiveMeasFineBackCorrMethodDropDown = uidropdown(app.
1228     LiveMeasTabGridLayout);
1229 app.LiveMeasFineBackCorrMethodDropDown.Layout.Row = 3;
1230 app.LiveMeasFineBackCorrMethodDropDown.Layout.Column = [3 4];
1231 linkprop([app.ConfEvalFineBackCorrMethodDropDown app.
1232     LiveMeasFineBackCorrMethodDropDown], 'Items');
1233 app.LiveMeasFineBackCorrMethodDropDown.FontSize = app.fontsize14;
1234 % Create LiveMeasFineCorrValueLabel
1235 app.LiveMeasFineCorrValueLabel = uilabel(app.LiveMeasTabGridLayout);
1236 app.LiveMeasFineCorrValueLabel.Text = 'Fine Corr Value';
```

```
1226 app.LiveMeasFineCorrValueLabel.Layout.Row = 2;
1227 app.LiveMeasFineCorrValueLabel.Layout.Column = 5;
1228 app.LiveMeasFineCorrValueLabel.FontSize = app.fontsize14;
1229 app.LiveMeasFineCorrValueLabel.Interpreter = 'latex';
1230 app.LiveMeasFineCorrValueLabel.BackgroundColor = backGroundColorLabel;
1231 app.LiveMeasFineCorrValueLabel.HorizontalAlignment = 'center';
1232 %% Create LiveMeasFineCorrValueEditField
1233 app.LiveMeasFineCorrValueEditField = uieditfield(app.
1234     LiveMeasTabGridLayout, 'numeric');
1235 app.LiveMeasFineCorrValueEditField.Layout.Row = 3;
1236 app.LiveMeasFineCorrValueEditField.Layout.Column = 5;
1237 app.LiveMeasFineCorrValueEditField.Limits = [0 10];
1238 % app.ConfEvalNtEditField.ValueChangedFcn = @(src, event)
1239 %     ConfEvalNtFactorSlider_AllEvents(app, src, event);
1240 app.LiveMeasFineCorrValueEditField.HorizontalAlignment = 'center';
1241 app.LiveMeasFineCorrValueEditField.FontSize = app.fontsize14;
1242 app.LiveMeasFineCorrValueEditField.Value = 0;
1243 %% Create LiveMeasConvergeCriterionLabel
1244 app.LiveMeasConvergeCriterionLabel = uilabel(app.LiveMeasTabGridLayout);
1245 app.LiveMeasConvergeCriterionLabel.Text = '$\text{Convergence}%
1246 \text{Criterion} \text{ in } \mu m$';
1247 app.LiveMeasConvergeCriterionLabel.Layout.Row = 4;
1248 app.LiveMeasConvergeCriterionLabel.Layout.Column = [1 2];
1249 app.LiveMeasConvergeCriterionLabel.FontSize = app.fontsize14;
1250 app.LiveMeasConvergeCriterionLabel.Interpreter = 'latex';
1251 app.LiveMeasConvergeCriterionLabel.BackgroundColor =
1252     backGroundColorLabel;
1253 app.LiveMeasConvergeCriterionLabel.HorizontalAlignment = 'center';
1254 %% Create LiveMeasConvergeCriterionEditField
1255 app.LiveMeasConvergeCriterionEditField = uieditfield(app.
1256     LiveMeasTabGridLayout, 'numeric');
1257 app.LiveMeasConvergeCriterionEditField.Layout.Row = 5;
1258 app.LiveMeasConvergeCriterionEditField.Layout.Column = [1 2];
1259 app.LiveMeasConvergeCriterionEditField.Limits = [0.1 10];
1260 app.LiveMeasConvergeCriterionEditField.HorizontalAlignment = 'center';
1261 app.LiveMeasConvergeCriterionEditField.FontSize = app.fontsize14;
1262 %% Create LiveMeasNtFactorLabel
1263 app.LiveMeasNtFactorLabel = uilabel(app.LiveMeasTabGridLayout);
1264 app.LiveMeasNtFactorLabel.Text = 'nT standard deviation multiplicator';
1265 app.LiveMeasNtFactorLabel.Layout.Row = 6;
1266 app.LiveMeasNtFactorLabel.Layout.Column = [1 2];
1267 app.LiveMeasNtFactorLabel.FontSize = app.fontsize14;
1268 app.LiveMeasNtFactorLabel.Interpreter = 'latex';
1269 app.LiveMeasNtFactorLabel.BackgroundColor = backGroundColorLabel;
1270 app.LiveMeasNtFactorLabel.HorizontalAlignment = 'center';
1271 %% Create LiveMeasNtEditField
1272 app.LiveMeasNtEditField = uieditfield(app.LiveMeasTabGridLayout, 'numeric
1273 ');
1274 app.LiveMeasNtEditField.Layout.Row = 7;
```

```

1269 app.LiveMeasNtEditField.Layout.Column = [1 2];
1270 app.LiveMeasNtEditField.Limits = [2 4];
1271 app.LiveMeasNtEditField.HorizontalAlignment = 'center';
1272 app.LiveMeasNtEditField.FontSize = app.fontsize14;
1273 % Create LiveMeasIntegAreaFactorLabel
1274 app.LiveMeasIntegAreaFactorLabel = uilabel(app.LiveMeasTabGridLayout);
1275 app.LiveMeasIntegAreaFactorLabel.Text = 'Integrationrange multiplicator'
1276 ;
1277 app.LiveMeasIntegAreaFactorLabel.Layout.Row = 8;
1278 app.LiveMeasIntegAreaFactorLabel.Layout.Column = [1 2];
1279 app.LiveMeasIntegAreaFactorLabel.FontSize = app.fontsize14;
1280 app.LiveMeasIntegAreaFactorLabel.Interpreter = 'latex';
1281 app.LiveMeasIntegAreaFactorLabel.BackgroundColor = backGroundColorLabel;
1282 app.LiveMeasIntegAreaFactorLabel.HorizontalAlignment = 'center';
1283 % Create LiveMeasIntegAreaEditField
1284 app.LiveMeasIntegAreaEditField = uieditfield(app.LiveMeasTabGridLayout,
1285     'numeric');
1286 app.LiveMeasIntegAreaEditField.Layout.Row = 9;
1287 app.LiveMeasIntegAreaEditField.Layout.Column = [1 2];
1288 app.LiveMeasIntegAreaEditField.Limits = [1 3];
1289 app.LiveMeasIntegAreaEditField.HorizontalAlignment = 'center';
1290 app.LiveMeasIntegAreaEditField.FontSize = app.fontsize14;
1291 % Create LiveMeasResLabel
1292 app.LiveMeasResLabel = uilabel(app.LiveMeasTabGridLayout);
1293 app.LiveMeasResLabel.Text = 'Image Resolution W x H in pixel';
1294 app.LiveMeasResLabel.Layout.Row = 12;
1295 app.LiveMeasResLabel.Layout.Column = [1 2];
1296 app.LiveMeasResLabel.FontSize = app.fontsize14;
1297 app.LiveMeasResLabel.Interpreter = 'latex';
1298 app.LiveMeasResLabel.BackgroundColor = backGroundColorLabel;
1299 app.LiveMeasResLabel.HorizontalAlignment = 'center';
1300 % Create LiveMeasResWidthEditField
1301 app.LiveMeasResWidthEditField = uieditfield(app.LiveMeasTabGridLayout,
1302     'numeric');
1303 app.LiveMeasResWidthEditField.Layout.Row = 13;
1304 app.LiveMeasResWidthEditField.Layout.Column = 1;
1305 app.LiveMeasResWidthEditField.HorizontalAlignment = 'center';
1306 app.LiveMeasResWidthEditField.FontSize = app.fontsize14;
1307 app.LiveMeasResWidthEditField.Value = 1282;
1308 % Create LiveMeasResHeightEditField
1309 app.LiveMeasResHeightEditField = uieditfield(app.LiveMeasTabGridLayout,
1310     'numeric');
1311 app.LiveMeasResHeightEditField.Layout.Row = 13;
1312 app.LiveMeasResHeightEditField.Layout.Column = 2;
1313 app.LiveMeasResHeightEditField.HorizontalAlignment = 'center';

```

```

1314 app.LiveMeasPixelSizeLabel.Text = '$\text{PixelSize} \text{ in } \mu$';
1315 app.LiveMeasPixelSizeLabel.Layout.Row = 12;
1316 app.LiveMeasPixelSizeLabel.Layout.Column = 3;
1317 app.LiveMeasPixelSizeLabel.FontSize = app.fontSize14;
1318 app.LiveMeasPixelSizeLabel.Interpreter = 'latex';
1319 app.LiveMeasPixelSizeLabel.BackgroundColor = backGroundColorLabel;
1320 app.LiveMeasPixelSizeLabel.HorizontalAlignment = 'center';
1321 %% Create LiveMeasPixelSizeEditField
1322 app.LiveMeasPixelSizeEditField = uieditfield(app.LiveMeasTabGridLayout,
1323     'numeric');
1324 app.LiveMeasPixelSizeEditField.Layout.Row = 13;
1325 app.LiveMeasPixelSizeEditField.Layout.Column = 3;
1326 app.LiveMeasPixelSizeEditField.HorizontalAlignment = 'center';
1327 app.LiveMeasPixelSizeEditField.FontSize = app.fontSize14;
1328 app.LiveMeasPixelSizeEditField.Value = 5.3;
1329 %% Create LiveMeasKernelSizeLabel
1330 app.LiveMeasKernelSizeLabel = uilabel(app.LiveMeasTabGridLayout);
1331 app.LiveMeasKernelSizeLabel.Text = 'KernelSize in %';
1332 app.LiveMeasKernelSizeLabel.Layout.Row = 6;
1333 app.LiveMeasKernelSizeLabel.Layout.Column = [3 4];
1334 app.LiveMeasKernelSizeLabel.FontSize = app.fontSize14;
1335 app.LiveMeasKernelSizeLabel.Interpreter = 'latex';
1336 app.LiveMeasKernelSizeLabel.BackgroundColor = backGroundColorLabel;
1337 app.LiveMeasKernelSizeLabel.HorizontalAlignment = 'center';
1338 %% Create LiveMeasKernelSizeEditField
1339 app.LiveMeasKernelSizeEditField = uieditfield(app.LiveMeasTabGridLayout,
1340     'numeric');
1341 app.LiveMeasKernelSizeEditField.Layout.Row = 7;
1342 app.LiveMeasKernelSizeEditField.Layout.Column = [3 4];
1343 app.LiveMeasKernelSizeEditField.Limits = [2 5];
1344 app.LiveMeasKernelSizeEditField.HorizontalAlignment = 'center';
1345 app.LiveMeasKernelSizeEditField.FontSize = app.fontSize14;
1346 %% Create LiveMeasMethodLabel
1347 app.LiveMeasMethodLabel = uilabel(app.LiveMeasTabGridLayout);
1348 app.LiveMeasMethodLabel.Text = 'Evaluation Norm';
1349 app.LiveMeasMethodLabel.Layout.Row = 16;
1350 app.LiveMeasMethodLabel.Layout.Column = [1 2];
1351 app.LiveMeasMethodLabel.FontSize = app.fontSize14;
1352 app.LiveMeasMethodLabel.Interpreter = 'latex';
1353 app.LiveMeasMethodLabel.BackgroundColor = backGroundColorLabel;
1354 app.LiveMeasMethodLabel.HorizontalAlignment = 'center';
1355 %% Create LiveMeasMethodDropDown
1356 app.LiveMeasMethodDropDown = uidropdown(app.LiveMeasTabGridLayout);
1357 app.LiveMeasMethodDropDown.Layout.Row = 17;
1358 app.LiveMeasMethodDropDown.Layout.Column = [1 2];
1359 app.LiveMeasMethodDropDown.Items = {'ISO11146-1'};
app.LiveMeasMethodDropDown.FontSize = app.fontSize14;
%% Create LiveMeasPreviewImUIAxes

```

```

1360 app.LiveMeasPreviewImUIAxes = uiaxes(app.LiveMeasTabGridLayout);
1361 app.LiveMeasPreviewImUIAxes.Layout.Row = [1 8];
1362 app.LiveMeasPreviewImUIAxes.Layout.Column = [7 10];
1363 %% Create LiveMeasResultImUIAxes
1364 app.LiveMeasResultImUIAxes = uiaxes(app.LiveMeasTabGridLayout);
1365 app.LiveMeasResultImUIAxes.Layout.Row = [9 16];
1366 app.LiveMeasResultImUIAxes.Layout.Column = [7 10];
1367 %% Create LiveMeasStartStopButton
1368 app.LiveMeasStartStopButton = uibutton(app.LiveMeasTabGridLayout, 'state'
    );
1369 app.LiveMeasStartStopButton.Text = 'Start/Stop Live Measurement';
1370 app.LiveMeasStartStopButton.Layout.Row = 17;
1371 app.LiveMeasStartStopButton.Layout.Column = [3 4];
1372 app.LiveMeasStartStopButton.ValueChangedFcn = @(src, event)
    LiveMeasStartStopButton_ValueChangedFcn(app, src, event);
1373 app.LiveMeasStartStopButton.FontSize = app.fontsize14;
1374 app.LiveMeasStartStopButton.Enable = 'off';
1375 %% Create LiveMeasBackgroundMeasButton
1376 app.LiveMeasBackgroundMeasButton = uibutton(app.LiveMeasTabGridLayout);
1377 app.LiveMeasBackgroundMeasButton.Text = 'Measure Background';
1378 app.LiveMeasBackgroundMeasButton.Layout.Row = 16;
1379 app.LiveMeasBackgroundMeasButton.Layout.Column = [3 4];
1380 app.LiveMeasBackgroundMeasButton.ButtonPushedFcn = @(src, event)
    LiveMeasBackgroundMeasButton_ButtonPushedFcn(app, src, event);
1381 app.LiveMeasBackgroundMeasButton.FontSize = app.fontsize14;
1382 %% Create AutoMeasISO111146Part1StatusLabel
1383 app.LiveMeasStatusLabel = uilabel(app.LiveMeasTabGridLayout);
1384 app.LiveMeasStatusLabel.Layout.Row = 17;
1385 app.LiveMeasStatusLabel.Layout.Column = [5 6];
1386 app.LiveMeasStatusLabel.FontSize = app.fontsize14;
1387 app.LiveMeasStatusLabel.Interpreter = 'latex';
1388 app.LiveMeasStatusLabel.BackgroundColor = [1 0.07 0.2];
1389 app.LiveMeasStatusLabel.HorizontalAlignment = 'center';
1390 app.LiveMeasStatusLabel.Text = 'Inactive';
1391 %% Create LiveMeasImData_dWx_Label
1392 app.LiveMeasImData_dWx_Label = uilabel(app.LiveMeasTabGridLayout);
1393 app.LiveMeasImData_dWx_Label.Text = '$\text{Beamdiameter } d_{x} \backslash$'
    'textrm{ in } \mu m$';
1394 app.LiveMeasImData_dWx_Label.Interpreter = 'latex';
1395 app.LiveMeasImData_dWx_Label.HorizontalAlignment = 'center';
1396 app.LiveMeasImData_dWx_Label.BackgroundColor = backGroundColorLabel;
1397 app.LiveMeasImData_dWx_Label.Layout.Row = 9;
1398 app.LiveMeasImData_dWx_Label.Layout.Column = [4 5];
1399 %% Create LiveMeasImData_dWx
1400 app.LiveMeasImData_dWx = uieditfield(app.LiveMeasTabGridLayout, 'numeric'
    );
1401 app.LiveMeasImData_dWx.HorizontalAlignment = 'center';
1402 app.LiveMeasImData_dWx.Editable = 'off';
1403 app.LiveMeasImData_dWx.Layout.Row = 9;

```

```
1404 app.LiveMeasImData_dWx.Layout.Column = 6;
1405 %% Create LiveMeasImData_dWy_Label
1406 app.LiveMeasImData_dWy_Label = uilabel(app.LiveMeasTabGridLayout);
1407 app.LiveMeasImData_dWy_Label.Text = '$\text{Beamdiameter } d_{y} \backslash$';
1408 app.LiveMeasImData_dWy_Label.Interpreter = 'latex';
1409 app.LiveMeasImData_dWy_Label.HorizontalAlignment = 'center';
1410 app.LiveMeasImData_dWy_Label.BackgroundColor = backGroundColorLabel;
1411 app.LiveMeasImData_dWy_Label.Layout.Row = 10;
1412 app.LiveMeasImData_dWy_Label.Layout.Column = [4 5];
1413 %% Create LiveMeasImData_dWy
1414 app.LiveMeasImData_dWy = uieditfield(app.LiveMeasTabGridLayout, 'numeric');
1415 app.LiveMeasImData_dWy.HorizontalAlignment = 'center';
1416 app.LiveMeasImData_dWy.Editable = 'off';
1417 app.LiveMeasImData_dWy.Layout.Row = 10;
1418 app.LiveMeasImData_dWy.Layout.Column = 6;
1419 %% Create LiveMeasImData_phi_Label
1420 app.LiveMeasImData_phi_Label = uilabel(app.LiveMeasTabGridLayout);
1421 app.LiveMeasImData_phi_Label.Text = '$\text{Azimutangle } \varphi \backslash$';
1422 app.LiveMeasImData_phi_Label.Interpreter = 'latex';
1423 app.LiveMeasImData_phi_Label.HorizontalAlignment = 'center';
1424 app.LiveMeasImData_phi_Label.BackgroundColor = backGroundColorLabel;
1425 app.LiveMeasImData_phi_Label.Layout.Row = 11;
1426 app.LiveMeasImData_phi_Label.Layout.Column = [4 5];
1427 %% Create LiveMeasImData_phi
1428 app.LiveMeasImData_phi = uieditfield(app.LiveMeasTabGridLayout, 'numeric');
1429 app.LiveMeasImData_phi.HorizontalAlignment = 'center';
1430 app.LiveMeasImData_phi.Editable = 'off';
1431 app.LiveMeasImData_phi.Layout.Row = 11;
1432 app.LiveMeasImData_phi.Layout.Column = 6;
1433 %% Create LiveMeasTriggerImageButton
1434 app.LiveMeasTriggerImageButton = uibutton(app.LiveMeasTabGridLayout);
1435 app.LiveMeasTriggerImageButton.Text = 'Trigger Image';
1436 app.LiveMeasTriggerImageButton.Layout.Row = 2;
1437 app.LiveMeasTriggerImageButton.Layout.Column = 6;
1438 app.LiveMeasTriggerImageButton.ButtonPushedFcn = @(src, event)
    LiveMeasTriggerImageButton_ButtonPushedFcn(app, src, event);
1439 app.LiveMeasTriggerImageButton.FontSize = app.fontsize14;
1440 %% Create LiveMeasDrawRectButton
1441 app.LiveMeasDrawRectButton = uibutton(app.LiveMeasTabGridLayout);
1442 app.LiveMeasDrawRectButton.Text = 'Guess Beamarea';
1443 app.LiveMeasDrawRectButton.Layout.Row = 3;
1444 app.LiveMeasDrawRectButton.Layout.Column = 6;
1445 app.LiveMeasDrawRectButton.ButtonPushedFcn = @(src, event)
    LiveMeasDrawRectButton_ButtonPushedFcn(app, src, event);
1446 app.LiveMeasDrawRectButton.FontSize = app.fontsize14;
```

```
1447 %% Create LiveMeasChangeColorMapButton
1448 app.LiveMeasChangeColorMapButton = uibutton(app.LiveMeasTabGridLayout,
1449     'state');
1450 app.LiveMeasChangeColorMapButton.Text = 'Switch Color Map';
1451 app.LiveMeasChangeColorMapButton.Layout.Row = 13;
1452 app.LiveMeasChangeColorMapButton.Layout.Column = 6;
1453 app.LiveMeasChangeColorMapButton.FontSize = app.fontsize14;
1454 %% Create LiveMeasColorMinLabel
1455 app.LiveMeasColorMinLabel = uilabel(app.LiveMeasTabGridLayout);
1456 app.LiveMeasColorMinLabel.Text = 'Min Value';
1457 app.LiveMeasColorMinLabel.Layout.Row = 14;
1458 app.LiveMeasColorMinLabel.Layout.Column = 5;
1459 app.LiveMeasColorMinLabel.FontSize = app.fontsize14;
1460 app.LiveMeasColorMinLabel.Interpreter = 'latex';
1461 app.LiveMeasColorMinLabel.BackgroundColor = backGroundColorLabel;
1462 app.LiveMeasColorMinLabel.HorizontalAlignment = 'center';
1463 %% Create LiveMeasColorMinEditField
1464 app.LiveMeasColorMinEditField = uieditfield(app.LiveMeasTabGridLayout,
1465     'numeric');
1466 app.LiveMeasColorMinEditField.Layout.Row = 14;
1467 app.LiveMeasColorMinEditField.Layout.Column = 6;
1468 app.LiveMeasColorMinEditField.Limits = [0 255];
1469 app.LiveMeasColorMinEditField.HorizontalAlignment = 'center';
1470 app.LiveMeasColorMinEditField.FontSize = app.fontsize14;
1471 app.LiveMeasColorMinEditField.Value = app.LiveMeasColorMap(1);
1472 %% Create LiveMeasColorMaxLabel
1473 app.LiveMeasColorMaxLabel = uilabel(app.LiveMeasTabGridLayout);
1474 app.LiveMeasColorMaxLabel.Text = 'Max Value';
1475 app.LiveMeasColorMaxLabel.Layout.Row = 15;
1476 app.LiveMeasColorMaxLabel.Layout.Column = 5;
1477 app.LiveMeasColorMaxLabel.FontSize = app.fontsize14;
1478 app.LiveMeasColorMaxLabel.Interpreter = 'latex';
1479 app.LiveMeasColorMaxLabel.BackgroundColor = backGroundColorLabel;
1480 app.LiveMeasColorMaxLabel.HorizontalAlignment = 'center';
1481 %% Create LiveMeasColorMaxEditField
1482 app.LiveMeasColorMaxEditField = uieditfield(app.LiveMeasTabGridLayout,
1483     'numeric');
1484 app.LiveMeasColorMaxEditField.Layout.Row = 15;
1485 app.LiveMeasColorMaxEditField.Layout.Column = 6;
1486 app.LiveMeasColorMaxEditField.Limits = [0 255];
1487 app.LiveMeasColorMaxEditField.HorizontalAlignment = 'center';
1488 app.LiveMeasColorMaxEditField.FontSize = app.fontsize14;
1489 app.LiveMeasColorMaxEditField.Value = app.LiveMeasColorMap(2);
1490 %% Create LiveMeasNoOfImLabel
1491 app.LiveMeasNoOfImLabel = uilabel(app.LiveMeasTabGridLayout);
1492 app.LiveMeasNoOfImLabel.Text = 'No Of Background Images';
1493 app.LiveMeasNoOfImLabel.Layout.Row = 14;
1494 app.LiveMeasNoOfImLabel.Layout.Column = [3 4];
1495 app.LiveMeasNoOfImLabel.FontSize = app.fontsize14;
```

```
1493 app.LiveMeasNoOfImLabel.Interpreter = 'latex';
1494 app.LiveMeasNoOfImLabel.BackgroundColor = backGroundColorLabel;
1495 app.LiveMeasNoOfImLabel.HorizontalAlignment = 'center';
1496 %% Create LiveMeasNoOfImEditField
1497 app.LiveMeasNoOfImEditField = uieditfield(app.LiveMeasTabGridLayout,
1498     'numeric');
1499 app.LiveMeasNoOfImEditField.Layout.Row = 15;
1500 app.LiveMeasNoOfImEditField.Layout.Column = [3 4];
1501 app.LiveMeasNoOfImEditField.Limits = [10 9999];
1502 app.LiveMeasNoOfImEditField.HorizontalAlignment = 'center';
1503 app.LiveMeasNoOfImEditField.FontSize = app.fontsize14;
1504 app.LiveMeasNoOfImEditField.Value = 20;
1505 %% Create EvalResTab
1506 app.EvalResTab = uitab(app.EvalTabGroup);
1507 app.EvalResTab.Title = 'Evaluation Result';
1508 app.EvalResTab.Scrollable = 'on';
1509 %% Create EvalResTabGridLayout
1510 app.EvalResTabGridLayout = uigridlayout(app.EvalResTab);
1511 app.EvalResTabGridLayout.RowHeight = {'1x'};
1512 app.EvalResTabGridLayout.ColumnWidth = {'1x', '1x', '1x'};
1513 %% Create EvalResMeasDataPanel
1514 app.EvalResMeasDataPanel = uipanel(app.EvalResTabGridLayout);
1515 %% Create EvalResMeasDataGridLayout
1516 app.EvalResMeasDataGridLayout = uigridlayout(app.EvalResMeasDataPanel);
1517 app.EvalResMeasDataGridLayout.RowHeight = {30, 30, '1x', 30, 30, 30};
1518 app.EvalResMeasDataGridLayout.ColumnWidth = {'1x', '1x'};
1519 %% Create EvalResMeasLoadButton
1520 app.EvalResMeasLoadButton = uibutton(app.EvalResMeasDataGridLayout);
1521 app.EvalResMeasLoadButton.Layout.Row = 1;
1522 app.EvalResMeasLoadButton.Layout.Column = [1 2];
1523 app.EvalResMeasLoadButton.Text = 'Load Measurement';
1524 app.EvalResMeasLoadButton.FontSize = app.fontsize14;
1525 app.EvalResMeasLoadButton.ButtonPushedFcn = @(src, event)
    ConfEvalLoadMeasButton_ButtonPushedFcn(app, src, event);
1526 %% Create EvalResMeasDataResultDropDown_Label
1527 app.EvalResMeasDataResultDropDown_Label = uilabel(app.
    EvalResMeasDataGridLayout);
1528 app.EvalResMeasDataResultDropDown_Label.Layout.Row = 2;
1529 app.EvalResMeasDataResultDropDown_Label.Layout.Column = 1;
1530 app.EvalResMeasDataResultDropDown_Label.Text = 'Result No.';
1531 app.EvalResMeasDataResultDropDown_Label.FontSize = app.fontsize14;
1532 app.EvalResMeasDataResultDropDown_Label.HorizontalAlignment = 'center';
1533 app.EvalResMeasDataResultDropDown_Label.BackgroundColor =
    backGroundColorLabel;
1534 app.EvalResMeasDataResultDropDown_Label.Interpreter = 'latex';
1535 %% Create EvalResMeasDataResultDropDown
1536 app.EvalResMeasDataResultDropDown = uidropdown(app.
    EvalResMeasDataGridLayout);
app.EvalResMeasDataResultDropDown.Layout.Row = 2;
```

```

1537 app.EvalResMeasDataResultDropDown.Layout.Column = 2;
1538 app.EvalResMeasDataResultDropDown.ValueChangedFcn = @(src, event)
1539     EvalResMeasDataResultDropDown_ValueChangedFcn(app, src, event);
1540 app.EvalResMeasDataResultDropDown.Items = {};
1541 app.EvalResMeasDataResultDropDown.ItemsData = [];
1542 %% Create EvalResMeasDataParamsGridLayout
1543 app.EvalResMeasDataParamsGridLayout = uigridlayout(app.
1544     EvalResMeasDataGridLayout);
1545 app.EvalResMeasDataParamsGridLayout.Layout.Row = 3;
1546 app.EvalResMeasDataParamsGridLayout.Layout.Column = [1 2];
1547 app.EvalResMeasDataParamsGridLayout.RowHeight =
1548     {20,20,20,20,20,20,20,20,20,20,20,20,20,20,20,20,20,20,20};
1549 app.EvalResMeasDataParamsGridLayout.ColumnWidth = {'1x','1x'};
1550 app.EvalResMeasDataParamsGridLayout.Scrollable = 'on';
1551 %% Create EvalResMeasData_EvalNorm_Label
1552 app.EvalResMeasData_EvalNorm_Label = uilabel(app.
1553     EvalResMeasDataParamsGridLayout);
1554 app.EvalResMeasData_EvalNorm_Label.Text = 'Evaluation Norm';
1555 app.EvalResMeasData_EvalNorm_Label.Interpreter = 'latex';
1556 app.EvalResMeasData_EvalNorm_Label.HorizontalAlignment = 'center';
1557 app.EvalResMeasData_EvalNorm_Label.BackgroundColor =
1558     backGroundColorLabel;
1559 %% Create EvalResMeasData_EvalNorm
1560 app.EvalResMeasData_EvalNorm = uieditfield(app.
1561     EvalResMeasDataParamsGridLayout,'text');
1562 app.EvalResMeasData_EvalNorm.HorizontalAlignment = 'center';
1563 app.EvalResMeasData_EvalNorm.Editable = 'off';
1564 %% Create EvalResMeasData_BackCorrMethod_Label
1565 app.EvalResMeasData_BackCorrMethod_Label = uilabel(app.
1566     EvalResMeasDataParamsGridLayout);
1567 app.EvalResMeasData_BackCorrMethod_Label.Text = 'Background Correction
1568 Method';
1569 app.EvalResMeasData_BackCorrMethod_Label.Interpreter = 'latex';
1570 app.EvalResMeasData_BackCorrMethod_Label.HorizontalAlignment = 'center';
1571 app.EvalResMeasData_BackCorrMethod_Label.BackgroundColor =
1572     backGroundColorLabel;
1573 %% Create EvalResMeasData_BackCorrMethod
1574 app.EvalResMeasData_BackCorrMethod = uieditfield(app.
1575     EvalResMeasDataParamsGridLayout,'text');
1576 app.EvalResMeasData_BackCorrMethod.HorizontalAlignment = 'center';
1577 app.EvalResMeasData_BackCorrMethod.Editable = 'off';
1578 %% Create EvalResMeasData_ConvCrit_Label
1579 app.EvalResMeasData_ConvCrit_Label = uilabel(app.
1580     EvalResMeasDataParamsGridLayout);
1581 app.EvalResMeasData_ConvCrit_Label.Text = '$\text{Convergence
1582 Criterion} \in \mu m$';
1583 app.EvalResMeasData_ConvCrit_Label.Interpreter = 'latex';
1584 app.EvalResMeasData_ConvCrit_Label.HorizontalAlignment = 'center';
1585 app.EvalResMeasData_ConvCrit_Label.BackgroundColor =

```

```
1574         backGroundColorLabel;
1575 %% Create EvalResMeasData_ConvCrit
1576 app.EvalResMeasData_ConvCrit = uieditfield(app.
1577     EvalResMeasDataParamsGridLayout, 'numeric');
1578 app.EvalResMeasData_ConvCrit.HorizontalAlignment = 'center';
1579 app.EvalResMeasData_ConvCrit.Editable = 'off';
1580 %% Create EvalResMeasData_Lambda_Label
1581 app.EvalResMeasData_Lambda_Label = uilabel(app.
1582     EvalResMeasDataParamsGridLayout);
1583 app.EvalResMeasData_Lambda_Label.Text = '$\text{Wavelength }\lambda \text{ } \in \text{ nm } $';
1584 app.EvalResMeasData_Lambda_Label.Interpreter = 'latex';
1585 app.EvalResMeasData_Lambda_Label.HorizontalAlignment = 'center';
1586 app.EvalResMeasData_Lambda_Label.BackgroundColor = backGroundColorLabel;
1587 %% Create EvalResMeasData_Lambda
1588 app.EvalResMeasData_Lambda = uieditfield(app.
1589     EvalResMeasDataParamsGridLayout, 'numeric');
1590 app.EvalResMeasData_Lambda.HorizontalAlignment = 'center';
1591 app.EvalResMeasData_Lambda.Editable = 'off';
1592 %% Create EvalResMeasData_IntegAreaFactor_Label
1593 app.EvalResMeasData_IntegAreaFactor_Label = uilabel(app.
1594     EvalResMeasDataParamsGridLayout);
1595 app.EvalResMeasData_IntegAreaFactor_Label.Text = 'Integration Area Size
1596     Multipliator';
1597 app.EvalResMeasData_IntegAreaFactor_Label.Interpreter = 'latex';
1598 app.EvalResMeasData_IntegAreaFactor_Label.HorizontalAlignment = 'center'
1599 ;
1600 app.EvalResMeasData_IntegAreaFactor_Label.BackgroundColor =
1601     backGroundColorLabel;
1602 %% Create EvalResMeasData_IntegAreaFactor
1603 app.EvalResMeasData_IntegAreaFactor = uieditfield(app.
1604     EvalResMeasDataParamsGridLayout, 'numeric');
1605 app.EvalResMeasData_IntegAreaFactor.HorizontalAlignment = 'center';
1606 app.EvalResMeasData_IntegAreaFactor.Editable = 'off';
1607 %% Create EvalResMeasData_Nt_Label
1608 app.EvalResMeasData_Nt_Label = uilabel(app.
1609     EvalResMeasDataParamsGridLayout);
1610 app.EvalResMeasData_Nt_Label.Text = 'nT';
1611 app.EvalResMeasData_Nt_Label.Interpreter = 'latex';
1612 app.EvalResMeasData_Nt_Label.HorizontalAlignment = 'center';
1613 app.EvalResMeasData_Nt_Label.BackgroundColor = backGroundColorLabel;
1614 %% Create EvalResMeasData_Nt
1615 app.EvalResMeasData_Nt = uieditfield(app.EvalResMeasDataParamsGridLayout
1616 , 'numeric');
1617 app.EvalResMeasData_Nt.HorizontalAlignment = 'center';
1618 app.EvalResMeasData_Nt.Editable = 'off';
1619 %% Create EvalResMeasData_KernelSizeInPercent_Label
1620 app.EvalResMeasData_KernelSizeInPercent_Label = uilabel(app.
1621     EvalResMeasDataParamsGridLayout);
```

```

1610 app.EvalResMeasData_KernelSizeInPercent_Label.Text = 'Kernelsize in \%';
1611 app.EvalResMeasData_KernelSizeInPercent_Label.Interpreter = 'latex';
1612 app.EvalResMeasData_KernelSizeInPercent_Label.HorizontalAlignment = 'center';
1613 app.EvalResMeasData_KernelSizeInPercent_Label.BackgroundColor =
    backGroundColorLabel;
1614 %% Create EvalResMeasData_KernelSizeInPercent
1615 app.EvalResMeasData_KernelSizeInPercent = uieditfield(app.
    EvalResMeasDataParamsGridLayout,'numeric');
1616 app.EvalResMeasData_KernelSizeInPercent.HorizontalAlignment = 'center';
1617 app.EvalResMeasData_KernelSizeInPercent.Editable = 'off';
1618 %% Create EvalResMeasData_z_0_X_Label
1619 app.EvalResMeasData_z_0_X_Label = uilabel(app.
    EvalResMeasDataParamsGridLayout);
1620 app.EvalResMeasData_z_0_X_Label.Text = '$\text{textrm}{z}_{\text{textrm}{0x}}\text{textrm}{'.
    'in }\mu m$';
1621 app.EvalResMeasData_z_0_X_Label.Interpreter = 'latex';
1622 app.EvalResMeasData_z_0_X_Label.HorizontalAlignment = 'center';
1623 app.EvalResMeasData_z_0_X_Label.BackgroundColor = backGroundColorLabel;
1624 %% Create EvalResMeasData_z_0_X
1625 app.EvalResMeasData_z_0_X = uieditfield(app.
    EvalResMeasDataParamsGridLayout,'numeric','ValueDisplayFormat','%.1f').
1626 app.EvalResMeasData_z_0_X.HorizontalAlignment = 'center';
1627 app.EvalResMeasData_z_0_X.Editable = 'off';
1628 %% Create EvalResMeasData_z_R_X_Label
1629 app.EvalResMeasData_z_R_X_Label = uilabel(app.
    EvalResMeasDataParamsGridLayout);
1630 app.EvalResMeasData_z_R_X_Label.Text = '$\text{textrm}{z}_{\text{textrm}{Rx}}\text{textrm}{'.
    'in }\mu m$';
1631 app.EvalResMeasData_z_R_X_Label.Interpreter = 'latex';
1632 app.EvalResMeasData_z_R_X_Label.HorizontalAlignment = 'center';
1633 app.EvalResMeasData_z_R_X_Label.BackgroundColor = backGroundColorLabel;
1634 %% Create EvalResMeasData_z_R_X
1635 app.EvalResMeasData_z_R_X = uieditfield(app.
    EvalResMeasDataParamsGridLayout,'numeric','ValueDisplayFormat','%.1f').
1636 app.EvalResMeasData_z_R_X.HorizontalAlignment = 'center';
1637 app.EvalResMeasData_z_R_X.Editable = 'off';
1638 %% Create EvalResMeasData_d_0_X_Label
1639 app.EvalResMeasData_d_0_X_Label = uilabel(app.
    EvalResMeasDataParamsGridLayout);
1640 app.EvalResMeasData_d_0_X_Label.Text = '$\text{textrm}{d}_{\text{textrm}{0x}}\text{textrm}{'.
    'in }\mu m$';
1641 app.EvalResMeasData_d_0_X_Label.Interpreter = 'latex';
1642 app.EvalResMeasData_d_0_X_Label.HorizontalAlignment = 'center';
1643 app.EvalResMeasData_d_0_X_Label.BackgroundColor = backGroundColorLabel;
1644 %% Create EvalResMeasData_d_0_X
1645 app.EvalResMeasData_d_0_X = uieditfield(app.

```

```

    EvalResMeasDataParamsGridLayout, 'numeric', 'ValueDisplayFormat', '%.1f
    ');
1646 app.EvalResMeasData_d_0_X.HorizontalAlignment = 'center';
1647 app.EvalResMeasData_d_0_X.Editable = 'off';
1648 %% Create EvalResMeasData_theta_X_Label
1649 app.EvalResMeasData_theta_X_Label = uilabel(app.
    EvalResMeasDataParamsGridLayout);
1650 app.EvalResMeasData_theta_X_Label.Text = '$\Theta_{\text{textrm{x}}}\text{textrm{
    in rad}}$';
1651 app.EvalResMeasData_theta_X_Label.Interpreter = 'latex';
1652 app.EvalResMeasData_theta_X_Label.HorizontalAlignment = 'center';
1653 app.EvalResMeasData_theta_X_Label.BackgroundColor = backGroundColorLabel
    ;
1654 %% Create EvalResMeasData_theta_X
1655 app.EvalResMeasData_theta_X = uieditfield(app.
    EvalResMeasDataParamsGridLayout, 'numeric', 'ValueDisplayFormat', '%.6f
    ');
1656 app.EvalResMeasData_theta_X.HorizontalAlignment = 'center';
1657 app.EvalResMeasData_theta_X.Editable = 'off';
1658 %% Create EvalResMeasData_M_squared_X_Label
1659 app.EvalResMeasData_M_squared_X_Label = uilabel(app.
    EvalResMeasDataParamsGridLayout);
1660 app.EvalResMeasData_M_squared_X_Label.Text = '$\text{textrm{M}}^2_{\text{textrm{x
    }}}$';
1661 app.EvalResMeasData_M_squared_X_Label.Interpreter = 'latex';
1662 app.EvalResMeasData_M_squared_X_Label.HorizontalAlignment = 'center';
1663 app.EvalResMeasData_M_squared_X_Label.BackgroundColor =
    backGroundColorLabel;
1664 %% Create EvalResMeasData_M_squared_X
1665 app.EvalResMeasData_M_squared_X = uieditfield(app.
    EvalResMeasDataParamsGridLayout, 'numeric', 'ValueDisplayFormat', '%.6f
    ');
1666 app.EvalResMeasData_M_squared_X.HorizontalAlignment = 'center';
1667 app.EvalResMeasData_M_squared_X.Editable = 'off';
1668 %% Create EvalResMeasData_z_0_Y_Label
1669 app.EvalResMeasData_z_0_Y_Label = uilabel(app.
    EvalResMeasDataParamsGridLayout);
1670 app.EvalResMeasData_z_0_Y_Label.Text = '$z_{\text{textrm{0y}}}\text{textrm{
    in }} \mu m$';
1671 app.EvalResMeasData_z_0_Y_Label.Interpreter = 'latex';
1672 app.EvalResMeasData_z_0_Y_Label.HorizontalAlignment = 'center';
1673 app.EvalResMeasData_z_0_Y_Label.BackgroundColor = backGroundColorLabel;
1674 %% Create EvalResMeasData_z_0_Y
1675 app.EvalResMeasData_z_0_Y = uieditfield(app.
    EvalResMeasDataParamsGridLayout, 'numeric', 'ValueDisplayFormat', '%.1f
    ');
1676 app.EvalResMeasData_z_0_Y.HorizontalAlignment = 'center';
1677 app.EvalResMeasData_z_0_Y.Editable = 'off';
1678 %% Create EvalResMeasData_z_R_Y_Label

```

```
1679 app.EvalResMeasData_z_R_Y_Label = uilabel(app.
1680     EvalResMeasDataParamsGridLayout);
1681 app.EvalResMeasData_z_R_Y_Label.Text = '$\\text{rm{z}}_{\\text{R}}$';
1682 app.EvalResMeasData_z_R_Y_Label.Interpreter = 'latex';
1683 app.EvalResMeasData_z_R_Y_Label.HorizontalAlignment = 'center';
1684 app.EvalResMeasData_z_R_Y_Label.BackgroundColor = backGroundColorLabel;
1685 %% Create EvalResMeasData_z_R_Y
1686 app.EvalResMeasData_z_R_Y = uieditfield(app.
1687     EvalResMeasDataParamsGridLayout,'numeric','ValueDisplayFormat','%.1f
1688     ');
1689 app.EvalResMeasData_z_R_Y.HorizontalAlignment = 'center';
1690 app.EvalResMeasData_z_R_Y.Editable = 'off';
1691 %% Create EvalResMeasData_d_0_Y_Label
1692 app.EvalResMeasData_d_0_Y_Label = uilabel(app.
1693     EvalResMeasDataParamsGridLayout);
1694 app.EvalResMeasData_d_0_Y_Label.Text = '$\\text{d}_{\\text{0}}$';
1695 app.EvalResMeasData_d_0_Y_Label.Interpreter = 'latex';
1696 app.EvalResMeasData_d_0_Y_Label.HorizontalAlignment = 'center';
1697 app.EvalResMeasData_d_0_Y_Label.BackgroundColor = backGroundColorLabel;
1698 %% Create EvalResMeasData_d_0_Y
1699 app.EvalResMeasData_d_0_Y = uieditfield(app.
1700     EvalResMeasDataParamsGridLayout,'numeric','ValueDisplayFormat','%.1f
1701     ');
1702 app.EvalResMeasData_d_0_Y.HorizontalAlignment = 'center';
1703 app.EvalResMeasData_d_0_Y.Editable = 'off';
1704 %% Create EvalResMeasData_theta_Y_Label
1705 app.EvalResMeasData_theta_Y_Label = uilabel(app.
1706     EvalResMeasDataParamsGridLayout);
1707 app.EvalResMeasData_theta_Y_Label.Text = '$\\Theta_{\\text{y}}$';
1708 app.EvalResMeasData_theta_Y_Label.Interpreter = 'latex';
1709 app.EvalResMeasData_theta_Y_Label.HorizontalAlignment = 'center';
1710 app.EvalResMeasData_theta_Y_Label.BackgroundColor = backGroundColorLabel
1711 %% Create EvalResMeasData_theta_Y
1712 app.EvalResMeasData_theta_Y = uieditfield(app.
1713     EvalResMeasDataParamsGridLayout,'numeric','ValueDisplayFormat','%.6f
1714     ');
1715 app.EvalResMeasData_theta_Y.HorizontalAlignment = 'center';
1716 app.EvalResMeasData_theta_Y.Editable = 'off';
1717 %% Create EvalResMeasData_M_squared_Y_Label
1718 app.EvalResMeasData_M_squared_Y_Label = uilabel(app.
1719     EvalResMeasDataParamsGridLayout);
1720 app.EvalResMeasData_M_squared_Y_Label.Text = '$M^2_{\\text{y}}$';
1721 app.EvalResMeasData_M_squared_Y_Label.Interpreter = 'latex';
1722 app.EvalResMeasData_M_squared_Y_Label.HorizontalAlignment = 'center';
```

```
1713 app.EvalResMeasData_M_squared_Y_Label.BackgroundColor =
    backGroundColorLabel;
1714 %% Create EvalResMeasData_M_squared_Y
1715 app.EvalResMeasData_M_squared_Y = uieditfield(app.
    EvalResMeasDataParamsGridLayout,'numeric','ValueDisplayFormat','%.6f
    ');
1716 app.EvalResMeasData_M_squared_Y.HorizontalAlignment = 'center';
1717 app.EvalResMeasData_M_squared_Y.Editable = 'off';
1718 %% Create EvalResMeasData_M_squared_eff_Label
1719 app.EvalResMeasData_M_squared_eff_Label = uilabel(app.
    EvalResMeasDataParamsGridLayout);
1720 app.EvalResMeasData_M_squared_eff_Label.Text = '$\text{textrm{M}}^2_{-}\{\text{textrm
    \{eff\}}\$';
1721 app.EvalResMeasData_M_squared_eff_Label.Interpreter = 'latex';
1722 app.EvalResMeasData_M_squared_eff_Label.HorizontalAlignment = 'center';
1723 app.EvalResMeasData_M_squared_eff_Label.BackgroundColor =
    backGroundColorLabel;
1724 %% Create EvalResMeasData_M_squared_eff
1725 app.EvalResMeasData_M_squared_eff = uieditfield(app.
    EvalResMeasDataParamsGridLayout,'numeric','ValueDisplayFormat','%.6f
    ');
1726 app.EvalResMeasData_M_squared_eff.HorizontalAlignment = 'center';
1727 app.EvalResMeasData_M_squared_eff.Editable = 'off';

1728 %% Create EvalResMeasDataResultDropDown
1729 app.EvalResPlotChooserDropDown = uidropdown(app.
    EvalResMeasDataGridLayout);
1730 app.EvalResPlotChooserDropDown.Layout.Row = 5;
1731 app.EvalResPlotChooserDropDown.Layout.Column = 1;
1732 app.EvalResPlotChooserDropDown.FontSize = app.fontsize14;
1733 app.EvalResPlotChooserDropDown.Items = {'Plot Radius X of all MP',...
    'Plot Radius Y of all MP',...
    'Plot 2D Intensity Distribution X of selected MP',...
    'Plot 2D Intensity Distribution Y of selected MP',...
    'Plot 3D Intensity Distribution of selected MP',...
    'Plot Spatial Spectrum of selected MP',...
    'Plot 2D Spectral Distribution X of selected MP',...
    'Plot 2D Spectral Distribution Y of selected MP',...
    'Plot Close Up of Beamprofile',...
    'Plot Diameter X squared Datapoints with fitted curve',...
    'Plot Diameter Y squared Datapoints with fitted curve'};

1734 %% Create EvalResMeasPlotDivYButton
1735 app.EvalResMeasPlotButton = uibutton(app.EvalResMeasDataGridLayout);
1736 app.EvalResMeasPlotButton.Layout.Row = 5;
1737 app.EvalResMeasPlotButton.Layout.Column = 2;
1738 app.EvalResMeasPlotButton.Text = 'Plot Selection';
1739 app.EvalResMeasPlotButton.FontSize = app.fontsize14;
1740 app.EvalResMeasPlotButton.ButtonPushedFcn = @(src, event)
    EvalResMeasPlotButton_ButtonPushedFcn(app, src, event);
```

```
1752 %% Create EvalResSaveMeasButton
1753 app.EvalResSaveMeasButton = uibutton(app.EvalResMeasGridLayout);
1754 app.EvalResSaveMeasButton.Layout.Row = 6;
1755 app.EvalResSaveMeasButton.Layout.Column = 1;
1756 app.EvalResSaveMeasButton.Text = 'Save';
1757 app.EvalResSaveMeasButton.FontSize = app.fontsize14;
1758 app.EvalResSaveMeasButton.ButtonPushedFcn = @(src,event)
1759     EvalResSaveMeasButton_ButtonPushedFcn(app,src,event);
1760 %% Create EvalResExportMeasButton
1761 app.EvalResExportMeasButton = uibutton(app.EvalResMeasGridLayout);
1762 app.EvalResExportMeasButton.Layout.Row = 6;
1763 app.EvalResExportMeasButton.Layout.Column = 2;
1764 app.EvalResExportMeasButton.Text = 'Export Report';
1765 app.EvalResExportMeasButton.FontSize = app.fontsize14;
1766 app.EvalResExportMeasButton.Visible = 'off';
1767 %% Create EvalResHoldPlotButton
1768 app.EvalResHoldPlotButton = uibutton(app.EvalResMeasGridLayout, 'state');
1769 app.EvalResHoldPlotButton.Layout.Row = 4;
1770 app.EvalResHoldPlotButton.Layout.Column = 1;
1771 app.EvalResHoldPlotButton.Text = 'Hold Data';
1772 app.EvalResHoldPlotButton.FontSize = app.fontsize14;
1773 %% Create EvalResSmpDataPanel
1774 app.EvalResSmpDataPanel = uipanel(app.EvalResTabGridLayout);
1775 app.EvalResSmpDataGridLayout = uigridlayout(app.EvalResSmpDataPanel);
1776 app.EvalResSmpDataGridLayout.RowHeight = {30, '1x', 60};
1777 app.EvalResSmpDataGridLayout.ColumnWidth = {'1x', '1x'};
1778 %% Create EvalResSmpDataDropDown_Label
1779 app.EvalResSmpDataDropDown_Label = uilabel(app.EvalResSmpDataGridLayout)
1780 ;
1781 app.EvalResSmpDataDropDown_Label.Layout.Row = 1;
1782 app.EvalResSmpDataDropDown_Label.Layout.Column = 1;
1783 app.EvalResSmpDataDropDown_Label.Text = 'Measuring Point No.';
1784 app.EvalResSmpDataDropDown_Label.BackgroundColor = backGroundColorLabel;
1785 app.EvalResSmpDataDropDown_Label.FontSize = app.fontsize14;
1786 app.EvalResSmpDataDropDown_Label.HorizontalAlignment = 'center';
1787 app.EvalResSmpDataDropDown_Label.Interpreter = 'latex';
1788 %% Create EvalResSmpDataDropDown
1789 app.EvalResSmpDataDropDown = uidropdown(app.EvalResSmpDataGridLayout);
1790 app.EvalResSmpDataDropDown.Layout.Row = 1;
1791 app.EvalResSmpDataDropDown.Layout.Column = 2;
1792 app.EvalResSmpDataDropDown.Items = {};
1793 app.EvalResSmpDataDropDown.ValueChangedFcn = @(src, event)
1794     EvalResSmpDataDropDown_ValueChangedFcn(app, src, event);
1795 %% Create EvalResSmpDataParamsGridLayout
1796 app.EvalResSmpDataParamsGridLayout = uigridlayout(app.
1797     EvalResSmpDataGridLayout);
1798 app.EvalResSmpDataParamsGridLayout.Layout.Row = 2;
1799 app.EvalResSmpDataParamsGridLayout.Layout.Column = [1 2];
```

```
1796
1797
1798
1799
1800
1801
1802
1803
1804
1805
1806
1807
1808
1809
1810
1811
1812
1813
1814
1815
1816
1817
1818
1819
1820
1821
1822
1823
1824
1825
1826
1827
1828
1829
1830
1831
1832

    app.EvalResSmpDataParamsGridLayout.RowHeight =
        {20,20,20,20,20,20,20,20,20,20,20,20,20,20,20,20};
    app.EvalResSmpDataParamsGridLayout.ColumnWidth = {'1x','1x'};
    app.EvalResSmpDataParamsGridLayout.Scrollable = 'on';
% Create EvalResSmpData_W_X_Label
    app.EvalResSmpData_W_X_Label = uilabel(app.
        EvalResSmpDataParamsGridLayout);
    app.EvalResSmpData_W_X_Label.Text = '$\langle x \rangle_{\text{mean}}$'
        textrm{ in } \mu m$';
    app.EvalResSmpData_W_X_Label.Interpreter = 'latex';
    app.EvalResSmpData_W_X_Label.HorizontalAlignment = 'center';
    app.EvalResSmpData_W_X_Label.BackgroundColor = backGroundColorLabel;
% Create EvalResSmpData_W_X
    app.EvalResSmpData_W_X = uieditfield(app.EvalResSmpDataParamsGridLayout,
        'numeric');
    app.EvalResSmpData_W_X.HorizontalAlignment = 'center';
    app.EvalResSmpData_W_X.Editable = 'off';
% Create EvalResSmpData_W_X_std_Label
    app.EvalResSmpData_W_X_std_Label = uilabel(app.
        EvalResSmpDataParamsGridLayout);
    app.EvalResSmpData_W_X_std_Label.Text = '$\langle x \rangle_{\text{std}}
        textrm{ in } \mu m$';
    app.EvalResSmpData_W_X_std_Label.Interpreter = 'latex';
    app.EvalResSmpData_W_X_std_Label.HorizontalAlignment = 'center';
    app.EvalResSmpData_W_X_std_Label.BackgroundColor = backGroundColorLabel;
% Create EvalResSmpData_W_X_std
    app.EvalResSmpData_W_X_std = uieditfield(app.
        EvalResSmpDataParamsGridLayout, 'numeric');
    app.EvalResSmpData_W_X_std.HorizontalAlignment = 'center';
    app.EvalResSmpData_W_X_std.Editable = 'off';
% Create EvalResSmpData_W_Y_Label
    app.EvalResSmpData_W_Y_Label = uilabel(app.
        EvalResSmpDataParamsGridLayout);
    app.EvalResSmpData_W_Y_Label.Text = '$\langle y \rangle_{\text{mean}}$'
        textrm{ in } \mu m$';
    app.EvalResSmpData_W_Y_Label.Interpreter = 'latex';
    app.EvalResSmpData_W_Y_Label.HorizontalAlignment = 'center';
    app.EvalResSmpData_W_Y_Label.BackgroundColor = backGroundColorLabel;
% Create EvalResSmpData_W_Y
    app.EvalResSmpData_W_Y = uieditfield(app.EvalResSmpDataParamsGridLayout,
        'numeric');
    app.EvalResSmpData_W_Y.HorizontalAlignment = 'center';
    app.EvalResSmpData_W_Y.Editable = 'off';
% Create EvalResSmpData_W_Y_std_Label
    app.EvalResSmpData_W_Y_std_Label = uilabel(app.
        EvalResSmpDataParamsGridLayout);
    app.EvalResSmpData_W_Y_std_Label.Text = '$\langle y \rangle_{\text{std}}
        textrm{ in } \mu m$';
    app.EvalResSmpData_W_Y_std_Label.Interpreter = 'latex';
```

```
1833 app.EvalResSmpData_W_Y_std.Label.HorizontalAlignment = 'center';
1834 app.EvalResSmpData_W_Y_std.Label.BackgroundColor = backGroundColorLabel;
1835 %% Create EvalResSmpData_W_Y_std
1836 app.EvalResSmpData_W_Y_std = uieditfield(app.
1837     EvalResSmpDataParamsGridLayout, 'numeric');
1838 app.EvalResSmpData_W_Y_std.HorizontalAlignment = 'center';
1839 app.EvalResSmpData_W_Y_std.Editable = 'off';
1840 %% Create EvalResSmpData_W_X_squared_Label
1841 app.EvalResSmpData_W_X_squared_Label = uilabel(app.
1842     EvalResSmpDataParamsGridLayout);
1843 app.EvalResSmpData_W_X_squared_Label.Text = '$\langle x^2 \rangle_{\text{mean}}$';
1844 app.EvalResSmpData_W_X_squared_Label.Interpreter = 'latex';
1845 app.EvalResSmpData_W_X_squared_Label.HorizontalAlignment = 'center';
1846 app.EvalResSmpData_W_X_squared_Label.BackgroundColor =
1847     backGroundColorLabel;
1848 %% Create EvalResSmpData_W_X_squared
1849 app.EvalResSmpData_W_X_squared = uieditfield(app.
1850     EvalResSmpDataParamsGridLayout, 'numeric');
1851 app.EvalResSmpData_W_X_squared.HorizontalAlignment = 'center';
1852 app.EvalResSmpData_W_X_squared.Editable = 'off';
1853 %% Create EvalResSmpData_W_X_squared_std_Label
1854 app.EvalResSmpData_W_X_squared_std_Label = uilabel(app.
1855     EvalResSmpDataParamsGridLayout);
1856 app.EvalResSmpData_W_X_squared_std_Label.Text = '$\langle x^2 \rangle_{\text{std}}$';
1857 app.EvalResSmpData_W_X_squared_std_Label.Interpreter = 'latex';
1858 app.EvalResSmpData_W_X_squared_std_Label.HorizontalAlignment = 'center';
1859 app.EvalResSmpData_W_X_squared_std_Label.BackgroundColor =
1860     backGroundColorLabel;
1861 %% Create EvalResSmpData_W_X_squared_std
1862 app.EvalResSmpData_W_X_squared_std = uieditfield(app.
1863     EvalResSmpDataParamsGridLayout, 'numeric');
1864 app.EvalResSmpData_W_X_squared_std.HorizontalAlignment = 'center';
1865 app.EvalResSmpData_W_X_squared_std.Editable = 'off';
1866 %% Create EvalResSmpData_W_Y_squared_Label
1867 app.EvalResSmpData_W_Y_squared_Label = uilabel(app.
1868     EvalResSmpDataParamsGridLayout);
1869 app.EvalResSmpData_W_Y_squared_Label.Text = '$\langle y^2 \rangle_{\text{mean}}$';
1870 app.EvalResSmpData_W_Y_squared_Label.Interpreter = 'latex';
1871 app.EvalResSmpData_W_Y_squared_Label.HorizontalAlignment = 'center';
1872 app.EvalResSmpData_W_Y_squared_Label.BackgroundColor =
1873     backGroundColorLabel;
1874 %% Create EvalResSmpData_W_Y_squared
1875 app.EvalResSmpData_W_Y_squared = uieditfield(app.
1876     EvalResSmpDataParamsGridLayout, 'numeric');
1877 app.EvalResSmpData_W_Y_squared.HorizontalAlignment = 'center';
1878 app.EvalResSmpData_W_Y_squared.Editable = 'off';
```

```
1869
1870    %% Create EvalResSmpData_W_Y_squared_std_Label
1871    app.EvalResSmpData_W_Y_squared_std_Label = uilabel(app.
1872        EvalResSmpDataParamsGridLayout);
1873        app.EvalResSmpData_W_Y_squared_std_Label.Text = '$\langle y^2 \rangle$';
1874        app.EvalResSmpData_W_Y_squared_std_Label.Interpreter = 'latex';
1875        app.EvalResSmpData_W_Y_squared_std_Label.HorizontalAlignment = 'center';
1876        app.EvalResSmpData_W_Y_squared_std_Label.BackgroundColor =
1877            backGroundColorLabel;
1878    %% Create EvalResSmpData_W_Y_squared_std
1879    app.EvalResSmpData_W_Y_squared_std = uieditfield(app.
1880        EvalResSmpDataParamsGridLayout, 'numeric');
1881        app.EvalResSmpData_W_Y_squared_std.HorizontalAlignment = 'center';
1882        app.EvalResSmpData_W_Y_squared_std.Editable = 'off';
1883    %% Create EvalResSmpData_W_XY_Label
1884    app.EvalResSmpData_W_XY_Label = uilabel(app.
1885        EvalResSmpDataParamsGridLayout);
1886        app.EvalResSmpData_W_XY_Label.Text = '$\langle xy \rangle$';
1887        app.EvalResSmpData_W_XY_Label.Interpreter = 'latex';
1888        app.EvalResSmpData_W_XY_Label.HorizontalAlignment = 'center';
1889        app.EvalResSmpData_W_XY_Label.BackgroundColor = backGroundColorLabel;
1890    %% Create EvalResSmpData_W_XY
1891    app.EvalResSmpData_W_XY = uieditfield(app.EvalResSmpDataParamsGridLayout
1892        , 'numeric');
1893        app.EvalResSmpData_W_XY.HorizontalAlignment = 'center';
1894        app.EvalResSmpData_W_XY.Editable = 'off';
1895    %% Create EvalResSmpData_W_XY_std_Label
1896    app.EvalResSmpData_W_XY_std_Label = uilabel(app.
1897        EvalResSmpDataParamsGridLayout);
1898        app.EvalResSmpData_W_XY_std_Label.Text = '$\langle xy \rangle$';
1899        app.EvalResSmpData_W_XY_std_Label.Interpreter = 'latex';
1900        app.EvalResSmpData_W_XY_std_Label.HorizontalAlignment = 'center';
1901        app.EvalResSmpData_W_XY_std_Label.BackgroundColor = backGroundColorLabel
1902    %% Create EvalResSmpData_W_XY_std
1903    app.EvalResSmpData_W_XY_std = uieditfield(app.
1904        EvalResSmpDataParamsGridLayout, 'numeric');
1905        app.EvalResSmpData_W_XY_std.HorizontalAlignment = 'center';
1906        app.EvalResSmpData_W_XY_std.Editable = 'off';
1907    %% Create EvalResSmpData_dWx_Label
1908    app.EvalResSmpData_dWx_Label = uilabel(app.
1909        EvalResSmpDataParamsGridLayout);
1910        app.EvalResSmpData_dWx_Label.Text = '$d_{beamdiameter}$';
1911        app.EvalResSmpData_dWx_Label.Interpreter = 'latex';
1912        app.EvalResSmpData_dWx_Label.HorizontalAlignment = 'center';
1913        app.EvalResSmpData_dWx_Label.BackgroundColor = backGroundColorLabel;
```

```
1905 %% Create EvalResSmpData_dWx
1906 app.EvalResSmpData_dWx = uieditfield(app.EvalResSmpDataParamsGridLayout,
1907     'numeric');
1908 app.EvalResSmpData_dWx.HorizontalAlignment = 'center';
1909 app.EvalResSmpData_dWx.Editable = 'off';
1910 %% Create EvalResSmpData_dWx_std_Label
1911 app.EvalResSmpData_dWx_std_Label = uilabel(app.
1912     EvalResSmpDataParamsGridLayout);
1913 app.EvalResSmpData_dWx_std_Label.Text = '$\\text{Beamdiameter } d_{x}\\text{ in } \\mu m$';
1914 app.EvalResSmpData_dWx_std_Label.Interpreter = 'latex';
1915 app.EvalResSmpData_dWx_std_Label.HorizontalAlignment = 'center';
1916 app.EvalResSmpData_dWx_std_Label.BackgroundColor = backGroundColorLabel;
1917 %% Create EvalResSmpData_dWx_std
1918 app.EvalResSmpData_dWx_std = uieditfield(app.
1919     EvalResSmpDataParamsGridLayout, 'numeric');
1920 app.EvalResSmpData_dWx_std.HorizontalAlignment = 'center';
1921 app.EvalResSmpData_dWx_std.Editable = 'off';
1922 %% Create EvalResSmpData_dWy_Label
1923 app.EvalResSmpData_dWy_Label = uilabel(app.
1924     EvalResSmpDataParamsGridLayout);
1925 app.EvalResSmpData_dWy_Label.Text = '$\\text{Beamdiameter } d_{y}\\text{ in } \\mu m$';
1926 app.EvalResSmpData_dWy_Label.Interpreter = 'latex';
1927 app.EvalResSmpData_dWy_Label.HorizontalAlignment = 'center';
1928 app.EvalResSmpData_dWy_Label.BackgroundColor = backGroundColorLabel;
1929 %% Create EvalResSmpData_dWy
1930 app.EvalResSmpData_dWy = uieditfield(app.EvalResSmpDataParamsGridLayout,
1931     'numeric');
1932 app.EvalResSmpData_dWy.HorizontalAlignment = 'center';
1933 app.EvalResSmpData_dWy.Editable = 'off';
1934 %% Create EvalResSmpData_dWy_std_Label
1935 app.EvalResSmpData_dWy_std_Label = uilabel(app.
1936     EvalResSmpDataParamsGridLayout);
1937 app.EvalResSmpData_dWy_std_Label.Text = '$\\text{Beamdiameter } d_{y}\\text{ in } \\mu m$';
1938 app.EvalResSmpData_dWy_std_Label.Interpreter = 'latex';
1939 app.EvalResSmpData_dWy_std_Label.HorizontalAlignment = 'center';
1940 app.EvalResSmpData_dWy_std_Label.BackgroundColor = backGroundColorLabel;
1941 %% Create EvalResSmpData_dWy_std
1942 app.EvalResSmpData_dWy_std = uieditfield(app.
1943     EvalResSmpDataParamsGridLayout, 'numeric');
1944 app.EvalResSmpData_dWy_std.HorizontalAlignment = 'center';
1945 app.EvalResSmpData_dWy_std.Editable = 'off';
1946 %% Create EvalResSmpData_phi_Label
1947 app.EvalResSmpData_phi_Label = uilabel(app.
1948     EvalResSmpDataParamsGridLayout);
1949 app.EvalResSmpData_phi_Label.Text = '$\\text{Azimutangle } \\varphi\\text{ in } ^\\circ$';
```

```
1942 app.EvalResSmpData_phi_Label.Interpreter = 'latex';
1943 app.EvalResSmpData_phi_Label.HorizontalAlignment = 'center';
1944 app.EvalResSmpData_phi_Label.BackgroundColor = backGroundColorLabel;
1945 %% Create EvalResSmpData_phi
1946 app.EvalResSmpData_phi = uieditfield(app.EvalResSmpDataParamsGridLayout,
1947     'numeric');
1948 app.EvalResSmpData_phi.HorizontalAlignment = 'center';
1949 app.EvalResSmpData_phi.Editable = 'off';
1950 %% Create EvalResSmpData_phi_std_Label
1951 app.EvalResSmpData_phi_std_Label = uilabel(app.
1952     EvalResSmpDataParamsGridLayout);
1953 app.EvalResSmpData_phi_std_Label.Text = '$\text{Azimutangle } \varphi_{\text{in}}$';
1954 app.EvalResSmpData_phi_std_Label.Interpreter = 'latex';
1955 app.EvalResSmpData_phi_std_Label.HorizontalAlignment = 'center';
1956 app.EvalResSmpData_phi_std_Label.BackgroundColor = backGroundColorLabel;
1957 %% Create EvalResSmpData_phi_std
1958 app.EvalResSmpData_phi_std = uieditfield(app.
1959     EvalResSmpDataParamsGridLayout, 'numeric');
1960 app.EvalResSmpData_phi_std.HorizontalAlignment = 'center';
1961 app.EvalResSmpData_phi_std.Editable = 'off';
1962 %% Create EvalResSmpData_phi_std
1963 app.EvalResSmpInfoTextArea = uitextarea(app.EvalResSmpDataGridLayout);
1964 app.EvalResSmpInfoTextArea.HorizontalAlignment = 'center';
1965 app.EvalResSmpInfoTextArea.Editable = 'off';
1966 app.EvalResSmpInfoTextArea.Layout.Row = 3;
1967 app.EvalResSmpInfoTextArea.Layout.Column = [1 2];
1968 app.EvalResSmpInfoTextArea.Value = 'Two or more measuring points have an
1969     azimuth angle difference of 10° or more. Could be badly conditioned
1970     evaluation or a astigmatic laserbeam. Either way the results cannot
1971     be trusted.';
1972 app.EvalResSmpInfoTextArea.Visible = 'off';
1973 app.EvalResSmpInfoTextArea.FontSize = 14;
1974 app.EvalResSmpInfoTextArea.FontColor = 'red';
1975 app.EvalResSmpInfoTextArea.FontWeight = 'bold';
1976 %% Create EvalResImDataPanel
1977 app.EvalResImDataPanel = uipanel(app.EvalResTabGridLayout);
1978 app.EvalResImDataGridLayout = uigridlayout(app.EvalResImDataPanel);
1979 app.EvalResImDataGridLayout.RowHeight = {30,240,'1x',50};
1980 app.EvalResImDataGridLayout.ColumnWidth = {'1x','1x'};
1981 %% Create EvalResImDataDropDown_Label
1982 app.EvalResImDataDropDown_Label = uilabel(app.EvalResImDataGridLayout);
1983 app.EvalResImDataDropDown_Label.Layout.Row = 1;
1984 app.EvalResImDataDropDown_Label.Layout.Column = 1;
1985 app.EvalResImDataDropDown_Label.Text = 'Image No.';
```

```
1984 %% Create EvalResImDataDropDown
1985 app.EvalResImDataDropDown = uidropdown(app.EvalResImDataGridLayout);
1986 app.EvalResImDataDropDown.Layout.Row = 1;
1987 app.EvalResImDataDropDown.Layout.Column = 2;
1988 app.EvalResImDataDropDown.Items = {};
1989 app.EvalResImDataDropDown.ValueChangedFcn = @(src, event)
    EvalResImDataDropDown_ValueChangedFcn(app, src, event);

1990
1991 %% Create EvalResImDataParamsGridLayout
1992 app.EvalResImDataParamsGridLayout = uigridlayout(app.
    EvalResImDataGridLayout);
1993 app.EvalResImDataParamsGridLayout.Layout.Row = 2;
1994 app.EvalResImDataParamsGridLayout.Layout.Column = [1 2];
1995 app.EvalResImDataParamsGridLayout.RowHeight = {20,20,20,20,20,20,20,20};
1996 app.EvalResImDataParamsGridLayout.ColumnWidth = {'1x','1x'};
1997 app.EvalResImDataParamsGridLayout.Scrollable = 'on';
1998
1999 %% Create EvalResImData_W_X_Label
2000 app.EvalResImData_W_X_Label = uilabel(app.EvalResImDataParamsGridLayout)
    ;
2001 app.EvalResImData_W_X_Label.Text = '$\langle x \rangle_{textrm{ in }} \mu
    m$';
2002 app.EvalResImData_W_X_Label.Interpreter = 'latex';
2003 app.EvalResImData_W_X_Label.HorizontalAlignment = 'center';
2004 app.EvalResImData_W_X_Label.BackgroundColor = backGroundColorLabel;
2005
2006 %% Create EvalResImData_W_X
2007 app.EvalResImData_W_X = uieditfield(app.EvalResImDataParamsGridLayout, '
    numeric');
2008 app.EvalResImData_W_X.HorizontalAlignment = 'center';
2009 app.EvalResImData_W_X.Editable = 'off';
2010
2011 %% Create EvalResImData_W_Y_Label
2012 app.EvalResImData_W_Y_Label = uilabel(app.EvalResImDataParamsGridLayout)
    ;
2013 app.EvalResImData_W_Y_Label.Text = '$\langle y \rangle_{textrm{ in }} \mu
    m$';
2014 app.EvalResImData_W_Y_Label.Interpreter = 'latex';
2015 app.EvalResImData_W_Y_Label.HorizontalAlignment = 'center';
2016 app.EvalResImData_W_Y_Label.BackgroundColor = backGroundColorLabel;
2017
2018 %% Create EvalResImData_W_Y
2019 app.EvalResImData_W_Y = uieditfield(app.EvalResImDataParamsGridLayout, '
    numeric');
2020 app.EvalResImData_W_Y.HorizontalAlignment = 'center';
2021 app.EvalResImData_W_Y.Editable = 'off';
2022
2023 %% Create EvalResImData_W_X_squared_Label
2024 app.EvalResImData_W_X_squared_Label = uilabel(app.
    EvalResImDataParamsGridLayout);
2025 app.EvalResImData_W_X_squared_Label.Text = '$\langle x^2 \rangle_{textrm{ in }} \mu
    m^2$';
2026 app.EvalResImData_W_X_squared_Label.Interpreter = 'latex';
2027 app.EvalResImData_W_X_squared_Label.HorizontalAlignment = 'center';
```

```
2023     app.EvalResImData_W_X_squared_Label.BackgroundColor =
2024         backGroundColorLabel;
2025 %% Create EvalResImData_W_X_squared
2026 app.EvalResImData_W_X_squared = uieditfield(app.
2027     EvalResImDataParamsGridLayout, 'numeric');
2028 app.EvalResImData_W_X_squared.HorizontalAlignment = 'center';
2029 app.EvalResImData_W_X_squared.Editable = 'off';
2030 %% Create EvalResImData_W_Y_squared_Label
2031 app.EvalResImData_W_Y_squared_Label = uilabel(app.
2032     EvalResImDataParamsGridLayout);
2033 app.EvalResImData_W_Y_squared_Label.Text = '$\langle y^2 \rangle$';
2034 app.EvalResImData_W_Y_squared_Label.Interpreter = 'latex';
2035 app.EvalResImData_W_Y_squared_Label.HorizontalAlignment = 'center';
2036 app.EvalResImData_W_Y_squared_Label.BackgroundColor =
2037         backGroundColorLabel;
2038 %% Create EvalResImData_W_Y_squared
2039 app.EvalResImData_W_Y_squared = uieditfield(app.
2040     EvalResImDataParamsGridLayout, 'numeric');
2041 app.EvalResImData_W_Y_squared.HorizontalAlignment = 'center';
2042 app.EvalResImData_W_Y_squared.Editable = 'off';
2043 %% Create EvalResImData_W_XY_Label
2044 app.EvalResImData_W_XY_Label = uilabel(app.EvalResImDataParamsGridLayout
2045 );
2046 app.EvalResImData_W_XY_Label.Text = '$\langle xy \rangle$';
2047 app.EvalResImData_W_XY_Label.Interpreter = 'latex';
2048 app.EvalResImData_W_XY_Label.HorizontalAlignment = 'center';
2049 app.EvalResImData_W_XY_Label.BackgroundColor = backGroundColorLabel;
2050 %% Create EvalResImData_W_XY
2051 app.EvalResImData_W_XY = uieditfield(app.EvalResImDataParamsGridLayout,
2052     'numeric');
2053 app.EvalResImData_W_XY.HorizontalAlignment = 'center';
2054 app.EvalResImData_W_XY.Editable = 'off';
2055 %% Create EvalResImData_dWx_Label
2056 app.EvalResImData_dWx_Label = uilabel(app.EvalResImDataParamsGridLayout)
2057 ;
2058 app.EvalResImData_dWx_Label.Text = '$d_{beam}$';
2059 app.EvalResImData_dWx_Label.Interpreter = 'latex';
2060 app.EvalResImData_dWx_Label.HorizontalAlignment = 'center';
2061 app.EvalResImData_dWx_Label.BackgroundColor = backGroundColorLabel;
2062 %% Create EvalResImData_dWx
2063 app.EvalResImData_dWx = uieditfield(app.EvalResImDataParamsGridLayout,
2064     'numeric');
2065 app.EvalResImData_dWx.HorizontalAlignment = 'center';
2066 app.EvalResImData_dWx.Editable = 'off';
2067 %% Create EvalResImData_dWy_Label
2068 app.EvalResImData_dWy_Label = uilabel(app.EvalResImDataParamsGridLayout)
```

```
    ;
2060 app.EvalResImData_dWy_Label.Text = '$\text{Beamdiameter } d_{y} \ \
2061     \text{ in } \mu m$';
2062 app.EvalResImData_dWy_Label.Interpreter = 'latex';
2063 app.EvalResImData_dWy_Label.HorizontalAlignment = 'center';
2064 app.EvalResImData_dWy_Label.BackgroundColor = backGroundColorLabel;
2065 %% Create EvalResImData_dWy
2066 app.EvalResImData_dWy = uieditfield(app.EvalResImDataParamsGridLayout,
2067     'numeric');
2068 app.EvalResImData_dWy.HorizontalAlignment = 'center';
2069 app.EvalResImData_dWy.Editable = 'off';
2070 %% Create EvalResImData_phi_Label
2071 app.EvalResImData_phi_Label = uilabel(app.EvalResImDataParamsGridLayout)
2072     ;
2073 app.EvalResImData_phi_Label.Text = '$\text{Azimutangle } \varphi \ \
2074     \text{ in } ^{\circ}$';
2075 app.EvalResImData_phi_Label.Interpreter = 'latex';
2076 app.EvalResImData_phi_Label.HorizontalAlignment = 'center';
2077 app.EvalResImData_phi_Label.BackgroundColor = backGroundColorLabel;
2078 %% Create EvalResImData_phi
2079 app.EvalResImData_phi = uieditfield(app.EvalResImDataParamsGridLayout,
2080     'numeric');
2081 app.EvalResImData_phi.HorizontalAlignment = 'center';
2082 app.EvalResImData_phi.Editable = 'off';
2083 %% Create EvalResImDataUIAxes
2084 app.EvalResImDataUIAxes = uiaxes(app.EvalResImDataGridLayout);
2085 app.EvalResImDataUIAxes.Layout.Row = 3;
2086 app.EvalResImDataUIAxes.Layout.Column = [1 2];
2087 %% Create EvalResImDataColorGridLayout
2088 app.EvalResImDataColorGridLayout = uigridlayout(app.
2089     EvalResImDataGridLayout);
2090 app.EvalResImDataColorGridLayout.Layout.Row = 4;
2091 app.EvalResImDataColorGridLayout.Layout.Column = [1 2];
2092 app.EvalResImDataColorGridLayout.RowHeight = {'1x'};
2093 app.EvalResImDataColorGridLayout.ColumnWidth = {120, '1x', '1x', '1x', '1x'}
2094     ;
2095 app.EvalResImDataColorGridLayout.Scrollable = 'on';
2096 %% Create EvalResImDataChangeColorMapButton
2097 app.EvalResImDataChangeColorMapButton = uibutton(app.
2098     EvalResImDataColorGridLayout, 'state');
2099 app.EvalResImDataChangeColorMapButton.Text = 'Switch Color Map';
2100 app.EvalResImDataChangeColorMapButton.Layout.Row = 1;
2101 app.EvalResImDataChangeColorMapButton.Layout.Column = 1;
2102 app.EvalResImDataChangeColorMapButton.ValueChangedFcn = @(src, event)
2103     EvalResImDataChangeColorMapButton_ValueChangedFcn(app, src, event);
2104 app.EvalResImDataChangeColorMapButton.FontSize = app.fontsize14;
2105 %% Create EvalResColorMinLabel
2106 app.EvalResColorMinLabel = uilabel(app.EvalResImDataColorGridLayout);
2107 app.EvalResColorMinLabel.Text = 'Min Value';
```

```
2099 app.EvalResColorMinLabel.Layout.Row = 1;
2100 app.EvalResColorMinLabel.Layout.Column = 2;
2101 app.EvalResColorMinLabel.FontSize = app.fontsize14;
2102 app.EvalResColorMinLabel.Interpreter = 'latex';
2103 app.EvalResColorMinLabel.BackgroundColor = backGroundColorLabel;
2104 app.EvalResColorMinLabel.HorizontalAlignment = 'center';
2105 %% Create EvalResColorMinEditField
2106 app.EvalResColorMinEditField = uieditfield(app.
2107     EvalResImDataColorGridLayout, 'numeric');
2108 app.EvalResColorMinEditField.Layout.Row = 1;
2109 app.EvalResColorMinEditField.Layout.Column = 3;
2110 app.EvalResColorMinEditField.Limits = [0 255];
2111 app.EvalResColorMinEditField.HorizontalAlignment = 'center';
2112 app.EvalResColorMinEditField.FontSize = app.fontsize14;
2113 app.EvalResColorMinEditField.Value = app.EvalResColorMap(1);
2114 app.EvalResColorMinEditField.ValueChangedFcn = @(src, event)
2115     EvalResImChangeColorMap(app, src, event);
2116 %% Create LiveMeasColorMaxLabel
2117 app.EvalResColorMaxLabel = uilabel(app.EvalResImDataColorGridLayout);
2118 app.EvalResColorMaxLabel.Text = 'Max Value';
2119 app.EvalResColorMaxLabel.Layout.Row = 1;
2120 app.EvalResColorMaxLabel.Layout.Column = 4;
2121 app.EvalResColorMaxLabel.FontSize = app.fontsize14;
2122 app.EvalResColorMaxLabel.Interpreter = 'latex';
2123 app.EvalResColorMaxLabel.BackgroundColor = backGroundColorLabel;
2124 app.EvalResColorMaxLabel.HorizontalAlignment = 'center';
2125 %% Create LiveMeasColorMinEditField
2126 app.EvalResColorMaxEditField = uieditfield(app.
2127     EvalResImDataColorGridLayout, 'numeric');
2128 app.EvalResColorMaxEditField.Layout.Row = 1;
2129 app.EvalResColorMaxEditField.Layout.Column = 5;
2130 app.EvalResColorMaxEditField.Limits = [0 255];
2131 app.EvalResColorMaxEditField.HorizontalAlignment = 'center';
2132 app.EvalResColorMaxEditField.FontSize = app.fontsize14;
2133 app.EvalResColorMaxEditField.Value = app.EvalResColorMap(2);
2134 app.EvalResColorMaxEditField.ValueChangedFcn = @(src, event)
2135     EvalResImChangeColorMap(app, src, event);
2136 %% Show the figure after all components are created
2137 app.UIFigure.Visible = 'on';
2138 end
2139 end
2140 % App creation and deletion
2141 methods (Access = public)
2142
2143     % Construct app
2144     function app = lbcUI
```

```

2144 % Create UIFigure and components
2145 createComponents(app)

2146
2147
2148 % Register the app with App Designer
2149 registerApp(app, app.UIFigure);
2150 if nargout == 0
2151     clear app
2152 end
2153 end
2154 % Code that executes before app deletion
2155 function delete(app)
2156     % Delete UIFigure when app is deleted
2157     imaqreset()
2158     delete(app.UIFigure)

2159
2160 end
2161 end
2162 end

```

7.31: Function AutoMeasISO111146Part1MethodRBGroup\_SelectionChangedFcn

```

1 function AutoMeasISO111146Part1MethodRBGroup_SelectionChangedFcn(app, src, event)
2 %AutoMeasISO111146Part1MethodRBGroup_SelectionChangedFcn ValueChangedFcn listening
3 % to changes of the selected Automated
4 %Measurement Configuration RadioButtonGroup.
5 % Enables and Disables UI Elements depending on the selected
6 % Configuration Method and triggers an update of the Measuring Point
7 % preview axes.
8 newSelection = event.NewValue;

9 if strcmp('Configure around centerpoint', newSelection.Text)
10    app.AutoMeasISO111146Part1MeasAreaEditField.Enable = 'off';
11    app.AutoMeasISO111146Part1OffseEditField.Enable = 'on';
12    app.AutoMeasISO111146Part1RayleighEditField.Enable = 'on';
13    app.AutoMeasISO111146Part1TimesRayleighEditField.Enable = 'on';
14 else
15    app.AutoMeasISO111146Part1MeasAreaEditField.Enable = 'on';
16    app.AutoMeasISO111146Part1OffseEditField.Enable = 'off';
17    app.AutoMeasISO111146Part1RayleighEditField.Enable = 'off';
18    app.AutoMeasISO111146Part1TimesRayleighEditField.Enable = 'off';
19 end
20 UpdatePreviewAxes(app, src, event);
21 end

```

7.32: Function AutoMeasISO111146Part1StartMeasButton\_ButtonPushedFcn

```

1 function AutoMeasISO111146Part1StartMeasButton_ButtonPushedFcn(app,src,event)
2 %AutoMeasISO111146Part1StartMeasButton_ButtonPushedFcn ButtonPushedFcn listening to
3 % the Start Button of the Automated

```

```
3 % Measurement.
4 % Starts the automated measurement using the parameters given in the
5 % EditFields of the UI.
6 try
7     app.AutoMeasIS0111146Part1StartMeasButton.Enable = 'off';
8     if app.AutoMeasCancelButton.Value
9         app.AutoMeasIS0111146Part1StartMeasButton.Enable = 'on';
10    app.AutoMeasCancelButton.Value = 0;
11    app.AutoMeasIS0111146Part1StatusLabel.BackgroundColor = [1 0.07 0.2];
12    app.AutoMeasIS0111146Part1StatusLabel.Text = 'Inactive';
13    uialert(app.UIFigure,{'Measurement canceled!'},'Measurement Stopped
14        Information','Icon','success','CloseFcn','uiresume(gcf)');
15    uiwait(gcf);
16    return;
17 end
18 measurement = Measurement(app.AutoMeasIS0111146Part1RayleighEditField.Value, ...
19     app.AutoMeasIS0111146Part1TimesRayleighEditField.Value, ...
20     app.AutoMeasIS0111146Part1NoMeasPointsEditField.Value, ...
21     app.AutoMeasIS0111146Part1MeasPerPointEditField.Value);

22 % Reset old Measurementdata
23 measurement.reset();
24
25 app.AutoMeasIS0111146Part1StatusLabel.Text = 'Active';
26 app.AutoMeasIS0111146Part1StatusLabel.BackgroundColor = [0.2 1 0.3];
27
28 app.AutoMeasIS0111146Part1ProgressCurrActionEditField.Value = 'Go to zero';
29 drawnow;
30 moveToZpos(app,0);
31 pause(1);
32 uialert(app.UIFigure,{'Cover laser!'},'Next Step Information','Icon','info',
33     'CloseFcn','uiresume(gcf)');
34 uiwait(gcf);
35 app.AutoMeasIS0111146Part1ProgressCurrActionEditField.Value = 'Background
36     Measurement';
37 for i = 1 : size(app.measurementPoints,2)
38     app.AutoMeasIS0111146Part1ProgressCurrMeasPointEditField.Value = '_';
39     app.AutoMeasIS0111146Part1ProgressCurrMeasPointMeasEditField.Value = '_';
40     drawnow;
41     moveToZpos(app,app.measurementPoints(i));
42     pause(1);
43     app.AutoMeasIS0111146Part1ProgressCurrMeasPointEditField.Value = int2str(i);

44     MeasurementPoint = SingleMeasurementPoint(app.currPos(1));
45     for k = 1 : app.AutoMeasIS0111146Part1MeasPerPointEditField.Value
46         if app.AutoMeasCancelButton.Value
47             app.AutoMeasIS0111146Part1StartMeasButton.Enable = 'on';
48             app.AutoMeasCancelButton.Value = 0;
49             app.AutoMeasIS0111146Part1StatusLabel.BackgroundColor = [1 0.07
```

```
        0.2];
49    app.AutoMeasIS0111146Part1StatusLabel.Text = 'Inactive';
50    uialert(app.UIFigure,{ 'Measurement canceled!' },'Measurement Stopped
51        Information','Icon','success','CloseFcn','uiresume(gcbf)');
52    uiwait(gcbf)
53    return;
54 end
55 app.AutoMeasIS0111146Part1ProgressCurrMeasPointMeasEditField.Value =
56     int2str(k);
57 MeasurementPoint.addMeasurement(SingleMeasurement(TriggerCameraImage(app
58         )));
59 pause(1);
60 end
61 measurement.getBackgroundData().addSingleMeasurementPoint(MeasurementPoint);
62 end
63 app.AutoMeasIS0111146Part1ProgressCurrActionEditField.Value = 'Go to zero';
64 app.AutoMeasIS0111146Part1ProgressCurrMeasPointEditField.Value = '_';
65 app.AutoMeasIS0111146Part1ProgressCurrMeasPointMeasEditField.Value = '_';
66 drawnow;
67 moveToZpos(app,0);
68 pause(1);
69 uialert(app.UIFigure,{ 'Remove laser cover!' },'Next Step Information','Icon',
70     'info','CloseFcn','uiresume(gcbf)');
71 uiwait(gcbf)
72 app.AutoMeasIS0111146Part1ProgressCurrActionEditField.Value = 'Laser Measurement
73     ';
74 for i = 1 : size(app.measurementPoints,2)
75     app.AutoMeasIS0111146Part1ProgressCurrMeasPointEditField.Value = '_';
76     app.AutoMeasIS0111146Part1ProgressCurrMeasPointMeasEditField.Value = '_';
77     drawnow;
78     moveToZpos(app,app.measurementPoints(i));
79     pause(1);
80     app.AutoMeasIS0111146Part1ProgressCurrMeasPointEditField.Value = int2str(i);
81     MeasurementPoint = SingleMeasurementPoint(app.currPos(1));
82     for k = 1 : app.AutoMeasIS0111146Part1MeasPerPointEditField.Value
83         if app.AutoMeasCancelButton.Value
84             app.AutoMeasIS0111146Part1StartMeasButton.Enable = 'on';
85             app.AutoMeasCancelButton.Value = 0;
86             app.AutoMeasIS0111146Part1StatusLabel.BackgroundColor = [1 0.07
87                 0.2];
88             app.AutoMeasIS0111146Part1StatusLabel.Text = 'Inactive';
89             uialert(app.UIFigure,{ 'Measurement canceled!' },'Measurement Stopped
90                 Information','Icon','success','CloseFcn','uiresume(gcbf)');
91             uiwait(gcbf)
92             return;
93         end
94         app.AutoMeasIS0111146Part1ProgressCurrMeasPointMeasEditField.Value =
95             int2str(k);
96         MeasurementPoint.addMeasurement(SingleMeasurement(TriggerCameraImage(app
```

```

    }));
89    pause(1);
90  end
91  measurement.getMeasurementData().addSingleMeasurementPoint(MeasurementPoint)
92  ;
93 end
94 app.AutoMeasISO111146Part1ProgressCurrActionEditField.Value = 'Go to zero';
95 app.AutoMeasISO111146Part1ProgressCurrMeasPointEditField.Value = '-';
96 app.AutoMeasISO111146Part1ProgressCurrMeasPointMeasEditField.Value = '-';
97 drawnow;
98 moveToZpos(app,0);
99 pause(1)
app.AutoMeasISO111146Part1ProgressCurrActionEditField.Value = 'Saving
100 Measurement';
101 drawnow;
102 uisave({'measurement'});
103 app.AutoMeasISO111146Part1ProgressCurrActionEditField.Value = 'Finished';
104 drawnow;
105 app.AutoMeasISO111146Part1StatusLabel.BackgroundColor = [1 0.07 0.2];
106 app.AutoMeasISO111146Part1StatusLabel.Text = 'Inactive';
107
108 uialert(app.UIFigure,['Measurement finished successfull!'],'Measurement
109 Successfull Information','Icon','success','CloseFcn','uiresume(gcf)');
110 uiwait(gcf)
111
112 app.loadedMeas = measurement;
113 UpdateGUIConfEvalTab(app);
114
115 if not(isempty(app.loadedMeas.getResults()))
116   UpdateGUIEvalResTab(app);
117 end
118
119 catch ME
120   app.AutoMeasISO111146Part1StartMeasButton.Enable = 'on';
121   rethrow(ME);
122 end
123 app.AutoMeasISO111146Part1StartMeasButton.Enable = 'on';

```

### 7.33: Function CalcNumOfSteps

```

1 function steps = CalcNumOfSteps(app,targetPos)
2 %CALCNUMOFSSTEPS Calculates the number of Steps the Steppermotor has to do.
3 % Nothing to add here.
4 steps=cast((targetPos-app.currPos(1))/app.StepInkrement,'int32');
5 end

```

### 7.34: Function ClearGUIEvalResTab

```
1 function ClearGUIEvalResTab(app)
2 %ClearGUIEvalResTab Clears all Evaluation Result UI elements of their
3 %content.
4 app.EvalResMeasDataResultDropDown.Items = {};
5 app.EvalResMeasDataResultDropDown.ItemsData = []
6
7 app.EvalResMeasData_BackCorrMethod.Value = '';
8 app.EvalResMeasData_Lambda.Value = 0;
9 app.EvalResMeasData_ConvCrit.Value = 0;
10 app.EvalResMeasData_IntegAreaFactor.Value = 0;
11 app.EvalResMeasData_Nt.Value = 0;
12 app.EvalResMeasData_EvalNorm.Value = '';
13
14 app.EvalResMeasData_z_0_X.Value = 0;
15 app.EvalResMeasData_z_0_Y.Value = 0;
16
17 app.EvalResMeasData_z_R_X.Value = 0;
18 app.EvalResMeasData_z_R_Y.Value = 0;
19
20 app.EvalResMeasData_d_0_X.Value = 0;
21 app.EvalResMeasData_d_0_Y.Value = 0;
22
23 app.EvalResMeasData_theta_X.Value = 0;
24 app.EvalResMeasData_theta_Y.Value = 0;
25
26 app.EvalResMeasData_M_squared_X.Value = 0;
27 app.EvalResMeasData_M_squared_Y.Value = 0;
28 app.EvalResMeasData_M_squared_eff.Value = 0;
29
30 app.EvalResSmpDataDropDown.Items = {};
31 app.EvalResSmpDataDropDown.ItemsData = []
32
33 app.EvalResSmpData_W_X.Value = 0;
34 app.EvalResSmpData_W_X_std.Value = 0;
35 app.EvalResSmpData_W_Y.Value = 0;
36 app.EvalResSmpData_W_Y_std.Value = 0;
37 app.EvalResSmpData_W_X_squared.Value = 0;
38 app.EvalResSmpData_W_X_squared_std.Value = 0;
39 app.EvalResSmpData_W_Y_squared.Value = 0;
40 app.EvalResSmpData_W_Y_squared_std.Value = 0;
41 app.EvalResSmpData_W_XY.Value = 0;
42 app.EvalResSmpData_W_XY_std.Value = 0;
43 app.EvalResSmpData_dWx.Value = 0;
44 app.EvalResSmpData_dWx_std.Value = 0;
45 app.EvalResSmpData_dWy.Value = 0;
46 app.EvalResSmpData_dWy_std.Value = 0;
47 app.EvalResSmpData_phi.Value = 0;
48 app.EvalResSmpData_phi_std.Value = 0;
49
```

```

50 app.EvalResImData_W_X.Value = 0;
51 app.EvalResImData_W_Y.Value = 0;
52
53 app.EvalResImData_W_X_squared.Value = 0;
54 app.EvalResImData_W_Y_squared.Value = 0;
55
56 app.EvalResImData_W_XY.Value = 0;
57 app.EvalResImData_dWx.Value = 0;
58 app.EvalResImData_dWy.Value = 0;
59 app.EvalResImData_phi.Value = 0;
60
61 cla(app.EvalResImDataUIAxes, 'reset');
62
63 end

```

7.35: Function ConfEvalBackCorrMethodDropDown\_ValueChangedFcn

```

1 function ConfEvalBackCorrMethodDropDown_ValueChangedFcn(app, src, event)
2 %ConfEvalBackCorrMethodDropDown_ValueChangedFcn ValueChangedFcn listening
3 %to changes of the BackgroundCorrectionMethod Dropdown Menu
4 newCorrMethod = event.Value;
5 if strcmp('FCBAM',newCorrMethod)
6     app.ConfEvalKernelSizeSlider.Enable = 'on';
7     app.ConfEvalKernelSizeEditField.Enable = 'on';
8     return;
9 end
10 app.ConfEvalKernelSizeSlider.Enable = 'off';
11 app.ConfEvalKernelSizeEditField.Enable = 'off';
12 end

```

7.36: Function ConfEvalConvergeCriterionSlider\_AllEvents

```

1 function ConfEvalConvergeCriterionSlider_AllEvents(app, src, event)
2 %ConfEvalConvergeCriterionSlider_AllEvents listening to all events of the
3 %ConvergeCriterion UI Elements.
4 eventName = event.EventName;
5 switch(eventName)
6     case {'ValueChanging'}
7         app.ConfEvalConvergeCriterionEditField.Value = event.Value;
8     case {'ValueChanged'}
9         app.ConfEvalConvergeCriterionSlider.Value = event.Value;
10    end
11 end
12 end
13 end

```

7.37: Function ConfEvalDrawRectButton\_ButtonPushedFcn

```

1 function ConfEvalDrawRectButton_ButtonPushedFcn(app, src, event)
2 %ConfEvalDrawRectButton_ButtonPushedFcn listening to guessBeamarea button
3 %to draw the first guess of the beam area and beamcenter.

```

```

4 if not(isa(app.ConfEvalRectRoi,'images.roi.Rectangle')) || not(isvalid(app.
5 ConfEvalRectRoi))
6 app.ConfEvalRectRoi = drawrectangle(app.ConfEvalPreviewImUIAxes,'LabelVisible','
7 hover',...
8 'Label','beamareaGuess','Position',[1 1 200 200]);
addlistener(app.ConfEvalRectRoi,'MovingROI',@(src, evt)
9 drawConfEvalRectAllevents(app,src,evt));
addlistener(app.ConfEvalRectRoi,'ROIMoved',@(src, evt) drawConfEvalRectAllevents
10 (app,src,evt));
centerRectangleX = app.ConfEvalRectRoi.Position(1)+app.ConfEvalRectRoi.Position
11 (3)/2;
centerRectangleY = app.ConfEvalRectRoi.Position(2)+app.ConfEvalRectRoi.Position
12 (4)/2;
app.ConfEvalPointRoi = drawpoint(app.ConfEvalPreviewImUIAxes,...
13 'Position',[centerRectangleX centerRectangleY], 'Color','r',...
14 'InteractionsAllowed','none');
15 end
end

```

### 7.38: Function ConfEvalEvaluationButton\_ButtonPushedFcn

```

1 function ConfEvalEvaluationButton_ButtonPushedFcn(app, src, event)
2 %ConfEvalEvaluationButton_ButtonPushedFcn listening to the Evaluate Button
3 %and starting a evaluation using the specified parameters in the UI.
4 try
5 app.ConfEvalEvaluationButton.Enable = 'off';
6 app.ConfEvalEvaluationStatusLabel.BackgroundColor = [0.2 1 0.3];
7 app.ConfEvalEvaluationStatusLabel.Text = 'Computing';
8 drawnow;
9 coarseBackCorrMethod = app.ConfEvalBackCorrMethodDropDown.Value;
10 fineBackCorrMethod = app.ConfEvalFineBackCorrMethodDropDown.Value;
11 convCrit = app.ConfEvalConvergeCriterionEditField.Value;
12 lambda = app.ConfEvalWavelengthEditField.Value;
13 nT = app.ConfEvalNtEditField.Value;
14 integAreaFactor = app.ConfEvalIntegAreaEditField.Value;
15 evalNorm = app.ConfEvalMethodDropDown.Value;
16 pixelSize = app.ConfEvalPixelSizeEditField.Value;
17 kernelSize = app.ConfEvalKernelSizeEditField.Value;
18 centerRectangleX = app.ConfEvalRectRoi.Position(1)+app.ConfEvalRectRoi.Position
19 (3)/2;
20 centerRectangleY = app.ConfEvalRectRoi.Position(2)+app.ConfEvalRectRoi.Position
21 (4)/2;
22 sizeRectangleX = app.ConfEvalRectRoi.Position(3);
23 sizeRectangleY = app.ConfEvalRectRoi.Position(4);
24 manualValue = app.ConfEvalFineCorrValueEditField.Value;
25
corrData = app.loadedMeas.getMeasurementData().
backgroundCorrectionMeasurementData(...,
coarseBackCorrMethod,fineBackCorrMethod,app.loadedMeas.getBackgroundData(),
...

```

```

26     kernelSize,nT,manualValue);
27 switch(evalNorm)
28   case 'IS011146-1'
29     resData = corrData.iso11146Part1MeasurementData(centerRectangleX*
30       pixelsize,centerRectangleY*pixelsize,sizeRectangleX*pixelsize,
31       sizeRectangleY*pixelsize,convCrit,integAreaFactor,lambda,pixelsize);
32     res = Result(coarseBackCorrMethod,fineBackCorrMethod,evalNorm,lambda,
33       convCrit,nT,integAreaFactor,kernelSize,resData);
34     app.loadedMeas.addResult(res);
35     UpdateGUILevalResTab(app);
36   case 'IS011146-2'
37 end
38 uialert(app.UIFigure,['Evaluation finished!'],'Next Step Information','Icon','
39   success','CloseFcn','uiresume(gcf)');
40 uiwait(gcf)
41 catch ME
42   uialert(app.UIFigure,['Evaluation failed! Check Evaluation Parameters!'],'Next
43   Step Information','Icon','warning','CloseFcn','uiresume(gcf)');
44 uiwait(gcf)
45 app.ConfEvalEvaluationButton.Enable = 'on';
46 app.ConfEvalEvaluationStatusLabel.BackgroundColor = [1 0.07 0.2];
47 app.ConfEvalEvaluationStatusLabel.Text = 'Standby';
48 drawnow;
49 rethrow(ME)
50 end
51 app.ConfEvalEvaluationButton.Enable = 'on';
52
53 app.ConfEvalEvaluationStatusLabel.BackgroundColor = [1 0.07 0.2];
54 app.ConfEvalEvaluationStatusLabel.Text = 'Standby';
55 drawnow;
56 end

```

7.39: Function ConfEvalLoadMeasButton\_ButtonPushedFcn

```

1 function ConfEvalLoadMeasButton_ButtonPushedFcn(app, src, event)
2 %ConfEvalLoadMeasButton_ButtonPushedFcn listening to the Load Measurement
3 %button and loading a already performed Measurement with or without already
4 %existing results.
5 [baseFileName, folder] = uigetfile('*.mat');
6 fullFileName = fullfile(folder, baseFileName);
7 if exist(fullFileName, 'file')
8   % Normal situation — they picked an existing file.
9   temp = struct2cell(load(fullFileName));
10  app.loadedMeas = temp{1};
11  % Now do something with storedStructure, like extract fields into new variables
12    or whatever you want.
13 else
14  % Error: Would only get here if they typed in a name of a non-existent file
15  % instead of picking one from the folder.
16  warningMessage = sprintf('Warning: mat file does not exist:\n%s', fullFileName);

```

```

16     uiwait(errorDlg(warningMessage));
17     return;
18 end
19 UpdateGUIConfEvalTab(app);
20
21 if isempty(app.loadedMeas.getResults())
22     UpdateGUIEvalResTab(app);
23 else
24     ClearGUIEvalResTab(app);
25 end
26
27
28 end

```

7.40: Function ConfEvalSmpDropDown\_ValueChangedFcn

```

1 function ConfEvalSmpDropDown_ValueChangedFcn(app, src, event)
2 %ConfEvalSmpDropDown_ValueChangedFcn listening to changes of the selected
3 %Measuring Point and adjusting the shown data in the UI.
4 app.ConfEvalEvaluationButton.Enable = 'on';
5 newValueDataSet = event.Value.getDataSet();
6 [Useless NoI] = size(newValueDataSet);
7 cla(app.ConfEvalPreviewImUIAxes, 'reset');
8 app.ConfEvalSmpImDropDown.Items = {};
9 app.ConfEvalSmpImDropDown.ItemsData = [];
10 for j=1:NoI
11     app.ConfEvalSmpImDropDown.Items = [app.ConfEvalSmpImDropDown.Items sprintf('%i',
12         j)];
13     app.ConfEvalSmpImDropDown.ItemsData = [app.ConfEvalSmpImDropDown.ItemsData
14         newValueDataSet(j)];
15 end
16 % Display image and stretch to fill axes
17 imshow(newValueDataSet(1).getImageData(),...
18     'Parent', app.ConfEvalPreviewImUIAxes);
19 app.ConfEvalPreviewImUIAxes.Toolbar.Visible = 'off';
20 colormap(app.ConfEvalPreviewImUIAxes, jet(256));
21 app.ConfEvalPreviewImUIAxes.Interactions = [];
22 if isempty(app.ConfEvalSelectedArea)
23     app.ConfEvalRectRoi = drawrectangle(app.ConfEvalPreviewImUIAxes, 'LabelVisible',
24         'hover', 'Label', 'OuterRectangle', 'Position', app.ConfEvalSelectedArea);
25     addlistener(app.ConfEvalRectRoi, 'MovingROI', @(src, evt) drawRectAllevents(app,
26         src, evt));
27     addlistener(app.ConfEvalRectRoi, 'ROIMoved', @(src, evt) drawRectAllevents(app, src
28         , evt));
29
30     centerRectangleX = app.ConfEvalRectRoi.Position(1)+app.ConfEvalRectRoi.Position
31         (3)/2;
32     centerRectangleY = app.ConfEvalRectRoi.Position(2)+app.ConfEvalRectRoi.Position
33         (4)/2;
34     app.ConfEvalPointRoi = drawpoint(app.ConfEvalPreviewImUIAxes, ...

```

```

28     'Position',[centerRectangleX centerRectangleY],'Color','r',...
29     'InteractionsAllowed','none');
30 end
31 drawnow;
32 drawnow;
33 end

```

7.41: Function ConfEvalSmpImDropDown\_ValueChangedFcn

```

1 function ConfEvalSmpImDropDown_ValueChangedFcn(app, src, event)
2 %ConfEvalSmpImDropDown_ValueChangedFcn listening to changes to the selected
3 %image and adjusting shown elements in the UI.
4 cla(app.ConfEvalPreviewImUIAxes,'reset');
5 imshow(event.Value.getImageData(), 'Parent', app.ConfEvalPreviewImUIAxes);
6 app.ConfEvalPreviewImUIAxes.Toolbar.Visible = 'off';
7 app.ConfEvalPreviewImUIAxes.Interactions = [];
8 colormap(app.ConfEvalPreviewImUIAxes, jet(256));
9 if not(isempty(app.ConfEvalSelectedArea))
10    app.ConfEvalRectRoi = drawrectangle(app.ConfEvalPreviewImUIAxes,'LabelVisible',...
11        'hover','Label','OuterRectangle','Position',app.ConfEvalSelectedArea);
12    addlistener(app.ConfEvalRectRoi,'MovingROI',@(src, evt)
13        drawConfEvalRectAllevents(app,src,evt));
14    addlistener(app.ConfEvalRectRoi,'ROIMoved',@(src, evt) drawConfEvalRectAllevents
15        (app,src,evt));
16
17    centerRectangleX = app.ConfEvalRectRoi.Position(1)+app.ConfEvalRectRoi.Position
18        (3)/2;
19    centerRectangleY = app.ConfEvalRectRoi.Position(2)+app.ConfEvalRectRoi.Position
20        (4)/2;
21    app.ConfEvalPointRoi = drawpoint(app.ConfEvalPreviewImUIAxes, ...
22        'Position',[centerRectangleX centerRectangleY],'Color','r',...
23        'InteractionsAllowed','none');
24 end
25 drawnow;
26 drawnow;
27 %    cla(app.LiveMeasResultImUIAxes,'reset');
28 %    imshow(event.Value.getImageData(), 'Parent', app.LiveMeasResultImUIAxes);
29 %    el = drawellipse(app.LiveMeasResultImUIAxes,'Center',...
30 %        [1282/2 1026/2],...
31 %        'SemiAxes',[100 100],...
32 %        'StripeColor','r','Linewidth',1.75);
33 %    el.InteractionsAllowed = 'none';
34 end

```

7.42: Function drawConfEvalRectAllevents

```

1 function drawConfEvalRectAllevents(app,src,evt)
2 %drawRectAllevents listening to the Rectangle object and resolving all
3 %events happening to it.
4 evname = evt.EventName;

```

```

5 switch(evname)
6   case{'MovingROI'}
7     disp(['ROI moving previous position: ' mat2str(evt.PreviousPosition)]);
8     disp(['ROI moving current position: ' mat2str(evt.CurrentPosition)]);
9   case{'ROIMoved'}
10    disp(['ROI moved previous position: ' mat2str(evt.PreviousPosition)]);
11    disp(['ROI moved current position: ' mat2str(evt.CurrentPosition)]);
12 end
13
14 app.ConfEvalSelectedArea = evt.CurrentPosition;
15 centerRectangleX = app.ConfEvalRectRoi.Position(1)+app.ConfEvalRectRoi.Position(3)
16   /2;
17 centerRectangleY = app.ConfEvalRectRoi.Position(2)+app.ConfEvalRectRoi.Position(4)
18   /2;
19 app.ConfEvalPointRoi.Position(1) = centerRectangleX;
20 app.ConfEvalPointRoi.Position(2) = centerRectangleY;
21
22 end

```

7.43: Function drawLiveMeasRectAllevents

```

1 function drawLiveMeasRectAllevents(app,src,evt)
2 %drawRectAllevents listening to the Rectangle object and resolving all
3 %events happening to it.
4 evname = evt.EventName;
5 switch(evname)
6   case{'MovingROI'}
7     disp(['ROI moving previous position: ' mat2str(evt.PreviousPosition)]);
8     disp(['ROI moving current position: ' mat2str(evt.CurrentPosition)]);
9   case{'ROIMoved'}
10    disp(['ROI moved previous position: ' mat2str(evt.PreviousPosition)]);
11    disp(['ROI moved current position: ' mat2str(evt.CurrentPosition)]);
12 end
13
14 app.LiveMeasSelectedArea = evt.CurrentPosition;
15 centerRectangleX = app.LiveMeasRectRoi.Position(1)+app.LiveMeasRectRoi.Position(3)
16   /2;
17 centerRectangleY = app.LiveMeasRectRoi.Position(2)+app.LiveMeasRectRoi.Position(4)
18   /2;
19 app.LiveMeasPointRoi.Position(1) = centerRectangleX;
20 app.LiveMeasPointRoi.Position(2) = centerRectangleY;
21
22 end

```

7.44: Function EvalResImChangeColorMap

```

1 function EvalResImChangeColorMap(app, src, event)
2 %changes the colormap limits of the EvalResImDataUIAxes plot
3 app.EvalResColorMap(1) = app.EvalResColorMinEditField.Value
4 app.EvalResColorMap(2) = app.EvalResColorMaxEditField.Value

```

```

5 caxis(app.EvalResImDataUIAxes,app.EvalResColorMap);
6 end

```

#### 7.45: Function EvalResImDataChangeColorMapButton\_ValueChangedFcn

```

1 function EvalResImDataChangeColorMapButton_ValueChangedFcn(app, src, event)
2 %HSCamConfCamPreviewButton_ValueChangedFcn ValueChangedFcn listening to the
3 %state button to enable and disable the preview of the camera.
4
5 if src.Value
6     colormap(app.EvalResImDataUIAxes, gray(256));
7     caxis(app.EvalResImDataUIAxes,app.EvalResColorMap);
8     return;
9 end
10 colormap(app.EvalResImDataUIAxes, jet(256));
11 caxis(app.EvalResImDataUIAxes,app.EvalResColorMap);
12 end

```

#### 7.46: Function EvalResImDataDropDown\_ValueChangedFcn

```

1 function EvalResImDataDropDown_ValueChangedFcn(app, src, event)
2 %EvalResImDataDropDown_ValueChangedFcn listening to changes of the selected
3 %image and ajusting data shown in ui to the new selection
4 SetEvalResImDataParams(app,event.Value);
5 end

```

#### 7.47: Function EvalResMeasDataResultDropDown\_ValueChangedFcn

```

1 function EvalResMeasDataResultDropDown_ValueChangedFcn(app, src, event)
2 %EvalResMeasDataResultDropDown_ValueChangedFcn listening to the result
3 %dropdown menu adjusting shown data in the ui for the new selection.
4 SetEvalResMeasDataParams(app,event.Value);
5 end

```

#### 7.48: Function EvalResMeasPlotButton\_ButtonPushedFcn

```

1 function EvalResMeasPlotButton_ButtonPushedFcn(app, src, event)
2 %EvalResMeasPlotButton_ButtonPushedFcn listening to Plot Selection button
3 %to plot the chosen Plotoption.
4 fontsizeLabels = 38;
5 fontsizeLegend = 20;
6 fontsizeArrowLabel = 26;
7 fontsizeTickLabels = 22;
8
9 offsetHleft = -5;
10 offsetHright = -5;
11 offsetArrowLeft = -5;
12 offsetArrowHeight = -22;
13
14 lineWidth = 2.5;
15

```

```
16 plotSelection = app.EvalResPlotChooserDropDown.Value;
17
18 Mp = app.EvalResSmpDataDropDown.Value;
19 Mp.calcMeanImage();
20 im = Mp.getMeanImage().getImageData();
21 offset = 125;
22
23 if app.EvalResHoldPlotButton.Value
24     hold on;
25     ax=gca;
26 else
27     fig=figure;
28     ax=axes;
29 end
30
31 switch plotSelection
32     case 'Plot Radius X of all MP'
33         f = app.EvalResMeasDataResultDropDown.Value.getEvaluatedMeasurementData().
34             getfxFit();
35         dW = app.EvalResMeasDataResultDropDown.Value.getEvaluatedMeasurementData().
36             getdWx();
37         NoMP = size(app.EvalResMeasDataResultDropDown.Value.
38             getEvaluatedMeasurementData().getMeasurementDataSet(),2);
39         temp = app.EvalResMeasDataResultDropDown.Value.getEvaluatedMeasurementData()
40             .getMeasurementDataSet();
41         NoI = size(temp(1).getDataSet(),2);
42         dWStd = app.EvalResMeasDataResultDropDown.Value.getEvaluatedMeasurementData
43             ().getdWxStd();
44         zPos = app.EvalResMeasDataResultDropDown.Value.getEvaluatedMeasurementData()
45             .getzPos();
46         corrMethod = app.EvalResMeasDataResultDropDown.Value.getBackgroundCorrMethod
47             ();
48         lambda = app.EvalResMeasDataResultDropDown.Value.getLambda();
49         integAreaFact = app.EvalResMeasDataResultDropDown.Value.getIntegAreaFactor;
50         legendText = sprintf('Corr Method: %s, \u03bb = %i nm, IAF = %.1f, NoMP = %i
51             , NoI = %i',corrMethod,lambda,integAreaFact,NoMP,NoI);
52
53         %
54         zPos = zPos(1:end-2);
55         dW = dW(1:end-2);
56         dWStd = dWStd(1:end-2);
57
58         dW_min = dW-dWStd;
59         dW_max = dW+dWStd;
60         hold on;
61
62         stdLowerLimit = line(zPos/1e+3,dW_min/2,'Color','black','LineWidth',
63             lineWidth);
64         stdLowerLimit.Annotation.LegendInformation.IconDisplayStyle = 'off';
65         stdUpperLimit = line(zPos/1e+3,dW_max/2,'Color','black','LineWidth',
66             lineWidth);
```

```
    lineWidth);
56 stdUpperLimit.Annotation.LegendInformation.IconDisplayStyle = 'off';

57
58 zPos2 = [zPos/1e+3, fliplr(zPos/1e+3)];
59 inBetween = [dW_min/2, fliplr(dW_max/2)];
60 stdArea = fill(zPos2, inBetween, [0.85 0.85 0.85], 'DisplayName', 'Standard
61     deviation');
62 %         stdArea.Annotation.LegendInformation.IconDisplayStyle = 'off';

63 plot(zPos/1e+3,dW/2,'b','LineWidth', lineWidth,'DisplayName',legendText);
64 set(gca,'FontSize',fontsizeTickLabels);
65 legend('FontSize',fontsizeLegend);

66
67 title('$\text{Beamradius } R_x$', 'Interpreter', 'latex', 'FontSize',
68     fontsizeLabels)
68 ylabel('$\text{Beamradius } R_x \text{ in } \mu m$', 'Interpreter', 'lat
69     ex', 'FontSize', fontsizeLabels);
70 xlabel('$z - \text{Coordinate in } mm$', 'Interpreter', 'latex', 'FontSize',
71     fontsizeLabels);
72 case 'Plot Radius Y of all MP'
73     f = app.EvalResMeasDataResultDropDown.Value.getEvaluatedMeasurementData().
74         getfyFit();
75     dW = app.EvalResMeasDataResultDropDown.Value.getEvaluatedMeasurementData().
76         getdWy();
77     NoMP = size(app.EvalResMeasDataResultDropDown.Value.
78         getEvaluatedMeasurementData().getMeasurementDataSet(),2);
79     temp = app.EvalResMeasDataResultDropDown.Value.getEvaluatedMeasurementData()
80         .getMeasurementDataSet();
81     NoI = size(temp(1).getDataSet(),2);
82     dWStd = app.EvalResMeasDataResultDropDown.Value.getEvaluatedMeasurementData
83         ().getdWyStd();
84     zPos = app.EvalResMeasDataResultDropDown.Value.getEvaluatedMeasurementData()
85         .getzPos();

86 corrMethod = app.EvalResMeasDataResultDropDown.Value.getBackgroundCorrMethod
87 ();
88 lambda = app.EvalResMeasDataResultDropDown.Value.getLambda();
89 integAreaFact = app.EvalResMeasDataResultDropDown.Value.getIntegAreaFactor;
90 legendText = sprintf('Corr Method: %s, \x03bb = %i nm, IAF = %.1f, NoMP = %i
91 , NoI = %i',corrMethod,lambda,integAreaFact,NoMP,NoI);

92
93 dW_min = dW-dWStd;
94 dW_max = dW+dWStd;
95 hold on;

96 stdLowerLimit = line(zPos/1e+3,dW_min/2,'Color','black','LineWidth',
97     lineWidth);
98 stdLowerLimit.Annotation.LegendInformation.IconDisplayStyle = 'off';
99 stdUpperLimit = line(zPos/1e+3,dW_max/2,'Color','black','LineWidth',
```

```

        lineWidth);
91 stdUpperLimit.Annotation.LegendInformation.IconDisplayStyle = 'off';

92
93 zPos2 = [zPos/1e+3, fliplr(zPos/1e+3)];
94 inBetween = [dW_min/2, fliplr(dW_max/2)];
95 stdArea = fill(zPos2, inBetween, [0.85 0.85 0.85], 'DisplayName', 'Standard
    deviation');
96 %         stdArea.Annotation.LegendInformation.IconDisplayStyle = 'off';

97
98 plot(zPos/1e+3,dW/2,'b','LineWidth', lineWidth,'DisplayName',legendText);
99 set(gca,'FontSize',fontsizeTickLabels);
100 legend('FontSize',fontsizeLegend);

101
102 title('$\text{Beamradius } R_y$', 'Interpreter', 'latex', 'FontSize',
    fontsizeLabels)
103 ylabel('$\text{Beamradius } R_y \text{ in } \mu m$', 'Interpreter',
    'latex', 'FontSize', fontsizeLabels);
104 xlabel('$z - \text{Coordinate in } mm$', 'Interpreter', 'latex', 'FontSize',
    fontsizeLabels);

105
106 case 'Plot 2D Intensity Distribution X of selected MP'
107 %Get Data from current MP
108 xCenterInPixel = Mp.getBeamCenterX_mean/app.ConfEvalPixelSizeEditField.Value
    ();
109 yCenterInPixel = Mp.getBeamCenterY_mean/app.ConfEvalPixelSizeEditField.Value
    ();
110 zPos = Mp.getZPos()/1e+3;
111 dWxInPixel = Mp.getdWx_mean/app.ConfEvalPixelSizeEditField.Value() + offset;
112 dWyInPixel = Mp.getdWy_mean/app.ConfEvalPixelSizeEditField.Value() + offset;
113 x=xCenterInPixel-round(dWxInPixel/2):1:xCenterInPixel+round(dWxInPixel/2);
114 y=ones(size(x))*yCenterInPixel;
115 v=[x;y];
116 %Rotate line into Mainaxis using the azimuth angle
117 x_center = xCenterInPixel;
118 y_center = yCenterInPixel;
119 center = repmat([x_center; y_center], 1, length(x));
120 theta = Mp.getAzimutPhi_mean();
121 R = [cosd(theta) -sind(theta); sind(theta) cosd(theta)];
122 s = v - center;      % shift points in the plane so that the center of
    rotation is at the origin
123 so = R*s;           % apply the rotation about the origin
124 vo = so + center;   % shift again so the origin goes back to the desired
    center of rotation
125 % this can be done in one line as:
126 % vo = R*(v - center) + center
127 % pick out the vectors of rotated x- and y-data
128 x_rotated = vo(1,:);
129 y_rotated = vo(2,:);
130 % plot(x, y, 'k-', x_rotated, y_rotated, 'r-', x_center, y_center, 'bo');

```

```
131 rounded_rotated_x=floor(x_rotated);
132 rounded_rotated_y=floor(y_rotated);
133
134 %creating data vektor on rotated line
135 z=[];
136 for i=1:size(rounded_rotated_x,2)
137     z = [z,im(rounded_rotated_y(i),rounded_rotated_x(i))];
138 end
139
140
141
142 rounded_rotated_x = (rounded_rotated_x-xCenterInPixel)*app.
143     ConfEvalPixelsizeEditField.Value;
144
145 %fitting gaus to data
146 f = fit(rounded_rotated_x.',z.', 'gauss1');
147 % plotting gaus plus data
148 plot(ax,rounded_rotated_x,z,'b','LineWidth',lineWidth);
149 set(gca, 'FontSize', fontsizeTickLabels);
150 hold on;
151 h=plot(f,'r—');
152 set(h, 'LineWidth',lineWidth);
153 legend('Measurement Data','Gauss1 fit','FontSize',fontsizeLegend);
154
155 % hold on because we need to draw quite some things
156 hold on;
157 %Draw 1/e^2 Diameter lines and centerline
158 hLeft = xline(-(dWxInPixel-offset)*app.ConfEvalPixelsizeEditField.Value/2-
159     offsetHleft, 'k—', 'LineWidth', lineWidth);
160 hLeft.Annotation.LegendInformation.IconDisplayStyle = 'off';
161 hRight = xline((dWxInPixel-offset)*app.ConfEvalPixelsizeEditField.Value/2-
162     offsetHright, 'k—', 'LineWidth', lineWidth);
163 hRight.Annotation.LegendInformation.IconDisplayStyle = 'off';
164 %         hCenter = xline(yCenterInPixel-yCenterInPixel, 'g—', 'LineWidth',
165 %         1);
166 %         hCenter.Annotation.LegendInformation.IconDisplayStyle = 'off';
167
168 xLeft = ones(1,size(z,2))*(-(dWxInPixel-offset)*app.
169     ConfEvalPixelsizeEditField.Value/2);
170 yLeft = 0:max(z)/(size(z,2)-1):max(z);
171 [xiLeft,yiLeft] = polyxpoly(rounded_rotated_x,z,xLeft,yLeft);
172 xRight = ones(1,size(z,2))*((dWxInPixel-offset)*app.
173     ConfEvalPixelsizeEditField.Value/2);
174 yRight = 0:max(z)/(size(z,2)-1):max(z);
175 [xiRight,yiRight] = polyxpoly(rounded_rotated_x,z,xRight,yRight);
176
177 % Draw Doublearrow plus textbox for 1/e^2 Diameter
178 xArrow = [xiLeft-offsetArrowLeft xiRight-offsetArrowLeft];
179 yArrow = [yiLeft-offsetArrowHeight yiLeft-offsetArrowHeight];
```

```
174 annoArrow=annotation('doublearrow');
175 annoArrow.Parent = ax;
176 annoArrow.X = xArrow;
177 annoArrow.Y = yArrow;
178 annoArrow.LineWidth = 1;
179
180 annoText=annotation('textbox');
181 annoText.Parent = ax;
182 annoText.Position = [(xArrow(1))/2 yArrow(1)+20 1 1];
183 annoText.FitBoxToText = 'on';
184 annoText.LineWidth = 1;
185 annoText.String = '$D4\sigma$ Diameter';
186 annoText.FontSize = fontsizeArrowLabel;
187 annoText.Interpreter = 'latex';
188 annoText.Position(1) = annoText.Position(1)-annoText.Position(3)/2;
189 annoText.LineStyle = 'none';
190
191 % Calc FWHM Diameter location
192 xFHWMM = min(rounded_rotated_x):0.001:max(rounded_rotated_x);
193 gausFitFunction = feval(f,xFHWMM);
194 indexOffFWHM=find(abs(gausFitFunction-max(z)/2) < 0.01);
195 indexOffFWHMLeft=indexOffFWHM(1);
196
197 indexOffFWHMRight=indexOffFWHM(end);
198
199 %Draw FWHM Diameter lines
200 hLeftFWHM = xline(xFHWMM(indexOffFWHMLeft), 'm—', 'LineWidth', lineWidth);
201 hLeftFWHM.Annotation.LegendInformation.IconDisplayStyle = 'off';
202 hRightFWHM = xline((xFHWMM(indexOffFWHMRight)), 'm—', 'LineWidth', lineWidth)
203 ;
204 hRightFWHM.Annotation.LegendInformation.IconDisplayStyle = 'off';
205
206 xiRight = xFHWMM(indexOffFWHMRight);
207 xiLeft = xFHWMM(indexOffFWHMLeft);
208
209 % Draw Doublearrow plus textbox for FWHM Diameter
210 yiLeft = gausFitFunction(indexOffFWHMLeft);
211 xArrow = [xiLeft xiRight];
212 yArrow = [yiLeft yiLeft];
213 annoArrow=annotation('doublearrow');
214 annoArrow.Parent = ax;
215 annoArrow.X = xArrow;
216 annoArrow.Y = yArrow;
217 annoArrow.LineWidth = 1;
218
219 annoText=annotation('textbox');
220 annoText.Parent = ax;
221 annoText.Position = [(xArrow(1))/2 yArrow(1)+20 1 1];
```

```
222 annoText.FitBoxToText = 'on';
223 annoText.LineWidth = 1;
224 annoText.String = 'FWHM Diameter';
225 annoText.FontSize = fontsizeArrowLabel;
226 annoText.Interpreter = 'latex';
227 annoText.Position(1) = annoText.Position(1)-annoText.Position(3)/2;
228 annoText.LineStyle = 'none';
229 titleText = sprintf('2D Intensity Distribution X (z = %.3f mm)',zPos);
230 title(titleText,'Interpreter','latex','FontSize',fontsizeLabels)
231 ylabel('Intensity 0 - 255','Interpreter','latex','FontSize',fontsizeLabels);
232 xlabel('$\text{Beamradius } R_x \text{ in } \mu m$','Interpreter',
233 'latex','FontSize',fontsizeLabels);

234 hold off;
235 case 'Plot 2D Intensity Distribution Y of selected MP'
236 %Get Data from current MP
237 xCenterInPixel = Mp.getBeamCenterX_mean/app.ConfEvalPixelsizeEditField.Value
238 ();
239 yCenterInPixel = Mp.getBeamCenterY_mean/app.ConfEvalPixelsizeEditField.Value
240 ();
241 zPos = Mp.getZPos()/1e+3;
242 dWxInPixel = Mp.getdWx_mean/app.ConfEvalPixelsizeEditField.Value()+offset;
243 dWyInPixel= Mp.getdWy_mean/app.ConfEvalPixelsizeEditField.Value()+offset;
244 x=xCenterInPixel-round(dWxInPixel/2):1:xCenterInPixel+round(dWxInPixel/2);
245 y=ones(size(x))*yCenterInPixel;
246 v=[x;y];
247 %Rotate line into Mainaxis using the azimuth angle
248 x_center = xCenterInPixel;
249 y_center = yCenterInPixel;
250 center = repmat([x_center; y_center], 1, length(x));
251 theta = Mp.getAzimutPhi_mean()+90;
252 R = [cosd(theta) -sind(theta); sind(theta) cosd(theta)];
253 s = v - center;    % shift points in the plane so that the center of
254 rotation is at the origin
255 so = R*s;           % apply the rotation about the origin
256 vo = so + center;  % shift again so the origin goes back to the desired
257 center of rotation
258 % this can be done in one line as:
259 % vo = R*(v - center) + center
260 % pick out the vectors of rotated x- and y-data
261 x_rotated = vo(1,:);
262 y_rotated = vo(2,:);
263 % plot(x, y, 'k-', x_rotated, y_rotated, 'r-', x_center, y_center, 'bo');
264 rounded_rotated_x=floor(x_rotated);
265 rounded_rotated_y=floor(y_rotated);

266 %creating data vektor on rotated line
267 z=[];
268 for i=1:size(rounded_rotated_x,2)
```

```
266 z = [z,im(rounded_rotated_y(i),rounded_rotated_x(i))];  
267 end  
268  
269  
270 rounded_rotated_y = (rounded_rotated_y-yCenterInPixel)*app.  
    ConfEvalPixelsizeEditField.Value;  
271 %fitting gaus to data  
272 f = fit(rounded_rotated_y.',z.', 'gauss1');  
273 % plotting gaus plus data  
274 plot(ax,rounded_rotated_y,z,'b','LineWidth',lineWidth);  
275 set(gca,'FontSize',fontsizeTickLabels);  
276 hold on;  
277 h=plot(f,'r--');  
278 set(h, 'LineWidth',lineWidth);  
279 legend('Measurement Data','Gauss1 fit','FontSize',fontsizeLegend);  
280  
281 % hold on because we need to draw quite some things  
282 hold on;  
283 %Draw 1/e^2 Diameter lines and centerline  
284 hLeft = xline(-(dWyInPixel-offset)*app.ConfEvalPixelsizeEditField.Value/2-  
    offsetHleft, 'k—', 'LineWidth', lineWidth);  
285 hLeft.Annotation.LegendInformation.IconDisplayStyle = 'off';  
286 hRight = xline((dWyInPixel-offset)*app.ConfEvalPixelsizeEditField.Value/2-  
    offsetHright, 'k—', 'LineWidth', lineWidth);  
287 hRight.Annotation.LegendInformation.IconDisplayStyle = 'off';  
288 %           hCenter = xline(yCenterInPixel-yCenterInPixel, 'g—', 'LineWidth',  
289 %           1);  
290 %           hCenter.Annotation.LegendInformation.IconDisplayStyle = 'off';  
291  
292 xLeft = ones(1,size(z,2))*(-(dWyInPixel-offset)*app.  
    ConfEvalPixelsizeEditField.Value/2);  
293 yLeft = 0:max(z)/(size(z,2)-1):max(z);  
294 [xiLeft,yiLeft] = polyxpoly(rounded_rotated_y,z,xLeft,yLeft);  
295 xRight = ones(1,size(z,2))*((dWyInPixel-offset)*app.  
    ConfEvalPixelsizeEditField.Value/2);  
296 yRight = 0:max(z)/(size(z,2)-1):max(z);  
297 [xiRight,yiRight] = polyxpoly(rounded_rotated_y,z,xRight,yRight);  
298  
299 % Draw Doublearrow plus textbox for 1/e^2 Diameter  
300 xArrow = [xiLeft-offsetArrowLeft xiRight-offsetArrowLeft];  
301 yArrow = [yiLeft-offsetArrowHeight yiLeft-offsetArrowHeight];  
302 annoArrow=annotation('doublearrow');  
303 annoArrow.Parent = ax;  
304 annoArrow.X = xArrow;  
305 annoArrow.Y = yArrow;  
306 annoArrow.LineWidth = 1;  
307  
308 annoText=annotation('textbox');  
annoText.Parent = ax;
```

```
309 annoText.Position = [(xArrow(1))/2 yArrow(1)+20 1 1];
310 annoText.FitBoxToText = 'on';
311 annoText.LineWidth = 1;
312 annoText.String = '$D4\sigma$ Diameter';
313 annoText.FontSize = fontsizeArrowLabel;
314 annoText.Interpreter = 'latex';
315 annoText.Position(1) = annoText.Position(1)-annoText.Position(3)/2;
316 annoText.LineStyle = 'none';
317
318 % Calc FWHM Diameter location
319 xFHW = min(rounded_rotated_y):0.001:max(rounded_rotated_y);
320 gausFitFunction = feval(f,xFHW);
321 indexOffFWHM=find(abs(gausFitFunction-max(z)/2) < 0.01);
322 indexOffFWHMLeft=indexOffFWHM(1);
323
324 indexOffFWHMRight=indexOffFWHM(end);
325
326 %Draw FWHM Diameter lines
327 hLeftFWHM = xline(xFHW(indexOffFWHMLeft), 'm—', 'LineWidth', lineWidth);
328 hLeftFWHM.Annotation.LegendInformation.IconDisplayStyle = 'off';
329 hRightFWHM = xline((xFHW(indexOffFWHMRight)), 'm—', 'LineWidth', lineWidth)
330 ;
331 hRightFWHM.Annotation.LegendInformation.IconDisplayStyle = 'off';
332
333 xiRight = xFHW(indexOffFWHMRight);
334 xiLeft = xFHW(indexOffFWHMLeft);
335
336 % Draw Doublearrow plus textbox for FWHM Diameter
337 yiLeft = gausFitFunction(indexOffFWHMLeft);
338 xArrow = [xiLeft xiRight];
339 yArrow = [yiLeft yiLeft];
340 annoArrow=annotation('doublearrow');
341 annoArrow.Parent = ax;
342 annoArrow.X = xArrow;
343 annoArrow.Y = yArrow;
344 annoArrow.LineWidth = 1;
345
346 annoText=annotation('textbox');
347 annoText.Parent = ax;
348 annoText.Position = [(xArrow(1))/2 yArrow(1)+20 1 1];
349 annoText.FitBoxToText = 'on';
350 annoText.LineWidth = 1;
351 annoText.String = 'FWHM Diameter';
352 annoText.FontSize = fontsizeArrowLabel;
353 annoText.Interpreter = 'latex';
354 annoText.Position(1) = annoText.Position(1)-annoText.Position(3)/2;
355 annoText.LineStyle = 'none';
356 titleText = sprintf('2D Intensity Distribution Y (z = %.3f mm)',zPos);
```

```
357 title(titleText,'Interpreter','latex','FontSize',fontsizeLabels)
358 ylabel('Intensity 0 – 255','Interpreter','latex','FontSize',fontsizeLabels);
359 xlabel('$\text{Beamradius } R_y \text{ in } \mu m$','Interpreter',
360 'latex','FontSize',fontsizeLabels);
361 hold off;
362 case 'Plot 3D Intensity Distribution of selected MP'
363 xCenterInPixel = Mp.getBeamCenterX_mean/app.ConfEvalPixelSizeEditField.Value
364 ();
365 yCenterInPixel = Mp.getBeamCenterY_mean/app.ConfEvalPixelSizeEditField.Value
366 ();
367 zPos = Mp.getZPos()/1e+3;
368 dWxInPixel = Mp.getDwX_mean/app.ConfEvalPixelSizeEditField.Value()+10;
369 dWyInPixel= Mp.getDwY_mean/app.ConfEvalPixelSizeEditField.Value()+10;
370 titleText = sprintf('3D Intensity Distribution (z = %.3f mm)',zPos);
371
372 if dWxInPixel > dWyInPixel
373     dWsym = dWxInPixel;
374 else
375     dWsym = dWyInPixel;
376 end
377 offset=200;
378 im = im+offset;
379 centerY = (round(yCenterInPixel+dWsym)-round(yCenterInPixel-dWsym))/2;
380 centerX = (round(xCenterInPixel+dWsym)-round(xCenterInPixel-dWsym))/2;
381 s = surf(ax,im(round(yCenterInPixel-dWsym):round(yCenterInPixel+dWsym),...
382 round(xCenterInPixel-dWsym):round(xCenterInPixel+dWsym)));
383 s.XData = (s.XData-centerX)*app.ConfEvalPixelSizeEditField.Value;
384 s.YData = (s.YData-centerY)*app.ConfEvalPixelSizeEditField.Value;
385 set(gca,'xlim',[s.XData(1) s.XData(end)],'ylim',[s.YData(1) s.YData(end)]);
386 s.EdgeColor = 'none';
387 set(gca,'FontSize',fontsizeTickLabels);
388 X = s.XData';
389 zFFT = s.YData;
390 ZZ = s.ZData;
391 [XX YY] = meshgrid(X,zFFT);
392 hold on
393 ims = imagesc(im(round(yCenterInPixel-dWsym):round(yCenterInPixel+dWsym),...
394 round(xCenterInPixel-dWsym):round(xCenterInPixel+dWsym)));
395 ims.XData = (ims.XData-centerX)*app.ConfEvalPixelSizeEditField.Value;
396 ims.YData = (ims.YData-centerY)*app.ConfEvalPixelSizeEditField.Value;
397 spacing = 10; % play around so it fits the size of your data set
398 for i = 1 : spacing : length(XX(:,1))
399     plot3(XX(:,i), YY(:,i), ZZ(:,i), '-k');
400     plot3(XX(i,:), YY(i,:), ZZ(i,:), '-k');
401 end
402 set(gca,'ZTickLabel',[]);
403 title(titleText,'Interpreter','latex','FontSize',fontsizeLabels)
404 % xlabel('$\text{Intensity}$','Interpreter','latex','FontSize')
```

```
    ',16);
403 xlabel('$\text{x - Coordinate in } \mu m$', 'Interpreter', 'latex', 'FontSize'
404     ',25);
405 ylabel('$\text{y - Coordinate in } \mu m$', 'Interpreter', 'latex', 'FontSize'
406     ',25);

407
408
409
410
411
412
413
414
415
416
417
418
419
420
421
422
423
424
425
426
427
428
429
430
431
432
433
434
435
436
437
438
439
440
441
442
443
444
445
446
```

```
    % Handle of the x label
set(xh, 'Units', 'Normalized')
pos = get(xh, 'Position');
set(xh, 'Position', pos.*[1.2,-0.3,1], 'Rotation', 21)
% Handle of the y label
set(yh, 'Units', 'Normalized')
pos = get(yh, 'Position');
set(yh, 'Position', pos.*[0.6,-0.2,1], 'Rotation', -33)
axis image;

a = colorbar('FontSize',20);
a.Ticks = linspace(200, 455, 6);
a.TickLabels = linspace(0, 255, 6);
ylabel(a,'Intensity 0--255 (false color)', 'Interpreter', 'latex', 'FontSize',
      fontsizeLabels);
colormap(jet(256));
caxis([0+offset 255+offset]);

case 'Plot Spatial Spectrum of selected MP'
dx=app.ConfEvalPixelSizeEditField.Value;
dy=app.ConfEvalPixelSizeEditField.Value;
zPos = Mp.getZPos()/1e+3;
Fs_x = 1/dx;      % centimeters per pixel
Fs_y = 1/dy;

[ M, N, ~ ] = size(im);      % pixels
x = dx*(0:N-1)';           % centimeters
y = dy*(0:M-1)';
dFx = Fs_x/N;               % cycles per centimeter
dFy = Fs_y/M;
Fx = (-Fs_x/2:dFx:Fs_x/2-dFx)';      % cycles per centimeter
Fy = (-Fs_y/2:dFy:Fs_y/2-dFy)';

zFFT = fft2(im);
absY=abs(fftshift(zFFT));
imagesc(Fx,Fy,absY);
set(gca, 'FontSize', fontsizeTickLabels);
colormap(gray);
c = colorbar('FontSize',fontsizeTickLabels);
ylabel(c,'$\text{Intensity in Greyscale}$ ', 'Interpreter', 'latex',
      'FontSize', fontsizeLabels);
```

```
447 title('Spatial Spectrum Linear Amplitude','Interpreter','latex','FontSize',
448     fontsizeLabels)
449 xlabel('$\text{Spatial frequency } f_x \text{ in } 1/\mu m$ ','
450     Interpreter','latex','FontSize',fontsizeLabels);
451 ylabel('$\text{Spatial frequency } f_y \text{ in } 1/\mu m$ ','
452     Interpreter','latex','FontSize',fontsizeLabels);
453
454 figure;
455 absYlog=10*log10(absY./max(max(absY)));
456 imagesc(Fx,Fy,absYlog);
457 set(gca,'FontSize',fontsizeTickLabels);
458 colormap(gray);
459 c = colorbar('FontSize',fontsizeTickLabels);
460 ylabel(c,'$\text{Intensity in } dB$ ','Interpreter','latex','FontSize',
461     fontsizeLabels);
462 title('Spatial Spectrum Logarithmic Amplitude','Interpreter','latex',
463     'FontSize',fontsizeLabels)
464 xlabel('$\text{Spatial frequency } f_x \text{ in } 1/\mu m$ ','
465     Interpreter','latex','FontSize',fontsizeLabels);
466 ylabel('$\text{Spatial frequency } f_y \text{ in } 1/\mu m$ ','
467     Interpreter','latex','FontSize',fontsizeLabels);
468
469 k=0.0001;
470 scaledP1 = absY.*k;
471 c=255/log10(1+max(max(scaledP1)));
472 absYlog2 = c*log10(1+scaledP1);
473
474 figure;
475 imagesc(Fx,Fy,absYlog2);
476 set(gca,'FontSize',fontsizeTickLabels);
477 colormap(gray);
478 c = colorbar('FontSize',fontsizeTickLabels);
479 ylabel(c,'$\text{Intensity in } dB$ ','Interpreter','latex','FontSize',
480     fontsizeLabels);
481 titleText = sprintf('Spatial Spectrum (z = %.3f mm)',zPos);
482 title(titleText,'Interpreter','latex','FontSize',fontsizeLabels)
483 xlabel('$\text{Spatial frequency } f_x \text{ in } 1/\mu m$ ','
484     Interpreter','latex','FontSize',fontsizeLabels);
485 ylabel('$\text{Spatial frequency } f_y \text{ in } 1/\mu m$ ','
486     Interpreter','latex','FontSize',fontsizeLabels);
487 grid on;
488 case 'Plot 2D Spectral Distribution X of selected MP'
489 %Get Data from current MP
490 xCenterInPixel = Mp.getBeamCenterX_mean/app.ConfEvalPixelSizeEditField.Value
491 ();
492 yCenterInPixel = Mp.getBeamCenterY_mean/app.ConfEvalPixelSizeEditField.Value
493 ();
494 zPos = Mp.getZPos()/1e+3;
```

```

484 dWxInPixel = Mp.getdWx_mean/app.ConfEvalPixelsizeEditField.Value() + offset;
485 dWyInPixel= Mp.getdWy_mean/app.ConfEvalPixelsizeEditField.Value() + offset;
486 x=xCenterInPixel-round(dWxInPixel/2):1:xCenterInPixel+round(dWxInPixel/2);
487 y=ones(size(x))*yCenterInPixel;
488 v=[x;y];
489 %Rotate line into Mainaxis using the azimuth angle
490 x_center = xCenterInPixel;
491 y_center = yCenterInPixel;
492 center = repmat([x_center; y_center], 1, length(x));
493 theta = Mp.getAzimuthPhi_mean();
494 R = [cosd(theta) -sind(theta); sind(theta) cosd(theta)];
495 s = v - center;      % shift points in the plane so that the center of
        rotation is at the origin
496 so = R*s;           % apply the rotation about the origin
497 vo = so + center;   % shift again so the origin goes back to the desired
        center of rotation
498 % this can be done in one line as:
499 % vo = R*(v - center) + center
500 % pick out the vectors of rotated x- and y-data
501 x_rotated = vo(1,:);
502 y_rotated = vo(2,:);
503 % plot(x, y, 'k-', x_rotated, y_rotated, 'r-', x_center, y_center, 'bo');
504 rounded_rotated_x=floor(x_rotated);
505 rounded_rotated_y=floor(y_rotated);

506
507 %creating data vektor on rotated line
508 z=[];
509 for i=1:size(rounded_rotated_x,2)
510     z = [z,im(rounded_rotated_y(i),rounded_rotated_x(i))];
511 end
512 dx=app.ConfEvalPixelsizeEditField.Value;
513 dy=app.ConfEvalPixelsizeEditField.Value;

514
515 Fs_x = 1/dx;      % centimeters per pixel
516 Fs_y = 1/dy;
517
518 [M, N] = size(z);      % pixels
519 x = dx*(0:N-1)';          % centimeters
520
521 dFx = Fs_x/N;          % cycles per centimeter
522
523 Fx = (-Fs_x/2:dFx:Fs_x/2-dFx)';          % cycles per centimeter
524
525 zFFT = fft(z);
526 P2 = abs(zFFT/N);
527 P1 = P2(1:floor(N/2)+1);
528 P1(2:end-1) = 2*P1(2:end-1);
529 f = Fs_x*(0:(N/2))/N;
530 % plot(gca,f,P1,'LineWidth',lineWidth);

```

```
531 % set(gca,'FontSize',fontsizeTickLabels);
532 % titleText = sprintf('2D Spectral Distribution X (z = %.3f mm)',zPos);
533 % title(titleText,'Interpreter','latex','FontSize',fontsizeLabels)
534 % ylabel('$\text{Intensity}\text{ in Greyscale}$','Interpreter','latex',
535 % 'FontSize',fontsizeLabels);
536 % xlabel('$\text{Spatial frequency } f_{x} \text{ in } 1/\mu m$ ','Interpreter','latex','FontSize',fontsizeLabels);
537 % grid on;
538 %
539 % figure;
540 % absP1log=10*log10(P1./max(P1));
541 % plot(gca,f,absP1log,'LineWidth',lineWidth);
542 % set(gca,'FontSize',fontsizeTickLabels);
543 % titleText = sprintf('2D Spectral Distribution X (z = %.3f mm)',zPos);
544 % title(titleText,'Interpreter','latex','FontSize',fontsizeLabels)
545 % ylabel('$\text{Intensity}\text{ in } dB$','Interpreter','latex',
546 % 'FontSize',fontsizeLabels);
547 % xlabel('$\text{Spatial frequency } f_{x} \text{ in } 1/\mu m$ ','Interpreter','latex','FontSize',fontsizeLabels);
548 % grid on;
549 %
550 % figure;
551 k=0.0001;
552 scaledP1 = P1.*k;
553 c=255/log10(1+max(max(scaledP1)));
554 absP1log = c*log10(1+scaledP1);

555 plot(ax,f,absP1log,'LineWidth',lineWidth);
556 set(gca,'FontSize',fontsizeTickLabels);
557 titleText = sprintf('2D Spectral Distribution X (z = %.3f mm)',zPos);
558 title(titleText,'Interpreter','latex','FontSize',fontsizeLabels)
559 ylabel('$\text{Intensity}\text{ in } dB$','Interpreter','latex',
560 % 'FontSize',fontsizeLabels);
561 xlabel('$\text{Spatial frequency } f_{x} \text{ in } 1/\mu m$ ','Interpreter','latex','FontSize',fontsizeLabels);
562 grid on;

563 hold off;
564 case 'Plot 2D Spectral Distribution Y of selected MP'
565 %Get Data from current MP
566 xCenterInPixel = Mp.getBeamCenterX_mean/app.ConfEvalPixelSizeEditField.Value
      ();
567 yCenterInPixel = Mp.getBeamCenterY_mean/app.ConfEvalPixelSizeEditField.Value
      ();
568 zPos = Mp.getZPos()/1e+3;
569 dWxInPixel = Mp.getDwX_mean/app.ConfEvalPixelSizeEditField.Value() + offset;
570 dWyInPixel = Mp.getDwY_mean/app.ConfEvalPixelSizeEditField.Value() + offset;
571 x=xCenterInPixel-round(dWxInPixel/2):1:xCenterInPixel+round(dWxInPixel/2);
y=ones(size(x))*yCenterInPixel;
```

```
572 v=[x;y];
573 %Rotate line into Mainaxis using the azimuth angle
574 x_center = xCenterInPixel;
575 y_center = yCenterInPixel;
576 center = repmat([x_center; y_center], 1, length(x));
577 theta = Mp.getAzimuthPhi_mean()+90;
578 R = [cosd(theta) -sind(theta); sind(theta) cosd(theta)];
579 s = v - center;      % shift points in the plane so that the center of
580           rotation is at the origin
581 so = R*s;            % apply the rotation about the origin
582 vo = so + center;   % shift again so the origin goes back to the desired
583           center of rotation
584 % this can be done in one line as:
585 % vo = R*(v - center) + center
586 % pick out the vectors of rotated x- and y-data
587 x_rotated = vo(1,:);
588 y_rotated = vo(2,:);
589 % plot(x, y, 'k-', x_rotated, y_rotated, 'r-', x_center, y_center, 'bo');
590 rounded_rotated_x=floor(x_rotated);
591 rounded_rotated_y=floor(y_rotated);

592 %creating data vektor on rotated line
593 z=[];
594 for i=1:size(rounded_rotated_x,2)
595     z = [z,im(rounded_rotated_y(i)),rounded_rotated_x(i))];
596 end

597 dx=app.ConfEvalPixelsizeEditField.Value;
598 dy=app.ConfEvalPixelsizeEditField.Value;
599

600 Fs_x = 1/dy;      % centimeters per pixel
601
602 [M, N] = size(z);      % pixels
603 x = dx*(0:N-1)';      % centimeters
604
605 dFx = Fs_x/N;          % cycles per centimeter
606
607 Fx = (-Fs_x/2:dFx:Fs_x/2-dFx)';      % cycles per centimeter
608
609 zFFT = fft(z);
610 P2 = abs(zFFT/N);
611 P1 = P2(1:floor(N/2)+1);
612 P1(2:end-1) = 2*P1(2:end-1);
613 f = Fs_x*(0:(N/2))/N;
614 %
615 %
616 %
617 %
618 %
```

```
    ', 'FontSize', fontsizeLabels);
619  % xlabel('$\textrm{Spatial frequency } f_{\{y\}} \textrm{ in } 1/\mu m$ ', 'Interpreter', 'latex', 'FontSize', fontsizeLabels);
620  % grid on;
621  %
622  % figure;
623  % absP1log=10*log10(P1./max(P1));
624  % plot(gca,f,absP1log,'LineWidth',lineWidth);
625  % set(gca,'FontSize',fontsizeTickLabels);
626  % titleText = sprintf('2D Spectral Distribution Y (z = %.3f mm)',zPos);
627  % title(titleText,'Interpreter','latex','FontSize',fontsizeLabels)
628  % ylabel('$\textrm{Intensity}\textrm{ in } dB$', 'Interpreter','latex','FontSize',fontsizeLabels);
629  % xlabel('$\textrm{Spatial frequency } f_{\{y\}} \textrm{ in } 1/\mu m$ ', 'Interpreter', 'latex', 'FontSize', fontsizeLabels);
630  % grid on;
631  %
632  % figure;
633  k=0.0001;
634  scaledP1 = P1.*k;
635  c=255/log10(1+max(max(scaledP1)));
636  absP1log = c*log10(1+scaledP1);
637
638  plot(gca,f,absP1log,'LineWidth',lineWidth);
639  set(gca,'FontSize',fontsizeTickLabels);
640  titleText = sprintf('2D Spectral Distribution Y (z = %.3f mm)',zPos);
641  title(titleText,'Interpreter','latex','FontSize',fontsizeLabels)
642  ylabel('$\textrm{Intensity}\textrm{ in } dB$', 'Interpreter','latex','FontSize',fontsizeLabels);
643  xlabel('$\textrm{Spatial frequency } f_{\{y\}} \textrm{ in } 1/\mu m$ ', 'Interpreter', 'latex','FontSize',fontsizeLabels);
644  hold off;
645 case 'Plot Close Up of Beamprofile'
646     xCenterInPixel = Mp.getBeamCenterX_mean/app.ConfEvalPixelSizeEditField.Value
647         ();
648     yCenterInPixel = Mp.getBeamCenterY_mean/app.ConfEvalPixelSizeEditField.Value
649         ();
650     zPos = Mp.getZPos()/1e+3;
651     dWxInPixel = Mp.getDwX_mean/app.ConfEvalPixelSizeEditField.Value() + 0;
652     dWyInPixel = Mp.getDwY_mean/app.ConfEvalPixelSizeEditField.Value() + 0;
653     titleText = sprintf('Beamprofile Close - Up (z = %.3f mm)',zPos);
654
655     if dWxInPixel > dWyInPixel
656         dWsym = dWxInPixel;
657     else
658         dWsym = dWyInPixel;
659     end
660     centerY = (round(yCenterInPixel+dWsym) - round(yCenterInPixel-dWsym))/2;
661     centerX = (round(xCenterInPixel+dWsym) - round(xCenterInPixel-dWsym))/2;
```

```
660 set(gca,'FontSize',fontsizeTickLabels);
661 ims = image(im(round(yCenterInPixel-dWsym):round(yCenterInPixel+dWsym),...
662             round(xCenterInPixel-dWsym):round(xCenterInPixel+dWsym)));
663 axis image;
664 ims.XData = (ims.XData-centerX)*app.ConfEvalPixelsizeEditField.Value;
665 ims.YData = (ims.YData-centerY)*app.ConfEvalPixelsizeEditField.Value;
666 title(titleText,'Interpreter','latex','FontSize',fontsizeLabels)
667 set(gca,'FontSize',fontsizeTickLabels,'GridLineStyle','-', 'GridAlpha',1,%
668       'GridColor','k');
669 %           xlabel('$\text{Intensity}$ ','Interpreter','latex','FontSize'
670 %             ',16);
670 xlabel('$\text{x - Coordinate in } \mu m$','Interpreter','latex','FontSize'
671 %             ,fontsizeLabels);
672 ylabel('$\text{y - Coordinate in } \mu m$','Interpreter','latex','FontSize'
673 %             ,fontsizeLabels);
674 a = colorbar('FontSize',20);
675 a.Ticks = linspace(0, 255, 6);
676 a.TickLabels = linspace(0, 255, 6);
677 ylabel(a,'Intensity 0 - 255 (false color)','Interpreter','latex','FontSize',
678       fontsizeLabels);
679 colormap(jet(256));
680 case 'Plot Diameter X squared Datapoints with fitted curve'
681 f = app.EvalResMeasDataResultDropDown.Value.getEvaluatedMeasurementData().
682     getfxFit();
683 dW = app.EvalResMeasDataResultDropDown.Value.getEvaluatedMeasurementData().
684     getdWx();
685 NoMP = size(app.EvalResMeasDataResultDropDown.Value.
686     getEvaluatedMeasurementData().getMeasurementDataSet(),2);
687 temp = app.EvalResMeasDataResultDropDown.Value.getEvaluatedMeasurementData()
688     .getMeasurementDataSet();
689 NoI = size(temp(1).getDataSet(),2);
690 dWStd = app.EvalResMeasDataResultDropDown.Value.getEvaluatedMeasurementData()
691     ().getdWxStd();
692 zPos = app.EvalResMeasDataResultDropDown.Value.getEvaluatedMeasurementData()
693     .getzPos();
694 corrMethod = app.EvalResMeasDataResultDropDown.Value.getBackgroundCorrMethod
695     ();
696 lambda = app.EvalResMeasDataResultDropDown.Value.getLambda();
697 integAreaFact = app.EvalResMeasDataResultDropDown.Value.getIntegAreaFactor;
698 legendText = sprintf('Corr Method: %s, \u03bb = %i nm, IAF = %.1f, NoMP = %i
699     , NoI = %i',corrMethod,lambda,integAreaFact,NoMP,NoI);
700 hold on;
701
702 j = plot(zPos,dW.^2,'bx');
703 set(j,'LineWidth', 0.75*lineWidth,'MarkerSize',15);
704 h = plot(f,'r-',zPos,dW.^2,'bx');
705 set(h,'LineWidth', lineWidth,'MarkerSize',15);
706 uistack(j,'top')
707 set(gca,'FontSize',fontsizeTickLabels);
```

```

696 legend('FontSize',fontsizeLegend);
697
698 title('','Interpreter','latex','FontSize',fontsizeLabels)
699 ylabel('$\text{Beamdiameter } D_{x}^2 \text{ in } \mu m$ ',''
    Interpreter','latex','FontSize',fontsizeLabels);
700 xlabel('$z - \text{Coordinate in } \mu m$ ','Interpreter','latex','FontSize
    ',fontsizeLabels);
701 case 'Plot Diameter Y squared Datapoints with fitted curve'
702 f = app.EvalResMeasDataResultDropDown.Value.getEvaluatedMeasurementData().
    getfyFit();
703 dW = app.EvalResMeasDataResultDropDown.Value.getEvaluatedMeasurementData().
    getdWy();
704 NoMP = size(app.EvalResMeasDataResultDropDown.Value.
    getEvaluatedMeasurementData().getMeasurementDataSet(),2);
705 temp = app.EvalResMeasDataResultDropDown.Value.getEvaluatedMeasurementData().
    getMeasurementDataSet();
706 NoI = size(temp(1).getDataSet(),2);
707 dwStd = app.EvalResMeasDataResultDropDown.Value.getEvaluatedMeasurementData
    ().getdWyStd();
708 zPos = app.EvalResMeasDataResultDropDown.Value.getEvaluatedMeasurementData()
    .getzPos();
709
710 corrMethod = app.EvalResMeasDataResultDropDown.Value.getBackgroundCorrMethod
    ();
711 lambda = app.EvalResMeasDataResultDropDown.Value.getLambda();
712 integAreaFact = app.EvalResMeasDataResultDropDown.Value.getIntegAreaFactor;
713 legendText = sprintf('Corr Method: %s, \x03bb = %i nm, IAF = %.1f, NoMP = %i
    , NoI = %i',corrMethod,lambda,integAreaFact,NoMP,NoI);
714 hold on;
715
716 j = plot(zPos,dW.^2,'bx');
717 set(j,'LineWidth', 0.75*lineWidth,'MarkerSize',15);
718 h = plot(f,'r-',zPos,dW.^2,'bx');
719 set(h,'LineWidth', lineWidth,'MarkerSize',15);
720 uistack(j,'top')
721 set(gca,'FontSize',fontsizeTickLabels);
722 legend('FontSize',fontsizeLegend);
723
724 title('','Interpreter','latex','FontSize',fontsizeLabels)
725 ylabel('$\text{Beamdiameter } D_y^2 \text{ in } \mu m$ ',''
    Interpreter','latex','FontSize',fontsizeLabels);
726 xlabel('$z - \text{Coordinate in } \mu m$ ','Interpreter','latex','FontSize
    ',fontsizeLabels);
727 end
728 ax.XGrid = 'on';
729 ax.YGrid = 'on';
730 end

```

7.49: Function EvalResSaveMeasButton\_ButtonPushedFcn

```

1 function EvalResSaveMeasButton_ButtonPushedFcn(app, src, event)
2 %EvalResSaveMeasButton_ButtonPushedFcn ButtonPushedFcn listening to the
3 %Save Button.
4 loadedMeas = app.loadedMeas;
5 uisave({'loadedMeas'});
6 end

```

#### 7.50: Function EvalResSmpDataDropDown\_ValueChangedFcn

```

1 function EvalResSmpDataDropDown_ValueChangedFcn(app, src, event)
2 %EvalResSmpDataDropDown_ValueChangedFcn ValueChangedFcn listening to
3 %changes to the currently shown Measuring Point in the Evaluation Results
4 %Tab and triggering the function to update Measuring Point data.
5 SetEvalResSmpDataParams(app,event.Value);
6 end

```

#### 7.51: Function HSCamConfApplySettingButton\_ButtonPushedFcn

```

1 function HSCamConfApplySettingButton_ButtonPushedFcn(app,src,event)
2 %HSCamConfApplySettingButton_ButtonPushedFcn ButtonPushedFcn listening to
3 %the Apply Button to adjust the ExposureTime of the Camera.
4 src = getselectedsource(app.vid);
5 src.ExposureTimeAbs = app.HSCamConfExposureTimeEditField.Value;
6 src.ExposureTimeRaw = app.HSCamConfExposureTimeEditField.Value;

```

#### 7.52: Function HSCamConfCamPreviewButton\_ValueChangedFcn

```

1 function HSCamConfCamPreviewButton_ValueChangedFcn(app, src, event)
2 %HSCamConfCamPreviewButton_ValueChangedFcn ValueChangedFcn listening to the
3 %state button to enable and disable the preview of the camera.
4 if src.Value
5 app.HSCamConfCamUIAxes.Visible = 'on';
6 app.vid.FramesPerTrigger = 1;
7 vidsrc = getselectedsource(app.vid);
8 delay = CalculatePacketDelay(app.vid, 30);
9 vidsrc.PacketDelay = delay;
10 vidRes = app.vid.VideoResolution;
11 nBands = app.vid.NumberOfBands;
12 hImage = image( zeros(vidRes(2), vidRes(1),nBands), 'Parent', app.HSCamConfCamUIAxes)
13 ;
14 drawnow;
15 preview(app.vid,hImage);
16 wait(app.vid);
17 else
18 stoppreview(app.vid);
19 wait(app.vid);
20 app.HSCamConfCamUIAxes.Visible = 'off';
21 vidsrc = getselectedsource(app.vid);
22 delay = CalculatePacketDelay(app.vid, 1);
23 vidsrc.PacketDelay = delay;
24 drawnow;

```

```
24 end  
25 end
```

### 7.53: Function HSCamConfCamTestButton\_ButtonPushedFcn

```
1 function HSCamConfCamTestButton_ButtonPushedFcn(app, src, event)  
2 %HSCamConfCamTestButton_ButtonPushedFcn ButtonPushedFcn listening to the  
3 %Trigger Image button to create Testimages with the current ExposureTime  
4 %Setting.  
5  
6 % Initiate the acquisition.  
7 start(app.vid);  
8  
9 % Trigger the acquisition.  
10 trigger(app.vid)  
11  
12 % Wait for the acquisition to end.  
13 wait(app.vid, 10);  
14  
15 % Determine the number frames acquired.  
16 frameslogged = app.vid.FramesAcquired;  
17  
18 data = getdata(app.vid);  
19 imshow(data);  
20 colormap(gca, jet(256));  
21 uisave('data');  
22  
23 end
```

### 7.54: Function HSCamConfConnectButton\_ButtonPushedFcn

```
1 function HSCamConfConnectButton_ButtonPushedFcn(app, src, event)  
2 %HSCamConfConnectButton_ButtonPushedFcn listening to the Connect Button for  
3 %the camera.  
4 % Creates the camera connection and sets a few properties.  
5 imaqreset();  
6 pause(2);  
7 app.vid = videoinput('gige', 1, 'Mono8');  
8 src = getselectedsource(app.vid);  
9  
10 app.vid.FramesPerTrigger = 1;  
11 % framesPerSecond = CalculateFrameRate(app.vid, app.vid.FramesPerTrigger)  
12 delay = CalculatePacketDelay(app.vid, 1)  
13 src.PacketDelay = delay;  
14 src.ExposureTimeAbs = 130;  
15 src.ExposureTimeRaw = 130;  
16  
17 % Configure the trigger type.  
18 triggerconfig(app.vid, 'manual');  
19
```

```

20 app.HSCamConfExposureTimeEditField.Value = src.ExposureTimeAbs;
21
22 vidRes = app.vid.VideoResolution;
23 app.ConfEvalResWidthEditField.Value = vidRes(1);
24 app.ConfEvalResHeightEditField.Value = vidRes(2);
25 app.LiveMeasResWidthEditField.Value = vidRes(1);
26 app.LiveMeasResHeightEditField.Value = vidRes(2);
27
28 app.ConfEvalResWidthEditField.Enable = 'off';
29 app.ConfEvalResHeightEditField.Enable = 'off';
30 app.LiveMeasResWidthEditField.Enable = 'off';
31 app.LiveMeasResHeightEditField.Enable = 'off';
32
33 app.HSCamConfConnectionLabel.BackgroundColor = [0.2 1 0.3];
34 app.HSCamConfConnectionLabel.Text = 'Connected';
drawnow;
36
37 app.HSCamConfConnectButton.Enable = 'off';
38 app.HSCamConfDisconnectButton.Enable = 'on';
39 app.HSCamConfCamTestButton.Enable = 'on';
40 app.HSCamConfExposureTimeEditField.Enable = 'on';
41 app.HSCamConfApplySettingButton.Enable = 'on';
42 app.HSCamConfCamPreviewButton.Enable = 'on';
43 end

```

#### 7.55: Function HSCamConfDisconnectButton\_ButtonPushedFcn

```

1 function HSCamConfDisconnectButton_ButtonPushedFcn(app, src, event)
2 %HSCamConfDisconnectButton_ButtonPushedFcn listening to the Disconnect Button for
3 %the camera.
4 % Deletes the camera connection and reseset the connection.
5 imaqreset();
6
7 app.HSCamConfExposureTimeEditField.Enable = 'off';
8
9 app.HSCamConfConnectionLabel.BackgroundColor = [1 0.07 0.2];
10 app.HSCamConfConnectionLabel.Text = 'Diconnected';
drawnow;
12
13 app.HSCamConfConnectButton.Enable = 'on';
14 app.HSCamConfDisconnectButton.Enable = 'off';
15 app.HSCamConfCamTestButton.Enable = 'off';
16 app.HSCamConfExposureTimeEditField.Enable = 'off';
17 app.HSCamConfApplySettingButton.Enable = 'off';
18 app.HSCamConfCamPreviewButton.Enable = 'off';
19 end

```

#### 7.56: Function HSStepmotorConfApplySettingsButton\_ButtonPushedFcn

```

1 function HSStepmotorConfApplySettingsButton_ButtonPushedFcn(app,src,event)

```

```

2 %HSStepmotorConfApplySettingsButton_ButtonPushedFcn listening to the Apply Button
3 %for the Stepmotor Settings.
4 %   Creates the Stepper object and applies the stepper properties.
5 if isempty(app.arduinoUNOShieldStepmotor)
6 app.arduinoUNOShieldStepmotor = stepper(app.arduinoUNOShield,1,app.
7     HSStepmotorConfStepsPerRevolutionEditField.Value);
8 app.HSStepmotorConfStepsPerRevolutionEditField.Enable = 'off';
9 end
10 app.arduinoUNOShieldStepmotor.RPM = app.HSStepmotorConfRpmEditField.Value;
11 end

```

7.57: Function HSStepmotorConfComPortRefreshButton\_ButtonPushedFcn

```

1 function HSStepmotorConfComPortRefreshButton_ButtonPushedFcn(app,src,event)
2 %HSStepmotorConfComPortRefreshButton_ButtonPushedFcn listening to refresh
3 %button to check for available COM Ports.
4
5 app.HSStepmotorConfComPortDropDown.Items = seriallist;
6 app.HSStepmotorConfComPortDropDown.ItemsData = seriallist;
7 end

```

7.58: Function HSStepmotorConfConnectButton\_ButtonPushedFcn

```

1 function HSStepmotorConfConnectButton_ButtonPushedFcn(app,src,event)
2 %HSStepmotorConfConnectButton_ButtonPushedFcn listening to the connect
3 %button of the Steppermotor and creating a arduino connection element.
4
5 selComPort=app.HSStepmotorConfComPortDropDown.Value;
6 if isempty(app.arduinoUNO)
7 app.arduinoUNO = arduino(selComPort,'Uno','Libraries','Adafruit\MotorShieldV2');
8 configurePin(app.arduinoUNO,'D3','pullup');
9 app.arduinoUNOShield = addon(app.arduinoUNO,'Adafruit\MotorShieldV2');
10
11 app.currPos = 0;
12
13 app.HSStepmotorConfConnectionLabel.BackgroundColor = [0.2 1 0.3];
14 app.HSStepmotorConfConnectionLabel.Text = 'Connected';
15 drawnow;
16
17 app.HSStepmotorConfConnectButton.Enable = 'off';
18 app.HSStepmotorConfDisconnectButton.Enable = 'on';
19 app.HSStepmotorConfRpmEditField.Enable = 'on';
20 app.HSStepmotorConfApplySettingsButton.Enable = 'on';
21 app.HSStepmotorConfStepsPerRevolutionEditField.Enable = 'on';
22 end
23 end

```

7.59: Function HSTestHardwareGoToPositionButton\_ButtonPushedFcn

```

1 function HSTestHardwareGoToPositionButton_ButtonPushedFcn(app,src,event)
2 %HSTestHardwareGoToPositionButton_ButtonPushedFcn listening to the Go

```

```

3 %Button of the HardwareSettingTest area. Makes the Steppermotor go to a
4 %specified position
5 if app.HSTestHardwareGoToPositionEditField.Value < 0
6     uialert(app.UIFigure,['YOU FOOL! One does not simply walk into mordor ... ahm i
7         mean zero!'], 'You Fool Information', 'Icon', 'warning', 'CloseFcn', 'uiresume(
8             gcbf)');
9     uiwait(gcbf)
10    return;
11 end
12 moveToZpos(app,app.HSTestHardwareGoToPositionEditField.Value);
13

```

7.60: Function HSTestHardwareGoToZeroButton\_ButtonPushedFcn

```

1 function HSTestHardwareGoToZeroButton_ButtonPushedFcn(app,src,event)
2 %HSTestHardwareGoToZeroButton_ButtonPushedFcn listening to the GoToZero
3 %button and making the stage go to the zero position.
4 moveToZpos(app,0);
5 end

```

7.61: Function HSTestHardwareReferenceStageButton\_ButtonPushedFcn

```

1 function HSTestHardwareReferenceStageButton_ButtonPushedFcn(app,src,event)
2 %HSTestHardwareReferenceStageButton_ButtonPushedFcn listening to the
3 %Reference Stage button starting the referencing process of the stage.
4 disp('Started Stage referencing.');
5 app.HSTestHardwareMotorStatusLabel.BackgroundColor = [0.2 1 0.3];
6 app.HSTestHardwareMotorStatusLabel.Text = 'Motor On';
7 drawnow;
8 limitSwitchStatus = readDigitalPin(app.arduinoUNO,'D3');
9 while limitSwitchStatus
10     move(app.arduinoUNOShieldStepper, -1);
11     limitSwitchStatus = readDigitalPin(app.arduinoUNO,'D3');
12
13 end
14 app.currPos(1) = 0;
15 disp('Stage referencing is finished.');
16 app.AutoMeasIS0111146Part1CurrPosEditField.Value = app.currPos(1);
17 app.HSTestHardwareCurrPosEditField.Value = app.currPos(1);
18 app.currPosRoi.Position = [app.currPos(1) 0];
19 app.currPosRoiAutoMeas.Position = [app.currPos(1) 0];
20 app.HSTestHardwareMotorStatusLabel.BackgroundColor = [1 0.07 0.2];
21 app.HSTestHardwareMotorStatusLabel.Text = 'Motor Off';
22 drawnow;
23 end

```

7.62: Function LiveMeasBackgroundMeasButton\_ButtonPushedFcn

```

1 function LiveMeasBackgroundMeasButton_ButtonPushedFcn(app, src, event)
2 %LiveMeasBackgroundMeasButton_ButtonPushedFcn listening to the Measure
3 %Background button and starting background measurement at the current

```

```

4 %position.
5 app.LiveMeasStartStopButton.Enable = 'off';
6 app.LiveMeasBackgroundMeasButton.Enable = 'off';
7 app.LiveMeas = Measurement(999999, ...
8     999999, ...
9     999999, ...
10    999999);
11
12 % Reset old Measurementdata
13 app.LiveMeas.reset();
14
15 MeasurementPoint = SingleMeasurementPoint(app.currPos(1));
16 for k = 1 : app.LiveMeasNoOfImEditField.Value
17     app.AutoMeasISO111146Part1ProgressCurrMeasPointMeasEditField.Value = int2str(k);
18     MeasurementPoint.addMeasurement(SingleMeasurement(TriggerCameraImage(app)));
19     pause(1);
20 end
21 app.LiveMeas.getBackgroundData().addSingleMeasurementPoint(MeasurementPoint);
22 app.LiveMeasStartStopButton.Enable = 'on';
23 app.LiveMeasBackgroundMeasButton.Enable = 'on';
24 end

```

7.63: Function LiveMeasDrawRectButton\_ButtonPushedFcn

```

1 function LiveMeasDrawRectButton_ButtonPushedFcn(app, src, event)
2 %LiveMeasDrawRectButton_ButtonPushedFcn listening to guessBeamarea button
3 %to draw the first guess of the beam area and beamcenter.
4 if not(isa(app.LiveMeasRectRoi,'images.roi.Rectangle')) || not(isvalid(app.
5     LiveMeasRectRoi))
6     app.LiveMeasRectRoi = drawrectangle(app.LiveMeasPreviewImUIAxes,'LabelVisible','
7         hover',...
8         'Label','beamareaGuess','Position',[1 1 200 200]);
9     addlistener(app.LiveMeasRectRoi,'MovingROI',@(src, evt)
10        drawLiveMeasRectAllevents(app,src,evt));
11     addlistener(app.LiveMeasRectRoi,'ROIDMoved',@(src, evt) drawLiveMeasRectAllevents
12         (app,src,evt));
13     LiveMeascenterRectangleX = app.LiveMeasRectRoi.Position(1)+app.LiveMeasRectRoi.
14         Position(3)/2;
15     LiveMeascenterRectangleY = app.LiveMeasRectRoi.Position(2)+app.LiveMeasRectRoi.
16         Position(4)/2;
17     app.LiveMeasPointRoi = drawpoint(app.LiveMeasPreviewImUIAxes, ...
18         'Position',[LiveMeascenterRectangleX LiveMeascenterRectangleY], 'Color', 'r',
19         ...
20         'InteractionsAllowed', 'none');
21 end
22 end

```

7.64: Function LiveMeasStartStopButton\_ValueChangedFcn

```

1 function LiveMeasStartStopButton_ValueChangedFcn(app, src, event)

```

```
2 %LiveMeasStartStopButton_ValueChangedFcn ValueChangedFcn listening to the
3 %state button to start and stop the livemeasurement.
4 if src.Value
5     app.LiveMeasStatusLabel.Text = 'Active';
6     app.LiveMeasStatusLabel.BackgroundColor = [0.2 1 0.3];
7     app.LiveMeasBackgroundMeasButton.Enable = 'off';
8 else
9     app.LiveMeasStatusLabel.BackgroundColor = [1 0.07 0.2];
10    app.LiveMeasStatusLabel.Text = 'Inactive';
11    app.LiveMeasBackgroundMeasButton.Enable = 'on';
12 end
13 coarseMethod = app.LiveMeasBackCorrMethodDropDown.Value;
14 fineMethod = app.LiveMeasFineBackCorrMethodDropDown.Value;
15 background = app.LiveMeas.getBackgroundData();
16 kernelSize = app.LiveMeasKernelSizeEditField.Value;
17 ntFactor = app.LiveMeasNtEditField.Value;
18 %Messpunkt Nummer hier immer 1
19 k = 1;
20 centerRectangleX = app.LiveMeasRectRoi.Position(1)+app.LiveMeasRectRoi.Position(3)
21     /2;
21 centerRectangleY = app.LiveMeasRectRoi.Position(2)+app.LiveMeasRectRoi.Position(4)
22     /2;
22 sizeRectangleX = app.LiveMeasRectRoi.Position(3);
23 sizeRectangleY = app.LiveMeasRectRoi.Position(4);
24 convergeKriterium = app.LiveMeasConvergeCriterionEditField.Value;
25 faktor = app.LiveMeasIntegAreaEditField.Value;
26 pixelsize = app.LiveMeasPixelSizeEditField.Value;
27 manualValue=app.LiveMeasFineCorrValueEditField.Value;
28 app.vid.FramesPerTrigger = 1;
29 vidsrc = getselectedsource(app.vid);
30 delay = CalculatePacketDelay(app.vid, 1);
31 vidsrc.PacketDelay = delay;
32
33 while src.Value
34     app.LiveMeasColorMap(2) = app.LiveMeasColorMaxEditField.Value;
35     app.LiveMeasColorMap(1) = app.LiveMeasColorMinEditField.Value;
36     singleMeasurement = SingleMeasurement(TriggerCameraImage(app));
37     corrMeas = singleMeasurement.backgroundCorrectionSingleMeasurement(coarseMethod,
38         fineMethod,background,kernelSize,ntFactor,k,manualValue);
39
39 processedMeas = corrMeas.iso11146Part1SingleMeasurement(centerRectangleX*
40     pixelsize,centerRectangleY*pixelsize,sizeRectangleX*pixelsize,sizeRectangleY
41     *pixelsize,convergeKriterium,faktor,pixelsize);
42
42 cla(app.LiveMeasResultImUIAxes,'reset');
43 imshow(processedMeas.getImageData(), 'Parent', app.LiveMeasResultImUIAxes);
44 if app.LiveMeasChangeColorMapButton.Value
45     colormap(app.LiveMeasResultImUIAxes, gray(256));
        caxis(app.LiveMeasResultImUIAxes,app.LiveMeasColorMap);
```

```

46
47     colormap(app.LiveMeasResultImUIAxes, jet(256));
48     caxis(app.LiveMeasResultImUIAxes,app.LiveMeasColorMap);
49 end
50 colorbar(app.LiveMeasResultImUIAxes, 'FontSize',20);
51 el = drawellipse(app.LiveMeasResultImUIAxes, 'Center',...
52     [processedMeas.getbeamCenterX()/pixelsize processedMeas.getbeamCenterY()/
53     pixelsize],...
54     'SemiAxes',[processedMeas.getdWx()/2/pixelsize processedMeas.getdWy()/2/
55     pixelsize],...
56     'StripeColor','r','Linewidth',1.75);
57 el.InteractionsAllowed = 'none';
58 app.LiveMeasImData_dWx.Value = processedMeas.getdWx();
59 app.LiveMeasImData_dWy.Value = processedMeas.getdWy();
60 app.LiveMeasImData_phi.Value = processedMeas.getAzimutPhi();
61
62 end

```

7.65: Function LiveMeasTriggerImageButton\_ButtonPushedFcn

```

1 function LiveMeasTriggerImageButton_ButtonPushedFcn(app, src, event)
2 %LiveMeasTriggerImageButton_ButtonPushedFcn ButtonPushedFcn listening to the
3 %Trigger Image button to create Testimages with the current ExposureTime
4 %Setting.
5
6 % Initiate the acquisition.
7 app.vid.FramesPerTrigger = 1;
8 vidsrc = getselectedsource(app.vid);
9 delay = CalculatePacketDelay(app.vid, 1);
10 vidsrc.PacketDelay = delay;
11 start(app.vid);
12
13 % Trigger the acquisition.
14 trigger(app.vid)
15
16 % Wait for the acquisition to end.
17 wait(app.vid, 10);
18
19 % Determine the number frames acquired.
20 frameslogged = app.vid.FramesAcquired;
21
22 hImage = getdata(app.vid);
23
24 cla(app.LiveMeasPreviewImUIAxes, 'reset');
25 imshow(hImage, 'Parent', app.LiveMeasPreviewImUIAxes);
26 colormap(app.LiveMeasPreviewImUIAxes, jet(256));
27
28 end

```

### 7.66: Function moveToZpos

```

1 function moveToZpos(app,zPos)
2 %moveToZpos moves the stage to a specified location
3 steps = CalcNumOfSteps(app,zPos);
4
5 app.HSTestHardwareMotorStatusLabel.BackgroundColor = [0.2 1 0.3];
6 app.HSTestHardwareMotorStatusLabel.Text = 'Motor On';
7 drawnow;
8
9 move(app.arduinoUNOShieldStepmotor,steps);
10
11 app.currPos(1) = app.currPos(1)+steps*app.StepInkrement;
12 app.AutoMeasIS011146Part1CurrPosEditField.Value = app.currPos(1);
13 app.HSTestHardwareCurrPosEditField.Value = app.currPos(1);
14 app.currPosRoi.Position = [app.currPos(1) 0];
15 app.currPosRoiAutoMeas.Position = [app.currPos(1) 0];
16
17 app.HSTestHardwareMotorStatusLabel.BackgroundColor = [1 0.07 0.2];
18 app.HSTestHardwareMotorStatusLabel.Text = 'Motor Off';
19 drawnow;
20 end

```

### 7.67: Function SetEvalResImDataParams

```

1 function SetEvalResImDataParams(app,Mp)
2 %SetEvalResImDataParams sets the Image Data Parameters in the Evaluation
3 %Result Tab.
4
5 app.EvalResImData_W_X.Value = Mp.getW_X();
6 app.EvalResImData_W_Y.Value = Mp.getW_Y();
7
8 app.EvalResImData_W_X_squared.Value = Mp.getW_X_squared();
9 app.EvalResImData_W_Y_squared.Value = Mp.getW_Y_squared();
10
11 app.EvalResImData_W_XY.Value = Mp.getW_XY();
12 app.EvalResImData_dWx.Value = Mp.getdWx();
13 app.EvalResImData_dWy.Value = Mp.getdWy();
14 app.EvalResImData_phi.Value = Mp.getAzimutPhi();
15
16 cla(app.EvalResImDataUIAxes,'reset');
17 imshow(Mp.getImageData(),'Parent',app.EvalResImDataUIAxes);
18 if app.EvalResImDataChangeColorMapButton.Value
19 colormap(app.EvalResImDataUIAxes,gray(256));
20 caxis(app.EvalResImDataUIAxes,app.EvalResColorMap);
21 else
22     colormap(app.EvalResImDataUIAxes,jet(256));
23 caxis(app.EvalResImDataUIAxes,app.EvalResColorMap);
24 end
25 colorbar(app.EvalResImDataUIAxes,'FontSize',12);
26 el = drawellipse(app.EvalResImDataUIAxes,'Center',...

```

```

27 [Mp.getbeamCenterX()/app.ConfEvalPixelSizeEditField.Value Mp.getbeamCenterY()/
    app.ConfEvalPixelSizeEditField.Value],...
28 'SemiAxes',[Mp.getdWx()/2/app.ConfEvalPixelSizeEditField.Value Mp.getdWy()/2/app
    .ConfEvalPixelSizeEditField.Value],...
29 'StripeColor','r','Linewidth',1.75);
30 el.InteractionsAllowed = 'none';
31 end

```

### 7.68: Function SetEvalResMeasDataParams

```

1 function SetEvalResMeasDataParams(app,result)
2 %SetEvalResMeasDataParams sets the Result Parameters in the Evaluation
3 %Result Tab.
4 app.EvalResSmpDataDropDown.Items = {};
5 app.EvalResSmpDataDropDown.ItemsData = [];
6
7
8
9 app.EvalResMeasData_BackCorrMethod.Value = result.getBackgroundCorrMethod();
10 app.EvalResMeasData_Lambda.Value = result.getLambda();
11 app.EvalResMeasData_ConvCrit.Value = result.getConvCriterion();
12 app.EvalResMeasData_IntegAreaFactor.Value = result.getIntegAreaFactor();
13 app.EvalResMeasData_Nt.Value = result.getNt();
14 app.EvalResMeasData_EvalNorm.Value = result.getEvalNorm();
15 app.EvalResMeasData_KernelSizeInPercent.Value = result.getKernelSizeInPercent();
16
17 measData=result.getEvaluatedMeasurementData();
18
19 app.EvalResMeasData_z_0_X.Value = measData.getZ0X();
20 app.EvalResMeasData_z_0_Y.Value = measData.getZ0Y();
21
22 if isreal(measData.getZrX())
23     app.EvalResMeasData_z_R_X.Value = measData.getZrX();
24 else
25     app.EvalResMeasData_z_R_X.Value = 99999999;
26 end
27
28 if isreal(measData.getZrY())
29     app.EvalResMeasData_z_R_Y.Value = measData.getZrY();
30 else
31     app.EvalResMeasData_z_R_Y.Value = 99999999;
32 end
33
34 if isreal(measData.getDSigma0x())
35     app.EvalResMeasData_d_0_X.Value = measData.getDSigma0x();
36 else
37     app.EvalResMeasData_d_0_X.Value = 99999999;
38 end
39
40 if isreal(measData.getDSigma0y())

```

```
41     app.EvalResMeasData_d_0_Y.Value = measData.getDSigma0y();  
42 else  
43     app.EvalResMeasData_d_0_Y.Value = 99999999;  
44 end  
45  
46 if isreal(measData.getThetaSigmaX())  
47     app.EvalResMeasData_theta_X.Value = measData.getThetaSigmaX();  
48 else  
49     app.EvalResMeasData_theta_X.Value = 99999999;  
50 end  
51  
52 if isreal(measData.getThetaSigmaY())  
53     app.EvalResMeasData_theta_Y.Value = measData.getThetaSigmaY();  
54 else  
55     app.EvalResMeasData_theta_Y.Value = 99999999;  
56 end  
57  
58 if isreal(measData.getM_squaredX())  
59     app.EvalResMeasData_M_squared_X.Value = measData.getM_squaredX();  
60 else  
61     app.EvalResMeasData_M_squared_X.Value = 99999999;  
62 end  
63 if isreal(measData.getM_squaredY())  
64     app.EvalResMeasData_M_squared_Y.Value = measData.getM_squaredY();  
65 else  
66     app.EvalResMeasData_M_squared_Y.Value = 99999999;  
67 end  
68 app.EvalResMeasData_M_squared_eff.Value = sqrt(app.EvalResMeasData_M_squared_X.Value  
*app.EvalResMeasData_M_squared_Y.Value);  
69  
70 dataSet=result.getEvaluatedMeasurementData().getMeasurementDataSet();  
71 [Useless NoMP] = size(dataSet);  
72  
73 for k = 1:NoMP  
74     SmP = dataSet(k);  
75     tempString=sprintf('Measuring Point %i / z-Pos: %.4f mm',k,SmP.getZPos()/1000);  
76     app.EvalResSmpDataDropDown.Items = [app.EvalResSmpDataDropDown.Items tempString  
    ];  
77     app.EvalResSmpDataDropDown.ItemsData = [app.EvalResSmpDataDropDown.ItemsData SmP  
    ];  
78 end  
79 for k = 1:NoMP-1  
80     for j = k+1:NoMP  
81         end  
82         SmP = dataSet(k);  
83         SmP2 = dataSet(j);  
84         if abs(SmP.getAzimutPhi_mean() - SmP2.getAzimutPhi_mean()) > 10  
             app.EvalResSmpInfoTextArea.Visible = 'on';  
         else
```

```

87     app.EvalResSmpInfoTextArea.Visible = 'off';
88 end
89
90
91 SetEvalResSmpDataParams(app,dataSet(1))
92
93 end

```

7.69: Function SetEvalResSmpDataParams

```

1 function SetEvalResSmpDataParams(app,Smp)
2 %SetEvalResSmpDataParams sets the MeasuringPoint Parameters in the Evaluation
3 %Result Tab.
4 app.EvalResImDataDropDown.Items = {};
5 app.EvalResImDataDropDown.ItemsData = [];
6
7 app.EvalResSmpData_W_X.Value = Smp.getW_X_mean();
8 app.EvalResSmpData_W_X_std.Value = Smp.getW_X_std();
9 app.EvalResSmpData_W_Y.Value = Smp.getW_Y_mean();
10 app.EvalResSmpData_W_Y_std.Value = Smp.getW_Y_std();
11 app.EvalResSmpData_W_X_squared.Value = Smp.getW_X_squared_mean();
12 app.EvalResSmpData_W_X_squared_std.Value = Smp.getW_X_squared_std();
13 app.EvalResSmpData_W_Y_squared.Value = Smp.getW_Y_squared_mean();
14 app.EvalResSmpData_W_Y_squared_std.Value = Smp.getW_Y_squared_std();
15 app.EvalResSmpData_W_XY.Value = Smp.getW_XY_mean();
16 app.EvalResSmpData_W_XY_std.Value = Smp.getW_XY_std();
17 app.EvalResSmpData_dWx.Value = Smp.getdWx_mean();
18 app.EvalResSmpData_dWx_std.Value = Smp.getdWx_std();
19 app.EvalResSmpData_dWy.Value = Smp.getdWy_mean();
20 app.EvalResSmpData_dWy_std.Value = Smp.getdWy_std();
21 app.EvalResSmpData_phi.Value = Smp.getAzimutPhi_mean();
22 app.EvalResSmpData_phi_std.Value = Smp.getAzimutPhi_std();
23 SmPData = Smp.getDataSet();
24
25 [Useless NoI] = size(SmPData);
26 for j=1:NoI
27     app.EvalResImDataDropDown.Items = [app.EvalResImDataDropDown.Items sprintf('%i',j)];
28     app.EvalResImDataDropDown.ItemsData = [app.EvalResImDataDropDown.ItemsData
29         SmPData(j)];
30 end
31
32 SetEvalResImDataParams(app,SmPData(1));
33 end

```

7.70: Function TriggerCameraImage

```

1 function image = TriggerCameraImage(app)
2 %triggerCameraImage Triggers image aquisition of the camera
3 for i=1 : 10

```

```
4
5     try
6         start(app.vid);
7
8         % Trigger the acquisition.
9         trigger(app.vid)
10
11        % Wait for the acquisition to end.
12        wait(app.vid, 10);
13
14        % Determine the number frames acquired.
15        frameslogged = app.vid.FramesAcquired;
16
17        image = getdata(app.vid);
18        if ismatrix(image)
19            break;
20        end
21    catch ME
22        disp('HAD TO RESET CAM');
23        imaqreset();
24        pause(2);
25        app.vid = videoinput('gige', 1, 'Mono8');
26        src = getselectedsource(app.vid);
27
28        app.vid.FramesPerTrigger = 1;
29        src.ExposureTimeAbs = 130;
30        src.ExposureTimeRaw = 130;
31
32        % Configure the trigger type.
33        triggerconfig(app.vid, 'manual');
34        app.HSCamConfCamTestButton.Enable = 'on';
35
36        %
37        %
38        % Trigger the acquisition.
39        trigger(app.vid)
40        %
41        % Wait for the acquisition to end.
42        %
43        %
44        % Determine the number frames acquired.
45        %
46        frameslogged = app.vid.FramesAcquired;
47        %
48        %
49        %
50        %
51    end
end
end
```

### 7.71: Function UpdateGUIConfEvalTab

```

1 function UpdateGUIConfEvalTab(app)
2 %UpdateGUIConfEvalTab Updates the whole ConfigureEvaluation Tab and its
3 %elements.
4 dataSet=app.loadedMeas.getMeasurementData().getMeasurementDataSet();
5 [Useless NoMP] = size(dataSet);
6 app.ConfEvalSmpDropDown.Items = {};
7 app.ConfEvalSmpDropDown.ItemsData = [];
8 app.ConfEvalSmpImDropDown.Items = {};
9 app.ConfEvalSmpImDropDown.ItemsData = [];
10 for i = 1:NoMP
11     SmP = dataSet(i);
12
13     tempString=sprintf('Measuring Point %i / z-Pos: %.4f mm',i,SmP.getZPos()/1000);
14     app.ConfEvalSmpDropDown.Items = [app.ConfEvalSmpDropDown.Items tempString];
15     app.ConfEvalSmpDropDown.ItemsData = [app.ConfEvalSmpDropDown.ItemsData SmP];
16 end
17 SmP = dataSet(1);
18 SmPData = SmP.getDataSet();
19 [Useless NoI] = size(SmPData);
20 for j=1>NoI
21     app.ConfEvalSmpImDropDown.Items = [app.ConfEvalSmpImDropDown.Items sprintf('%i',
22         j)];
23     app.ConfEvalSmpImDropDown.ItemsData = [app.ConfEvalSmpImDropDown.ItemsData
24         SmPData(j)];
25 end
26 app.ConfEvalPreviewImUIAxes.Visible = 'on';
27 app.ConfEvalDrawRectButton.Enable = 'on';
28 app.ConfEvalSmpDropDown.Enable = 'on';
29 app.ConfEvalSmpImDropDown.Enable = 'on';
30 imshow(SmPData(1).getImageData(), 'Parent', app.ConfEvalPreviewImUIAxes);
31 colormap(app.ConfEvalPreviewImUIAxes, jet(256));
32 app.ConfEvalPreviewImUIAxes.Toolbar.Visible = 'off';
33 app.ConfEvalPreviewImUIAxes.Interactions = [];
34 end

```

### 7.72: Function UpdateGUIEvalResTab

```

1 function UpdateGUIEvalResTab(app)
2 %UpdateGUIEvalResTab Updates the whole EvaluationResult Tab and its
3 %elements.
4 resultDataSet=app.loadedMeas.getResults();
5 [Useless NoR] = size(resultDataSet);
6 app.EvalResMeasDataResultDropDown.Items = {};
7 app.EvalResMeasDataResultDropDown.ItemsData = [];
8 for i = 1:NoR
9     result = resultDataSet(i);
10    tempString=sprintf('Result No.%i',i);
11    app.EvalResMeasDataResultDropDown.Items = [app.EvalResMeasDataResultDropDown.
12        Items tempString];

```

```

12     app.EvalResMeasDataResultDropDown.ItemsData = [app.EvalResMeasDataResultDropDown
13         .ItemsData result];
14 end
15 SetEvalResMeasDataParams(app,resultDataSet(1));
16 end

```

### 7.73: Function UpdatePreviewAxes

```

1 function UpdatePreviewAxes(app, src, event)
2 %UpdatePreviewAxes Updates the Measuring Point Axes in the Automated Measurement Tab
3 .
4 if strcmp('on',app.AutoMeasIS0111146Part1OffseEditField.Enable)
5     offset = app.AutoMeasIS0111146Part1OffseEditField.Value;
6     while mod(offset,app.StepInkrement) ~= 0
7         offset = offset+1;
8     end
9     app.AutoMeasIS0111146Part1OffseEditField.Value = offset;
10
11 timesRayLength = app.AutoMeasIS0111146Part1TimesRayleighEditField.Value;
12 rayLength = app.AutoMeasIS0111146Part1RayleighEditField.Value;
13 while mod(rayLength,app.StepInkrement) ~= 0
14     rayLength = rayLength+1;
15 end
16 app.AutoMeasIS0111146Part1RayleighEditField.Value = rayLength;
17 NoMP = app.AutoMeasIS0111146Part1NoMeasPointsEditField.Value;
18
19 xTicks = rayLength*2*timesRayLength/(NoMP-1);
20 while mod(xTicks,app.StepInkrement) ~= 0
21     NoMP = NoMP + 1;
22     xTicks = rayLength*2*timesRayLength/(NoMP-1);
23 end
24 app.AutoMeasIS0111146Part1NoMeasPointsEditField.Value = NoMP;
25 app.measurementPoints = (offset-xTicks*(NoMP-1)/2:xTicks:offset+xTicks*(NoMP-1)
26 /2);
27
28 if isempty(app.centerMarker) || ~ishandle(app.centerMarker)
29     app.centerMarker = line(app.AutoMeasIS0111146Part1PreviewMeasPointsUIAxes,
30         offset,0,'Color','blue','Marker','o','MarkerSize',10,'LineStyle','none',
31         'LineWidth',2);
32 else
33     app.centerMarker.XData = offset;
34     app.centerMarker.YData = 0;
35 end
36 app.centerMarker.Visible = 'on';
37 else
38     area = app.AutoMeasIS0111146Part1MeasAreaEditField.Value;
39     while mod(area,app.StepInkrement) ~= 0
40         area = area+1;

```

```
38 end
39 app.AutoMeasISO111146Part1MeasAreaEditField.Value = area;
40 NoMP = app.AutoMeasISO111146Part1NoMeasPointsEditField.Value;
41
42 xTicks = area/(NoMP-1);
43 while mod(xTicks,app.StepInkrement) ~= 0
44     NoMP = NoMP + 1;
45     xTicks = area/(NoMP-1);
46 end
47 app.AutoMeasISO111146Part1NoMeasPointsEditField.Value = NoMP;
48 app.measurementPoints = (0:xTicks:xTicks*(NoMP-1));
49
50 app.centerMarker.Visible = 'off';
51 end
52
53 y = zeros(1,size(app.measurementPoints,2));
54 app.AutoMeasISO111146Part1PreviewMeasPointsUIAxes.XLim = [0-600 app.
55     maxValueStage+600];
56
57 XTICK = unique([0,app.measurementPoints,app.maxValueStage]);
58 app.AutoMeasISO111146Part1PreviewMeasPointsUIAxes.XTick = XTICK;
59 app.AutoMeasISO111146Part1PreviewMeasPointsUIAxes.XTickLabel = XTICK;
60
61 hold(app.AutoMeasISO111146Part1PreviewMeasPointsUIAxes, 'on')
62 if isempty(app.previewMarkers)
63     app.previewMarkers = line(app.AutoMeasISO111146Part1PreviewMeasPointsUIAxes,
64         app.measurementPoints,y,'Color','red','Marker','x','MarkerSize',15,'
65         LineStyle','none','LineWidth',1);
66 else
67     app.previewMarkers.XData = app.measurementPoints;
68     app.previewMarkers.YData = y;
69 end
70
71 if isempty(app.endPointMarkers)
72     app.endPointMarkers = line(app.AutoMeasISO111146Part1PreviewMeasPointsUIAxes
73         ,[app.measurementPoints(1),app.measurementPoints(end)],[0,0],'Color',
74         'green','Marker','o','MarkerSize',10,'LineStyle','none','LineWidth',2);
75 else
76     app.endPointMarkers.XData = [app.measurementPoints(1),app.measurementPoints(
77         end)];
78     app.endPointMarkers.YData = [0,0];
79 end
80
81 hold(app.AutoMeasISO111146Part1PreviewMeasPointsUIAxes, 'off')
82
83 if app.measurementPoints(1)<0 || app.measurementPoints(end)>app.maxValueStage
84     app.AutoMeasISO111146Part1StartMeasButton.Enable = 'off';
85     return;
86 end
```

```

81 app.AutoMeasIS0111146Part1StartMeasButton.Enable = 'on';
82
83 end

```

## Anhang 2: Installationsanleitung

Damit das Messprogramm verwendbar ist, müssen Hardware und Software korrekt eingerichtet werden. Die notwendigen Schritte sind:

1. Installieren des Arduino Board Treibers CH341SER.EXE (notwendig damit der Rechner das Arduino Board im Geräte Manager erkennt)
2. Installieren von MATLAB Version R2020b
3. Installieren von Basler Pylon Viewer Version 6.1.1.19832
4. Verbinden der Basler Kamera über Ethernet
5. Den Schritten in Anhang 3 folgen um den Ethernet Adapter richtig zu konfigurieren
6. Anhang 4 folgen um MATLAB für die Verwendung der Basler Kamera einzurichten
7. Installieren der Arduino Library für MATLAB, damit direkt mit dem Board kommuniziert werden kann
8. Installieren der notwendigen MATLAB Packages:
  - Curve Fitting Toolbox Version 3.5.12 (R2020b)
  - Image Acquisition Toolbox Version 6.3 (R2020b)
  - Image Processing Toolbox Version 11.2 (R2020b)
  - Image Acquisition Toolbox Support Package for GigE Vision Hardware Version 20.2.1 (R2020b)
  - MATLAB Support Package for Arduino Hardware Version 20.2.0 (R2020b)

Sind alle Schritte abgearbeitet sollte es keine Probleme beim öffnen des Programms geben. Geöffnet wird das Programm über *lbcUI\_Launcher.m*. Der Startbildschirm der geöffnet werden sollte ist in Abb. 7.1 dargestellt. Die weitere Bedienung ist bereits in der Arbeit selbst beschrieben.

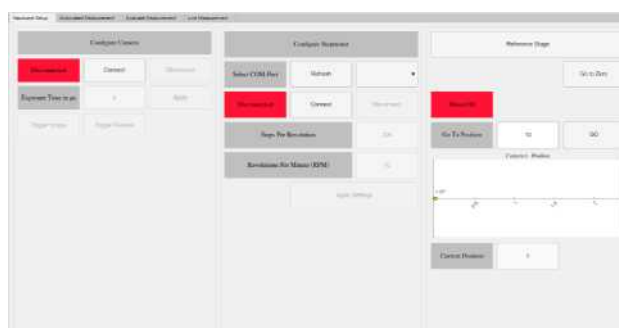


Abbildung 7.1: Startbildschirm des Messprogramms

# GigE Vision Quick Start Configuration Guide

Configure GigE Vision Image Acquisition on Windows ..... 1-2

Recommended Hardware Setup ..... 1-3

Gigabit Ethernet Network Adapter Configuration ..... 1-4

    Gigabit Ethernet Adapter Driver ..... 1-4

    Network Settings for the Camera's Network Connection ..... 1-9

Firewalls and the GigE Vision Camera Network Connection ..... 1-14

Configure Camera GigE Vision Streaming Parameters in MATLAB ..... 1-15

- “Configure GigE Vision Image Acquisition on Windows” on page 1-2
- “Recommended Hardware Setup” on page 1-3
- “Gigabit Ethernet Network Adapter Configuration” on page 1-4
- “Firewalls and the GigE Vision Camera Network Connection” on page 1-14
- “Configure Camera GigE Vision Streaming Parameters in MATLAB” on page 1-15

## Configure GigE Vision Image Acquisition on Windows

Acquiring images from a GigE Vision camera in Image Acquisition Toolbox™ using the GigE Vision Hardware support package functionality (either the `videoinput` object using the `gige` adaptor or the `gigecam` object) requires specific configuration and setup for the Ethernet network adapter and network connection outside of MATLAB®. This guide describes the configuration steps to help you get started using a GigE Vision camera with the Image Acquisition Toolbox on a Windows® computer.

The configuration instructions and screen shots included are for Windows 7, but similar configuration steps are applicable for Windows 8 or Windows 10.

## Recommended Hardware Setup

The recommended getting-started configuration when using the Image Acquisition Toolbox to acquire images from a single GigE Vision camera consists of a system with:

- GigE Vision compliant camera.
- Computer with a camera-dedicated Gigabit Ethernet network adapter (for example a PCI Express Gigabit Ethernet network interface card), which supports jumbo frames (4k or 9k bytes are common jumbo frame sizes).
- Direct connection between the camera and dedicated Gigabit Ethernet adapter.
- For any additional computer network connection (such as an Internet connection or your organization's local area network) it is recommended to use a separate network adapter.

Although other hardware setups are possible, the above configuration ensures that:

- Maximum bandwidth is available for streaming images from the camera.
- The camera-dedicated private network connection can have network/firewall settings different than the Internet or domain network connection.

## Gigabit Ethernet Network Adapter Configuration

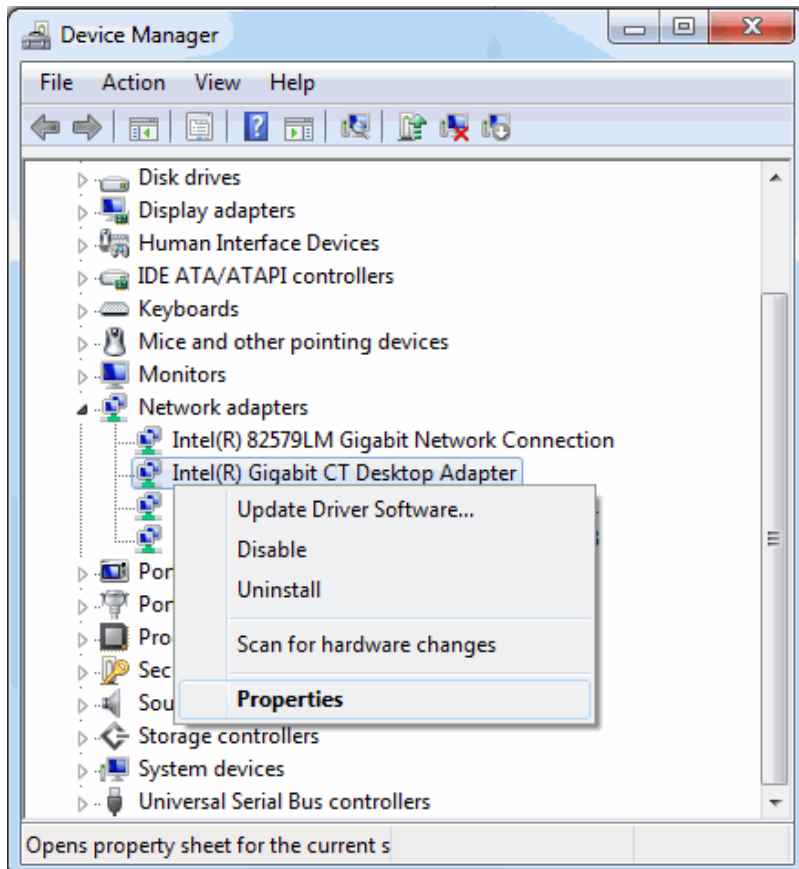
- “Gigabit Ethernet Adapter Driver” on page 1-4
- “Network Settings for the Camera’s Network Connection” on page 1-9

The following Ethernet adapter configuration settings are recommended for proper operation and optimum performance when acquiring images from a GigE Vision camera.

### Gigabit Ethernet Adapter Driver

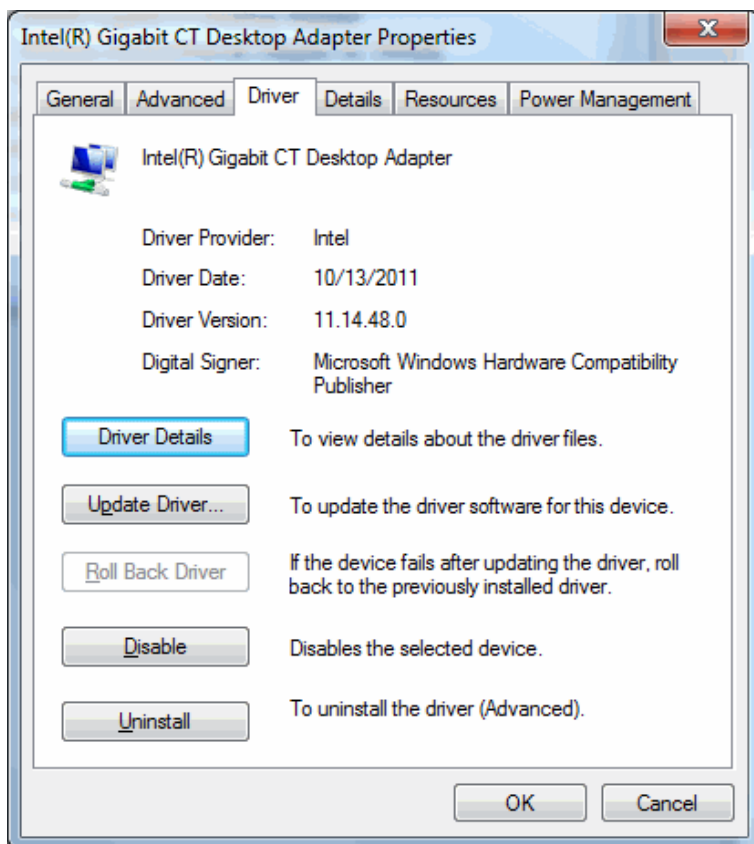
Verify that an appropriate Ethernet network adapter driver (provided by the network adapter manufacturer) is installed and working properly. Custom high-performance drivers installed for use with a third-party imaging application will not work with the Image Acquisition Toolbox `videoinput` and `gigecam` interfaces.

- 1 Open Windows Device Manager, and click on **Network adapters**.
- 2 Right-click on the Gigabit Ethernet adapter entry dedicated to the camera’s network connection under **Network adapters**, and click **Properties** in the context menu.



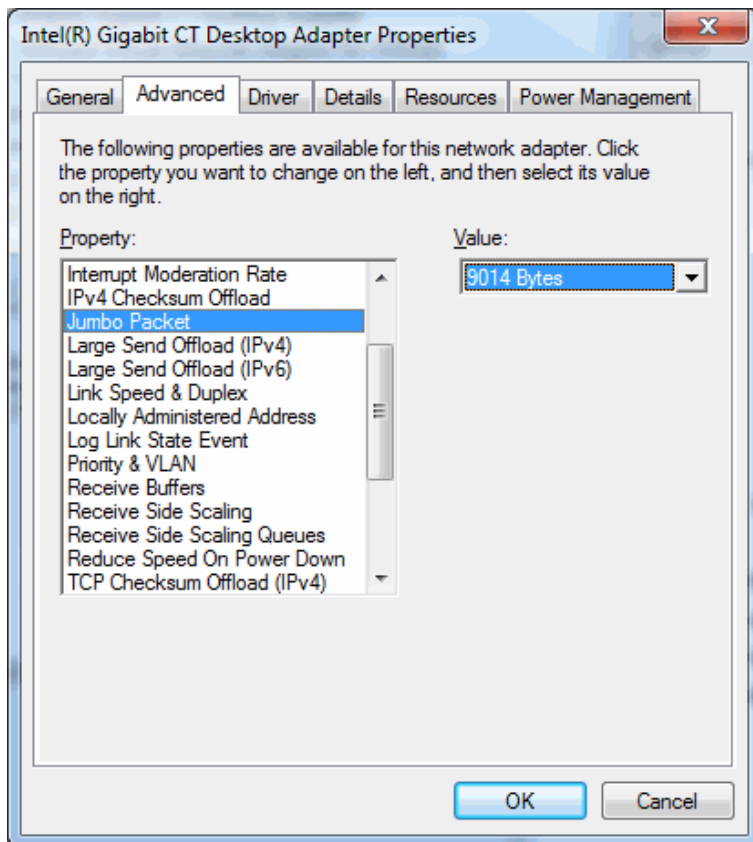
- 3 In the Adapter Properties, click the **Driver** tab to verify the driver.

## 1 GigE Vision Quick Start Configuration Guide

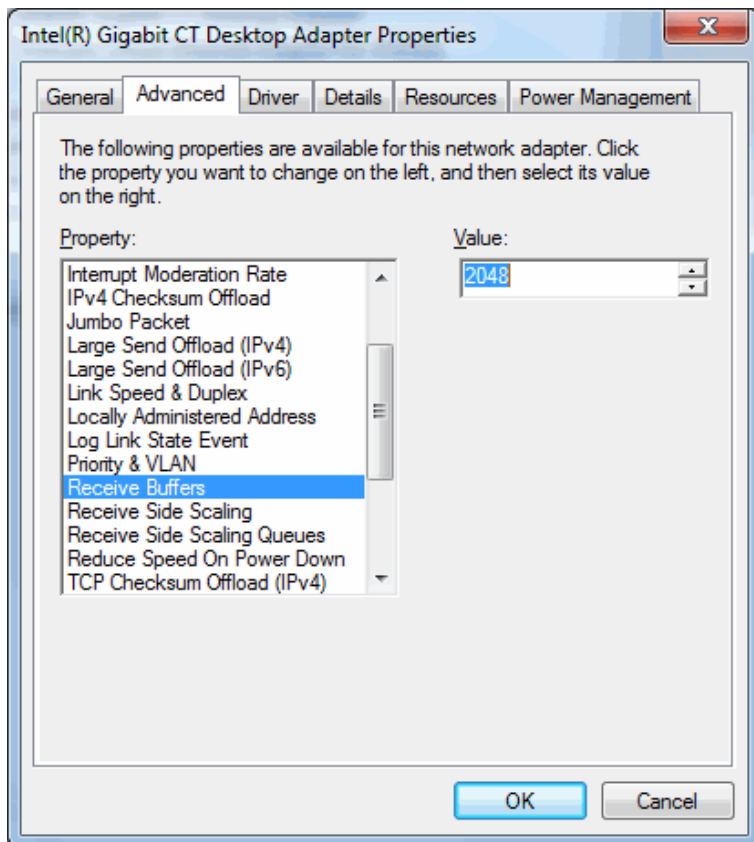


For optimum GigE Vision streaming performance, i.e. reduced CPU load and smaller likelihood of dropped frames, the following settings for the Gigabit Ethernet adapter jumbo packet and receive buffers are recommended:

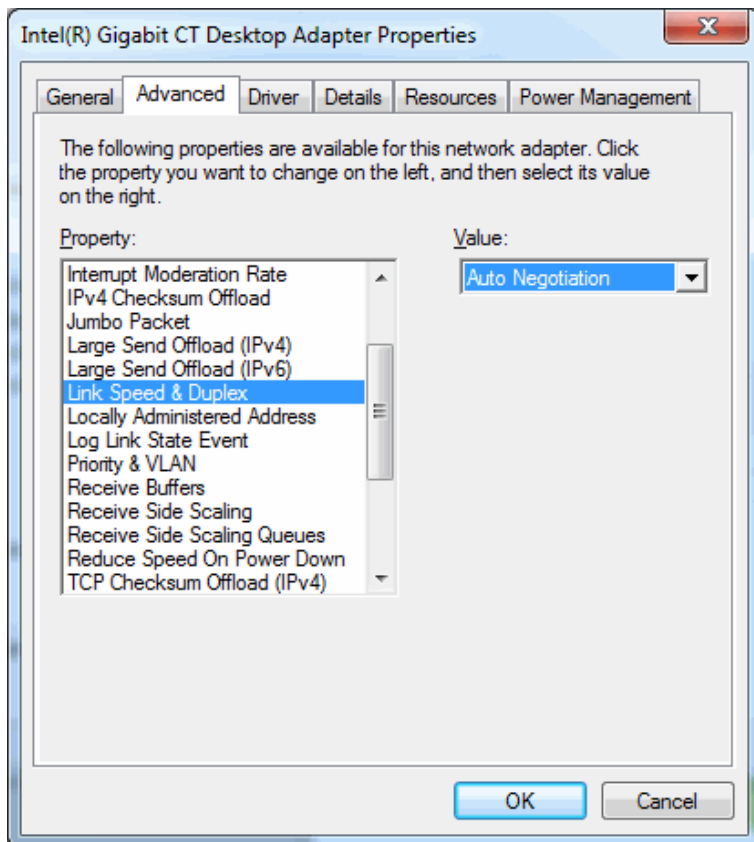
- 1 In the network Adapter Properties (described in the previous section), click the **Advanced** tab.
- 2 Set **Jumbo Frame** (or **Jumbo Packet**) to the maximum supported value (for example 9014 bytes). Gigabit Ethernet controllers that support jumbo frames can transfer packet sizes larger than the standard Ethernet frame size (1500 bytes).



- 3** Set **Receive Buffers** (or **Receive Descriptors**) to the maximum supported value (for example 2048). For some Ethernet controller drivers this setting is grouped under **Performance Options**.



**4** Confirm that **Link Speed & Duplex** is set to **Auto Negotiation** (or **Auto Detect**).

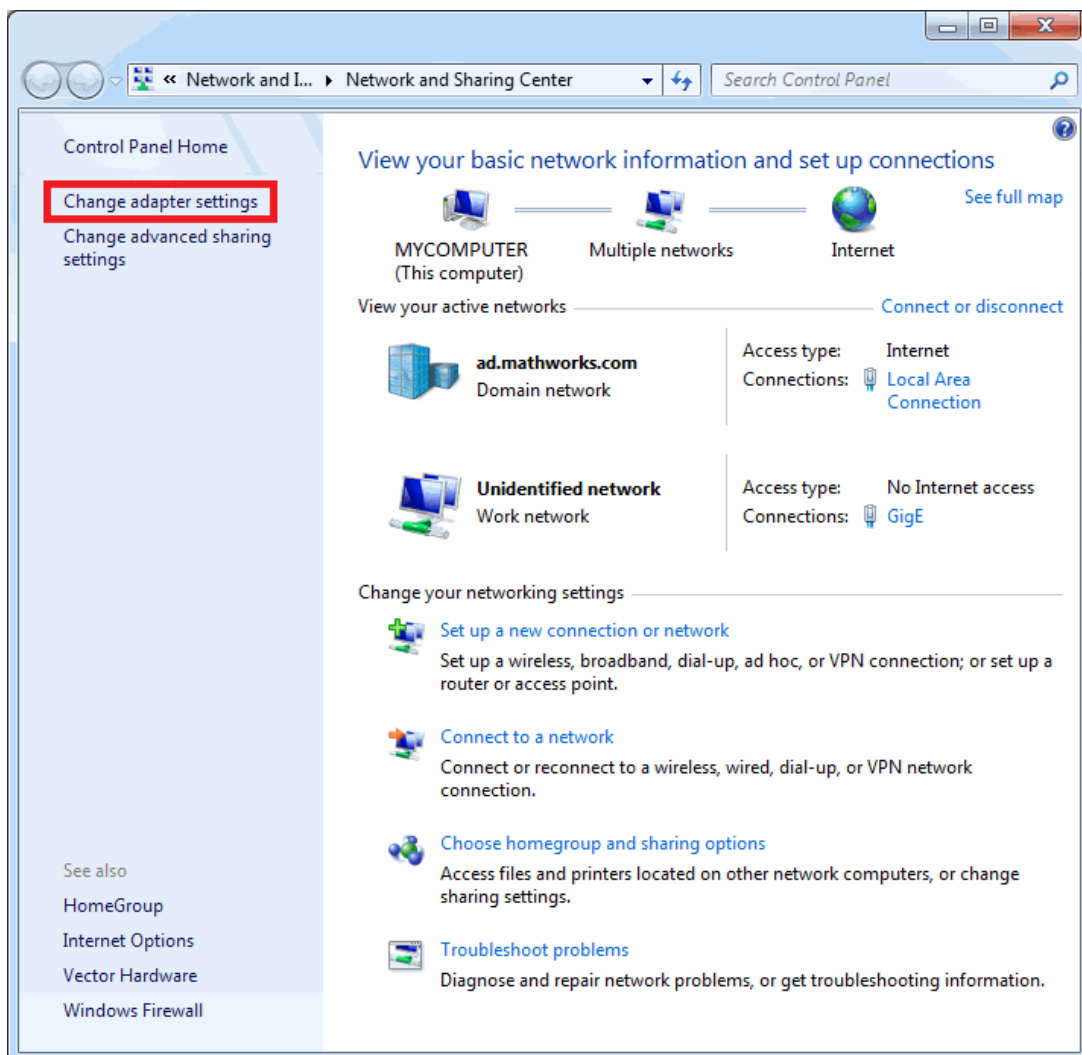


## Network Settings for the Camera's Network Connection

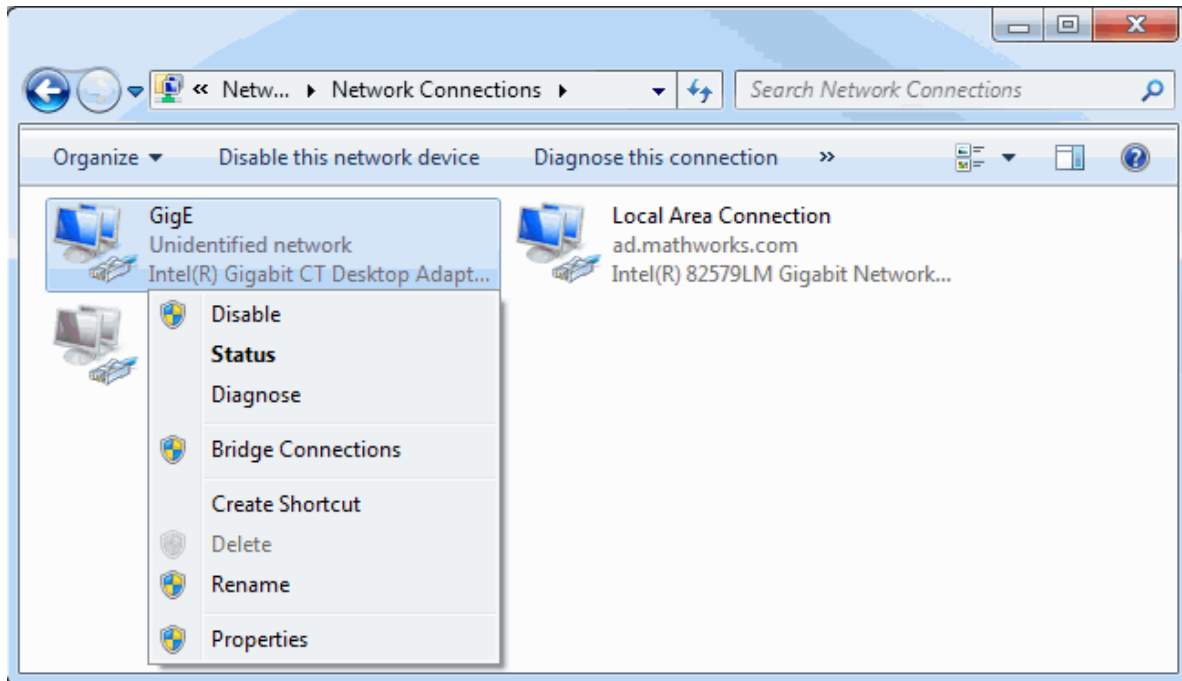
The following settings for the camera's dedicated network connection are recommended for proper operation and optimum performance when acquiring images from a GigE Vision camera.

- 1 In Windows Control Panel, open the **Network and Sharing Center**.
- 2 Click on **Change adapter settings**.

# 1 GigE Vision Quick Start Configuration Guide



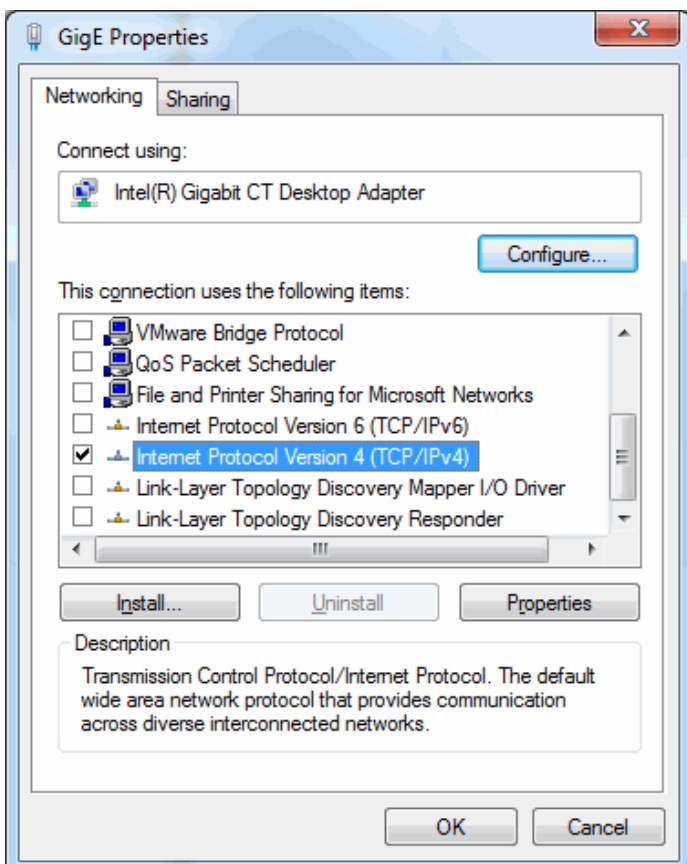
3 Right-click on the camera's network connection and click **Properties**.



- 4 In the **Networking** tab, confirm that **Internet Protocol Version 4 (TCP/IPv4)** is enabled/checked, and uncheck all other options.

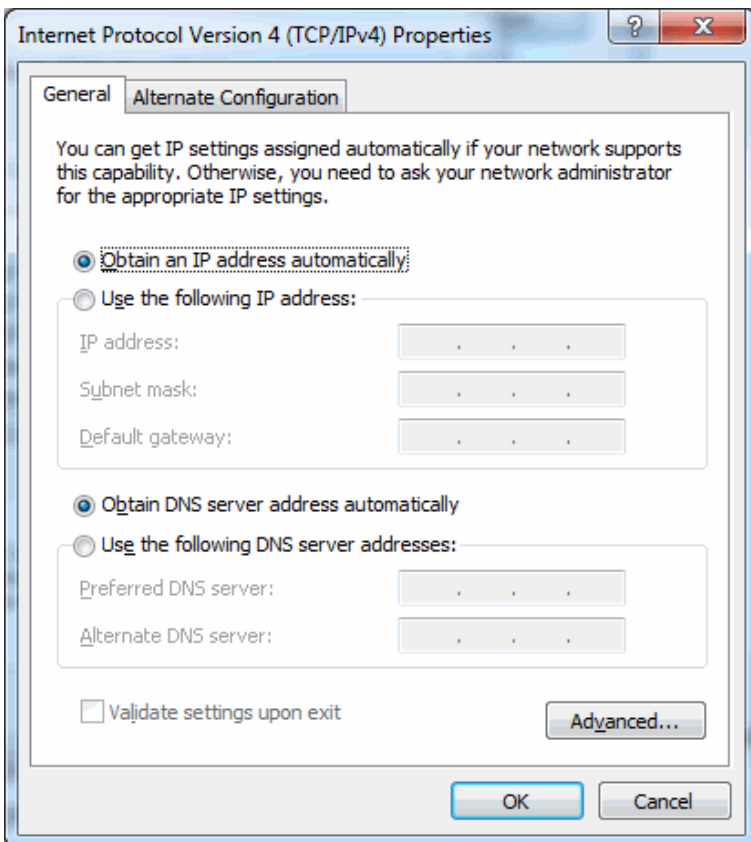
When a dedicated camera network connection is used, other protocols, clients, or services can be disabled/unchecked, as they are not necessary for GigE Vision control and streaming.

# 1 GigE Vision Quick Start Configuration Guide



- 5 To configure the IP address, select **Internet Protocol Version 4 (TCP/IPv4)** and right-click **Properties**.

To configure automatic IP address assignment for the camera network connection, on the **General** tab, select **Obtain an IP address automatically** and **Obtain DNS server address automatically**, and click **OK**.



## Firewalls and the GigE Vision Camera Network Connection

Firewalls can block UDP packets used for image data transfer by the GigE Vision Streaming Protocol. The ports used for image data transfer by the camera and Gigabit network adapter are dynamic, and setting up the required firewall rules is an advanced operation. Firewall processing of the image data stream can also reduce performance.

A convenient getting-started configuration is to turn off the firewall for the camera's dedicated network connection, while keeping the firewall enabled for the other network connections (such as the Internet connection or your organization's local area network connection).

Windows uses network location profiles to group firewall settings for different types of connections, and turning off Windows firewall selectively for an individual network connection is not directly possible. Refer to the following online article for possible network and firewall configurations: <http://www.mathworks.com/matlabcentral/answers/232356>.

## Configure Camera GigE Vision Streaming Parameters in MATLAB

Each image acquired by the camera is transferred to the computer as a data block of UDP packets, which are processed by MATLAB. For a lower CPU load during image acquisition and to prevent dropped frames, you can configure the camera GigE Vision streaming parameters (packet size and packet delay) in MATLAB.

### Packet Size

- The toolbox configures the packet size automatically once the connection between MATLAB and the camera is established.
- The packet size value can also be configured manually by setting the `PacketSize` property of the `videoinput` source or `gigecam` objects.
- The packet size value should be set to the largest size that the network adapter and camera can handle (not larger than the Ethernet adapter jumbo packet size configured in step 1).

### Packet Delay

- To prevent dropped frames, you can configure the camera to introduce a time delay between the image data packets by setting the `PacketDelay` property of the `videoinput` source or `gigecam` objects.
- Optimum values for the packet delay depend on the packet size, acquired frame size (image height and width), specified pixel format (for example '`Mono8`'), camera frame rate, and other camera-specific settings.

The following online article provides details about determining the recommended packet delay value, and setting the packet size and packet delay values in MATLAB: <http://www.mathworks.com/matlabcentral/answers/91834>.

## Basler pylon



```
// Create an instant camera object with the first
Camera_t camera( CTlFactory::GetInstance().CreateCamera() );

// Register an image event handler that accesses
camera.RegisterImageEventHandler( new CSampleImageEvent );
camera.SetImageOwnership( Ownership_TakeOwnership );

// Open the camera.
camera.Open();
```

### APPLICATION NOTE

#### How to use the Basler pylon GenTL Producers for Basler GigE and USB 3.0 Cameras with MathWorks MATLAB

Document Number: AW001343  
Version: 03 Language: 000 (English)  
Release Date: 6 November 2017



## Contacting Basler Support Worldwide

### **Europe, Middle East, Africa**

Basler AG  
An der Strusbek 60–62  
22926 Ahrensburg  
Germany  
  
Tel. +49 4102 463 515  
Fax +49 4102 463 599  
[support.europe@baslerweb.com](mailto:support.europe@baslerweb.com)

### **The Americas**

Basler, Inc.  
855 Springdale Drive, Suite 203  
Exton, PA 19341  
USA  
  
Tel. +1 610 280 0171  
Fax +1 610 280 7608  
[support.usa@baslerweb.com](mailto:support.usa@baslerweb.com)

### **Asia-Pacific**

Basler Asia Pte. Ltd.  
35 Marsiling Industrial Estate Road 3  
#05–06  
Singapore 739257  
  
Tel. +65 6367 1355  
Fax +65 6367 1255  
[support.asia@baslerweb.com](mailto:support.asia@baslerweb.com)

**[www.baslerweb.com](http://www.baslerweb.com)**

**All material in this publication is subject to change without notice and is copyright  
Basler AG.**

## Table of Contents

<b>1</b>	<b>Introduction.....</b>	<b>2</b>
<b>2</b>	<b>Requirements.....</b>	<b>2</b>
<b>3</b>	<b>Installation.....</b>	<b>3</b>
3.1	Installing the Basler pylon GigE and USB GenTL Producers .....	3
3.2	Installing and Configuring MATLAB .....	5
<b>4</b>	<b>Operating a Basler USB3 Vision Camera with MATLAB.....</b>	<b>9</b>
<b>5</b>	<b>Operating a Basler GigE Camera with MATLAB .....</b>	<b>11</b>
<b>6</b>	<b>Troubleshooting .....</b>	<b>13</b>
6.1	Troubleshooting USB 3.0 Cameras.....	13
6.1.1	Troubleshooting Using MATLAB .....	13
6.1.2	Troubleshooting Using the Basler pylon Camera Software Suite .....	15
6.2	Troubleshooting GigE Vision Cameras .....	16
6.2.1	Troubleshooting Using MATLAB .....	16
6.2.2	Troubleshooting Using the Basler pylon Camera Software Suite .....	18

## 1 Introduction

The Basler pylon GigE and USB GenTL producers enable you to operate Basler GigE Vision and USB3 Vision cameras with MATLAB ([www.mathworks.com](http://www.mathworks.com)) or any software libraries that support the GenICam GenTL standard (<http://www.emva.org>) and implement their own GenTL consumer.

This document describes how to configure MATLAB so that Basler GigE and USB 3.0 cameras are detected in MATLAB. Once the cameras are displayed in MATLAB, you can configure them as desired and acquire images.

The Basler pylon GigE and U3V GenTL producers are included in the pylon Camera Software Suite 5.0.11 or higher which is available for Windows, Linux x86, and Linux ARM. For more information about the pylon Camera Software Suite and to download the latest version go to [www.baslerweb.com](http://www.baslerweb.com).

## 2 Requirements

The procedures described in this document assume that the following software and hardware is present:

- MATLAB R2017a (9.2.0.556344) 64-bit with the Image Acquisition Toolbox version 5.2 (R2017a)
- Image Acquisition Toolbox Support Package for GenICam Interface version 17.2.0.0, which enables you to acquire video and images from GenTL-compliant cameras
- Image Acquisition Toolbox Support Package for GigE Vision Hardware version 17.2.0.0, which is required for advanced IP address configuration and troubleshooting of GigE cameras
- Basler pylon Camera Software Suite 5.0.11 including the pylon GigE and USB GenTL 64-bit producers
- Basler GigE and/or Basler USB 3.0 cameras
- GigE network card and/or USB 3.0 host controller card recommended by Basler
- GigE and or USB 3.0 cables recommended by Basler



The Basler pylon GenTL producers are compliant with GenTL version 1.5.

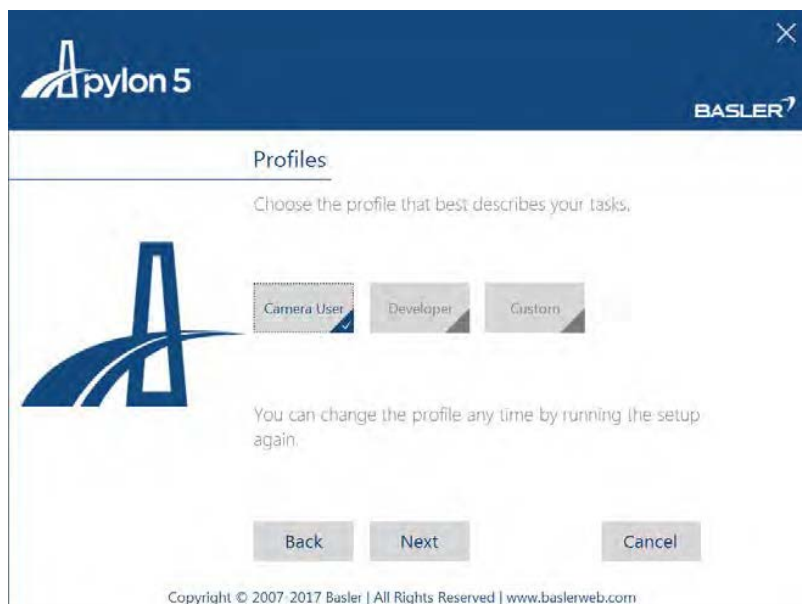
For more information about recommended accessories for Basler GigE and Basler USB 3.0 cameras, visit to the Basler website ([www.baslerweb.com](http://www.baslerweb.com)) or contact your local Basler Customer Service team.

### 3 Installation

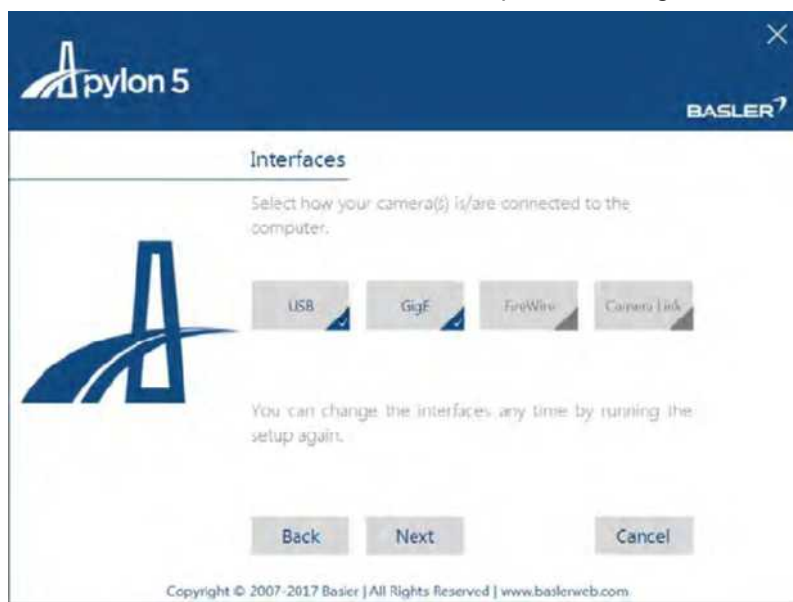
#### 3.1 Installing the Basler pylon GigE and USB GenTL Producers

To install the Basler pylon GigE and USB GenTL producers:

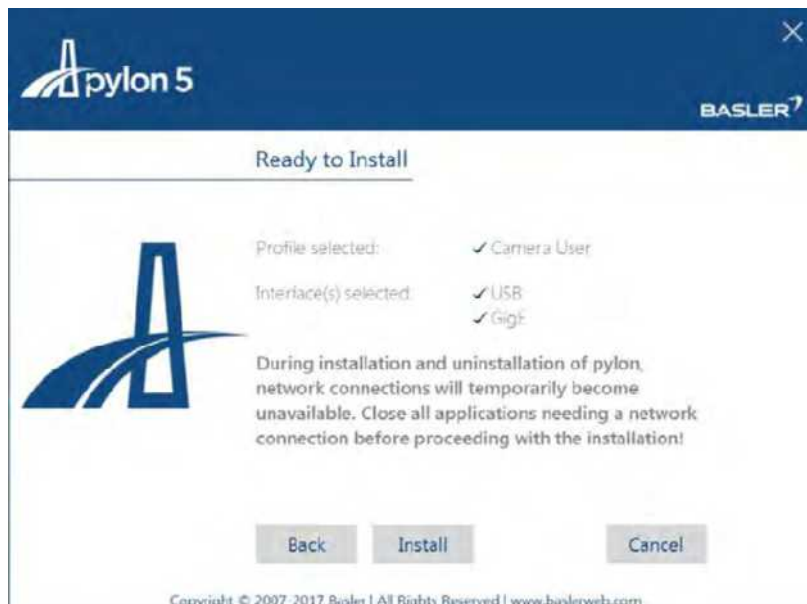
1. Run Basler pylon 5.0.11.xxx.exe.
2. On the **Profiles** page, choose either the **Camera User** or the **Developer** profile.  
If you intend to develop applications based on the pylon Camera Software Suite APIs, choose the **Developer** profile.



3. Click **Next**.
4. On the **Interfaces** page, select the **Interfaces** for which you want to install the necessary drivers, runtime environment, and GenTL producers, e.g., USB and GigE.



5. Click **Next**.
6. Click **Install** to install the selected components now.



7. After the installation has completed, log off from your computer and then log in again. This is necessary for the changed system environment variables to take effect.

### 3.2 Installing and Configuring MATLAB

#### To install and configure MATLAB:

1. In MATLAB, go to the **APPS** tab and make sure that the **Image Acquisition** app is installed.



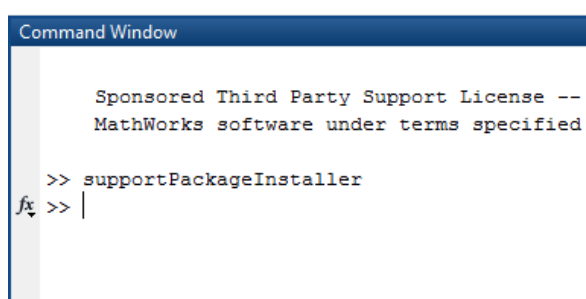
If the **Image Acquisition** app has not been installed yet, install it by running the Support Package Installer in one of the following ways:

- On the **HOME** tab, click **Add-Ons > Get Hardware Support Packages**.

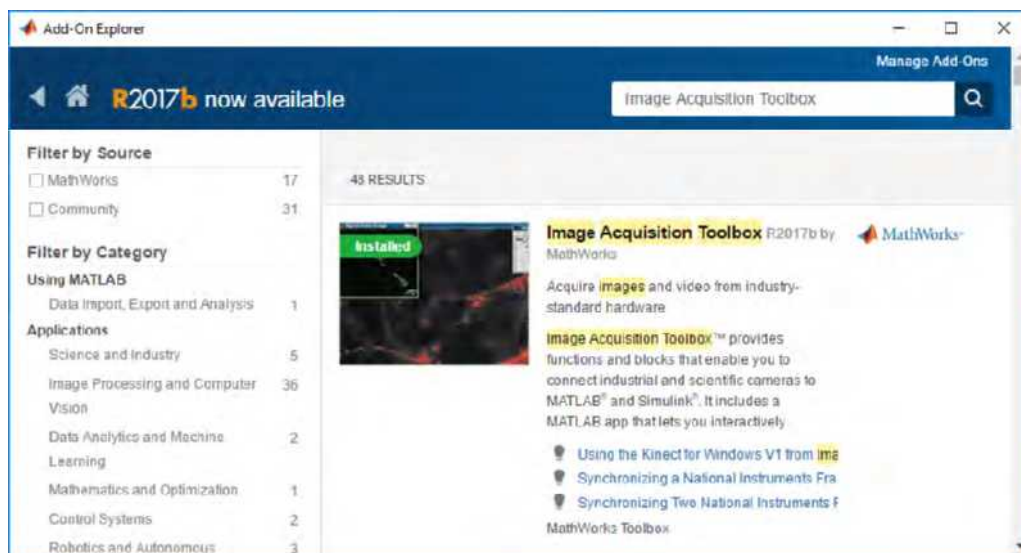


- In the MATLAB **Command Window**, enter:

```
supportPackageInstaller
```



- In the Add-On Explorer, remove the **Clear Filter** field and enter '**Image Acquisition Toolbox**'.



- Select the Image Acquisition Toolbox and install it.
- Check if the MATLAB GenTL consumer is available. In the MATLAB **Command Window**, enter:

```
imaqhwinfo
```

```
Command Window
```

```
Sponsored Third Party Support License -- for use
MathWorks software under terms specified in your

>> imaqhwinfo

ans =

  struct with fields:

    InstalledAdaptors: {'gentl'  'gige'}
    MATLABVersion: '9.2 (R2017a)'
    ToolboxName: 'Image Acquisition Toolbox'
    ToolboxVersion: '5.2 (R2017a)'

fx >> |
```

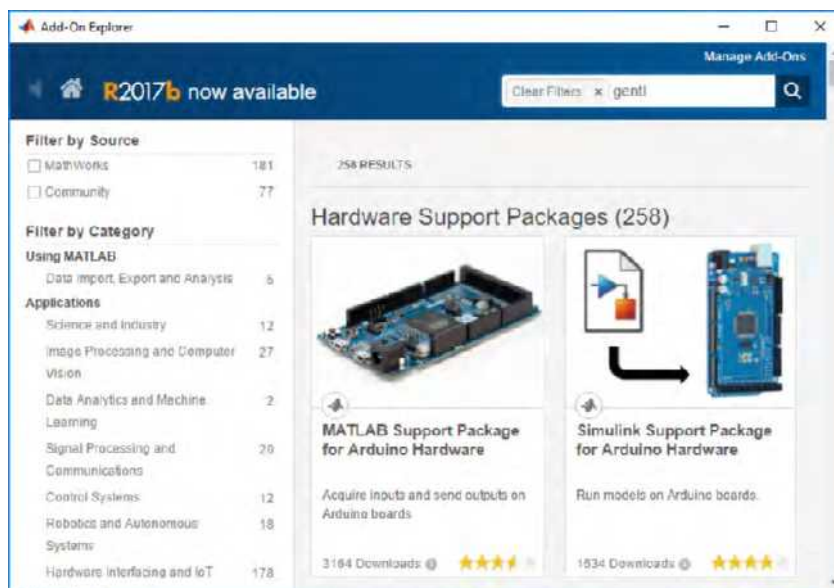
If 'gentl' is not listed under **InstalledAdaptors**, install the MATLAB GenTL Consumer in one of the following ways:

- On the **HOME** tab, click **Add-Ons > Get Hardware Support Packages**.

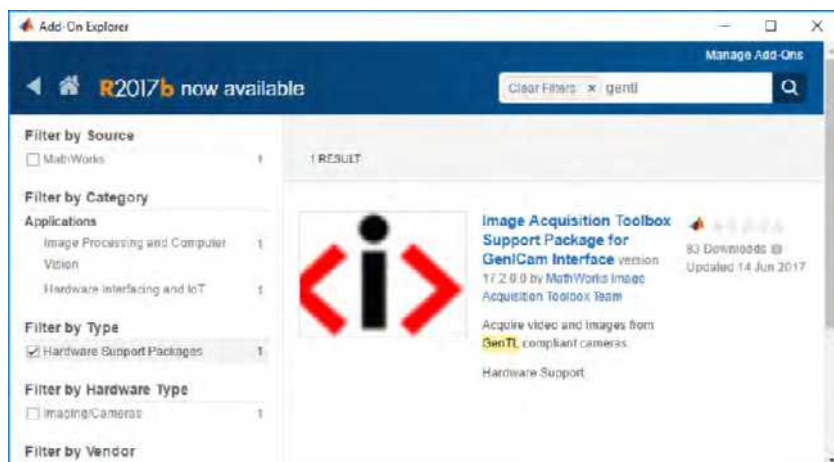
- In the MATLAB **Command Window**, enter:

```
supportPackageInstaller
```

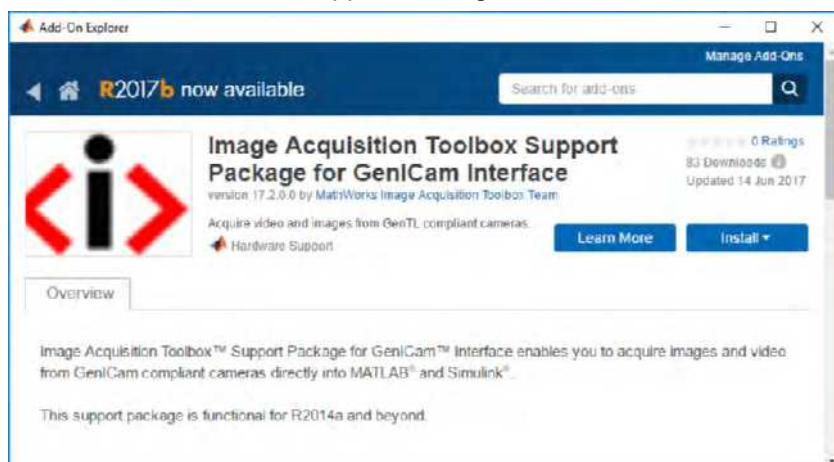
3. In the Add-On Explorer enter 'gentl' in the search field.



4. Select the Image Acquisition Toolbox Support Package for GenICam Interface.



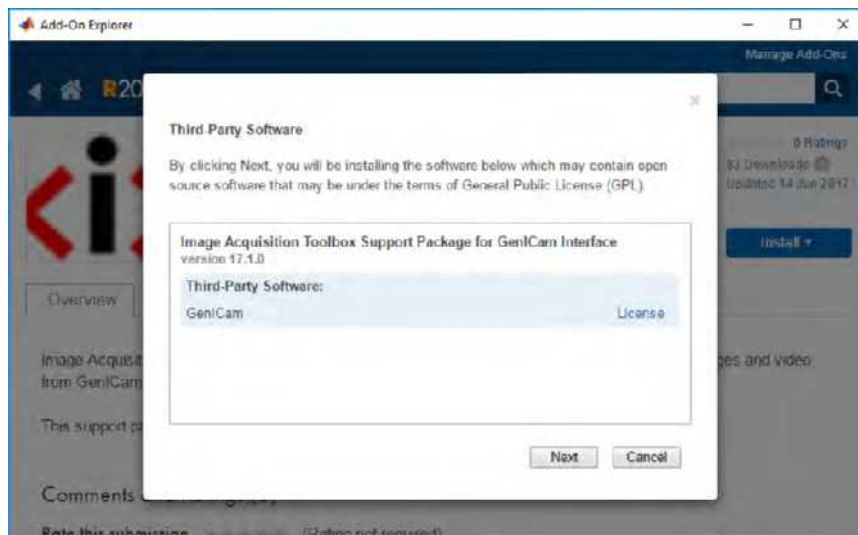
5. Click Install to install the Support Package for GenICam Interface.



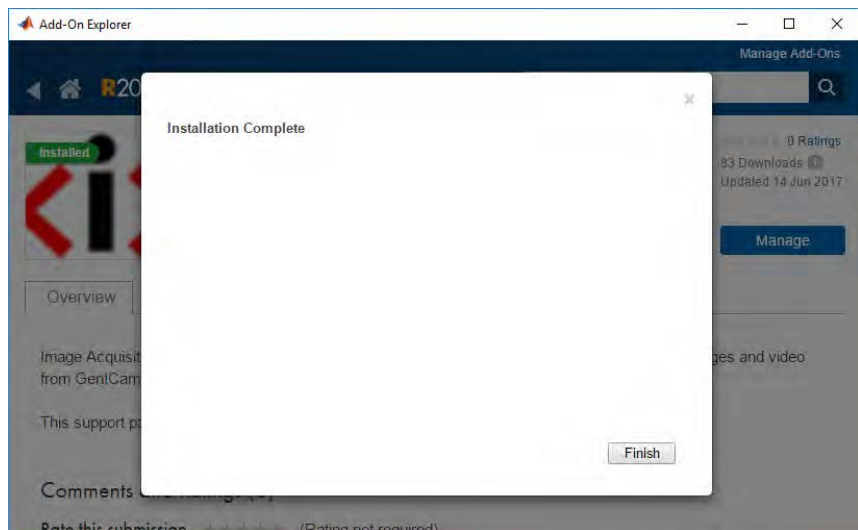
A window with licensing information will be displayed.

6. Accept the MathWorks Auxiliary Software License Agreement and the Genicam License Agreement.

7. Click **Next** to install the Support Package for GenICam Interface.



8. When the installation is complete, click **Finish**.



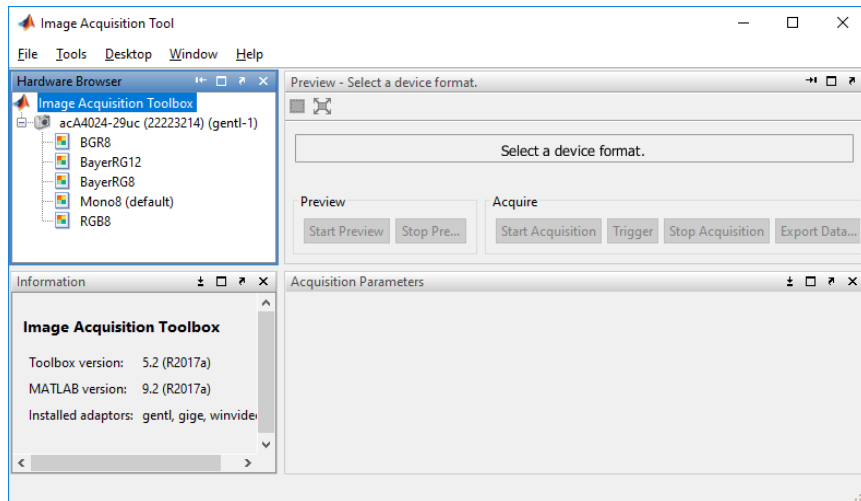
## 4 Operating a Basler ace USB3 Vision Camera with MATLAB

This section explains how to access a Basler ace USB 3.0 camera in MATLAB and how to configure the camera's features.

### To access a Basler ace USB 3.0 camera in MATLAB:

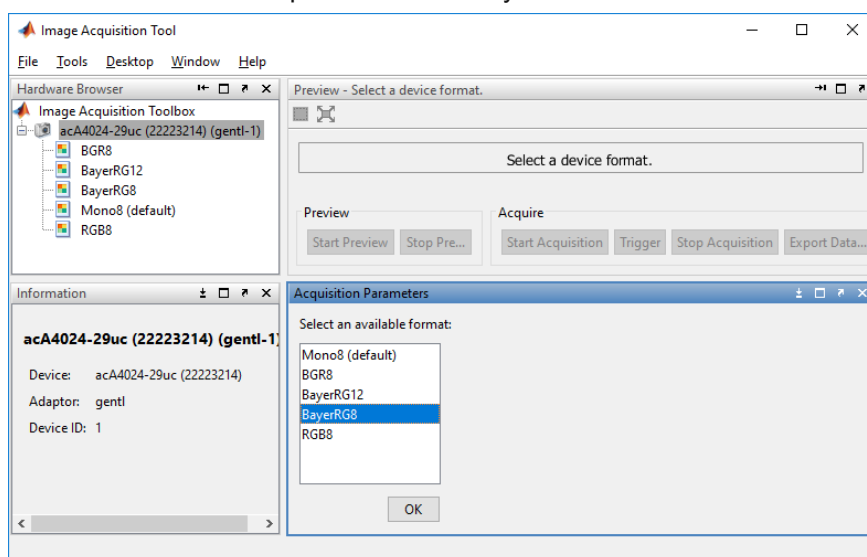
1. Connect your Basler ace USB 3.0 camera to a port of a USB 3.0 host controller card recommended by Basler.
2. In MATLAB, click **APPS > Image Acquisition**.

The **Image Acquisition Tool** opens in a new window. In this example, a Basler ace acA4024-29uc camera is used. It is listed in the **Hardware Browser** pane.

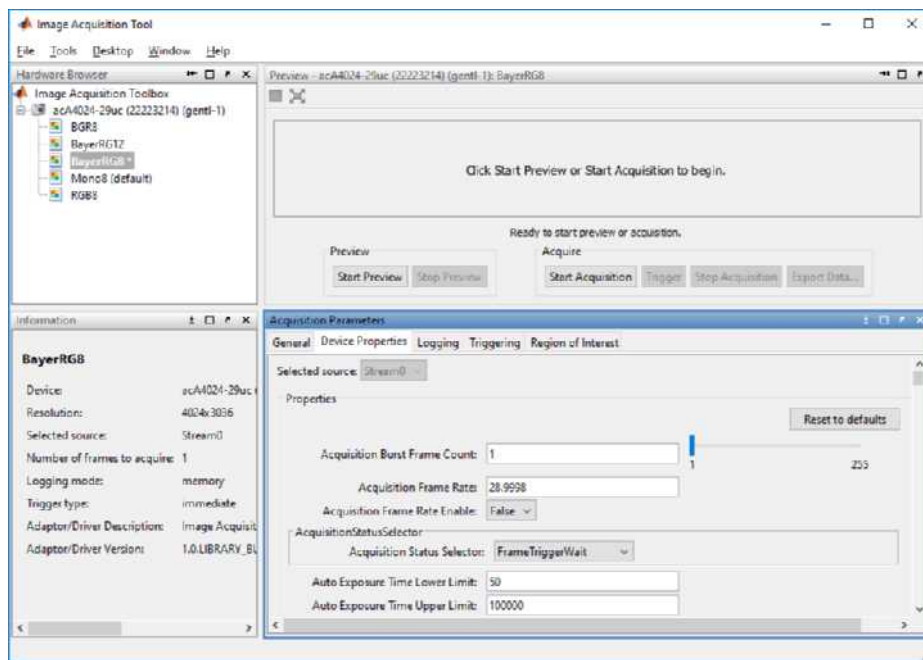


3. When you select the camera in the **Hardware Browser** pane, the available pixel formats will be listed in the **Acquisition Parameters** pane.
4. Select the desired pixel format and click **OK**.

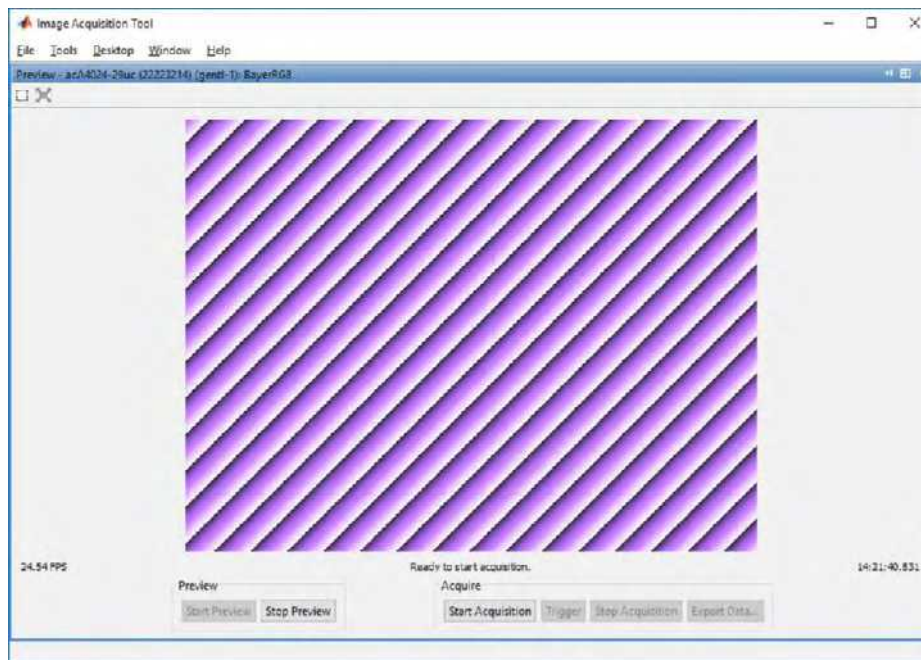
The camera has been opened and is ready for use now.



5. In **Acquisition Parameters** pane, go to the **Device Properties** tab to access all currently supported camera features.



6. In the **Preview** pane, click **Start Preview** in order to get a live image from the camera.



## 5 Operating a Basler GigE Camera with MATLAB

This section explains how to access a Basler ace GigE Vision camera in MATLAB and how to configure the camera's features.

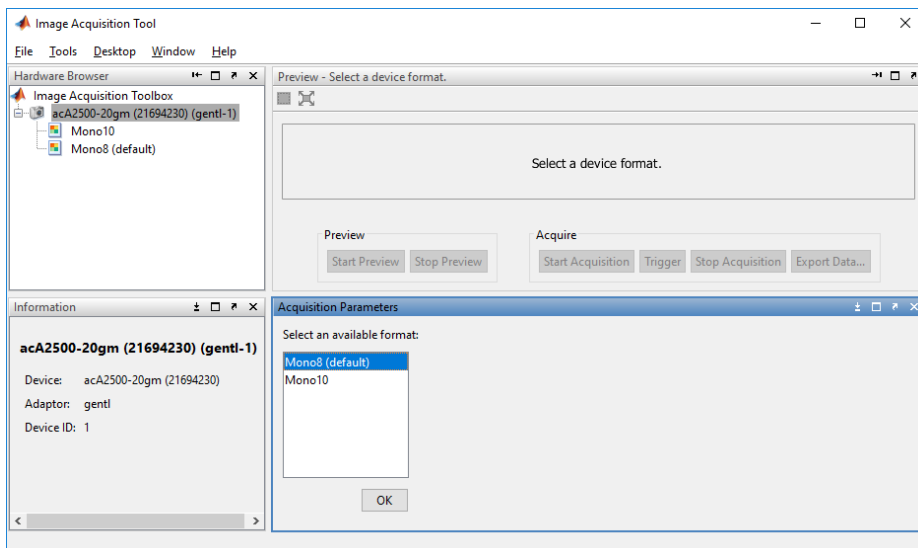
### To access a Basler ace GigE camera in MATLAB:

1. Connect your Basler ace GigE camera to a GigE network card recommended by Basler.
2. In MATLAB, click **APPS > Image Acquisition**.

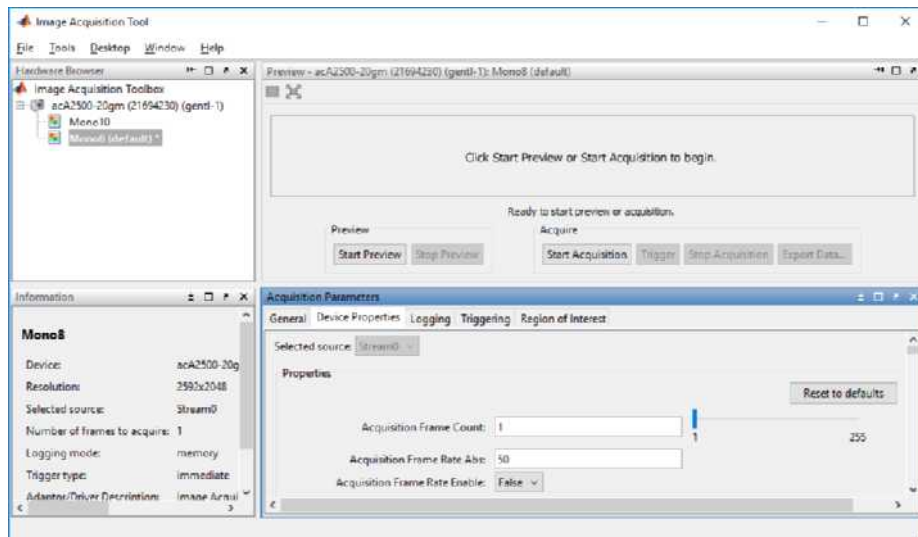
The **Image Acquisition Tool** opens in a new window. In this example, a Basler ace acA2500-20gm camera is used. It is listed in the **Hardware Browser** pane.

3. When you select the camera in the **Hardware Browser** pane, the available pixel formats will be listed in the **Acquisition Parameters** pane. Select the desired pixel format and click **OK**.

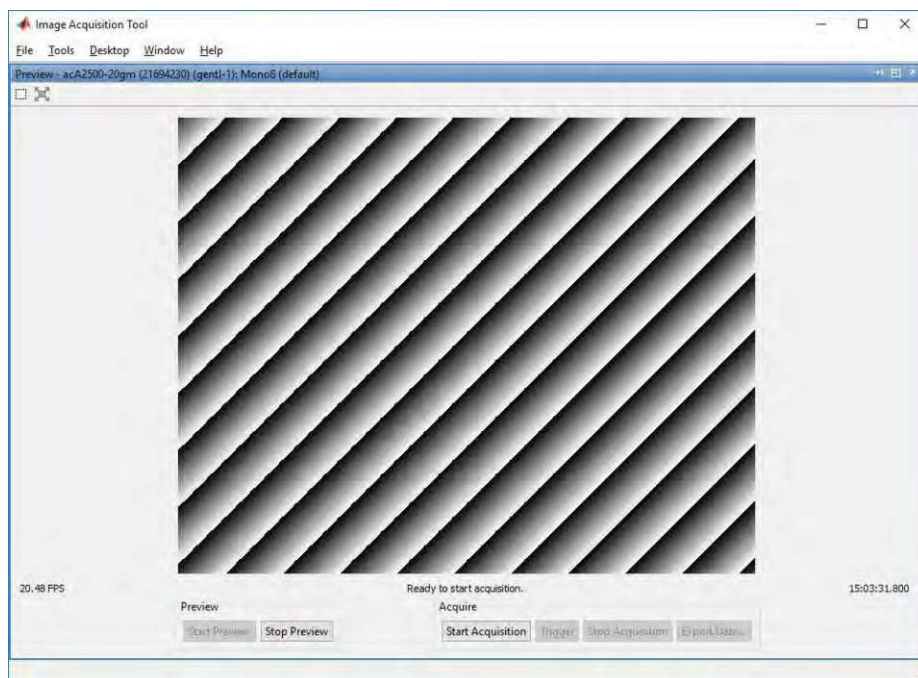
The camera has been opened and is ready for use now.



4. In the **Acquisition Parameters > Device Properties** tab you can access all currently supported camera features:



5. In the **Preview** pane, click **Start Preview** in order to get a live image from the camera:



## 6 Troubleshooting

### 6.1 Troubleshooting USB 3.0 Cameras

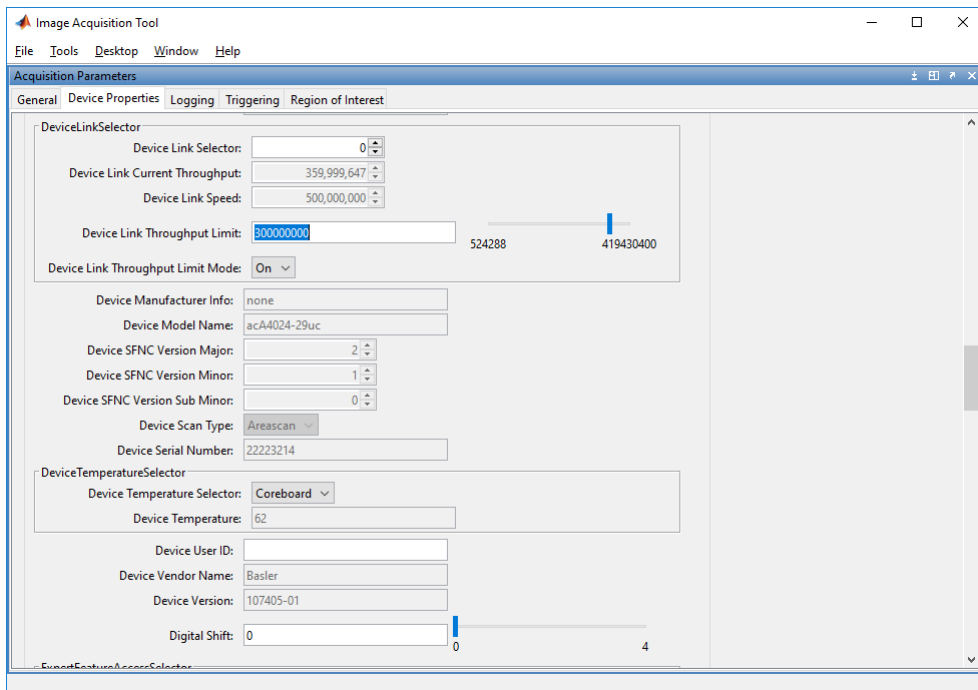
#### 6.1.1 Troubleshooting Using MATLAB

If the images you acquire are corrupt, try decreasing the bandwidth currently used by the camera in the MATLAB Image Acquisition Tool. You can do this in two different ways:

- **Image Acquisition Tool:**

In the Image Acquisition Tool, go to **Acquisition Parameters > Device Properties** and make the following changes:

- Set Device Link Throughput Limit Mode to On.
- **Device Link Throughput Limit:** Change the value (in Bytes/s) until MATLAB stops acquiring corrupt images, e.g., 300 000 000 Bytes (i.e., 300 Mbytes).



- **Command Window:**

In MATLAB, click **HOME > Command Window** and enter the following:

```
vid= videoinput('gentl', 1, 'BayerRG8')
src= getselectedsource(vid);
src.DeviceLinkThroughputLimitMode = 'On'
src.DeviceLinkThroughputLimit = 300000000
```

```
Command Window

Sponsored Third Party Support License -- for use only to support products interfaced to
MathWorks software under terms specified in your company's restricted use license agreement.

>> vid= videoinput('gentl', 1,'BayerRG8')

Summary of Video Input Object Using 'acA4024-29uc (22223214)'.

Acquisition Source(s): Stream0 is available.

Acquisition Parameters: 'Stream0' is the current selected source.
10 frames per trigger using the selected source.
'BayerRG8' video data to be logged upon START.
Grabbing first of every 1 frame(s).
Log data to 'memory' on trigger.

Trigger Parameters: 1 'immediate' trigger(s) on START.

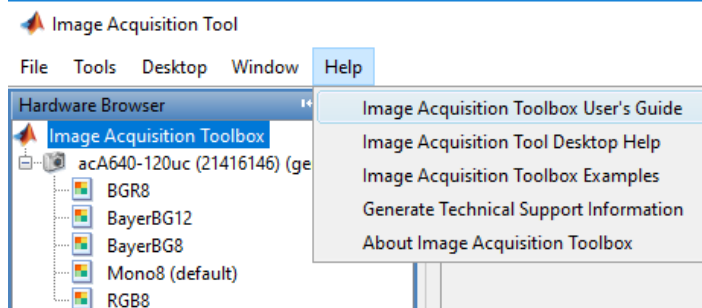
Status: Waiting for START.
0 frames acquired since starting.
0 frames available for GETDATA.

>> src= getselectedsource(vid);
>> src.DeviceLinkThroughputLimitMode = 'On'
```

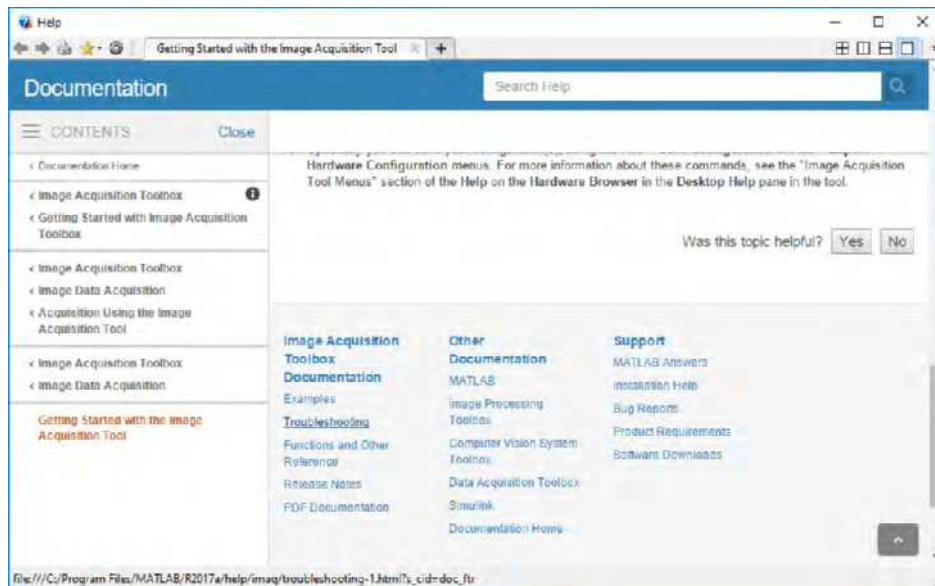
If decreasing the value of the **Device Link Throughput Limit** parameter doesn't improve the image acquisition issue, you may need further debugging with the Basler pylon Viewer, which is part of the Basler pylon Camera Software Suite.

For further MATLAB troubleshooting information, you have the following options:

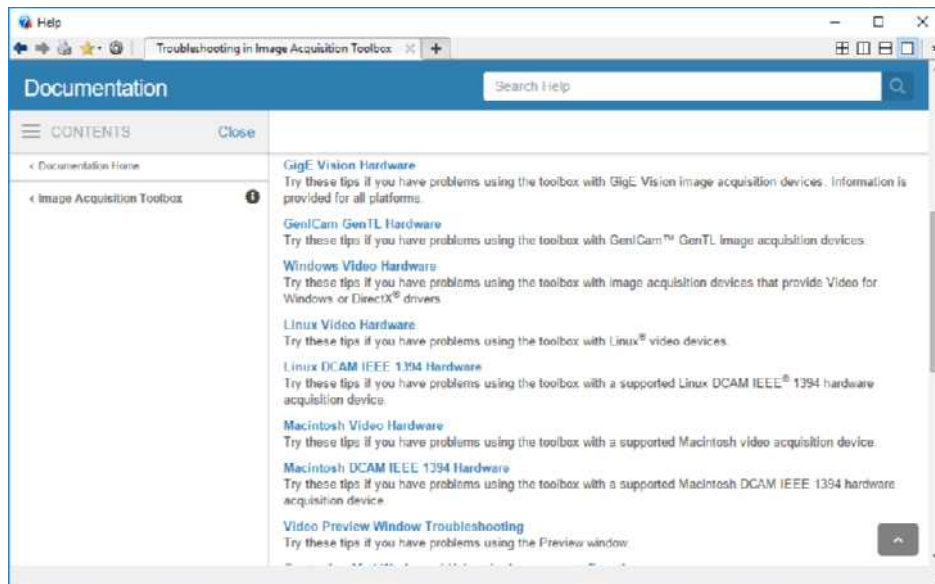
- Image Acquisition Toolbox User's Guide:
  1. In MATLAB, click **APPS > Image Acquisition > Help > Image Acquisition Toolbox User's Guide**.



2. Scroll down and select **Troubleshooting**.



3. Here, you will find troubleshooting tips related to the GenICam GenTL Hardware:



- Contact the MATLAB technical support team.

### 6.1.2 Troubleshooting Using the Basler pylon Camera Software Suite

The Basler pylon Camera Software Suite offers the following tools: pylon Viewer, pylon USB Bandwidth Manager and pylon USB Configurator.

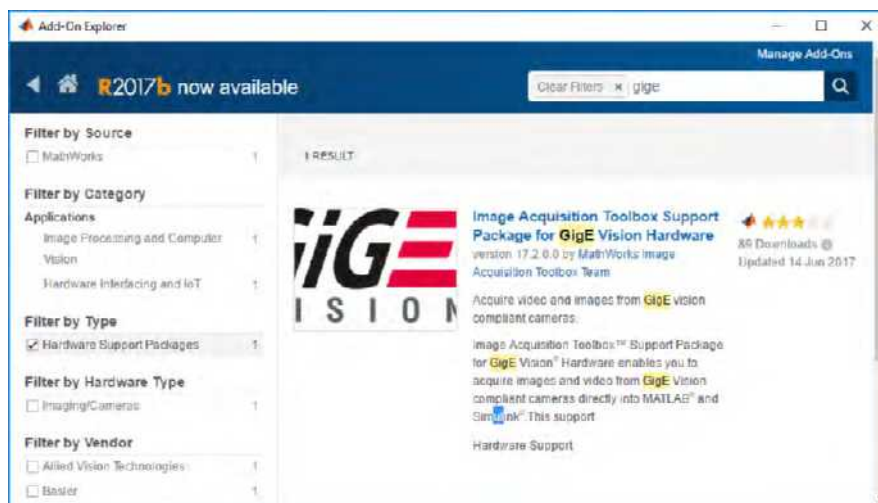
If you need help using these tools, contact your local Basler Customer Service Team ([www.baslerweb.com](http://www.baslerweb.com)).

## 6.2 Troubleshooting GigE Vision Cameras

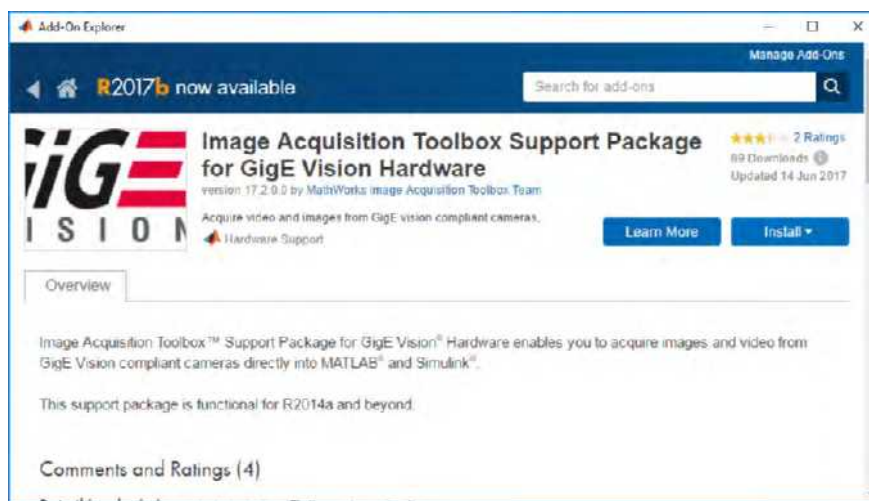
### 6.2.1 Troubleshooting Using MATLAB

If your GigE Vision camera is not shown in the MATLAB Image Acquisition Toolbox or the images you acquire are corrupt, you have to install the **Image Acquisition Toolbox Support Package for GigE Vision Hardware**. To do so, follow these steps:

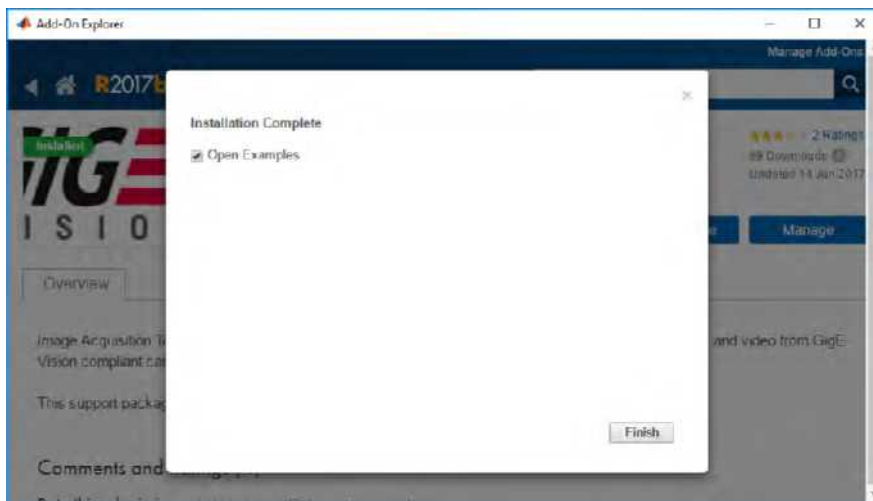
1. On the **HOME** tab, click **Add-Ons > Get Hardware Support Packages**.
2. In the Add-On Explorer enter ‘gige’ in the search field:



3. Select the **Image Acquisition Toolbox Support Package for GigE Vision Hardware** and click **Install** to install it.



4. When the installation process has completed, click **Finish**.



5. In MATLAB, click **HOME > Command Window** enter the following to optimize the **Packet Size** and the **Packet Delay** parameters.

```
vid= videoinput('gige', 1, 'Mono8')
src= getselectedsource(vid);
src.PacketSize = 9014;
src.PacketDelay= 5000;
```

 A screenshot of the MATLAB Command Window. The window title is "Command Window". The command history shows the following text:
 

```
Sponsored Third Party Support License -- for use only to support products interfaced to
MathWorks software under terms specified in your company's restricted use license agreement.

>> vid = videoinput('gige', 1, 'Mono8');
>> src = getselectedsource(vid);
>> src.PacketSize = 9014;
>> src.PacketDelay= 50000;
fx >>
```



When using jumbo frames for the **Packet Size** camera parameter, i.e., values above 1500 Byte, make sure that your network adapter supports that value. Otherwise, image acquisition may fail.

Increasing the **Packet Delay** camera parameter, may reduce the camera's resulting maximum acquisition frame rate.

For more information about troubleshooting GigE Vision cameras in MATLAB, refer to the following documents:

- MATLAB GigE Vision Quick Start Configuration Guide:  
[https://www.mathworks.com/matlabcentral/answers/uploaded\\_files/41167/GigEVisionQuickStart.pdf](https://www.mathworks.com/matlabcentral/answers/uploaded_files/41167/GigEVisionQuickStart.pdf)
- MATLAB FAQ:  
<https://de.mathworks.com/matlabcentral/answers/91834-how-do-i-calculate-the-packet-delay-for-a-gige-vision-camera-to-prevent-dropped-frames>

### 6.2.2 Troubleshooting Using the Basler pylon Camera Software Suite

The Basler pylon Camera Software Suite offers the following tools: pylon Viewer, pylon GigE Bandwidth Manager and pylon IP Configurator.

If you need help using these tools, contact your local Basler Customer Service Team ([www.baslerweb.com](http://www.baslerweb.com)).

## Revision History

Document Number	Date	Changes
AW00134301000	4 Feb 2015	Initial release version of this document.
AW00134302000	6 Nov 2017	Updated the document to reflect the use of MATLAB R2017a. Updated the document to reflect the use of pylon 5.0.11. Added Chapter 5 to reflect the operation of GigE Vision cameras with MATLAB. Added Chapter 6.2 to reflect the troubleshooting of GigE Vision cameras.
AW00134303000	6 Nov 2017	Corrected a typo.

## Anhang 5: Bedienungsanleitung

Schritte zum durchführen einer automatisierten Messung:

1. Im "Hardware Setup" Tab verbinden und testen der Hardware
2. Referenzieren des Linearschlittens
3. Im "Automated Measurement" Tab einstellen des Messgitters
4. Nach starten der automatisierten Messung dem Anweisungen des Programms folgen
5. Messdaten abspeichern (Messdaten werden automatisch im "Configure Evaluation" Tab geladen)
6. Einstellen der Auswertungsparameter
7. Das Zentrum des Strahls mit dem Guess Beamarea Button markieren
8. Starten der Auswertung
9. Sollte die Auswertung abbrechen ist meistens die Hintergrundkorrektur der Grund
10. Ist die Auswertung abgeschlossen werden die ausgewerteten Messdaten automatisch in den "Evaluation Result" Tab geladen

Schritte zum durchführen einer Livemessung:

1. Im "Hardware Setup" Tab verbinden und testen der Hardware
2. Referenzieren des Linearschlittens
3. Über die Kontrollfelder im "Hardware Setup" Tab Linearschlitten an gewünschte Position verfahren
4. Im "Live Measurement" Tab ein Probefeld des Strahlprofils machen (Trigger Image Button)
5. Das Zentrum des Strahls mit dem Guess Beamarea Button markieren
6. Einstellen der Auswertungsparameter
7. Hintergrund messen mit dem Measure Background Button (dafür muss der Laserstrahl abgeblendet werden)
8. Starten der Livemessung über den Toggle Button Start/Stop Live Measurement

## Literatur

- [1] Joachim Grehn, Gerd Harbeck, Peter Wessels. *PSSC Physik*. 2. Aufl. Friedr. Vieweg + Sohn . Braunschweig, 1974.
- [2] Jürgen Eichler, Hans Joachim Eichler. *Laser, Bauformen, Strahlführung, Anwendungen*. 3. Aufl. Springer-Verlag, 1998.
- [3] Chunlei Guo, Subhash Chandra Singh. *Handbook of Laser Technology and Applications*. 2. Aufl. CRC Press, 2021.
- [4] Peter Adams. „Die Strahlqualität von Lasern“. In: *Laser Technik Journal* 1.2 (Okt. 2004), S. 63–66.
- [5] Norman Hodgson, Horst Weber. *Laser Resonators and Beam Propagation*. 2. Aufl. Springer-Verlag, 2005.
- [6] Claude Rullière. *Femtosecond Laser Pulses*. 2. Aufl. Springer Science+Business Media, Inc, 2003.
- [7] *Pulse-Compression*. 2022. URL: <http://www.swampoptics.com/pulse-compression.html>. zugegriffen am: 23.02.2022.
- [8] *Laser und Laseranlagen – Prüfverfahren für Laserstrahlabmessungen, Divergenzwinkel und Beugungsmaßzahlen – Teil 1: Stigmatische und einfach astigmatische Strahlen (ISO 11146-1:2005); Deutsche Fassung EN ISO 11146-1:2005*. Norm. Apr. 2005.
- [9] *Laser und Laseranlagen - Prüfverfahren für Laserstrahlabmessungen, Divergenzwinkel und Beugungsmaßzahlen - Teil 3: Intrinsische und geometrische Laserstrahlklassifizierung und -propagation sowie Details der Prüfverfahren*. Norm. Feb. 2004.
- [10] *Datenblatt Thorlabs PS908*. 2021. URL: [https://www.thorlabs.com/newgroupage9.cfm?objectgroup\\_id=142](https://www.thorlabs.com/newgroupage9.cfm?objectgroup_id=142). zugegriffen am: 20.10.2021.
- [11] *Unbeschichtetes rechtwinkliges Prisma Thorlabs PS908*. 2021. URL: [https://www.thorlabs.com/images/GuideImages/3765\\_PS908\\_SG.jpg](https://www.thorlabs.com/images/GuideImages/3765_PS908_SG.jpg). zugegriffen am: 12.10.2021.
- [12] *Übertragungskurve von unbeschichteten BK7*. 2021. URL: [https://www.thorlabs.com/images/TabImages/Uncoated\\_N-BK7\\_Transmission\\_780.gif](https://www.thorlabs.com/images/TabImages/Uncoated_N-BK7_Transmission_780.gif). zugegriffen am: 12.10.2021.
- [13] *Datenblatt ND-Filter (Thorlabs NE40B-B, NE50B-B)*. 2021. URL: [https://www.thorlabs.com/newgroupage9.cfm?objectgroup\\_id=6273](https://www.thorlabs.com/newgroupage9.cfm?objectgroup_id=6273). zugegriffen am: 12.10.2021.
- [14] *Bild ND-Filter (Thorlabs NE40B-B, NE50B-B)*. 2021. URL: <https://www.thorlabs.com/images/large/24280-lrg.jpg>. zugegriffen am: 12.10.2021.
- [15] *Übertragungskurven für OD 2.0 - OD 6.0*. 2021. URL: [https://www.thorlabs.com/images/TabImages/B\\_ND\\_Filters\\_Transmission\\_26\\_G1-350.gif](https://www.thorlabs.com/images/TabImages/B_ND_Filters_Transmission_26_G1-350.gif). zugegriffen am: 12.10.2021.
- [16] *Datenblatt Schrittmotor Sanyo Denki 103H5205-5240*. 2021. URL: <https://docs.rs-online.com/9f7b/0900766b813b30f6.pdf>. zugegriffen am: 20.10.2021.
- [17] *Bild Schrittmotor Sanyo Denki 103H5205-5240*. 2021. URL: <https://docs.rs-online.com/9f7b/0900766b813b30f6.pdf>. zugegriffen am: 20.10.2021.
- [18] *Momentenverlauf Sanyo Denki 103H5205-5240*. 2021. URL: <https://docs.rs-online.com/9f7b/0900766b813b30f6.pdf>. zugegriffen am: 20.10.2021.

## Literatur

- [19] *Arduino UNO Rev3*. 2021. URL: <https://store.arduino.cc/products/arduino-uno-rev3?selectedStore=eu>. zugegriffen am: 20.10.2021.
- [20] *Bild Arduino UNO Rev3*. 2021. URL: [https://cdn.shopify.com/s/files/1/0506/1689/3647/products/A000079\\_03.front\\_710x467.jpg?v=1615307638](https://cdn.shopify.com/s/files/1/0506/1689/3647/products/A000079_03.front_710x467.jpg?v=1615307638). zugegriffen am: 20.10.2021.
- [21] *Arduino UNO Rev3*. 2021. URL: <https://store.arduino.cc/products/arduino-motor-shield-rev3?selectedStore=eu>. zugegriffen am: 20.10.2021.
- [22] *Bild Arduino UNO Rev3*. 2021. URL: [https://cdn.shopify.com/s/files/1/0506/1689/3647/products/A000079\\_03.front\\_710x467.jpg?v=1615307638](https://cdn.shopify.com/s/files/1/0506/1689/3647/products/A000079_03.front_710x467.jpg?v=1615307638). zugegriffen am: 20.10.2021.
- [23] *Datenblatt Basler ace GigE acA1300-60gmNIR*. 2021. URL: <https://docs.baslerweb.com/aca1300-60gmnir>. zugegriffen am: 20.10.2021.
- [24] *Bild Basler ace GigE acA1300-60gmNIR*. 2021. URL: <https://docs.baslerweb.com/images/image-ace-gige-mono.jpg>. zugegriffen am: 12.10.2021.